



การศึกษาสมบัติเชิงกลและเชิงความร้อนของวัสดุสมาระห่วงยางธรรมชาติและผงถ้าออย
ที่มีการเติมน้ำมันมอริลโลในต์

โดย
นายนันทวัฒน์ แตงจันทร์

วิทยานิพนธ์นี้เป็นส่วนหนึ่งของการศึกษาตามหลักสูตรปริญญาวิศวกรรมศาสตรมหาบัณฑิต
สาขาวิชาวิทยาการและวิศวกรรมพอลิเมอร์
ภาควิชาวิทยาการและวิศวกรรมวัสดุ
บัณฑิตวิทยาลัย มหาวิทยาลัยศิลปากร
ปีการศึกษา 2551
ลิขสิทธิ์ของบัณฑิตวิทยาลัย มหาวิทยาลัยศิลปากร

การศึกษาสมบัติเชิงกลและเชิงความร้อนของวัสดุสมรรถนะทางชีวกรรมชาติและพงเข้าโดย
ที่มีการเติมอนต์มอริลโลในต์

โดย
นายนันทวัฒน์ แตงจันทร์

วิทยานิพนธ์นี้เป็นส่วนหนึ่งของการศึกษาตามหลักสูตรปริญญาวิศวกรรมศาสตรมหาบัณฑิต
สาขาวิชาวิทยาการและวิศวกรรมพอลิเมอร์
ภาควิชาวิทยาการและวิศวกรรมวัสดุ
บัณฑิตวิทยาลัย มหาวิทยาลัยศิลปากร
ปีการศึกษา 2551
ลิขสิทธิ์ของบัณฑิตวิทยาลัย มหาวิทยาลัยศิลปากร

**MECHANICAL AND THERMAL CHARACTERIZATION OF MMT FILLED
NATURAL RUBBER FLY ASH COMPOSITES**

By

Nantavat Tangchantra

**A Thesis Submitted in Partial Fulfillment of the Requirements for the Degree
MASTER OF ENGINEERING
Department of Materials Science and Engineering
Graduate School
SILPAKORN UNIVERSITY
2008**

บัณฑิตวิทยาลัย มหาวิทยาลัยศิลปากร อนุมัติให้วิทยานิพนธ์เรื่อง “การศึกษาสมบัติ เชิงกลและเชิงความร้อนของวัสดุสมรรถนะห่วงยางธรรมชาติและผงถ้าโลยที่มีการเติมน้ำนมหรือ โลไม้” เสนอโดย นายนันทวัฒน์ แตงจันทร์ เป็นส่วนหนึ่งของการศึกษาตามหลักสูตรปริญญา วิศวกรรมศาสตรมหาบัณฑิต สาขาวิชาวิทยาการและวิศวกรรมคอมพิวเตอร์

(๘๗๙)

(รองศาสตราจารย์ ดร.ศิริชัย ชินะดังกุร)

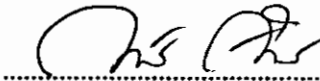
คณบดีบัณฑิตวิทยาลัย

วันที่ ๑๖ เดือน กันยายน พ.ศ. ๒๕๕๑

อาจารย์ที่ปรึกษาวิทยานิพนธ์

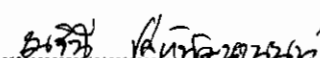
1. ผู้ช่วยศาสตราจารย์ ดร.จันทร์ฉาย ทองปืน
2. ศาสตราจารย์ ดร.ภรรงค์ฤทธิ์ สมบัติสมภพ

คณะกรรมการตรวจสอบวิทยานิพนธ์

 ประธานกรรมการ

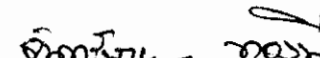
(อาจารย์ ดร. วินลรตัน ศรีจรัสสิน)

๒๙ / ๗.๗. / ๒๕๕๑

 กรรมการ

(อาจารย์ ดร. พุทธิพันโน โลหะพัฒนา)

๒๙ / ๗.๗. / ๒๕๕๑

 กรรมการ

(ผู้ช่วยศาสตราจารย์ ดร.จันทร์ฉาย ทองปืน)

๒๙ / ๗.๗. / ๒๕๕๑

 กรรมการ

(ศาสตราจารย์ ดร.ภรรงค์ฤทธิ์ สมบัติสมภพ)

๒๙ / ๗.๗. / ๒๕๕๑

49402204 : สาขาวิชาวิทยาการและวิศวกรรมพอลิเมอร์

คำสำคัญ : ยางธรรมชาติ/มอนต์มอริลโลไนต์/เด้าลอยด์/สมบัติเชิงกล/สมบัติเชิงความร้อน

นันทวัฒน์ แตงขันทร์ : การศึกษาสมบัติเชิงกลและเชิงความร้อนของวัสดุผสมระหว่างยางธรรมชาติและเด้าลอยด์ที่มีการเติมน้ำมอนต์มอริลโลไนต์. อาจารย์ที่ปรึกษาวิทยานิพนธ์ : พศ.ดร.จันทร์ฉาย ทองปืน และ พ.ศ.ดร.บรรจงฤทธิ์ สมบัติสมภพ. 152 หน้า.

งานวิจัยนี้เป็นการศึกษาการใช้เด้าลอยด์และมอนต์มอริลโลไนต์เป็นสารตัวเติมยางธรรมชาติ จากการศึกษาผลของการนำมอนต์มอริลโลไนต์ที่ไม่ได้ปรับปูร์เจ (Montmorillonite, MMT) ออกในมอนต์มอริลโลไนต์ (Organic-montmorillonite, OMMT) และการต่อสังเคราะห์แกกในมอนต์มอริลโลไนต์ (Organic grafted montmorillonite, O-g-MMT) พบว่า สมบัติเชิงกลทั้งหมดดูดี ความต้านทานแรงดึงดีขึ้น ความต้านทานแรงฉีกขาด และความแข็งของวัสดุผสมระหว่างยางธรรมชาติและ MMT มีแนวโน้มที่ลดลง เมื่อปริมาณ MMT เพิ่มขึ้น เนื่องจากความไม่เข้ากันระหว่าง MMT และยางธรรมชาติ อิกทั้งกระบวนการที่ทำให้ MMT ไม่สามารถแสดงหน้าที่เป็นสารเสริมแรงที่ดีได้ อย่างไรก็ตามทางด้านสมบัติเชิงความร้อนพบว่ามอนต์มอริลโลไนต์สามารถเพิ่มเสถียรภาพทางความร้อนให้กับยางวัลภาชนะได้ดี เนื่องจาก MMT มีเสถียรภาพทางความร้อนสูง สำหรับการศึกษาผลของ OMMT ต่อสมบัติของยางธรรมชาติพบว่าสามารถเข้ากันกับยางธรรมชาติได้ดี ทำให้ OMMT สามารถเพิ่มประสิทธิภาพทางด้านสมบัติเชิงกลได้ดีกว่า MMT ซึ่งการเพิ่มเวลาในการบดผสมระหว่าง OMMT กับยางธรรมชาติจะทำให้ OMMT กระจายตัวในยางธรรมชาติได้ดีขึ้น และยางคอมโพสิตจะมีสมบัติเชิงกลที่ดีขึ้นอย่างมาก สำหรับการศึกษาผลของการเติม O-g-MMT ในยางธรรมชาติ พบว่า O-g-MMT มีความเข้ากับยางธรรมชาติได้ดีขึ้น เมื่อเปรียบเทียบกับ OMMT ซึ่งส่งผลต่อการเพิ่มขึ้นของสมบัติเชิงกลของยางคอมโพสิต

การศึกษาผลของการใช้สารตัวเติมแบบคู่ระหว่างเด้าลอยด์และ OMMT พบว่า เด้าลอยด์สามารถช่วยให้ OMMT กระจายตัวในยางธรรมชาติได้ดีขึ้น อิกทั้งเด้าลอยด์ซึ่งมีการปรับปูร์เจด้วย Si-69 มีความเข้ากันได้ดีกับยางธรรมชาติ ทำให้สารตัวเติมแบบคู่ระหว่างเด้าลอยด์และ OMMT สามารถปรับปูร์เจยางคอมโพสิตให้มีสมบัติเชิงกลและเชิงความร้อนที่สูงขึ้น

ภาควิชาวิทยาการและวิศวกรรมวัสดุ บัณฑิตวิทยาลัย มหาวิทยาลัยศิลปากร ปีการศึกษา 2551
ลายมือชื่อนักศึกษา.....
ลายมือชื่ออาจารย์ที่ปรึกษาวิทยานิพนธ์ 1. วิชัย วงศ์.....

49402204 : MAJOR : POLYMER SCIENCE AND ENGINEERING

KEY WORDS : NATURAL RUBBER/MONTMORILLONITE/FLY ASH/MECHANICAL PROPERTIES/THERMAL PROPERTIES

NANTAVAT TANGCHANTRA: MECHANICAL AND THERMAL CHARACTERIZATION OF MMT FILLED NATURAL RUBBER FLY ASH COMPOSITES. THESIS ADVISORS: ASST.PROF.CHANCHAI THONGPIN, Ph.D., AND PROF.NARONGRIT SOMBATSOMPOP, Ph.D. 152 pp.

In this research, fly ash and montmorillonite were used as fillers in natural rubber composites. The effect of unmodified montmorillonite (MMT), organic modified montmorillonite (OMMT) and organic grafted montmorillonite (O-g-MMT) on mechanical properties such as modulus, tensile strength, tear strength and hardness was studied. The mechanical properties of NR/MMT decreased with increasing clay loading due to incompatibility between natural rubber and MMT and poor dispersion of MMT, however thermal properties were increased because of high thermal stability of clay. In NR/OMMT composites, OMMT was found to be more compatible with NR leading to higher mechanical properties when compared with NR/MMT composites. Increasing mixing time led to better dispersion of OMMT in rubber matrix and higher mechanical properties of OMMT/rubber composites. In the study of NR/O-g-MMT composites, it was found that higher mechanical properties were obtained when compared with the NR/OMMT composites due to more compatibility.

The study of effect of hybrid fillers between fly ash and OMMT on natural rubber showed that fly ash could enhance the dispersion of OMMT in rubber matrix. Treated fly ash with Si-69 led to high compatible level with rubber matrix therefore hybrid fillers between fly ash and OMMT could improve mechanical and thermal properties of natural rubber composites.

Department of Materials Science and Engineering

Graduate School, Silpakorn University

Academic Year 2008

Student's signature *Nantavat Tangchantra*

Thesis Advisors' signature *Chanchai Thongpin*

กิตติกรรมประกาศ

ผู้วิจัยสามารถทำวิทยานิพนธ์ฉบับนี้เป็นไปได้ด้วยดี เป็นผลมาจากการได้รับความอนุเคราะห์จากหลากหลายฝ่าย ทั้งนี้ต้องขอบพระคุณ ภาควิชาวิทยาการและวิศวกรรมศาสตร์ คณะวิศวกรรมศาสตร์และเทคโนโลยีอุตสาหกรรม มหาวิทยาลัยศิลปากร สำหรับการสนับสนุนด้านเงินทุน อุปกรณ์ และห้องปฏิบัติการที่ใช้ในงานวิจัย คณะวิทยาศาสตร์ มหาวิทยาลัยศิลปากร สำหรับความอนุเคราะห์ในการใช้เครื่อง SEM กลุ่มวิจัย P-PROF และ CUP-NATURE ที่ร่วมกันวิเคราะห์และแสดงความคิดเห็นเกี่ยวกับผลการวิจัย แนะนำแนวทางการแก้ไขปัญหา รวมทั้งการสนับสนุนทางด้านสารเคมี และทุนสนับสนุนเพื่อการดำเนินงานวิจัย บริษัทอินโนเวชั่นกรุ๊ป สำหรับความอนุเคราะห์ในการจัดหาสารเคมีบางส่วน เพื่อใช้ในการดำเนินงานวิจัย และศูนย์เทคโนโลยีและวัสดุแห่งชาติ (MTEC) สำหรับความอนุเคราะห์ในการใช้เครื่อง XRD

ผู้วิจัยขอรับขอบพระคุณ ผู้ช่วยศาสตราจารย์ ดร. จันทร์ฉาย ทองบิน ผู้เป็นอาจารย์ที่ปรึกษาที่กรุณาให้ความช่วยเหลือ แนะนำแนวทางในการศึกษา วิเคราะห์ พร้อมให้คำแนะนำอันเป็นประโยชน์อีกด้วย ความเอื้อเฟื้อไม่遗 ตลอดจน ผู้ศึกษาของตนที่ร่วมงานท่านอาจารย์เป็นอย่างสูงและขอระลึกถึงพระคุณของท่านอาจารย์ตลอดไป

กราบขอบพระคุณอาจารย์คณะวิศวกรรมศาสตร์และเทคโนโลยีอุตสาหกรรมทุกท่าน ที่ประสิทธิ์ประสาทวิชาความรู้ คุณธรรมและศีลธรรมให้แก่ผู้ศึกษา โดยเฉพาะอย่างยิ่งคณาจารย์ ภาควิชาวิทยาการและวิศวกรรมวัสดุทุกท่านที่ให้ความเมตตา อบรม สั่งสอน แก่ผู้ศึกษาตลอดระยะเวลาที่ศึกษา

ผู้วิจัยขอขอบคุณคุณพินิจ เอื้ินระลีก และเจ้าหน้าที่ประจำภาควิชาวิทยาการและวิศวกรรมวัสดุทุกท่านที่ให้ความสำคัญในการเบิกจ่ายวัสดุอุปกรณ์ และประสานงานในด้านต่างๆ ตลอดการทำวิทยานิพนธ์ในครั้งนี้

ผู้วิจัยขอขอบคุณที่น้องสาวศิลปากร สำหรับการใช้ชีวิตอยู่ร่วมกันอย่างมีความสุข ตลอดระยะเวลาในการศึกษาเล่าเรียน พระพุทธศาสนาที่เคยขัดเกลาจิตใจ ให้สงบยามที่มีทุกข์

สุดท้ายนี้ผู้วิจัยขอรับขอบคุณครอบครัว ที่คอยส่งเสริมและให้โอกาสทางการศึกษา ตลอดเป็นที่ปรึกษาทางใจ ให้มีกำลังใจแข็งแกร่งและพร้อมที่จะเผชิญกับปัญหา ในการทำวิทยานิพนธ์ ฉบับนี้สำเร็จลุล่วงไปด้วยดี

สารบัญ

	หน้า
บทคัดย่อภาษาไทย	๔
บทคัดย่อภาษาอังกฤษ	๕
กิตติกรรมประกาศ	๖
สารบัญตาราง	๗
สารบัญรูป	๘
 บทที่	
1 บทนำ	1
ความเป็นมาและความสำคัญของปีญหา	1
ความนุ่งหมายและวัตถุประสงค์ของงานวิจัย	3
แนวคิดงานวิจัย	4
ขอบเขตของงานวิจัย	4
ขั้นตอนการดำเนินงานวิจัยโดยสรุป	5
ผลที่คาดว่าจะได้รับและการใช้ประโยชน์ด้านต่างๆ เช่น เชิงนโยบาย เชิงสาธารณะและการพัฒนาสู่เชิงพาณิชย์	7
2 เอกสารและงานวิจัยที่เกี่ยวข้อง	9
ยางธรรมชาติ (Natural Rubber)	9
โครงสร้างยางธรรมชาติ	11
สมบัติทั่วไปของยางธรรมชาติ	12
การทำให้ยางธรรมชาติเกิดการคงรูป	14
เต้าลอย (Fly ash)	17
องค์ประกอบทางเคมีของเต้าลอย	17
ปัจจัยที่มีอิทธิพลต่อกุญแจสมบัติของเต้าลอย	18
การใช้ประโยชน์เต้าลอย	19
แหล่งที่มาของเต้าลอยภายในประเทศ	23
บทบาทของสารคุ่มควนไไซเลน (Silane)	23
โครงสร้างและลักษณะของนาโนเคลล์	26
การต่อ กิ่ง (grafting) มองต์มนอริลโลในตัวสารคุ่มควนไไซเลน	31

บทที่		หน้า
2	โครงสร้างของนาโนคอมโพสิต..... การเตรียมวัสดุนาโนคอมโพสิต..... งานวิจัยที่เกี่ยวข้อง.....	31 33 34
3	วิธีการดำเนินงานวิจัย..... วัสดุและสารเคมีที่ใช้ในการทดลอง..... เครื่องมือที่ใช้ในการดำเนินงานวิจัย..... วิธีการดำเนินการทดลอง..... การตรวจสอบและวิเคราะห์ถ้าลอยและนอนต์มอริลโลในต์..... การปรับปรุงผิวถ้าลอยโดยใช้สารคุ้กควนไข่เลน..... การเตรียมออร์แกโนมอนต์มอริลโลในต์ (OMMT)..... การเตรียมออร์แกโนมอนต์มอริลโลในต์ที่ปรับปรุงผิวด้วย HTMS (O-g-MMT)..... การตรวจสอบระยะห่างระหว่างชั้นชิลิกेटของ MMT และ OMMT..... การตรวจสอบผลของการปรับปรุงผิวถ้าลอยและนอนต์มอริลโลในต์..... การเตรียมยางพารา (compound rubber)..... การทดสอบสมบัติการคงรูปของยางคอมพาวด์..... การทดสอบสมบัติเชิงกล..... การทดสอบสมบัติเชิงความร้อน..... การตรวจสอบการแทรกของไมเดกุลยางในชั้นชิลิกेट..... การตรวจสอบโครงสร้างชั้นภาคของยางคอมพอยต์..... การทดสอบการบวมตัว (Swelling ratio).....	40 40 41 42 43 44 44 46 46 47 47 48 48 50 50 50 50 52
4	ผลการทดลองและวิเคราะห์ผลการทดลอง..... การศึกษาถักย้อมะทางกายภาพของถ้าลอยและนอนต์มอริลโลในต์..... การศึกษาการใช้มอนต์มอริลโลในต์เป็นสารเสริมแรงในยางธรรมชาติ..... การศึกษาผลของการปรับปรุงผิวมอนต์มอริลโลในต์..... สมบัติการบ่มของสารประกอบผสมระหว่างยางธรรมชาติและ นอนต์มอริลโลในต์..... สมบัติทางกายภาพของวัสดุผสมระหว่างยางธรรมชาติและนอนต์มอริลโลในต์..... สมบัติเชิงกลของวัสดุผสมระหว่างยางธรรมชาติและนอนต์มอริลโลในต์.....	52 52 59 59 59 62 68

บทที่		หน้า
4	สมบัติเชิงความร้อนของวัสดุผสมระหว่างยางธรรมชาติและ นอนค์มอริล โล:inline'.....	72
	การศึกษาผลของการเพิ่มเวลาในการบดผสมระหว่างยางธรรมชาติและ OMMT ..	73
	สมบัติการบ่มของวัสดุผสมระหว่างยางธรรมชาติและนอนค์มอริล โล:inline' ที่มีการเพิ่มเวลาในการบดผสมยางธรรมชาติกับออร์แกโนน.....	
	นอนค์มอริล โล:inline'.....	73
	สมบัติเชิงกลของวัสดุผสมระหว่างยางธรรมชาติและ OMMT ที่มีการเพิ่ม เวลาในการบดผสมยางธรรมชาติกับออร์แกโนนนอนค์มอริล โล:inline'.....	75
	การศึกษาผลของการต่อ กิ่ง ออร์แกโนน นอนค์มอริล โล:inline' (O-g-MMT).....	79
	สมบัติทางกายภาพของวัสดุผสมระหว่างยางธรรมชาติและ ออร์แกโนน นอนค์มอริล โล:inline' ที่มีการต่อ กิ่ง (O-g-MMT)	79
	สมบัติการบ่มของสารประกอบพสมระหว่างยางธรรมชาติและออร์แกโน น นอนค์มอริล โล:inline' ที่มีการต่อ กิ่ง (O-g-MMT).....	82
	สมบัติเชิงกลของวัสดุผสมระหว่างยางธรรมชาติและออร์แกโน ^{ใน} น นอนค์มอริล โล:inline' ที่มีการต่อ กิ่ง (O-g-MMT).....	83
	การใช้สารตัวเติมแบบถูก (hybrid filler) ระหว่างน นอนค์มอริล โล:inline' และ ถ้าลอยในยางธรรมชาติ	87
	สมบัติการบ่มสารประกอบพสมระหว่างยางธรรมชาติและ พถ้าลอยที่มี การเติมน นอนค์มอริล โล:inline'	87
	สมบัติทางกายภาพของวัสดุผสมระหว่าง น นอนค์มอริล โล:inline' และ ยางธรรมชาติที่มีการเติมถ้าลอยในปริมาณต่างๆ	89
	สมบัติเชิงกลของวัสดุผสมระหว่างยางธรรมชาติและ พถ้าลอยที่มีการเติม น นอนค์มอริล โล:inline'	92
	การทดสอบสมบัติเชิงความร้อนของวัสดุผสมระหว่างยางธรรมชาติและ พถ้าลอยที่มีการเติมน นอนค์มอริล โล:inline'	96
5	สรุปผลการทดลองและข้อเสนอแนะ.....	98
	สรุปผลการทดลอง	98
	ข้อเสนอแนะ	101

	หน้า
บรรณานุกรม.....	102
ภาคผนวก.....	107
ภาคผนวก ก ข้อมูลการทดลองจากเทคนิคต่างๆ.....	108
ภาคผนวก ข การนำเสนอและตีพิมพ์งานวิจัยบางส่วนในงานประชุมวิชาการ	149
ประวัติผู้วิจัย.....	152

สารบัญตาราง

ตารางที่		หน้า
1.1	สูตรยางคอมพาวด์ NR/OMMT (MMT)	5
1.2	สูตรยางคอมพาวด์ NR/OMMT/FA	6
2.1	มาตรฐานยางแท่งของไทย (Standard Thai Rubber, STR)	11
2.2	องค์ประกอบทางเคมีของถ้วยอยแม่มาะ	17
2.3	การแบ่งชั้นคุณภาพของถ้วยอยตามมาตรฐาน ASTM C618-96	19
2.4	การปริมาณใช้ประโยชน์และการกำจัดถ้วยอยในยุโรป ปี ก.ศ. 1999	20
2.5	ปริมาณใช้ประโยชน์และการกำจัดถ้วยอยในประเทศสหรัฐอเมริกา ปี ก.ศ. 1999	21
2.6	แสดงสูตรเคมีและลักษณะของโครงสร้างแบบ 2 : 1	27
3.1	ส่วนประกอบของยางคอมพาวด์	48
4.1	แสดงองค์ประกอบชาตุที่เป็นส่วนประกอบอยู่ในถ้วยอย	52
4.2	แสดงองค์ประกอบชาตุที่เป็นส่วนประกอบอยู่ในนวนองค์มอริล โกลไดน์	55

สารบัญ

รูปที่		หน้า
2.1	สูตร โครงสร้างยางธรรมชาติ.....	12
2.2	พันธะเคมีหรือการเชื่อมโยงของสายไม้เล็กยางด้วยคำนวณ.....	15
2.3	การเรียนรู้แบบพันธะสาร์บอน-สาร์บอนที่เกิดจากการใช้ปอร์ออกไซด์.....	15
2.4	ภาพขยาย SEM ของอนุภาคเดลล์อยท์มีลักษณะต่างๆ กัน.....	19
2.5	โครงสร้างทางเคมีของสารคู่ควบไช้เกน Si-69.....	25
2.6	โครงสร้างของชั้นซิลิกเกตแบบ 2 : 1 โครงสร้างฟิลโลซิลิกเกต.....	28
2.7	ลักษณะการแทรกตัวของออร์แกนิกไออกอนวาระห่วงชั้นซิลิกเกต.....	29
2.8	ลักษณะการรวมตัวของชั้นซิลิกเกต.....	30
2.9	รูปแบบการจัดวางตัวของสายไช้แล็คิต.....	30
2.10	การใช้สารคู่ควบ ในการปรับปรุงชั้นซิลิกเกต.....	31
2.11	ลักษณะการกระจายตัวของชั้นซิลิกเกตในวัสดุคอมโพสิต.....	32
2.12	แสดงรูปแบบ WAXD และ TEM ของวัสดุคอมพอยต์ที่แตกต่างกัน.....	33
3.1	โครงสร้างเคมีของ DPG.....	40
3.2	โครงสร้างเคมีของ MBT.....	40
3.3	โครงสร้างเคมีของ CTAB.....	41
3.4	แผนผังการดำเนินงานวิจัยโดยรวม.....	43
3.5	ลักษณะการจัดตั้งการเตรียมออร์แกโนนองค์มอริล โรไนต์.....	45
3.6	หม้อบดสาร (Ball mill)).....	45
3.7	เครื่องคัดแยกขนาด (Sieve shaker).....	46
3.8	เครื่อง Fourier Transform Infrared Spectrophotometer (FTIR).....	47
3.9	ลักษณะชิ้นงานที่ใช้ในการทดสอบความต้านทานแรงดึง.....	49
3.10	ลักษณะชิ้นงานที่ใช้ในการทดสอบความต้านทานแรงดึงขนาด.....	49
3.11	หัวกด shore A ที่ใช้สำหรับการทดสอบยาง.....	49
4.1	ลักษณะของรูปร่างของเดลล์อยจากโรงไฟฟ้าแม่เมะ.....	53
4.2	กราฟ FTIR ของเดลล์อย (FA) และเดลล์อยที่ถูกปรับปรุงผิวคล้าย Si69 (Si69-FA).....	54
4.3	ลักษณะของรูปร่างของอนองค์มอริล โลไนต์.....	56
4.4	กราฟ FTIR ของ MMT และ OMMT.....	57
4.5	ลักษณะโครงสร้างของอนองค์มอริล โลไนต์.....	58

รูปที่	หน้า
4.6 กราฟ XRD ของ MMT และ OMMT	59
4.7 แบบจำลองการแทรกของ โนเลกุล CTAB ในชั้นซิลิเกต	59
4.8 ผลของ MMT และ OMMT ที่มีต่อเวลาในการคงรูปและเวลาสกอร์ช ของสารประกอบยางธรรมชาติและน้ำ份อ่อนตัวของริบไลน์	60
4.9 ผลของ MMT และ OMMT ที่มีต่อค่าแรงบิดสูงสุดและต่ำสุดของสารประกอบ ยางธรรมชาติและน้ำ份อ่อนตัวของริบไลน์	61
4.10 ผลของ MMT และ OMMT ที่มีต่อค่าการบวมตัวของวัสดุสมรรถนะว่าง ยางธรรมชาติและน้ำ份อ่อนตัวของริบไลน์	62
4.11 ภาพ SEM ของยางคอมพอยติค (x500)	62
4.12 แบบจำลองการแทรกในชั้นซิลิเกตของ โนเลกุลยาง	64
4.13 ภาพถ่ายจากกล้องจุลทรรศน์ (optical microscope) แสดงสารเคมีที่เพรื่อออกมา ที่ผิวน้ำของวัสดุสมรรถนะว่างยางธรรมชาติและน้ำ份อ่อนตัวของริบไลน์	64
4.14 กราฟ FTIR ของกำมะถัน และสารที่เคลื่อนที่ออกมากที่บริเวณผิวยาง	65
4.15 ลักษณะการบวมตัวของ MMT และ OMMT ปริมาณ 1 กรัม ในไทรอกซิน 15 มิลลิตร	65
4.16 ผล XRD ของวัสดุสมรรถนะว่างยางธรรมชาติและน้ำ份อ่อนตัวของริบไลน์ที่มีการเติม MMT ในปริมาณต่างๆ	67
4.17 ผล XRD ของวัสดุสมรรถนะว่างยางธรรมชาติและน้ำ份อ่อนตัวของริบไลน์ที่มีการเติม OMMT ในปริมาณต่างๆ	67
4.18 แบบจำลองการแทรกของ โนเลกุล CTAB ในชั้นซิลิเกต	68
4.19 ผลของ MMT และ OMMT ที่มีต่อค่ามอคูลัสและเปอร์เซ็นต์การดึงยืดที่ขาด ของวัสดุสมรรถนะว่างยางธรรมชาติและน้ำ份อ่อนตัวของริบไลน์	69
4.20 ผลของ MMT และ OMMT ที่มีต่อค่าความต้านทานแรงดึงของวัสดุสมรรถนะว่าง ยางธรรมชาติและน้ำ份อ่อนตัวของริบไลน์	70
4.21 ผลของ MMT และ OMMT ที่มีต่อค่าความต้านทานแรงฉีกขาดของวัสดุสม รรถนะว่างยางธรรมชาติและน้ำ份อ่อนตัวของริบไลน์	71
4.22 ผลของ MMT และ OMMT ที่มีต่อค่าความแข็งที่ผิวของวัสดุสมรรถนะว่าง ยางธรรมชาติและน้ำ份อ่อนตัวของริบไลน์	72

รูปที่		หน้า
4.23	ผลของ MMT และ OMMT ที่มีต่ออุณหภูมิการสลายตัวเริ่มต้น (T_{melt}) ของวัสดุสมรรถว่างยางธรรมชาติและมอนต์มอริล็อกไนต์	73
4.24	ผลของการเพิ่มเวลาในการบดผสม OMMT ที่มีต่อเวลาในการคงรูปและเวลา สกอร์ชของสารประกอบยางธรรมชาติและมอนต์มอริล็อกไนต์	74
4.25	ผลของการเพิ่มเวลาในการบดผสม OMMT ที่มีต่อค่าแรงบิดสูงสุดและต่ำสุด ของสารประกอบยางธรรมชาติและมอนต์มอริล็อกไนต์	75
4.26	ผลของการเพิ่มเวลาในการบดผสม OMMT ที่มีต่อค่ามอคูลัสของ วัสดุสมรรถว่างยางธรรมชาติและมอนต์มอริล็อกไนต์	76
4.27	ผลของการเพิ่มเวลาในการบดผสม OMMT ที่มีต่อค่ามอคูลัสของ วัสดุสมรรถว่างยางธรรมชาติและมอนต์มอริล็อกไนต์	77
4.28	แบบจำลองโครงสร้างการเสริมแรงของ OMMT ในยางซึ่งถูกดึงยืด	77
4.29	ผลของการเพิ่มเวลาในการบดผสม OMMT ที่มีต่อค่าเปอร์เซนต์การบีบอัดที่จุดขาด ของวัสดุสมรรถว่างยางธรรมชาติและมอนต์มอริล็อกไนต์	78
4.30	ผลของการเพิ่มเวลาในการบดผสม OMMT ที่มีต่อความต้านทานแรงฉีกขาด ของวัสดุสมรรถว่างยางธรรมชาติและมอนต์มอริล็อกไนต์	78
4.31	ผลของการเพิ่มเวลาในการบดผสม OMMT ที่มีต่อความแข็งที่พิเศษของ วัสดุสมรรถว่างยางธรรมชาติและมอนต์มอริล็อกไนต์	79
4.32	กราฟ FTIR ของ MMT, OMMT และ O-g-MMT	80
4.33	กราฟ XRD ของ MMT, OMMT และ O-g-MMT	81
4.34	แบบจำลองสักขีพัฒนาการต่อ กิง (grafting) ของ HTMS บนผิวของ OMMT	81
4.35	ผลของ O-g-MMT และ OMMT ที่มีต่อเวลาสกอร์ชและเวลาในการคงรูปของ สารประกอบยางธรรมชาติที่มีการเติมมอนต์มอริล็อกไนต์	82
4.36	ผลของ O-g-MMT และ OMMT ที่มีต่อค่าความแตกต่างระหว่างแรงบิดสูงสุด และแรงบิดต่ำสุด (ΔS) ของสารประกอบยางธรรมชาติที่มีการเติม มอนต์มอริล็อกไนต์	83
4.37	ผลของ O-g-MMT และ OMMT ที่มีต่อมอคูลัสและเปอร์เซ็นต์การบีบอัดที่จุดขาด ของวัสดุสมรรถว่างยางธรรมชาติและมอนต์มอริล็อกไนต์	84
4.38	ภาพ SEM ของยางคอมโพสิตที่มีการเติม O-g-MMT 10 phr ที่กำลังขยาย 1000 เท่า	84

รูปที่		หน้า
4.39	ผลของ O-g-MMT และ OMMT ที่มีต่อความด้านทานแรงดึงดีดของวัสดุผสมระหว่าง ยางธรรมชาติและมอนต์moril โลในต์	85
4.40	ผลของ O-g-MMT และ OMMT ที่มีต่อความด้านทานแรงฉีกขาดของวัสดุผสมระหว่างยางธรรมชาติและมอนต์moril โลในต์	85
4.41	ผลของ O-g-MMT และ OMMT ที่มีต่อความแข็งที่ผิวของวัสดุสมาระหว่าง ยางธรรมชาติและมอนต์moril โลในต์	86
4.42	ผลของถ้าลอยที่มีต่อเวลาในการคงรูปและเวลาสกอร์ชของสารประกอบพสมาระหว่าง ยางธรรมชาติและมอนต์moril โลในต์	88
4.43	ผลของถ้าลอยที่มีต่อแรงบิดสูงสุดและต่ำสุดของสารประกอบพสมาระหว่าง ยางธรรมชาติและมอนต์moril โลในต์	89
4.44	ภาพ SEM ของวัสดุสมาระหว่างยางธรรมชาติและผงถ้าลอยที่มีการเติม มนต์moril โลในต์ (x1000)	89
4.45	ผล XRD ของวัสดุสมาระหว่างยางธรรมชาติและผงถ้าลอยที่มีการเติม มนต์moril โลในต์	91
4.46	ผลของถ้าลอยที่มีต่อค่าการบวนด้วยของวัสดุสมาระหว่างยาง ธรรมชาติและมอนต์moril โลในต์	91
4.47	ผลของถ้าลอยที่มีต่อค่ามอคูลัสของวัสดุสมาระหว่างยางธรรมชาติและผงถ้าลอย ที่มีการเติมนต์moril โลในต์	92
4.48	ผลของถ้าลอยที่มีต่อค่าความด้านทานแรงดึงดีของวัสดุสมาระหว่างยางธรรมชาติ และผงถ้าลอยที่มีการเติมนต์moril โลในต์	93
4.49	ผลของถ้าลอยที่มีต่อเปอร์เซ็นต์การดึงดีที่รุคากของวัสดุสมาระหว่าง ยางธรรมชาติและผงถ้าลอยที่มีการเติมนต์moril โลในต์	94
4.50	ผลของถ้าลอยที่มีต่อค่าความด้านทานแรงฉีกขาดของวัสดุสมาระหว่าง ยางธรรมชาติและผงถ้าลอยที่มีการเติมนต์moril โลในต์	95
4.51	ภาพ SEM ของวัสดุสมาระหว่างยางธรรมชาติและผงถ้าลอยที่มีการเติม มนต์moril โลในต์ (x100)	95
4.52	ผลของถ้าลอยที่มีต่อค่าความแข็งที่ผิวของวัสดุสมาระหว่างยางธรรมชาติ และมอนต์moril โลในต์	96

รายที่	หน้า
4.53 ผลของเดาเลอยที่มีต่ออุณหภูมิการสลายตัวเริ่มต้น (T_{onset}) ของวัสดุพลาสติก ระหว่างยางธรรมชาติและมอนก์มอริลในต์	97

บทที่ 1

บทนำ

1.1 ความเป็นมาและความสำคัญของป้ายชาติ

วัสดุพอลิเมอร์ที่มีการนำมาใช้งานกันอย่างมากตั้งแต่อดีตจนถึงปัจจุบันคือยางธรรมชาติ โดยมีข้อทางเคมีว่า พอลิไอโซพրีน โดยทั่วไปยางธรรมชาตินี้โครงสร้างการจัดเรียงตัวของโมเลกุลแบบอัมฟูรอน (amorphous) มีการเกิดขึ้นกันของสายโซ่โมเลกุล (entanglements) ที่สูง และมีอุณหภูมิการเปลี่ยนสถานะคล้ายแก้ว (glass transition temperature, T_g) ที่ต่ำกว่า อุณหภูมิห้อง จึงมีความยืดหยุ่น (flexibility) สูง แต่ในบางสภาพไม่สามารถจัดเรียงตัวก่อนข้างเป็นระเบียบที่อุณหภูมิต่ำหรือเมื่อถูกดึงขึ้น มันจะสามารถเกิดผลึก (stress induced crystallize) ได้ การเกิดผลึกเนื่องจากอุณหภูมิต่ำ (low temperature crystallization) จะทำให้ยางแข็งมากขึ้น แต่ถ้าอุณหภูมนิ่งขึ้นยางจะอ่อนลงและกลับสู่สภาพเดิม ในขณะที่การเกิดผลึกเนื่องจากการเย็บตัว ทำให้ยางมีสมบัติเชิงกลตี่ นั่นคือยางจะมีความทนทานต่อแรงดึง (tensile strength) ความทนทานต่อการฉีกขาด (tear resistance) และความทนทานต่อการขัดเสีย (abrasion resistance) สูง ดังนั้นจึงมีการนำยางธรรมชาติมาประยุกต์ใช้กับงานด้านต่างๆ มากน้อย เช่น ยางรถชนิดรองเท้า และถุงน้ำยา เป็นต้น

สำหรับยางดินตามลำพังจะมีข้อจำกัดในการใช้งาน เนื่องจากมีสมบัติเชิงกลต่ำ และลักษณะทางกายภาพจะไม่สอดรับกับการเปลี่ยนแปลงแปลงอุณหภูมิ โดยยางจะอ่อนตัวเมื่ออุณหภูมิสูง แต่จะแข็งเปรี้ยวเมื่ออุณหภูมิต่ำ ดังนั้นการใช้ประโยชน์จากยางธรรมชาติจำเป็นต้องมีปรับปรุงสมบัติด้วยการผสมสารเคมีต่างๆ เช่น ��黑 (carbon black) และซิลิกา (silica) ผงเข้มดำ สารตัวเร่งต่างๆ เป็นต้น หลังจากการบดผสม จะได้ยางคอมโพสต์สำหรับนำไปใช้ในแม่พิมพ์ภายใต้ความร้อนและความดัน ผ่านกระบวนการวัลภาไนเซชัน ซึ่งสมบัติของยางคงรูปที่ได้นี้จะสอดคล้องกับการเปลี่ยนแปลงความอุณหภูมิมากนัก และมีสมบัติเชิงกลตี่ขึ้น [1]

สำหรับสารเติมแต่งที่ใช้ในการปรับปรุงสมบัติยางธรรมชาติ สารเสริมแรง (reinforcement) นับเป็นสารเติมแต่งที่มีความสำคัญ โดยทั่วไปสารเสริมแรงที่นิยมใช้กับยาง ได้แก่ ผงเข้มดำ (carbon black) และซิลิกา (silica) ซึ่งพบว่า ผงเข้มดำจะให้สมบัติเชิงกลที่ดีกว่าซิลิกา เนื่องจากมีแรงกระแทกหัวง่วงของเข้มดำกับยางธรรมชาติที่ดีกว่า ถึงแม้ว่าซิลิกาจะให้สมบัติเชิงกลที่ดีกว่าซิลิกาถัดไป ซึ่งคงได้รับความสนใจ เนื่องจากการใช้ซิลิกาทำให้ผลิตภัณฑ์ยางที่ได้นี้ไม่คำหนึ่ง

ผงเข้มดำ สามารถนำไปประยุกต์ใช้กับผลิตภัณฑ์ยางที่ต้องการสีสันได้ เช่น รองเท้า เป็นต้น โดยอาจปรับปรุงแรงกระทำระหว่างซิลิกา กับยางธรรมชาติได้โดยการใช้ออร์แกโนไซเลน (organosilane coupling agent) ช่วยในการปรับปูงพื้นผิวของซิลิกา เพื่อปรับปรุงให้มีสมบัติเชิงกล ที่ดีขึ้น

ถึงแม้ว่าซิลิกาจะได้รับความสนใจอย่างกว้างขวาง แต่ก็ยังมีสารเสริมแรงอื่นที่ได้รับความสนใจเช่นกัน คือ เถ้าโลย (fly ash) โดยมีแนวคิดที่จะนำมาใช้เพื่อทดแทนซิลิกา เนื่องจากมีส่วนประกอบของซิลิกาอยู่ประมาณกว่าร้อยละ 40 และมีราคาที่ต่ำกว่าซิลิกา แหล่งวัตถุคืนของถ้าโลยนั้นมาจากกระบวนการเสียในโรงงานผลิตไฟฟ้าพลังงานความร้อนจากการเผาถ่านหิน ซึ่งปลดปล่อยกากของถ้าโลยกองกันจำนวนมากในระหว่างกระบวนการผลิตไฟฟ้า สำหรับประเทศไทยในปี ค.ศ. 2002 พ布ว่ามีมากถึง 3 ล้านตัน [2] ซึ่งหากต่อการกำจัด และปัจจุหาทางด้านสิ่งแวดล้อมอย่างมาก จึงมีการลดปัจจุหาโดยการนำถ้าโลยกับประยุกต์ใช้ประโยชน์ในด้านอุตสาหกรรม เช่น นำไปผสมในปูนซีเมนต์และคอนกรีต การนำไปใช้เพื่อบำบัดน้ำเสีย นำไปเป็นสารเพิ่มเนื้อในสี การนำมามาใช้ในการทำปูปะ และนำมายาประยุกต์ให้เป็นสารเสริมแรงในวัสดุพอลิเมอร์ [2, 3] เหล่านี้เป็นวิธีการบางส่วนที่สามารถช่วยลดปัจจุหาสำหรับการกำจัดถ้าโลยได้อีกด้วย

การนำถ้าโลยมาใช้เป็นสารเสริมแรงสำหรับยางธรรมชาติได้มีการวิจัยมานานแล้ว พ布ว่าถ้าโลยมีความสามารถในการปรับปรุงสมบัติเชิงกลได้ แต่ประสิทธิภาพไม่ดีเท่าที่ควร เนื่องจากแรงกระทำระหว่างถ้าโลยกับยางธรรมชาติค่อนข้างต่ำ [4] ดังนั้นจึงมีงานวิจัยบางส่วนศึกษา การปรับปรุงพื้นผิวของถ้าโลย เพื่อให้มีแรงกระทำระหว่างถ้าโลยกับยางธรรมชาติที่ดีขึ้น ซึ่งพบว่าสามารถทำให้สมบัติเชิงกลของยางธรรมชาติดีขึ้น เช่น ในงานวิจัยของ Nabil A. N. Alkadesi และคณะ [5] ได้ปรับปรุงพื้นผิวของถ้าโลยด้วยออร์แกโนไซเลน (silane-69) และผสมกับยางบิวตะไค อิน พ布ว่าให้สมบัติเชิงกลที่ดีขึ้น สำหรับข้อดีอีกประการหนึ่งของถ้าโลย จากงานวิจัยของ N.Sombatsompop และคณะ [4] พ布ว่าถ้าโลยสามารถลดพลังงานในการขึ้นรูป และทำให้ยางสามารถไหลได้ง่ายขึ้น ส่งผลดีต่อการนำไปประยุกต์ใช้งานทางด้านอุตสาหกรรม

สำหรับสารเสริมแรงอีกชนิดหนึ่งที่ได้รับความนิยมอย่างมากในปัจจุบันคือ มองต์มอริลโลไนต์ (MMT) ซึ่งมีการนำมามาใช้กับพอลิเมอร์อย่างกว้างขวาง มองต์มอริลโลไนต์เป็นแร่ดินที่อยู่ในกลุ่มของสมектาite (smectite) ประกอบไปด้วยชั้นของซิลิเกต (silicate layer) ที่มีความหนาประมาณ 1 นาโนเมตร ความชาราประមາณ 200-300 นาโนเมตร เนื่องจากเป็นสารเสริมแรงที่มีขนาดในระดับนาโนเมตร นอกจากนี้ยังสามารถปรับปรุงอนค์มอริลโลไนต์โดยการใช้ไอออนของสารอินทรีย์แลกเปลี่ยนกับไอออนของสารอินทรีย์ที่อยู่ระหว่างชั้นซิลิเกต โดยผ่านกระบวนการแลกเปลี่ยนไอออนนวุก ทำให้สามารถซึ้งซิลิเกตกระจายตัวในพอลิเมอร์เมทริกซ์ได้ดีกว่าสาร

เสริมแรงทั่วไป จากการวิจัยที่ผ่านมาพบว่ามอนต์มอริล โลไนต์สามารถปรับปรุงสมบัติเชิงกลและสมบัติเชิงความร้อน ได้ดีมาก โดยทำให้สศมีความแข็งตึง (stiffness) ความต้านทานต่อแรงกระแทก (impact strength) อุณหภูมิการโกร่งงอ (heat distortion temperature) ที่สูง ป้องกันต้องการผ่านของก๊าซ (gas barrier action) ได้ดี เป็นต้น จากรายงานวิจัยของ M. Arroyo และคณะ [6] ได้ศึกษาสมบัติเชิงกลเบรียบเทียบระหว่างพอยเมทิคกับอ่อนแกรโนมอนต์มอริล โลไนต์ (OMMT) ที่ผสมในยางธรรมชาติ พนวิจัยธรรมชาติที่มีการเติมน้ำยาในมอนต์มอริล โลไนต์ปริมาณ 10 phr จะให้สมบัติเชิงกลเทียบได้กับการใช้พอยเมทิคปริมาณ 40 phr จะเห็นได้ว่าการใช้มอนต์มอริล โลไนต์เป็นสารเสริมแรงจะใช้สารในปริมาณที่น้อยกว่าสารเสริมแรงที่ใช้กันทั่วไปอย่างมากสำหรับการปรับปรุงสมบัติที่เท่ากัน ดังนั้นมอนต์มอริล โลไนต์จึงมีประโยชน์อย่างมากสำหรับงานทางค้านวัสดุคอมโพสิต

นอกจากการใช้เกลือแอลกิล ammonium (alkyl ammonium salt) ในการปรับปรุงมอนต์มอริล โลไนต์แล้ว การต่อ กิ่ง (grafting) ก็เป็นอีกเทคนิคหนึ่งที่ใช้ในการปรับปรุงมอนต์มอริล โลไนต์ จากรายงานวิจัยของ Sea-Fue Wang และคณะ [7] ได้ทำการศึกษาการปรับปรุงการสังเคราะห์ clay-magadiite โดยการใช้ (hexadecyl trimethylammonium, CTAB) เข้าไปเพิ่มระยะห่างระหว่างชั้นซิลิกะ ก่อน จากนั้นจึงทำการต่อ กิ่งด้วย α -aminopropyltriethoxysilane (APTS) โดยรายงานวิจัยพบว่า การปรับปรุงด้วยวิธีดังกล่าว สามารถเพิ่มระยะห่างระหว่างชั้นซิลิกะจาก 1.53 เป็น 2.50 นาโนเมตร

หากที่ได้กล่าวมาข้างต้นจะเห็นถึงประโยชน์ของการถ้าโดยและมอนต์มอริล โลไนต์น่าใช้เป็นสารเสริมแรงสำหรับวัสดุคอมโพสิต ดังนั้นในงานวิจัยนี้ผู้วิจัยมีแนวคิดที่จะศึกษาสมบัติเชิงกลและเชิงความร้อนของวัสดุคอมโพสิตระหว่างยางธรรมชาติกับถ้าโดยที่มีการเติมน้ำยาในต์ เพื่อนำความรู้ที่ได้มาประยุกต์ใช้ในการนำน้ำยาในต์ นำปรับปรุงแมทริกซ์ของยางธรรมชาติที่มีการผสมถ้าโดยให้มีสมบัติเชิงกลและเชิงความร้อนที่ดีขึ้น รวมทั้งช่วยลดต้นทุนของการผลิตยางธรรมชาติที่มีประสิทธิภาพสูง

1.2 ความน่าทึ่งหมายและวัตถุประสงค์ของงานวิจัย

1.2.1 ศึกษาสมบัติเชิงกลของวัสดุสมรรถนะว่างยางธรรมชาติและพอยเมทิคและถ้าโดยที่มีการเติมน้ำยาในต์ที่อัตราส่วนระหว่างมอนต์มอริล โลไนต์และถ้าโดยต่างๆ

1.2.2 ศึกษาสมบัติเชิงความร้อนของวัสดุสมรรถนะว่างยางธรรมชาติและพอยเมทิคและถ้าโดยที่มีการเติมน้ำยาในต์ที่อัตราส่วนระหว่างมอนต์มอริล โลไนต์และถ้าโดยต่างๆ

1.2.3 ศึกษาอัตราส่วนที่เหมาะสมสำหรับมอนต์มอริลโลในคร์และถ้าโดย เพื่อทำให้มีสมบัติเชิงกลและเชิงความร้อนของวัสดุสมาร์ทว่างยางธรรมชาติ ผงถ้าโดยและมอนต์มอริลโลในต์ที่ดีที่สุด

1.3 แนวคิดงานวิจัย

งานวิจัยนี้เป็นการศึกษาอิทธิพลของสารเสริมแรงในยางธรรมชาติ โดยทั่วไปนี้สารเสริมแรงที่นิยมใช้ได้แก่ ผงเข้มดำ และ ชิลิกา ซึ่งเป็นสารที่ช่วยเพิ่มนื้อวัสดุ ทำให้สามารถลดต้นทุนการผลิต และขั้วเพิ่มสมบัติเชิงกลแก้วัสดุอีกด้วย สำหรับผงเข้มดำนี้มีการนำมาใช้เป็นสารเสริมแรงอย่างมาก เนื่องจากมีราคาถูกและซึ้งให้สมบัติเชิงกลที่ดี แต่ลักษณะผลิตภัณฑ์ที่ได้นั้นจะเป็นสีดำ ซึ่งการเปลี่ยนแปลงสีนี้ก่อนข้างทำได้ยาก ดังนั้นมีการนำชิลิกามาใช้ เนื่องจากสามารถปรับปรุงผลิตภัณฑ์ให้มีสีสนับได้ง่าย แต่ราคากลางชิลิกานั้นก่อนข้างแพง ดังนั้นงานวิจัยนี้จึงนำถ้าโดยซึ่งมีส่วนประกอบของสารประกอบของสารประกอบชิลิกาอยู่มากถึงร้อยละ 40 อีกทั้งถ้าโดยเป็นภาคของเหลือที่ได้จากการผลิตไฟฟ้าพลังงานความร้อน และมีอยู่ในปริมาณที่มากเกินกว่าความต้องการในการนำไปใช้ประโยชน์ งานวิจัยนี้จึงนำถ้าโดยมาเป็นสารเสริมแรงในยางธรรมชาติ แต่จากงานวิจัยที่ผ่านมา พบว่าถ้าโดยนี้สามารถเติมได้ในปริมาณที่จำกัด เนื่องจากจะให้สมบัติเชิงกลที่ลดลง เมื่อปริมาณของถ้าโดยมากขึ้น ดังนั้นงานวิจัยนี้จึงนำสารเสริมแรงอีกชนิดหนึ่งมาใช้ คือ มอนต์มอริลโลในต์ เพื่อส่งเสริมอิทธิพลของถ้าโดยให้มีสมบัติเชิงกลและเชิงความร้อนที่เพิ่มมากขึ้น

1.4 ขอบเขตของงานวิจัย

1.4.1 การศึกษาอิทธิพลของมอนต์มอริลโลในต์ที่มีต่อยางธรรมชาติ ใช้ปริมาณของมอนต์มอริลโลในต์ในอัตราส่วนต่างๆ กัน คือ 1, 3, 5, 7 และ 10 phr

1.4.2 เลือกอัตราส่วนของมอนต์มอริลโลในต์ที่ให้สมบัติเชิงกลและเชิงความร้อนที่เหมาะสม ในการศึกษาอิทธิพลของถ้าโดยที่มีต่อวัสดุสมาร์ทว่างยางธรรมชาติและมอนต์มอริลโลในต์ โดยใช้ปริมาณถ้าโดยผสมที่อัตราส่วนต่างๆ กัน คือ 10, 20, 30 และ 40 phr

1.4.3 การปรับปรุงมอนต์มอริลโลในต์ให้เป็นօอแกโนมอนต์มอริลโลในต์ สำหรับงานวิจัยนี้ใช้เซกกะเคลกิลไตรเมทิล แอมโนเนียม โนร์ไมต์ (hexadecyl trimethylammonium, CTAB) และเซกอะเคลกิลไตรเมทอกซิไซเลน (Hexadecyltrimethoxysilane, HTMS) เป็นตัวปรับปรุง

1.4.4 ถ้าโดยที่ใช้สำหรับงานวิจัย ถูกปรับปรุงพื้นผิวด้วย silane-69 เพื่อเพิ่มแรงกระทำระหว่างยางธรรมชาติและถ้าโดย

1.5 ขั้นตอนการดำเนินงานวิจัยโดยสรุป

- 1.5.1 ศึกษาและเก็บรวบรวมข้อมูลงานวิจัยที่เกี่ยวข้อง
- 1.5.2 ออกแบบวิธีการทดลอง และวางแผนการทดลอง
- 1.5.3 ขัดหาอุปกรณ์และสารเคมี
- 1.5.4 ดำเนินงานวิจัย

งานวิจัยนี้เป็นการพัฒนาห่วงโซ่อุปทานของริลโลไนต์และถ้าโดยในยางธรรมชาติ ด้วยวิธีการพัฒนาแบบหลอมเหลว (melt blending) เพื่อปรับปรุงเมทริกซ์ของยาง และศึกษาสมบัติเชิงกลและเชิงความร้อนของยางธรรมชาติ ซึ่งงานวิจัยนี้แบ่งออกเป็น 7 ตอน ได้แก่

ตอนที่ 1 ศึกษาเอกสารและงานวิจัยที่เกี่ยวข้องในการเตรียม OMMT ที่เหมาะสมกับแมทริกซ์ของยางธรรมชาติ

ตอนที่ 2 ทำการเตรียม OMMT ผ่านปฏิกิริยาการแผลเปลี่ยน ไอออนบวก (cation exchange) โดยใช้ CTAB และเปลี่ยนประจุกับโซเดียม ไอออนบวก ใน MMT หลังจากนั้นตรวจสอบผลของการปรับปรุงด้วยเทคนิค พูเรียร์ฟารานซ์ฟอร์มอนฟาราเดสเปกโตรสโคปี (FTIR) และวิเคราะห์ระยะห่างระหว่างชั้นของชิลิกเกตด้วยเทคนิคการเลือดเวนรังสีเอกซ์ (X-ray diffraction, XRD)

ทำการเตรียม O-g-OMMT โดยนำ OMMT ที่เตรียมได้มาทำการต่อ กับชั้นชิลิกเกตด้วย HTMS หลังจากนั้นนำไปศึกษาผลของการปรับปรุงอนต์มอริลโลไนต์เข้ากับ OMMT
ตารางที่ 1.1 สูตรยางคอมโพสต์ NR/OMMT (MMT) [4]

ส่วนประกอบ	ปริมาณ (phr)
ยางธรรมชาติ เกรด STR 20	100
สังกะสีออกไซด์ (ZnO)	5
กรดสเตเบริก	2
ซัลเฟอร์	3
เมอร์แคปโตเบนโซไทอะโซล (MBT)	0.5
ไดฟินิลกวนนิคิน (DPG)	0.2
OMMT หรือ MMT	เปลี่ยนแปลง
อุณหภูมิบ่มสุก	160 °C

ตอนที่ 3 ทำการเตรียมวัสดุทดสอบระหว่างยางธรรมชาติและออร์แกโนนต์มอริลโลไนต์ (NR/OMMT) และ พัฒนาห่วงโซ่อุปทานของริลโลไนต์ (NR/MMT) โดยการเตรียม

ยางคอมพาวด์ก่อนคั่วขึ้นบนเครื่องบดสมสูงลูกกลิ้ง (two-roll mill) สูตรการผสมยางดังตารางที่ 1.1 ที่ปริมาณ OMMT และ MMT ต่างๆ กัน คือ 1, 3, 5, 7 และ 10 เป็นเวลา 30 นาที

หลังจากเตรียมยางคอมพาวด์ได้ จะนำไปทดสอบคุณลักษณะการคงรูป (Cure characteristics) และสมบัติเชิงพลวัต (dynamic properties) ด้วยเครื่อง Moving Die Rheometer (MDR)

ตอนที่ 4 ศึกษาสมบัติเชิงกลของวัสดุสมรรถนะของยางธรรมชาติและօอแกโนนอยอนด์อริลไลน์ต์ (NR/OMMT) และ ผสมระหว่างยางธรรมชาติและอยอนด์อริลไลน์ต์ (NR/MMT) โดยนำชิ้นงานที่เตรียมได้มาทดสอบสมบัติการด้านทานแรงดึงดีด (tensile properties) ตามมาตรฐาน ASTM D638 สมบัติความแข็งพิเศษ (hardness) ตามมาตรฐาน ASTM D 2240 และสมบัติการฉีกขาด (tear properties) ตามมาตรฐาน ASTM D 624 เพื่อตรวจหาปริมาณ OMMT และ MMT ที่ให้สมบัติเชิงกลที่เหมาะสม พร้อมทั้งศึกษาสมบัติเชิงความร้อนด้วยเทคนิค Thermal Gravimetric Analysis (TGA) เพื่อตรวจสอบอุณหภูมิเริ่มต้นการสลายตัว

วิเคราะห์หาปริมาณ OMMT ที่ทำให้มีสมบัติเชิงกลและเชิงความร้อนที่ดี และเหมาะสมสำหรับการนำไปใช้เตรียมวัสดุสมรรถนะของยางธรรมชาติและผงถ้าลอยที่มีการเติมนอยอนด์อริลไลน์ต์

ตารางที่ 1.2 สูตรยางคอมพาวด์ NR/OMMT/FA [4]

ส่วนประกอบ	ปริมาณ (phr)
ยางธรรมชาติ เกรด STR 20	100
สังกะสีออกไซด์ (ZnO)	5
กรดสเทียริก	2
ซัลเฟอร์	3
เมอร์แคปโตเบนโซไทอะโซล (MBT)	0.5
ไดฟินิลกัวนิคีน (DPG)	0.2
ถ้าลอย	เปลี่ยนแปลง
OMMT	จากตอนที่ 4
อุณหภูมิบ่มสุก	160 °C

ตอนที่ 5 ทำการเตรียมวัสดุสมรรถนะของยางธรรมชาติและผงถ้าลอยที่มีการเติมนอยอนด์อริลไลน์ต์ (NR/OMMT/FA) โดยใช้สูตรยางคอมพาวด์ตามตารางที่ 1.2 แต่ใช้ปริมาณของ

OMMT ที่ได้จากการทดสอบสมบัติเชิงกลในตอนที่ 4 และผสมถ้าโดยที่ปรินามต่างๆกัน คือ 10, 20, 30 และ 40 phr

ตอนที่ 6 ศึกษาสมบัติเชิงกลและเชิงความร้อนวัสดุพสมะห่วงยางธรรมชาติและผงถ้าโดยที่มีการเติมนอนต์ออริลโลในต์ (NR/OMMT/FA) โดยนำชิ้นงานที่เตรียมได้นำทดสอบสมบัติการด้านทานแรงดึงดีบค (tensile properties) ตามมาตรฐาน ASTM D638 สมบัติความแข็งที่คง (hardness) ตามมาตรฐาน ASTM D 2240 และสมบัติการฉีกขาด (tear properties) ตามมาตรฐาน ASTM D 624 เพื่อตรวจหาปรินาม OMMT และถ้าโดย (fly ash, FA) ที่ให้สมบัติเชิงกลที่เหมาะสมพร้อมทั้งศึกษาสมบัติเชิงความร้อนด้วยเทคนิคต่างๆ คือ Thermal Gravimetry Analysis (TGA)

ตอนที่ 7 ศึกษาโครงสร้างสัมฐานของวัสดุพสม NR/OMMT (MMT) และ NR/OMMT/FA ด้วยเทคนิคต่างๆ ดังนี้

- เทคนิคการเลือบเบนของรังสีเอ็กซ์ (X-ray Diffraction, XRD) เพื่อศูนย์ห่างระหว่างชั้นซิลิเกตของ OMMT ในวัสดุพสม NR/OMMT (MMT) และ NR/OMMT/FA
- กล้องจุลทรรศน์อิเล็กตรอนแบบส่องกราด (Scanning electron microscope, SEM) เพื่อศูนย์ษะความเข้ากันได้ระหว่างพื้นผิวดองสารเสริมแรงทั้งสองกับเมทริกซ์ยางธรรมชาติ
- กล้องจุลทรรศน์อิเล็กตรอนแบบส่องผ่าน (Transmission Electron Microscopy, TEM) เพื่อศูนย์ษะการกระจายตัวของชั้นซิลิเกตใน NR/OMMT(MMT) และ NR/OMMT/FA

1.5.5 วิเคราะห์ผลงานวิจัยที่ได้

1.5.6 สรุปผลงานวิจัย

1.5.7 รายงานผลงานวิจัย

1.6 ผลที่คาดว่าจะได้รับและการใช้ประโยชน์ด้านต่างๆ เช่น เรื่องนโยบาย เรื่องสาธารณสุขและการพัฒนาสู่เชิงพาณิชย์

1.6.1 สามารถใช้ MMT ปรับปรุงเมทริกซ์ของยางธรรมชาติที่ผสมถ้าโดย เพื่อให้วัสดุคอมพอสิตระหว่างยางธรรมชาติและถ้าโดย มีสมบัติเชิงกล และสมบัติเชิงความร้อนที่ดี

1.6.2 สามารถปรับปรุงสมบัติทางด้านรีไซเคิลของยางได้ด้วยถ้าโดย ทำให้สามารถแปรรูปยางธรรมชาติเป็นผลิตภัณฑ์ต่างๆ ได้ง่าย

1.6.3 เพื่อลดปัญหาทางด้านสิ่งแวดล้อมในการกำจัดถ้าโดย โดยนำถ้าโดยมาประยุกต์ใช้ในงานทางด้านวัสดุคอมพอสิต เป็นการเพิ่มนูลค่าของถ้าโดย

1.6.4 เพื่อลดต้นทุนในการผลิตผลิตภัณฑ์ยาง เนื่องจากถ้าโดยนั้นมีราคาที่ถูกกว่าการใช้สารเสริมแรงทั่วไป เช่น ซิลิกา สามารถประยุกต์ใช้ในการผลิตผลิตภัณฑ์ยางที่ต้องการสีสันได้

1.6.5 เพื่อส่งเสริมให้มีอุตสาหกรรมผลิตภัณฑ์ยางที่มีมูลค่าสูงมากขึ้น เนื่องจากประเทศไทยเป็นประเทศที่มีการส่งออกยางธรรมชาตินากเป็นอันดับ 1 ของโลก แต่พบว่าอุตสาหกรรมผลิตภัณฑ์ยางในประเทศไทยมีปริมาณที่น้อย

บทที่ 2

เอกสารແຜະນາວັນຍໍທີ່ເກີຍວ້ອງ

2.1 ຍາງຮຽນຫາຕີ (Natural Rubber) [8]

ຍາງຮຽນຫາຕີສ່ວນນາກເປັນຍາງທີ່ໄດ້ຈຳດັນຍາງພາຣາສາຍພັນຖຸ *Hevea Brasiliensis* ຊົ່ງເປັນໄມ້ປາກທີ່ມີດັນກຳແນີຄຈາກລຸ່ມແມ່ນ້ຳເມືອນໃນທິວີປອເມົຣິກາໄດ້ ຕ່ອນໄມ້ມີຜູ້ນໍາມາປຸກທີ່ທິວີປຸກໂຮປແລະ ເອເຊີຍ ເນື່ອຈາກດັນຍາງພາຣາສອນອາກາຄຣອນ ຂຶ້ນ ດິນທຣາຍ ລ່ວມ ຮະບາຍນໍາຕີ ຈຶ່ງນິຍົມປຸກນາກແດວເອເຊີຍຕະວັນອອກເນີຍໄດ້ ຮ່ວມທີ່ກາຄໄດ້ ແລະ ກາຄຕະວັນອອກຂອງປະເທດໄທ ໂດຍໃນປະເທດໄທນີ້ ພື້ນທີ່ປຸກຍາງທີ່ສິ້ນປະນາຍ 12 ສຳລັບໄວ້ ກະຈາຍອູ້ໃນພື້ນທີ່ 18 ຈັງຫວັດ ຊົ່ງດີ່ວີເປັນຜູ້ພົດຍາງພາຣາ ຢາຍໃຫຍ່ທີ່ສຸດຂອງໂດກ ນ້ຳຍາງສັດທີ່ກຣີດໄດ້ຈຳດັນຍາງມີລັກພະສີຂາວຂັ້ນແລະ ມີເນື້ອຍາງແໜ້ງ (dry rubber) ປະປາຍພົບຍະ 30 ໂດຍນໍາຫັກ ແຂວນລອຍອູ້ໃນນ້ຳ ປຣິມາພຂອງເນື້ອຍາງຈິ່ນກັບໜົດຂອງພັນຖຸ ອາຍຸ ແລະ ຄຸດກາລທີ່ກຣີດຍາງ ໂດຍທ່ວ່າໄປຢາງຮຽນຫາຕີສາມາດແນ່ງອອກໄດ້ເປັນ 2 ຮູບແບບໃຫຍ່ທີ່ໄດ້ແກ່

2.1.1 ນ້ຳຍາງ (*Latex*)

ເນື່ອຈາກນ້ຳຍາງສັດທີ່ໄດ້ຈາກກາຮົດດັນຍາມນີ້ປຣິມາພນ້ຳທີ່ນາກເກີນໄປ ໄນເຫັນວ່າທີ່ຈະນໍາໄປພົດຍີເປັນພົດຍີກັບໆ ແລະ ຍັງທ່າໄທສິ້ນເປົ້າໂຄງການທີ່ໄດ້ຈຳຕະວັນການປິດຕະຫຼາດ ທັງນັ້ນຈຶ່ງເປັນຕ້ອງນໍານ້ຳຍາງທີ່ໄດ້ນ້ຳໄປຜ່ານກະບວນການປິດຕະຫຼາດ (centrifugation) ເພື່ອລົດປຣິມາພນ້ຳໃນນ້ຳຍາງສັດ ຈົນກະທັງໄດ້ນ້ຳຍາງທີ່ມີປຣິມາພຍາງແໜ້ງພື້ນຈິ່ນຈາກຮອບຍະ 30 ເປັນຮອບຍະ 60 ໂດຍນໍາຫັກ ເຮັດວຽກນ້ຳຍາງທີ່ໄດ້ນີ້ວ່າ ນ້ຳຍາງຂັ້ນ (concentrated latex) ແຕ່ເນື່ອຈາກໃນນ້ຳຍາງມີສາຮອນທຣີຍີຕ່າງໆ ເຊັ່ນ ໂປຣຕິນ ແລະ ພົດສິໄໄປ (phospholipid) ພສນອູ້ໃນປຣິມາພເລັກນ້ອຍ ຊົ່ງສາຮອນທຣີຍີເຫັນວ່າສາມາດຄຸກຍ່ອຍສລາຍດ້ວຍເຮືອຊຸລິນທຣີຍີ ມີເຮືອແບກທີ່ເຮີຍ ໄດ້ເປັນກິ້າຂະນິດຕ່າງໆ ເຊັ່ນ ກິ້າຄາຮົບອນໄດ້ອອກໃຫ້ດີ ກິ້ານມີເກັນ ມີເກັນປະກອບທີ່ນີ້ໃນໂຕຮເຈນເປັນອົງປະກອບ ທັງນັ້ນ ນ້ຳຍາງຈຶ່ງສາມາດຄຸກແນ່ວ່າສັງກິນແມ່ນໄດ້ຈຶ່ງຕ້ອງມີການເຕີມສາຮແອນໄນ້ເນື້ອງໄປ ມີເກັນປະກອບທີ່ນີ້ໃນໂຕຮເຈນເປັນອົງປະກອບ ເພື່ອຊ່ວຍຮັກຢາສກາພຂອງນ້ຳຍາງຂັ້ນໄທເກີນໄວ້ໄດ້ນານ ນ້ຳຍາງທີ່ເຕີມປຣິມາພແອນໄນ້ເນື້ອງເຂັ້ມງົດລົງ 0.7 ເປົ້ອຮັ້ນຕົ້ນ ເຮີກກວ່າ *high ammonia latex* (HA latex) ແລະ ນ້ຳຍາງທີ່ເຕີມປຣິມາພແອນໄນ້ເນື້ອງເຂັ້ມງົດລົງ 0.2 ເປົ້ອຮັ້ນຕົ້ນ ຈະເຮີກກວ່າ *low ammonia latex* (LA latex) ອີກທີ່ຈຶ່ງຈຳເປັນຕ້ອງໄສ່ສາຮເຄມືອື່ນເພີ່ມດ້ວຍ ເຊັ່ນ $ZnO/TMTD$ 0.02 ເປົ້ອຮັ້ນຕົ້ນ ມີເກັນປະກອບອົງປະກອບ 0.2 ເປົ້ອຮັ້ນຕົ້ນ ເປົ້ອຮັ້ນຕົ້ນ ເປົ້ອຮັ້ນຕົ້ນ ເປົ້ອຮັ້ນຕົ້ນ

2.1.2 ยางแห้ง

ยางแห้งเตรียมได้จากการนำน้ำยางสดที่กรีดได้มาเติมกรด เพื่อให้อุณภានน้ำยางขับตัวกัน เป็นของแข็งแยกตัวกัน จากนั้นจึงทำการ ໄล์ความชื้นออกจากเนื้อยาง เพื่อป้องกันการเกิดเชื้อราก ยางแห้งมีหลายรูปแบบ ได้แก่

2.1.2.1 ยางแผ่น

ยางแผ่น เป็นการนำยางแห้งที่ได้ไปรีดให้เป็นแผ่นด้วยเครื่องรีด แล้วทำให้แห้ง โดยการนำไปตากแดดหรือผึ่งในอาคารร้อนเพื่อให้ความชื้น โดยเรียกยางที่ได้จากการนี้ ว่า ยางแผ่น ไม่รั่นควัน (air dried sheet, ADS) หรือหากนำยางแผ่นที่ได้ไปอบร้อนกวนต่อที่อุณหภูมิ 60-70°C จะเรียกว่า ยางแผ่น

2.1.2.2 ยางเคลฟ

ยางเคลฟ เป็นยางที่ได้จากการนำเศษยางไปรีดในเครื่องเคลฟ (creping machine) พร้อมกับทำความสะอาดด้วยน้ำเพื่อเอาสิ่งสกปรกออกจากยางในระหว่างการรีด จากนั้นจึงนำไป พิ่งลมให้แห้ง

2.1.2.3 ยางแห้ง

ยางแห้ง ได้จากการนำยางมาทำเป็นก้อนเด็กๆ และอบให้แห้งด้วยอากาศร้อน และนำไปอัดเป็นแท่ง ยางแห้งจะมีคุณภาพสม่ำเสมอกว่ายางแผ่นและยางเคลฟ เนื่องจากผ่านการ ทดสอบและขัดซ้ำเพื่อรับรองคุณภาพตามหลักวิชาการ ซึ่งพิจารณาจากปริมาณสิ่งสกปรกที่มีอยู่ ในยาง โดยประเทศไทยมีการกำหนดมาตรฐานยางแห้งซึ่งเรียกว่า Standard Thai Rubber (STR) ดังตารางที่ 2.1

2.1.2.4 ยางเคลฟที่มีความหนืดคงที่หรือยาง CV (Constant Viscosity)

เนื่องจากยางแห้งเมื่อกีบไว้เป็นระยะเวลานานๆ ยางจะเริ่มแข็งขึ้น เรียก ปรากฏการณ์นี้ว่า storage hardening ซึ่งปรากฏการณ์นี้เกิดจากหมู่อัลเดไฮด์ (aldehyde group) ที่มี อยู่ในยางธรรมชาติเข้าไปทำปฏิกิริยาความแน่นกันเกิดเป็นโครงสร้างสามตัวที่มีการเชื่อมโยง ระหว่างโมเลกุลของยาง ดังนั้นจึงป้องกันโดยการสารเคมี เช่น ไอกโรกซิลามีน (hydroxylamine) ลงไว้ในน้ำยางก่อนการเติมกรด เพื่อป้องกันไม่ให้เกิดปรากฏการณ์นี้ ทำให้ยาง ที่ได้มีความหนืดคงที่ ไม่เปลี่ยนแปลงตามระยะเวลาการเก็บรักษา

ตารางที่ 2.1 มาตรฐานยางแท่งของไทย (Standard Thai Rubber, STR) [8]

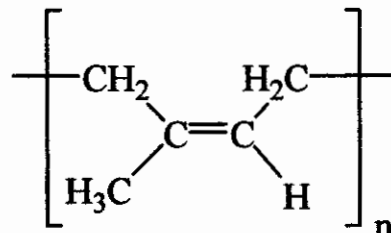
ข้อกำหนด	STR XL	STR 5L	STR 5	STR 5CV	STR 10	STR 10CV	STR 20	STR 20CV
ปริมาณสั่งสกปรกที่เหลืออยู่บนช่องบนาค 44 ไมโครอน(max%wt)	0.02	0.04	0.04	0.04	0.08	0.08	0.16	0.16
ปริมาณเต้า (max %wt)	0.40	0.40	0.60	0.60	0.60	0.60	0.80	0.80
ปริมาณไนโตรเจน (max %wt)	0.50	0.50	0.60	0.60	0.60	0.60	0.60	0.60
ปริมาณสารระเหยได้ (max %wt)	0.80	0.80	0.80	0.80	0.80	0.80	0.80	0.80
ค่า Plasticity เริ่มต้น (P0) (min.)	35	35	30	-	30	-	30	-
ค่า Plasticity Retention Index (PRI) (min.)	60	60	60	60	50	50	40	40
สี (Lovibond scale) (max.)	4.0	6.0	-	-	-	-	-	-
ความหนืดมนนี่ ML 1+4@100°C	-	-	-	*	-	**	-	***
สีของเครื่องหมาย	นำเงิน บน พื้น ขาว	เงียว อ่อน	เงียว อ่อน	ขาว บน พื้น เงียว อ่อน	นำตาล บนพื้น ขาว	ขาวบน พื้น นำตาล ขาว	แดง บน พื้น ขาว	ขาว บน พื้น แดง
สีของแผ่นฟิล์มโพลิเอทธิลีน (LDPE) ที่ใช้ห่อยาง	ขาว ใส	ขาว ใส	ขาว ใส	ขาว ใส	ขาวใส	ขาวใส	ขาว ใส	ขาว ใส
สีของແບ່ນໂພລີເອທີລືນ	ขาว ใส	ขาว ใส	ขาว ใส	ขาว ใส	ขาวทึบ	ขาวทึบ	ขาว ทึบ	ขาว ทึบ

* 70 (+7, -5), 60 (+7, -5) และ 50 (+7, -5) ** 60 (+7, -5) *** 65 (+7, -5)

2.2 โครงสร้างของยางธรรมชาติ [8]

ยางธรรมชาติมีชื่อทางเคมีคือ ซิส 1,4 พอลิไอโซพรีน (cis 1,4 polyisoprene) ตั้งรูปที่ 2.1 กล่าวคือในโมเลกุลจะประกอบด้วยหน่วยของไอโซพรีน (C_5H_8) มาต่อกันเป็นสายยาวแบบเส้นตรง โดยทั่วไปยางธรรมชาติจะมีนำนักโมเลกุลเฉลี่ยอยู่ในช่วง 200,000 ถึง 400,000 และมีการกระจายตัวของนำนักโมเลกุลที่กว้างมาก ยางธรรมชาติมีความหนาแน่นเท่ากับ 0.93

g/cm^3 ที่อุณหภูมิ 20°C และนิอุณหภูมิของการเปลี่ยนสถานะคล้ายแก้ว (glass transition temperature, T_g) ประมาณ -72°C



รูปที่ 2.1 สูตรโครงสร้างยางธรรมชาติ

2.3 สมบัติทั่วไปของยางธรรมชาติ [8]

ความยืดหยุ่น (elasticity) สมบัติด้านความยืดหยุ่นเป็นลักษณะเด่นของยางธรรมชาติ โดยยางธรรมชาติที่คงรูปแล้วจะมีความยืดหยุ่นสูง เมื่อแรงดึงดูดออกมาระทำกับยางหนดไป ยางจะกลับคืนสู่รูปร่างและขนาดเดิม

ความเหนียวติดกัน (tack) ยางธรรมชาติ มีสมบัติดีเยี่ยมในด้านความเหนียวติดกันซึ่งเป็นสมบัติสำคัญของการผลิตผลิตภัณฑ์ที่ต้องอาศัยการประกอบชิ้นส่วนต่างๆ เข้าด้วยกัน เช่น ยางถือรอกยนต์ เป็นต้น

ความทนทานต่อแรงดึง (tensile strength) เมื่อจากไม่เลกฤทธิ์ของยางธรรมชาตินิความหนืดสูงทำให้ยางธรรมชาติสามารถดักผลึกได้ง่ายเมื่อถูกยืด ซึ่งผลึกที่เกิดขึ้นจะช่วยเสริมสร้างความแข็งแรงให้กับยาง ดังนี้ ยางธรรมชาติจึงมีค่าความทนทานต่อแรงดึงสูงมาก โดยไม่ต้องใช้สารตัวเติมเสริมแรงเข้าช่วย

ความทนทานต่อการฉีกขาด (tear strength) เมื่อจากยางธรรมชาติสามารถดักผลึกได้เมื่อถูกยืด ดังนี้ ยางธรรมชาติจึงมีความทนทานต่อการฉีกขาดสูงมากทั้งที่อุณหภูมิห้องและอุณหภูมิสูง การเติมสารตัวเติมเสริมแรงดึง ไปก็จะช่วยทำให้ค่าความต้านทานต่อการฉีกขาดของยางสูงขึ้น

สมบัติเชิงพลวัต (dynamic properties) ยางธรรมชาติมีสมบัติเชิงพลวัตที่ดี ยางมีการสูญเสียพลังงานในรูปของความร้อนคำាในระหว่างการใช้งาน นอกจากนี้ ยางธรรมชาติยังมีความต้านทานต่อการล้า (fatigue resistance) ที่สูงมากด้วย

ความต้านทานต่อการขัดขูด (abrasion resistance) ยางธรรมชาติมีค่าความต้านทานต่อการขัดขูดสูง เมื่อเปรียบเทียบกับยางสังเคราะห์ชนิดอื่นๆ

ความเป็นฉนวนไฟฟ้า (insulation) ยางธรรมชาติมีความเป็นฉนวนไฟฟ้าสูงมาก โดยมีค่าความต้านทานไฟฟ้าจำเพาะ (specific resistivity) สูงถึง 10^{15} หรือ 10^{16} ohm.cm

ความทนทานต่อของเหลวและสารเคมี (*liquid and chemical resistance*) เนื่องจากองค์ประกอบของยางธรรมชาติเป็นสารไฮโดรคาร์บอนไม่มีข้าว ดังนั้น ยางคิดเจ็งจะสามารถได้ดีในตัวทำละลายที่ไม่มีข้าว เช่น เบนซิน เอกโซน และโกลอิน เป็นต้น ความสามารถในการละลายนี้จะลดลงถ้ายางเกิดการคงรูป จากการเชื่อม โดยทางเคมีของโนเลกุลเกิดเป็นโครงร่างทาง化學ที่มีอยู่ในยางคงรูป จะไปขัดขวางกระบวนการละลายของยาง ยางคงรูปจะเพียงแต่เกิดการบวนตัวในตัวทำละลายเหล่านี้เท่านั้น แต่ยางจะสามารถถอนหานต่อของเหลวที่มีข้าว เช่น อะซิโคน หรือแอลกอฮอล์ นอกจากนี้ยางยังสามารถถอนต่อกรดและค่างเงื่องเจาจางได้ดี แต่ไม่ทนต่อกรดในตริกและกรดกำมะถัน เช่นขัน

การเสื่อมสภาพเนื่องจากความร้อน ไอโอดิน และแสงแดด (*aging properties*) เนื่องจากโนเลกุลของยางธรรมชาติมีพันธะคู่อยู่มาก ทำให้ยางว่องไวต่อการทำปฏิกิริยา กับออกซิเจน โดยมีแสงแดดหรือความร้อนเป็นตัวเร่งปฏิกิริยา ดังนั้นยางธรรมชาติจะยืดหยุ่นออกซิไดซ์ได้ง่าย นอกจานี้ ยางธรรมชาติยังไม่ทนต่อไอโอดิน เพราะเมื่อยางถูกยืดและได้รับไอโอดินเป็นเวลานานๆ จะเกิดรอยแตกขนาดเล็กจำนวนมากที่บริเวณพื้นผิวในทิศทางตั้งฉากกับทิศทางการยืดตัวของยาง

การหักงอที่อุณหภูมิต่ำ (*low temperature flexibility*) ยางธรรมชาติยังคงรักษาสมบัติความยืดหยุ่นหรือความสามารถในการหักงอได้แม้ที่อุณหภูมิต่ำมากๆ

การอุบจุน (*compression set*) ธรรมชาตินิ่นค่าการอุบจุนค่อนข้างต่ำทั้งที่อุณหภูมิห้องและอุณหภูมิสูงปานกลาง แต่ที่อุณหภูมิต่ำยางธรรมชาติจะมีค่าการอุบจุนที่สูงขึ้น เนื่องจากอาจเกิดการตกหลักทำให้ความยืดหยุ่นของยางเริ่มสูญเสียไป ขณะที่เมื่ออุณหภูมิสูงยางธรรมชาติจะไม่ทนต่อความร้อน ยางจะเกิดการเสื่อมสภาพ ค่าการอุบจุนจะสูงขึ้น

การกระเด้งกระคอน (*rebound resilience*) ยางธรรมชาติมีสมบัติการกระเด้งกระคอนสูง และในระหว่างการเปลี่ยนแปลงรูปร่าง ยางจะสูญเสียพลังงานในรูปของความร้อนน้อย ยางธรรมชาติจะมีความร้อนสะสมต่ำ เมื่อยูกใช้งานในเชิงพลวัต ยางชนิดนี้จึงเหมาะสมที่จะใช้ในการผลิตผลิตภัณฑ์ที่มีขนาดใหญ่ เช่นยางรถบรรทุก หรือยางล้อเครื่องบิน เพราะหากใช้ยางที่มีความร้อนสะสมสูงก็อาจทำให้ยางเกิดการระเบิดได้ง่าย

อุณหภูมิการใช้งาน (*service temperature*) ยางธรรมชาติสามารถใช้งานได้ที่อุณหภูมิตั้งแต่ -55 ถึง 70 °C อย่างไรก็ตาม หากเก็บยางไว้ที่อุณหภูมิต่ำนานๆ ยางอาจเกิดการตกหลักซึ่งทำให้ยางแข็งขึ้นและสูญเสียความยืดหยุ่นไป แต่ถ้าอุณหภูมิการใช้งานสูงเกินไป สมบัติเชิงกลต่างๆ ก็จะด้อยลง เนื่องจากความร้อนจะทำให้ยางเกิดการเสื่อมสภาพ ในการออกสูตรผสมสารเคมียางที่เหมาะสม ยางธรรมชาติอาจสามารถใช้งานได้ย่างต่อเนื่องที่อุณหภูมิสูงถึง 90 หรือ 100 °C

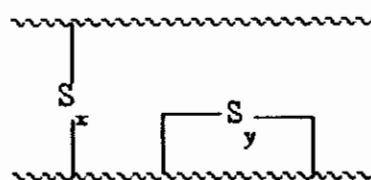
อย่างไรก็ตาม ยางดินยังคงมีปัจจัยสำคัญในการใช้งาน เนื่องจากมีสมบัติเชิงกลต่ำ และลักษณะทางกายภาพที่ไม่สอดคล้องกับการเปลี่ยนแปลงแปลงอุณหภูมินิ่ง กล่าวคือยางจะอ่อนตัวและเหนียวเมื่อได้รับความร้อน แต่จะแข็งเปราะเมื่ออุณหภูมนิ่ง ด้วยเหตุนี้การใช้ประโยชน์จากยางจำเป็นต้องมีการผสมยางกับสารเคมีต่างๆ เช่น กำมะถัน พงเขม่าคำ และสารตัวเร่งต่างๆ เป็นต้น หลังจากการบดผสม ยางผสมหรือยางคอมพาวด์ (rubber compound) ที่ได้จะถูกนำไปขึ้นรูปในแม่พิมพ์ภายใต้ความร้อนและความดัน กระบวนการนี้เรียกว่า วัลคาไนเซชัน (vulcanization) ยางที่ผ่านการขึ้นรูปนี้ จะเรียกว่า “ยางสุกหรือยางคงรูป” (vulcanizate) ซึ่งสมบัติของยางคงรูปที่ได้นี้จะสอดคล้องกับการเปลี่ยนแปลงความอุณหภูมินิ่งนัก และมีสมบัติเชิงกลดีขึ้น ยางธรรมชาติถูกนำไปใช้ในการผลิตพัฒนาต่อไปอย่างต่อเนื่อง

2.4 การทำให้ยางธรรมชาติเกิดการคงรูป [9]

การทำให้ยางคงรูปหรือการทำให้ยางสุก คือ การทำให้ยางเกิดปฏิกิริยาเชื่อมโยงระหว่างสายไมเลกุลหรือที่เรียกว่า ปฏิกิริยาวัลคาไนเซชัน เกิดเป็นโครงสร้างตาข่าย 3 มิติ ส่งผลให้ยางเกิดการเปลี่ยนสภาพจากค่อนข้างอ่อนนิ่งเป็นพลาสติกสูง ไปเป็นยางที่มีความยืดหยุ่นดีและแข็งแรง มีสมบัติเชิงกลที่สอดคล้องกับการเปลี่ยนแปลงของอุณหภูมนิ่งนัก และทำให้ยางทนต่อการเสื่อมสภาพเนื่องจากความร้อนและแสงแดด ได้ดียิ่งขึ้น จึงสามารถนำยางไปใช้ได้อย่างกว้างขวาง ปฏิกิริยาวัลคาไนเซชันต้องอาศัยสารเคมีกุ่นที่ทำให้ยางคงรูป (vulcanizing or curing agents) และความร้อนเพื่อทำให้สารดังกล่าวสามารถเกิดปฏิกิริยาได้

2.4.1 ระบบทำให้ยางคงรูปด้วยกำมะถัน (sulphur vulcanization system)

เป็นระบบที่ใช้อุปกรณ์กว้างขวางกับยางที่มีโครงสร้างทางไมเลกุลไม่อิ่นตัว (unsaturation) ระบบนี้จำเป็นต้องมีสารตัวกระตุ้น (activator) เช่น ชิงค์ออกไซด์ และกรดสเตียริก สำหรับสารตัวเร่งปฏิกิริยา (accelerator) จะช่วยเพิ่มประสิทธิภาพและอัตราเร็วของการเกิดปฏิกิริยาคงรูป สัดส่วนระหว่างการใช้กำมะถันกับสารตัวเร่งนี้ความสำคัญ เพราะเป็นตัวกำหนดคุณภาพของพื้นฐานเคมีที่เกิดขึ้น เช่น ถ้าใช้ปริมาณกำมะถันมากและใช้สารตัวเร่งน้อย เรียกว่าระบบธรรมดा (conventional vulcanization, CV system) ซึ่งจะมีพื้นฐานเคมีแบบพอลิซัลไฟด์ และแบบวงกลม (cyclic) แต่ถ้าใช้ปริมาณกำมะถันน้อยและใช้สารตัวเร่งมากจะได้พื้นฐานเคมีส่วนใหญ่เป็นแบบโนโนซัลไฟด์ เรียกว่าระบบนี้ว่าระบบประสิทธิภาพ (efficient vulcanization, EV system) นอกจาก 2 ระบบดังกล่าวยังมีอีกระบบที่เรียกว่า ระบบกึ่งประสิทธิภาพ (semi-EV system) ซึ่งจะอยู่กึ่งกลางระหว่าง 2 ระบบข้างต้น คือใช้ปริมาณกำมะถันเท่ากับปริมาณสารตัวเร่ง



ระบบ EV ค่า x จะเท่ากับ 1 หรือ 2 (mono- or disulphide)

ระบบ CV ค่า x จะสูงกว่าในช่วง 3 ถึง 8 (polysulphide)

รูปที่ 2.2 พันธะเคมีหรือการเชื่อมโยงของสายไม้เล็กน้อยด้าน [9]

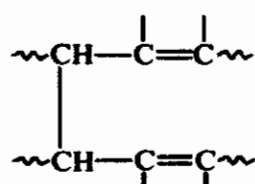
อย่างไรก็ตามพันธะเคมีแบบพอดิชัลไฟฟ์จะให้ยางที่มีสมบัติเชิงกลดีแต่ไม่ทนต่อความร้อนเนื่องจากพันธะ S-S เป็นพันธะที่ไม่แข็งแรง ในขณะที่ยางที่มีพันธะแบบไม้เล็กน้อยด้าน [9] จัดไฟฟ์ จะให้สมบัติเชิงกลที่ดีมากกว่า แต่ยางจะเสียหายต่อความร้อนได้ดี

2.4.2 ระบบทำให้ยางคงรูปด้วยสารประกอบที่สลายตัวให้กำมะถัน (sulphur donor vulcanization system)

นอกจากการใช้ชาตุกำมะถันเป็นสารคงรูปแล้ว สารประกอบอินทรีย์ที่สลายตัวให้กำมะถันที่อุณหภูมิการอบให้ยางคงรูปคือสารารomaticใช้เป็นสารคงรูปได้ สารกลุ่มนี้ได้แก่ TMTD (tetramethyl thiuram disulphide) และอนุพันธ์ของมอร์โฟลีน (morpholine) เช่น DTDM (dithio dimorpholine) การใช้สารประกอบพวกรนเป็นสารคงรูปนีข้อดีคือลดปัญหาการเกิดการบูร (blooming) และเนื่องจากปฏิกิริยาจะไม่เกิดจนกว่ากำมะถันจะสลายตัวออกมานา ดังนั้นจึงลดปัญหาการเกิดสกอร์ช (scorch) สารพวกรนนี้ยังคือให้เกิดพันธะเคมีแบบไม้เล็กน้อยเป็นส่วนใหญ่ทำให้ยางทนต่อการเสื่อมสภาพเนื่องจากความร้อนได้ดีมาก

2.4.3 ระบบที่ทำให้ยางคงรูปด้วยสารที่ไม่มีกำมะถัน

เยอร์ออกไซด์ เป็นสารคงรูปที่สำคัญสำหรับยางที่มีไม้เล็กน้อยด้าน (saturate) หรือไม้เล็กน้อยที่ไม่มีหมู่ฟังก์ชันที่ไวต่อปฏิกิริยาในการสร้างพันธะเคมีเชื่อมไม้เล็กน้อย เช่น ยาง EPM เป็นต้น ในท่านองเดียวกัน เยอร์ออกไซด์สามารถใช้เป็นสารคงรูปสำหรับยางที่ไม่อ่อนตัว เช่น ยางธรรมชาติ ยาง SBR และยาง NBR ได้ และจะทำให้ยางเหล่านี้ทนต่อความร้อนได้ดี สารกลุ่มนี้ไม่ได้เข้าไปเรื่องระหว่างไม้เล็กน้อยของยาง แต่จะทำให้ไม้เล็กน้อยของยางเกิดเป็นอนุญลิตร (radicals) และเกิดเป็นพันธะเคมีแบบการบอน-คาร์บอน ระหว่างสายไม้เล็กน้อยของยาง



รูปที่ 2.3 การเชื่อมโยงแบบพันธะบอน-บอนที่เกิดจากการใช้เยอร์ออกไซด์

ໄລຍະອອກໄຊ໌ເຊັ່ນ ZnO ໃຫ້ໃນການເກີດປົງກິໂຮງຈຸບັນຂາງນີ້ໄອພຣິນ ໂດຍນິຍນໃຫ້ຮ່ວມກັນ MgO ເພື່ອເປັນຕົວຈັບອະຕອມຄລອຣິນທີ່ເກີດຂຶ້ນ

ສາງປະກອບທີ່ມີໜຸ່ງຝຶກໍ່ຂັ້ນ 2 ພູ່ ທີ່ອຳນາກກວ່າ ສາມາຮດໃຫ້ເປັນສາງທີ່ທຳໄຫ້ຢາງຄງຽບໄດ້ ເພົ່າມ່ານຸ່ງຝຶກໍ່ຂັ້ນທີ່ປຳລາຍດ້ານໜຶ່ງຂອງສາງປະກອບແລ້ວນີ້ຈະເຂົາທຳປົງກິໂຮງຈຸບັນສາຍໄຊ່ໄມ້ເລຸດຢາງ (ສາຍໄຊ່ທີ່ 1) ໃນຂະໜາດທີ່ໜຸ່ງຝຶກໍ່ຂັ້ນອີກປຳລາຍດ້ານໜຶ່ງຈະເຂົາທຳປົງກິໂຮງຈຸບັນສາຍໄຊ່ໄມ້ເລຸດຢາງທີ່ອູ່ ໄກສີເຄີ່ງ (ສາຍໄຊ່ທີ່ 2) ສາງປະກອບແລ້ວນີ້ຈຶ່ງມີໜັກທີ່ເປົ້າຍເສີມອືນສະພານເຊື່ອນສາຍໄຊ່ໄມ້ເລຸດຢາງເຂົາດ້ວຍກັນ ຕົວອ່າງທີ່ສໍາຄັນຂອງສາງປະກອບແລ້ວນີ້ ໄດ້ແກ່

ຄວິໂວິນ ໄຄອອກໄໝ໌ (Quinonedioxime) ສາງປະກອບໃນກຸ່ມຄວິໂວິນ ໄຄອອກໄໝ໌ສາມາຮດແກ່ຕົວເປັນອນຸມຸລິສະຮະໄດ້ຈ່າຍ ຈຶ່ງນິຍນໃຫ້ເປັນສາງທີ່ທຳໄຫ້ຢາງຄງຽບ ເພົ່າມ່ານຳກິໂຮງຈຸບັນໄດ້ເຮົວໂຄຍໄມ້ຕ້ອງໃຊ້ກຳນະດັນແລະຢາງຄງຽບທີ່ໄດ້ກີ່ຈະນີຄວາມຄອງທນຕ່ອຄວາມຮ້ອນແລະໄອນ້ສູງເປັນພີເໜ່ຍ ຕົວອ່າງທີ່ສໍາຄັນຂອງສາງປະກອບກຸ່ມນີ້ ກີ່ຈະເປັນໂຄວິໂວິນ ໄຄອອກໄໝ໌ (p-benzoquinonedioxime, CDO) ແລະ ໄຄເບັນໂຄວິໂວິນ ໄຄອອກໄໝ໌ (dibenzo-CDO)

ໄຄໄອໄໂໝໄໝຫານແຕ (Diisocyanate) ສາງປະກອບໃນກຸ່ມໄຄໄອໄໂໝໄໝຫານແຕ ໄດ້ຮັບການພັນນາໄຫ້ສາມາຮດໃຫ້ໃນການຄງຽບຂາງຮຽນຈາຕີ ຢາງຄງຽບທີ່ໄດ້ຈະນີຄວາມຄອງທນຕ່ອຄວາມຮ້ອນສູງ ແລະບັນນີ້ຄວາມເຂົ້າສູ່ງກວ່າຢາງທີ່ໄດ້ຈາກການຄງຽບດ້ວຍຮະບນກຳນະດັນອີກດ້ວຍ ເຊັ່ນ ບັດກິໄດ້ພື້ນລົມເທັນໄຄໄອໄໂໝໄໝຫານແຕ (block diphenyl methanediisocyanate)

ໄຄເອມືນ (Diamine) ສາງປະກອບໃນກຸ່ມໄຄເອມືນ ເຊັ່ນ ເສກະແນທີລືນໄຄເອມືນ (hexamethylene diamine) ໃຫ້ຮ່ວມກັນແມັກນີເຊີ່ມອອກໄຊ໌ (MgO) ແລະເຊີ່ມອອກໄຊ໌ (CaO) ທີ່ອຕະກຳວ່າອອກໄຊ໌ (PbO) ສາມາຮດໃຫ້ໃນການຄງຽບຢາງຝູລອອໂຮກເບັນອນໄດ້ ແຕ່ໃນປັ້ງຈຸບັນສາງປະກອບດັ່ງກ່າວນີ້ໄໝໄດ້ຮັບຄວາມນິຍນ ເນື່ອຈາກນີ້ຮະເວລາສກອງຮ່າທີ່ສັ້ນນາກ ຈຶ່ງທຳໄຫ້ກະບວນກາຮັດຕິເປັນໄປດ້ວຍຄວາມຍາກດໍານາກ ຢາງຄງຽບທີ່ໄດ້ຈະນີສົນບັດເຊີ່ງກລກທີ່ຕໍ່າແຕ່ບັນນີ້ສົນບັດກາຮັດຕິເປັນເຕີບຮູປ່າຫັນກາກ ການຄອດທີ່ໄໝໄດ້ໃນປັ້ງຈຸບັນຜູ້ຜູ້ຄົດຈຶ່ງນິຍນໃຫ້ບິສັບິສັນອລ ເອ-ເອັກ (bisphenol AF) ຮ່ວມກັນຕົວຈັບກຣດ ເຊັ່ນ MgO/Ca(OH)₂ ແກນ ເພົ່າມ່ານຳການຄງຽບແບບຫດັ່ງນີ້ຈະທຳໄຫ້ຢາງມີຮະເວລາກາຮັດຕິທີ່ຍ້າງເຊັ່ນນອກຈາກນີ້ຢາງຄງຽບທີ່ໄດ້ບັນນີ້ສົນບັດເຊີ່ງກລກທີ່ຕີກວ່າແລະນີ້ຄ່າກາຮັດຕິເປັນໄປດ້ວຍການອັດຕະກຳທີ່ຕໍ່າກວ່າ

ນອກຈາກການໃຊ້ສາງເຄມີຕັ້ງກ່າວແດ້ວ່າ ການຈາຍຮັງສີທີ່ມີພັດງານສູງ ເຊັ່ນ ຮັງສີແກນນາ ກໍ່ສາມາຮດທຳໄຫ້ຢາງຄງຽບໄດ້ເຊັ່ນກັນ ໄຄເມື່ອຄຸກຮັງສີໄມ້ເລຸດຂອງຢາງຈະແກ່ຕົວໄຫ້ອນຸມຸລິສະຮະແລະທຳໄຫ້ເກີດກາຮັດຕິເປັນໄປງານແບບ ກາຮັນອນ-ກາຮັນນອນທຳໄຫ້ຢາງທີ່ໄດ້ນີ້ຄວາມເສົ່ຍຍ່າຍຕ່ອຄວາມຮ້ອນ ມີຄວາມບົງສູກທີ່ສູງເພົ່າມ່ານີ້ສາງເຄມີອື່ນໄຄເຈັບປັນ ຈຶ່ງເໝາະສໍາຫັນກາຮັດຕິອຸປະກົດທີ່ຮອັບຮັບສ່ວນຢາງທີ່ໃຊ້ກາງການແພທຍໍ

2.5 เถ้าดอย (Fly ash) [10-11]

เถ้าดอยเป็นของเหลือที่ได้จากการเผาไหม้ของถ่านหินในโรงงานผลิตไฟฟ้า ประกอบไปด้วยอนุภาคที่มีขนาดต่างๆ กัน พบว่ามีขนาดเฉลี่ยของซิลิค้า อัลูมินา (silica alumina glass spheres) ตั้งแต่ 5 ถึง 45 ไมโครเมตร หลังจากการจัดแบ่งประเภท โดยขนาดของอนุภาคที่แตกต่างกันนี้ สามารถแยกได้โดยชุดของไซโคลน (cyclone) สำหรับในแอฟริกาใต้พบว่ามีปริมาณของเถ้าดอย เกิดขึ้นต่อปีประมาณ 30 ล้านตัน โดยการที่เหลือจากการเผาไหม้ของถ่านหินประมาณร้อยละ 20 จะเป็นถ่านของหนืดดัน (bottom ash) และประมาณร้อยละ 80 คือเถ้าดอย ซึ่งเป็นปริมาณที่มาก ทำให้เกิดปัญหาต่างๆ มากมาย ทั้งปัญหาต่อประชากรและสิ่งแวดล้อม เนื่องจากในการกำจัดเถ้าดอย นั้น จะอาศัยการฝังกลบ ซึ่งต้องใช้พื้นที่ในการจัดการที่มาก วิธีที่คิดค้นมาคือการลดปริมาณเถ้าดอย โดยการนำไปประยุกต์ใช้ให้เกิดประโยชน์แก่โรงงานอุตสาหกรรม

2.6 องค์ประกอบทางเคมีของเถ้าดอย [11]

องค์ประกอบทางเคมีของเถ้าดอย จะประกอบด้วยซิลิค้า (SiO_2) อัลูมินาออกไซด์ (Al_2O_3) เฟอร์ริสโซกไซด์ (Fe_2O_3) และ แคลเซียมออกไซด์ (CaO) ตารางที่ 2.2 แสดงองค์ประกอบทางเคมีของเถ้าดอยแม่น้ำระหว่างปี 2533 – 2542 พบว่าสารประกอบที่มีจำนวนมากคือ SiO_2 และ Al_2O_3 ตารางที่ 2.2 องค์ประกอบทางเคมีของเถ้าดอยแม่น้ำ [11]

สารประกอบ	ค่าเฉลี่ยเป็นร้อยละโดยน้ำหนัก
CaO	9.4-17.4
SiO_2	37.3-52.8
Al_2O_3	18.0-28.1
Fe_2O_3	8.5-15.0
MgO	1.2-3.3
SO_3	1.7-3.9
Na_2O	0.6-1.3
K_2O	2-3.3
การสูญเสียเนื่องจากการเผา	0.1-0.9

2.7 ปัจจัยที่มีอิทธิพลต่อกุณสมบัติของถ้าลอย [11]

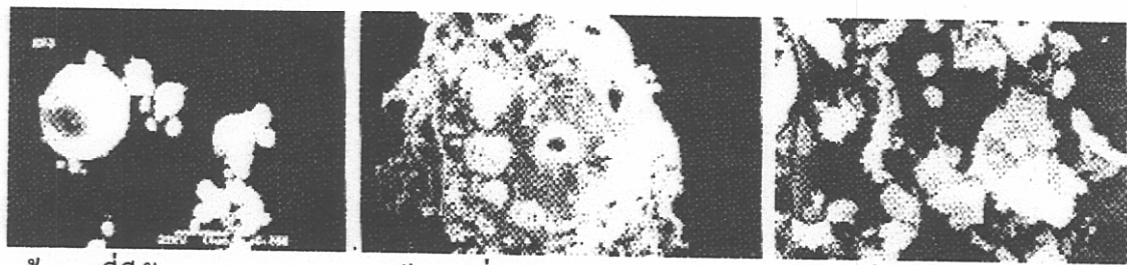
กุณสมบัติของถ้าลอยจะขึ้นอยู่กับ ลักษณะและคุณสมบัติของถ่านหิน ลักษณะทางกายภาพ คุณสมบัติทางเคมี และความละเอียดของถ้าลอย ดังนี้

2.7.1 ลักษณะและคุณสมบัติของถ่านหิน

แบ่งตามคุณสมบัติและระยะเวลาการเกิดออกเป็น 4 ประเภท ได้แก่ พีท (peat) เกิดจากการทับถมของพืช มีลักษณะเป็นเนื้อไม้พรุนๆคล้ายฟองน้ำ สีน้ำตาลอ่อน ไปจนถึงสีดำ และคุณชั้นน้ำไว้มาก ลิกไนต์ (lignite) หรือถ่านหินสีน้ำตาล (brown Coal) มีสีน้ำตาลอ่อนจนสีน้ำตาลแก่ มีปริมาณการบ่อน้ำต่ำ ความชื้นสูง บิทูมินัส (bituminous หรือ soft coal) ติดไฟง่าย กลิ่นแรง มีสารระเหยอยู่ระหว่างร้อยละ 18-45 โดยน้ำหนัก และแอนทราราไซต์ (anthracite) เป็นถ่านหินที่มีปริมาณคาร์บอนสูงประมาณร้อยละ 92-44 โดยน้ำหนัก เนื้อถ่านหินสีดำ เป็นเงา มีความชื้นน้อยประมาณร้อยละ 2 โดยน้ำหนักกลุกติดไฟช้าและนานกว่าถ่านหินชนิดอื่นๆ ถ่านหินที่พบในประเทศไทยส่วนใหญ่มีอายุประมาณ 50-70 ล้านปี จะเป็นถ่านหินลิกไนต์ซึ่งมีคุณภาพต่ำกว่าชนิดอื่น แต่ก็สามารถนำไปใช้ประโยชน์แทนน้ำมันเชื้อเพลิงได้เป็นอย่างดี

2.7.2 ลักษณะทางกายภาพของถ้าลอย

ขึ้นอยู่กับความละเอียดของถ่านหินก่อนเผา และชนิดของถ่านหิน อุณหภูมิเผาถ่านหิน Lane, Best (1982) พบว่าถ้าลอยส่วนใหญ่เป็นรูปทรงกลมตันและอาจเป็นรูปทรงกลมกลวงหรือรูเจิ่น ซึ่งขึ้นอยู่กับประสาทิภาพและระบบของเครื่องดักจับถ้าลอย โดยทั่วไปจะเป็นเม็ดกลมมีขนาดเส้นผ่าศูนย์กลางตั้งแต่เล็กกว่า 1 ไมโครเมตร (0.001 มิลลิเมตร) จนถึง 0.15 มิลลิเมตร ส่วนถ้าลอยที่มีขนาดใหญ่และอาจจะมีถ้าลอยขนาดเล็กๆอยู่ภายในเรียกว่าถ่านหินกลวง (cenosphere) ซึ่งมีน้ำหนักเบาและลอยน้ำได้ รูปที่ 2.4 แสดงภาพขยาย SEM ของอนุภาคถ้าลอยที่มีลักษณะต่างๆกัน สำหรับถ้าลอยโดยโดยทั่วไปจะแตกต่างกันจากถ่านหินสีน้ำตาลอ่อน สีเทาและสีดำขึ้นอยู่กับสารประกอบภายในถ้าลอย



รูปที่ 2.4 ภาพขยาย SEM ของอนุภาคถ้าลอยที่มีลักษณะต่างๆกัน [11]

2.7.3 คุณสมบัติทางเคมีของถ้าลอย

คุณสมบัติทางเคมีของถ้าลอย จะมีค่าต่างกันในเชิงปริมาณตามแหล่งหรือชนิดของถ่านหิน ที่มาของถ้าลอย ขบวนการเผา อุณหภูมิที่ใช้เผา มาตรฐาน ASTM C618-96 ได้แบ่งชั้นคุณภาพของถ้าล้อยออกเป็น 2 ชั้นคุณภาพ ได้แก่ ชั้นคุณภาพ F และชั้นคุณภาพ C ตามตารางที่ 2.3 โดยใช้องค์ประกอบทางเคมีของถ้าลอยที่ได้หลังจากการเผาถ่านหินเป็นตัวกำหนด

ตารางที่ 2.3 การแบ่งชั้นคุณภาพของถ้าลอยตามมาตรฐาน ASTM C618-96 [11]

คุณสมบัติ	ประเภทของถ้าลอย	
	ชั้นคุณภาพ F	ชั้นคุณภาพ C
$\text{SiO}_2 + \text{Al}_2\text{O}_3 + \text{Fe}_2\text{O}_3$, min %	70.0	50.0
SO_3 , max %	5.0	5.0
ปริมาณความชื้น, max %	3.0	3.0
การสูญเสียเนื้องจาก การเผาไหม้, max %	6.0	6.0
อัลคาไลน์ ในรูปของโซเดียมไนเตรต (Na_2O), max %	1.5	1.5
ดัชนีกำลังร้อนแรงอัค, min %	75.0	75.0

ถ้าลอยชั้นคุณภาพ F ส่วนใหญ่เกิดจากการเผาถ่านหินประเภทแอนตราไซด์และบิทูนิสต์ จะมีปริมาณแคลเซียมออกไซด์น้อยกว่าร้อยละ 5 บางครั้งเรียกว่าถ้าลอยที่มีปริมาณแคลเซียมต่ำ (low – calcium fly ash) ถ้าลอยชั้นคุณภาพ C เกิดจากการเผาถ่านหินประเภทลิกโนต์และชั้นบิทูนิสต์ และมีแคลเซียมออกไซด์อยู่ประมาณร้อยละ 15-23 บางครั้งเรียกว่าถ้าลอยที่มีปริมาณแคลเซียมสูง (high – calcium fly ash)

2.7.4 ความละเอียดของถ้าลอย

ขึ้นอยู่กับการบดถ่านหินที่จะนำไปเผา ชนิดของเครื่องบดและชนิดของเตาเผา คือถ้าบดถ่านหินละเอียดมากขึ้น และเผาใหม้อบย่างสมบูรณ์ภายในเตาเผา จะทำให้ได้ถ่านหินที่มีความละเอียดสูงกว่าเมื่อใช้ถ่านหินที่บดหยาบกว่าหรือเผาใหม่ไม่สมบูรณ์ โดยเฉพาะอย่างยิ่งกรณีที่เผาใหม่ไม่สมบูรณ์จะมีถ่านหินป่นอยู่จำนวนมาก

2.8 การใช้ประโยชน์ถ้าลอย [10-12]

รูปแบบของการใช้ถ้าลอยในญี่ปุ่น จากข้อมูลปี ก.ศ. 1999 มีการนำมาประยุกต์ใช้กับอุตสาหกรรมค้านต่างๆ ดังตารางที่ 2.4 เป็นภาพรวมระดับการใช้ประโยชน์ถ้าลอยในญี่ปุ่น ประมาณร้อยละ 88 อย่างไรก็ตามอัตราการใช้งานในประเทศต่างๆ ยังแตกต่างกันอย่างชัดเจน ใน

ชอลแลนด์ เยอร์มัน เบลเยียม อิตาลี และเดนมาร์ก มีอัตราการใช้ประโยชน์เข้าใกล้ร้อยละ 100 สำหรับในประเทศอื่นๆ อัตราการใช้ประโยชน์จากถ้วยอยู่ต่ำกว่าห้าสิบเปอร์เซ็นต์ ในประเทศอังกฤษซึ่งมีปริมาณถ้วยอยู่เกินประมาณ 5 ล้านตันต่อปี ระดับของการใช้ประโยชน์จะอยู่ที่ประมาณร้อยละ 50 ทั้งนี้แนวโน้มการใช้ประโยชน์จากถ้วยอยู่นั้นมีเพิ่มสูงขึ้น โดยเฉพาะอย่างยิ่งการนำมาใช้ประโยชน์ในด้านวัสดุก่อสร้าง

ตารางที่ 2.4 การปริมาณใช้ประโยชน์และการกำจัดถ้วยในยุโรป ปี ก.ศ. 1999 [10]

การใช้ประโยชน์ด้านต่างๆ	ปริมาณการใช้ (ล้านตัน)
Cement raw material	3.7
Blended cement	1.9
Concrete addition	5.4
Aerated concrete block	0.7
Non-Aerated concrete block	0.6
Lightweight aggregate	0.2
Grouting	0.5
Subgrade stabilization	0.3
General engineering fill	1.3
Structural fill	1.4
Infill	1.4
Other uses	0.7
Reclamation/restoration	15.4
Temporary stockpile	0.7
disposal	3.8
Total	38.0

ตารางที่ 2.5 ปริมาณใช้ประโยชน์และการกำจัดถ่านหินในประเทศไทย ปี ค.ศ. 1999 [10]

การใช้ประโยชน์ต้านด่างๆ	ปริมาณการใช้ (ล้านตัน)
Cement/concrete/grout	10.3
Flow able fill	0.8
Structural fill	2.9
Road base/sub-base	1.1
Mineral filler	0.1
Mining applications	1.4
Waste stabilization/solidification	1.8
ต้านเกยตรกรรม	0.1
Miscellaneous และอื่นๆ	10.4
รวม	18.9
เบอร์เซ็นต์ที่ใช้ทั้งหมด	33.2%

ในสหรัฐอเมริกา พ布วามีถ่านหินประมาณ 56.9 ล้านตัน โดยปริมาณ 38.0 ล้านตัน หรือประมาณร้อยละ 67 จะถูกกำจัดโดยการฝังกลบ ถือเป็นปริมาณที่สูงมากเมื่อเปรียบเทียบกับภาระรวมของญี่ปุ่น ดังตารางที่ 2.5 จะเห็นว่าการใช้ประโยชน์จากถ่านหินจะใช้ในส่วนของปูนซีเมนต์ และคอนกรีตเป็นส่วนใหญ่

การนำไปใช้ประโยชน์ในประเทศไทย ปัจจุบันถ่านหินนำมายังเป็นสารผสมในคอนกรีตผสมเสริจสำหรับงานก่อสร้าง และเป็นวัสดุคิดเห็นปูนซีเมนต์ในการผลิตวัสดุก่อสร้าง เช่น กระเบื้องมุงหลังคา เสาเข็ม ห่อ พื้นสำเร็จรูป เป็นต้น นอกจากนี้ยังใช้เป็นส่วนผสมหลักในการก่อสร้างเขื่อนคอนกรีตบดอัด (Rolling Compact Concrete, RCC)

จากการศึกษาการนำถ่านหินลิกิไนต์มาใช้ให้เกิดประโยชน์ในหน่วยงานต่างๆ ของ การไฟฟ้าฝ่ายผลิตแห่งประเทศไทย (กฟผ.) เมื่อประมาณ 10 ปีที่ผ่านมา ได้แก่

การนำถ่านหินลิกิไนต์มาทำผลิตภัณฑ์วัสดุก่อสร้างคือการนำมาทำเป็นซีเมนต์บดลอกก่อผนังและซีเมนต์บดล็อกปูพื้น ความเป็นมาในเรื่องนี้คือ ในปี พ.ศ. 2534 องค์การบริหารกิจการคลัง ได้นำวัสดุลักษณะอิฐบูรพาล็อกมาจากประเทศจีน แล้วนำเข้ามาทดลองเก้าฯ รายแคร์ พระบาทสมเด็จพระเจ้าอยู่หัว เพื่อเป็นตัวอย่าง ต่อมาพระบาทสมเด็จพระเจ้าอยู่หัว ทรงมอบหมายให้ นายอุสมาน ตันติเวชกุล ดำเนินการศึกษาความเป็นไปได้ในการใช้ประโยชน์ในขณะเดียวกัน พล

เอกพิจิตร ภูลักษณ์พิชัย ได้นิหนังสือถึง กฟผ. เพื่อทำการศึกษาเรื่องดังกล่าว ซึ่ง กฟผ. ได้ตั้ง คณะกรรมการเพื่อศึกษาการนำถ้าโลยลิกในตัวมาใช้ประโยชน์เป็นวัสดุก่อสร้าง จากผลของการศึกษา พบว่า สามารถนำถ้าโลยลิกในตัวมาทดแทนซีเมนต์ได้

กฟผ. ได้นำถ้าโลยลิกในตัวผสมน้ำประมาณร้อยละ 15-20 ทำการบดอัดชั้นละประมาณ 35 ซม. เพื่อแก้ไขปัญหาฐานรากที่รุดของสถานีไฟฟ้ายอยแม่น้ำ 3 นอกจากนี้ ยังนำถ้าโลยลิกในตัว ผสมน้ำประมาณร้อยละ 40-50 เทลงไปในบริเวณที่ทຽบทัวของคินระห่วงผนังคินและผนังคอนกรีตของคลองส่งน้ำจากเขื่อนแม่น้ำ

เมื่ອองแม่น้ำ ได้ใช้ถ้าโลยลิกในตัว 1 ส่วน ผสมกับซีเมนต์ 1 ส่วน และผสมรวมกับน้ำและเบนทูไนท์ เพื่อชดเชยความร้อนที่มาจากการร้อยสายไฟฟ้า ของผนังบ่อเมือง เพื่อบริโภคันไม้ให้อาหารจากภายในออกเข้าไปทำปฏิกริยาสันดาปกับถ่านลิกในตัวบางส่วนที่มีอยู่ ซึ่งจะก่อให้เกิดการฉุดใหม่ติดไฟเกิดขึ้น

สำหรับงานก่อสร้างถนน ได้นำถ้าโลยลิกในตัวมาใช้ทำชั้นรองพื้นทางของถนน โดยการผสมน้ำร้อยละ 15-20 แล้วทำการบดอัด การทำถนนคอนกรีต RCCP. (Roller Compacted Concrete Pavement) โดยใช้ถ้าโลยลิกในตัวและซีเมนต์เท่าๆ กันผสมกับทรายและหิน โดยใช้อัตราส่วนของน้ำต่อสารประสานประมาณ 0.30 พร้อมทั้งใส่สารลดน้ำ (water reducing agent) ลงไปทำการผสม และนำไปเทลงบริเวณหน้างาน ทำการบดอัดเมื่องานก่อสร้างทั่วไป นอกจากนี้ในงานถนน คอนกรีตเสริมเหล็กในส่วนที่เป็นสารประสาน จะใช้ซีเมนต์ประมาณร้อยละ 65 และถ้าโลยลิกในตัว ร้อยละ 35

ได้มีการนำถ้าโลยลิกในตัวไปใช้ในงานก่อสร้างเขื่อนหลาภัยแห่ง เช่น งานก่อสร้างเขื่อนที่ปากน้ำ ใช้ซีเมนต์ประมาณร้อยละ 31 และถ้าโลยลิกในตัวประมาณร้อยละ 69 ในส่วนที่เป็นสารประสาน ทำการผสมกับทรายและหินแล้วทำการบดอัดชั้นละประมาณ 35 ซม. ทำการบดอัด 5 เที่ยว เพื่อให้เป็นไปตามรูปแบบของเขื่อน ในงานก่อสร้างเขื่อนปากน้ำ ได้นำถ้าโลยลิกในตัวจากแม่น้ำไปใช้ประมาณ 6,000 ตัน นอกจากนี้ ในงานก่อสร้างเขื่อนแม่น้ำปิงตอนล่าง ที่ได้นำถ้าโลยลิกในตัวไปใช้ในงานก่อสร้างเขื่อนด้วย สาเหตุที่นำถ้าโลยลิกในตัวมาใช้เป็นส่วนผสมในการก่อสร้างเขื่อนนี้ เป็น因为 ต้องการลดปริมาณความร้อนของคอนกรีต ซึ่งมีปริมาณมากในระหว่างการก่อสร้าง และช่วยให้คอนกรีตมีการแข็งตัวช้าลง เพื่อจะได้มีเวลาทำงานมากขึ้น และที่สำคัญคือ ป้องกันไม้ให้เกิดปฏิกริยา กับสารบางอย่างที่มีอยู่ในทรายและหิน ซึ่งจะทำให้เกิดสารใหม่ขึ้นและเกิดการขยายตัวทำให้เขื่อนแตกร้าวได้

กฟผ. แม่น้ำ ได้นำถ้าโลยลิกในตัวไปใช้ในงานคอนกรีตเสริมเหล็กหลาภัยแห่ง เช่น งานคอนกรีตเสริมเหล็กของระบบสายไฟในโรงไฟฟ้า ถนนคอนกรีตเสริมเหล็ก ซึ่งโดยหลักการ

แล้ว การนำถ้าลอยลิกไนต์มาใช้ในงานคอนกรีตนั้นเพื่อให้คอนกรีตนั้นมีความสามารถในการใช้งานคืน เพราะอนุภาคของถ้าลอยลิกไนต์มีลักษณะเป็นทรงกลม ช่วยให้คอนกรีตไหลไปตามจุดต่างๆ ของโครงสร้างได้ดีกว่าคอนกรีตธรรมชาติ โดยไม่จำเป็นต้องใช้เครื่องสับสะท้อนเข้าช่วย

นอกจากนี้ ยังมีการนำถ้าลอยลิกไนต์ไปใช้เป็นสารช่วยเร่งการตกตะกอน โดยนำไปผสมกับกรด และขณะนี้กำลังทำการวิจัยเกี่ยวกับการนำถ้าลอยลิกไนต์ไปใช้เป็นปูย

2.9 แหล่งที่มาของถ้าลอยภายนอกประเทศ [11]

ในปัจจุบันแหล่งของถ้าลอยที่สำคัญในประเทศไทยมาจากโรงไฟฟ้าแม่مه้า จังหวัดลำปาง ของการไฟฟ้าฝ่ายผลิตแห่งประเทศไทย (กฟผ.) ได้ใช้ถ่านหินลิกไนต์เป็นเชื้อเพลิงในการผลิตไฟฟ้า ประมาณวันละ 40,000 ตัน การเผาถ่านหินลิกไนต์จะได้ถ้าลิกไนต์ออกมาประมาณวันละ 10,000 ตัน ซึ่งในจำนวนนี้จะเป็นถ้าลอยประมาณ 8,000 ตัน โรงไฟฟ้าแม่مه้าได้ควบคุมคุณภาพถ่านหินก่อนเข้าโรงไฟฟ้า ให้มีปริมาณซัลเฟอร์ (SO_2) และแคนเดเซียนออกไซด์ (CaO) ให้อยู่ในเกณฑ์ที่เหมาะสมตั้งแต่ พ.ศ. 2533 ถึงปัจจุบัน ก่อให้เกิดผลผลิตของถ้าลิกไนต์ที่มีองค์ประกอบทางเคมีค่อนข้างสม่ำเสมอ และอยู่ในเกณฑ์ของสาร pozzolan class F ตามมาตรฐาน

ASTM C 618

2.10 บทบาทของสารถูกัดวายเดน (Silane) [13]

เมื่อจากบนพื้นผิวซิลิกามีหมู่ไชลอนอลในปริมาณมาก ซึ่งหมู่ไชลอนอลนี้จะทำให้ออนภาคของซิลิกามีอันตราระหว่างกัน (filler-filler interaction) สูง ซิลิกาจึงอยู่รวมกันเป็นกลุ่มก้อนขนาดใหญ่ (ที่เรียกว่าเอกโภตเมอร์) เพราะอันตราระหว่างตัวถ่วงคือคุณที่ซึ่งก้อนซิลิกาเข้าด้วยกันคือพันธะไฮโดรเจน (H-bonds) ซึ่งมีความแข็งแรงค่อนข้างมาก ด้วยเหตุนี้ ซิลิกาจึงแตกตัว (disperse) และกระจายตัว (distribute) ในยางได้ยากกว่าแบน้ำดำ สำหรับในกรณีที่เติมซิลิกาลงไว้ในยางในปริมาณค่อนข้างมาก กลุ่มก้อนของซิลิกาจะเข้ามาอยู่ใกล้กันมากจนทำให้เกิดแรงคึ่งคุคระหว่างกลุ่มก้อนของซิลิกาด้วยกันเอง เกิดเป็นโครงสร้างตาข่ายที่เรียกว่า “โครงสร้างตาข่ายของสารตัวเติม (filler-filler network)” ซึ่งโครงสร้างตาข่ายของสารตัวเติมนี้จะทำให้ยางคอมพาวด์มีความหนืดสูงขึ้น ทำให้กระบวนการผลิตเป็นไปด้วยความยากลำบากและทำให้สิ้นเปลืองพลังงานในการผลิตมากยิ่งขึ้น การเติมสารบางชนิดที่สามารถเข้าไปทำปฏิกิริยากับหมู่ไชลอนอลสามารถทำให้กลุ่มก้อนของซิลิกาแตกตัวออกจากได้ง่ายยิ่งขึ้น ความหนืดของยางคอมพาวด์จะลดลงทำให้กระบวนการผลิตและการขึ้นรูปเป็นไปได้ง่ายยิ่งขึ้น ตัวอย่างของสารเติมแต่งคังกล่าว ได้แก่

ซิงค์ออกไซเดต (zinc octoate) หรือ เอกซะเมทิลีนเตครามีน (HEXA) รวมถึงสารตัวเร่งปฏิกิริยาคงรูปในกลุ่มกัวนิเด็น เช่น ไดฟินิลกัวนิเด็น (DPG) เป็นต้น

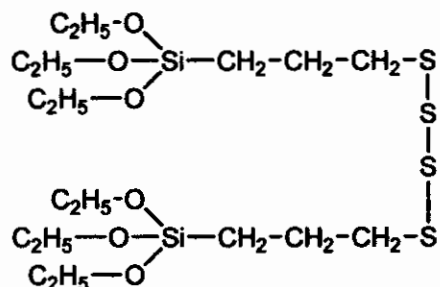
นอกจากนี้ หมู่ไซเลนอลบันพื้นผิวชิลิกาซึ่งสามารถดูดความชื้นจากอากาศได้ดี โดยในสภาพการเก็บรักษาห้าวไปแล้ว ชิลิกาจะมีความชื้นประมาณ 4-7 เปอร์เซนต์ (ปริมาณความชื้นสามารถเปลี่ยนแปลงได้ขึ้นอยู่กับความชื้นของสิ่งแวดล้อม) ซึ่งความชื้นที่จับอยู่กับหมู่ไซเลนอลบันพื้นผิวชิลิกานี้นอกจากทำให้ชิลิกาแตกตัวและกระชาดตัวในยางได้ยากขึ้นแล้ว ยังส่งผลกระทบต่อปฏิกิริยาคงรูปของยางได้อีกด้วย โดยหัวไป ด้านปริมาณความชื้นในชิลิกาสูงขึ้น เวลาที่ใช้ในการคงรูปยางในระบบที่ใช้กำมะถัน (ทั้ง scorch time และ vulcanization time) ก็จะยาวขึ้น เพราะชิลิกาที่อิ่มตัวด้วยน้ำจะหน่วงปฏิกิริยาคงรูป ทำให้ต้องใช้สารตัวเร่งปฏิกิริยามากขึ้น อย่างไรก็ตี ความชื้นบางส่วนจะถูกไล่ออกไปในระหว่างกระบวนการผสมเคมีของยางเพื่อระดับภูมิของยางในระหว่างการผสมเคมีจะสูงมาก (มากกว่า 100°C) ทำให้น้ำหรือความชื้นบางส่วนระเหยออกไป ด้วยเหตุนี้ การผสมยางที่อุณหภูมิแตกต่างกันก็สามารถทำให้เกิดความแปรปรวนของอัตราเร็วในการเกิดปฏิกิริยาคงรูปได้เช่นกัน

อนึ่ง ปัญหาสำคัญอีกอย่างที่มักพบเมื่อใช้ชิลิกาเป็นสารตัวเติมคือปัญหารံของการคงรูปยาง เพราะบนพื้นผิวชิลิกามีหมู่ไซเลนอลบันที่สามารถดูดซับสารตัวเร่งปฏิกิริยาคงรูปที่มีฤทธิ์เป็นตัวเร่ง DPG รวมถึงสารประกอบเชิงซ้อนของสังกะสี (Zn complex) ซึ่งทำหน้าที่เป็นสารกระตุ้นสำหรับปฏิกิริยาการคงรูปด้วยกำมะถัน การดูดซับดังกล่าวจะทำให้สารตัวเร่งปฏิกิริยาหรือสารประกอบเชิงซ้อนของสังกะสีมีปริมาณลดลง ซึ่งจะส่งผลทำให้ยางมีระดับของการคงรูปลดลงด้วยเช่นกัน โดยหัวไป ผู้ผลิตเคมีของยางสามารถลดปัญหาดังกล่าวได้โดยการเติมสารประกอบในกลุ่มไกลคอลหรือ กลุ่มเอมิลลิ่งไป เพราะสารประกอบเหล่านี้จะเข้าทำปฏิกิริยากับหมู่ไซเลนอลบันพื้นผิวของชิลิกา ทำให้สารตัวเร่งปฏิกิริยาหรือสารประกอบเชิงซ้อนของสังกะสีที่ถูกดูดซับโดยหมู่ไซเลนอลบันมีปริมาณลดลง ปฏิกิริยาคงรูปก็จะเกิดได้เร็วขึ้น ด้วยอย่างที่สำคัญของสารประกอบเหล่านี้ ได้แก่ ไดเอทิลีนไกลคอล (DEG) พอลิเอทิลีนไกลคอล (PEG) ไตรเอทิลไนลาเมิน และ เอกซะเมทิลีนเตครามีน (HEXA) เป็นต้น นอกจากการเติมสารประกอบดังกล่าวแล้ว การปรับแต่งดันการเติมสารเคมีลงไปในเครื่องผสม เช่น การเติม ZnO ลงไปในช่วงท้ายของการผสมก็จะช่วยลดปัญหาการดูดซับสารประกอบเชิงซ้อนของสังกะสีได้เช่นกัน

การเติมสารประกอบในกลุ่มดังกล่าวออกจากช่วงเพิ่มอัตราเร็วในการเกิดปฏิกิริยาคงรูป แล้ว สารประกอบเหล่านี้ยังช่วยลดอันตรายที่จะเกิดขึ้นกับยางในกระบวนการชิลิกาอีกด้วย ช่วยให้แรงกระทำระหว่างชิลิกากับลายได้จำกัด ชิลิกาจะแตกตัวและกระชาดตัวได้จำกัด ความหนืดของยางก่อนพาวค์ก็จะลดลง ทำให้กระบวนการผลิตเป็นไปได้จำกัดขึ้น ปริมาณของสารเคมีดังกล่าวที่แนะนำ

ให้ใช้นั้นจะขึ้นอยู่โดยตรงกับปริมาณของซิลิกา เช่น ใช้ PEG ประมาณ 8-10 ส่วน โดยน้ำหนักเมื่อเทียบกับปริมาณของซิลิกา

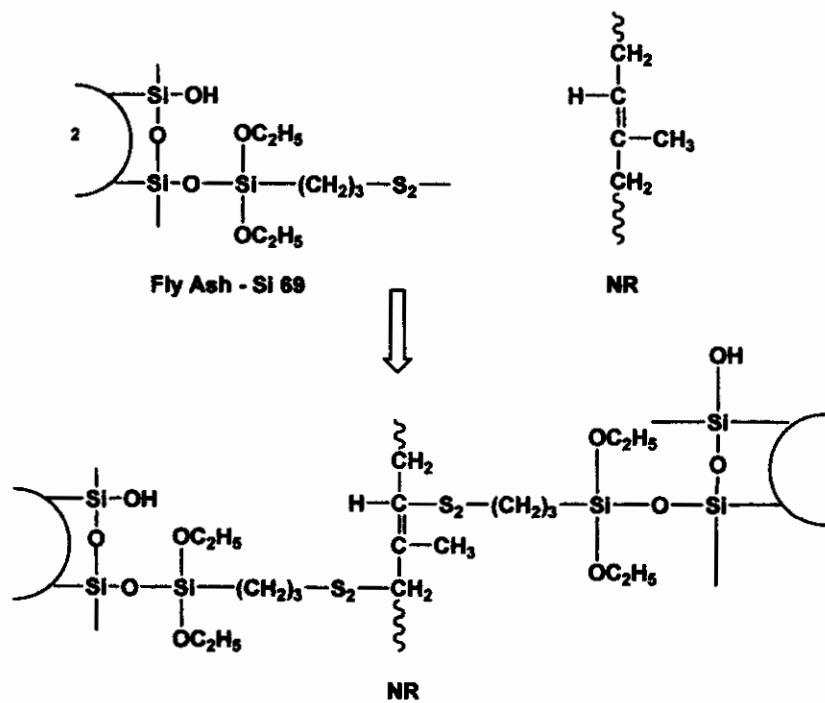
จากปัญหาการดังกล่าว จึงได้มีการพัฒนาเทคโนโลยีต่าง ๆ ขึ้นเพื่อเพิ่มประสิทธิภาพในการเสริมแรงของซิลิกาและลดปัญหาต่าง ๆ ที่เกิดขึ้นในระหว่างกระบวนการผลิตเมื่อใช้ซิลิกาเป็นสารตัวเติม เทคโนโลยีที่นิยมใช้กันอย่างแพร่หลายในปัจจุบันคือการใช้สารคู่ควรไชเลน (silane coupling agent) โดยทั่วไป การเติมสารคู่ควรไชเลนลงไปจะทำให้อันตรกิริยาระหว่างยางและซิลิกาสูงขึ้น เพราะสารคู่ควรไชเลนประกอบด้วย หมู่ฟังก์ชันเคมี 2 หมู่ที่แตกต่างกัน คือหมู่อัลกอโอลิก (alkoxy group) เช่น หมู่เมธอโอลิก (-OCH₃) หรือ หมู่เอթอโอลิก (-OC₂H₅) และหมู่ที่เป็นสารอินทรีฟังก์ชัน (organofunctional group) ดังแสดงในรูปที่ 2.5



รูปที่ 2.5 โครงสร้างทางเคมีของสารคู่ควรไชเลน Si-69

เมื่อเติมสารคู่ควรไชเลนลงไป หมู่อัลกอโอลิกซึ่งอยู่ที่ปลายด้านหนึ่งของโมเลกุลจะเข้าทำปฏิกิริยากับหมู่ไคลานอลบนพื้นผิวของซิลิกาในระหว่างกระบวนการผสมเกิดเป็นพันธะไชลอก เช่นที่มีความเสถียรและมีการปลดปล่อยออกซิเจนออกมา ทำให้ซิลิกามีอันตรกิริยาระหว่างกันลดลง ซิลิกาจึงสามารถแตกตัวและกระจายตัวในยางได้ง่ายขึ้น บางคอมพาวน์ที่ໄດ้ก็จะมีความหนืดลดลง สามารถไหลและขึ้นรูปได้ง่ายขึ้น ตัวนั้นหมู่ที่เป็นสารอินทรีซึ่งอยู่ที่ปลายอีกด้านหนึ่งจะช่วยทำให้ซิลิกาเข้ากับยางได้ง่ายในระหว่างกระบวนการผสมเพราหมู่ที่เป็นสารอินทรีนี้มีความเป็นข้าวตัวจึงเข้ากับยางได้ง่าย นอกจากนี้ หมู่ที่เป็นสารอินทรีของสารคู่ควรไชเลนบางชนิดยังมีกำมะถันเป็นองค์ประกอบ ซึ่งในระหว่างการอบคงรูป กำมะถันในสารคู่ควรไชเลนจะเข้าไปมีส่วนร่วมในปฏิกิริยาการคงรูปด้วยกำมะถัน (sulfur vulcanization reaction) เกิดเป็นการเชื่อมไอยางทางเคมีขึ้น ด้วยเหตุนี้ สารคู่ควรไชเลนจึงทำหน้าที่เปรียบเสมือนสะพานเชื่อมระหว่างซิลิกากับยาง ทำให้อันตรกิริยาระหว่างยางกับซิลิกาสูงขึ้น ประสิทธิภาพในการเสริมแรงของซิลิกาจึงสูงขึ้นด้วยเหตุนี้ ด้วยเหตุนี้ การเติมสารคู่ควรไชเลนลงไปจึงส่งผลทำให้ยางคงรูปมีสมบัติเชิงกลต่าง ๆ ดีขึ้น โดยเฉพาะค่ามอคูลัต ความทนทานต่อแรงดึง ความทนทานต่อการฉีกขาด และความต้านทานต่อการขัดขู เป็นต้น โดยทั่วไปแล้ว การเติมสารคู่ควรไชเลนลงไปในปริมาณเล็กน้อยจะช่วยทำให้ยาง

คงรูปมีความด้านทานต่อการขยายตัวของรอยแตก (cut growth resistance) ต่ำ แต่ในกรณีที่ต้องการยางคงรูปที่มีความด้านทานต่อการขัดถูสูงสุดก็จำเป็นต้องเพิ่มสารคุ่มวงไว้เลนลงไปในปริมาณมากขึ้น นอกจากสมบัติเชิงกลแล้ว สารคุ่มวงไว้เลนยังช่วยปรับปรุงสมบัติเชิงพลวัต (dynamic properties) ของยางคงรูปอีกด้วยโดยเฉพาะการลดความร้อนสะสม (heat buildup) ที่เกิดขึ้นในระหว่างการใช้งาน ด้วยข้างของสารคุ่มวงไว้เลนที่นิยมใช้กันมากในโรงงานอุตสาหกรรม ได้แก่ ไตรเอทธอกซ์ิไซดิลโพรพิลเทตราราช็อลไฟฟ์ (bis-(3-triethoxysilylpropyl)-tetrasulfide, Si-69) เมอร์แคพตอิโพรพิลไตรเมทಥอกซ์ิไซเดน (mercaptopropyl-trimethoxysilane, A-189) และไโซไซเซนโอลิโพรพิลไตรเอทธอกซ์ิไซเดน (3-thiocyanato-propyl-triethoxysilane, Si-264) เป็นต้น



Fly Ash - Si 69-NR-Si 69 - Fly Ash

ปฏิกิริยาที่ 2.1 ปฏิกิริยาระหว่างเต้ากลอยที่ปรับปรุงด้วย Si69 และกับยางธรรมชาติ [15]

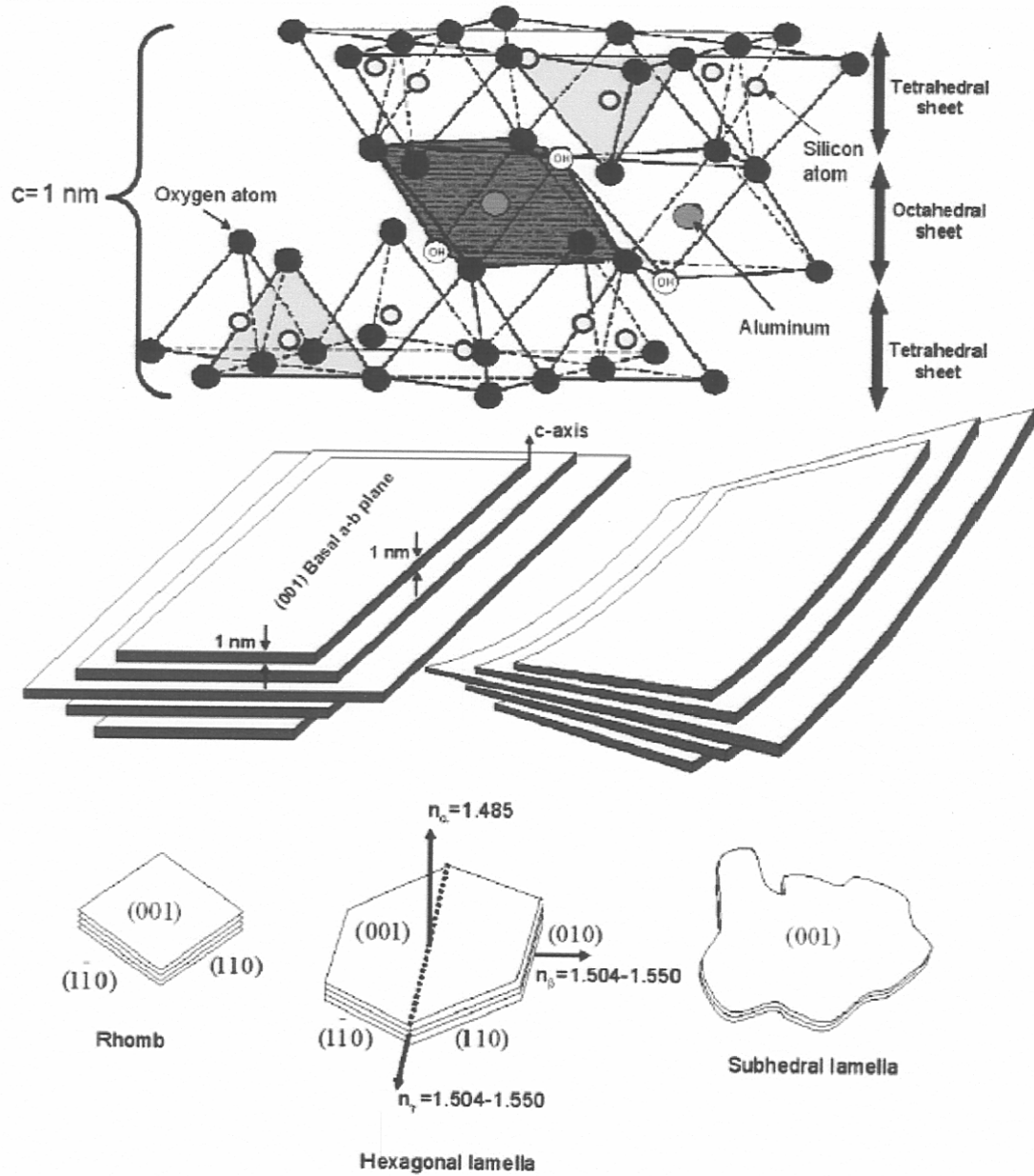
2.11 โครงสร้างและลักษณะของนาโนเคลต์ [17-19]

เคลต์เป็นสารเสริมแรงขนาดเด็กกว่า 100 นาโนเมตร ประกอบไปด้วยชั้นซิลิเกต (layered silicates) ซึ่งよくใช้ในเป็นสารเสริมแรงสำหรับวัสดุนานาในคอมพิวเตอร์จะมีลักษณะโครงสร้างเป็นแบบ 2:1 พลีโลซิลิเกต (phyllosilicates) พลีจะประกอบด้วยโครงร่างผลึก 2 ชั้น ซึ่งส่วนกลางของชั้นออกตะไครครอตเป็น อกรูมีนา หรือแมกนิเซียมและมีชั้นของซิลิกาเตตระไฮดรอล 2 ชั้นประกอบอยู่

ภายนอก โดยมีอักษรใน ไอออนของออกไซด์เป็นตัวชี้อมกับชั้นของเตตราซิครอล ชั้นเคลย์ จะมีความหนาประมาณ 1 นาโนเมตร และขนาดค้านข้างของชั้นเหล่านี้อาจเปลี่ยนแปลงจาก 30 นาโนเมตร ถึงหลายไมโครเมตร และจะมากขึ้นตามลักษณะชนิดของซิลิกเกต ชั้นของซิลิกเกตเหล่านี้ จัดเรียงเป็นกองซ้อนกัน โดยระหว่างชั้นของซิลิกเกตจะถูกหีบเหยียบด้วยแรงวันเดอร์วัลล์ การแทนที่ของธาตุภายในชั้น เช่น Al^{3+} ถูกแทนที่โดย Mg^{2+} หรือ Fe^{2+} หรือ Mg^{2+} ถูกแทนที่โดย Li^+ ทำให้เกิดประจุลบขึ้น ซึ่งจะถูกทำให้สมดุลประจุโดยธาตุประจุบวกของหมู่ 1 และ 2 แทรกอยู่ระหว่างชั้นซิลิกเกต เนื่องจากแรงซึ่งทำให้ชั้นของซิลิกเกตสามารถดูดซึมน้ำได้ดี แต่เมื่อถูกหักห้าม สามารถแทรกไม่เลกได้เข้าไประหว่างชั้นได้ง่าย เพื่อทำให้ไอโอดิลิกไฟฟ้าซิลิกเกตมีความเป็นอิอร์แกโนพลิกมากขึ้น โดยธาตุประจุบวกที่อยู่ระหว่างชั้นเคลย์สามารถเกิดการแยกเปลี่ยนด้วยสารลดแรงตึงผิว เช่น แอลกิลเอ็นโนเนียม หรือ แอลกิลฟอสฟอเนียม เคลย์ที่ถูกปรับปูงหรืออ่อนแก่ในเคลย์เป็นอิอร์แกโนพลิกนั้น พลังงานพื้นผิวจะลดลงและสามารถเข้ากับพอลิเมอร์ชนิดอินทรีได้มากขึ้น พอลิเมอร์เหล่านี้อาจจะสามารถแทรกเข้าไประหว่างชั้นของซิลิกเกตได้ ภายใต้สภาวะของ การทดลองที่เหมาะสม

ตารางที่ 2.6 แสดงสูตรเคมีและลักษณะของโครงสร้างแบบ 2 : 1 [16]

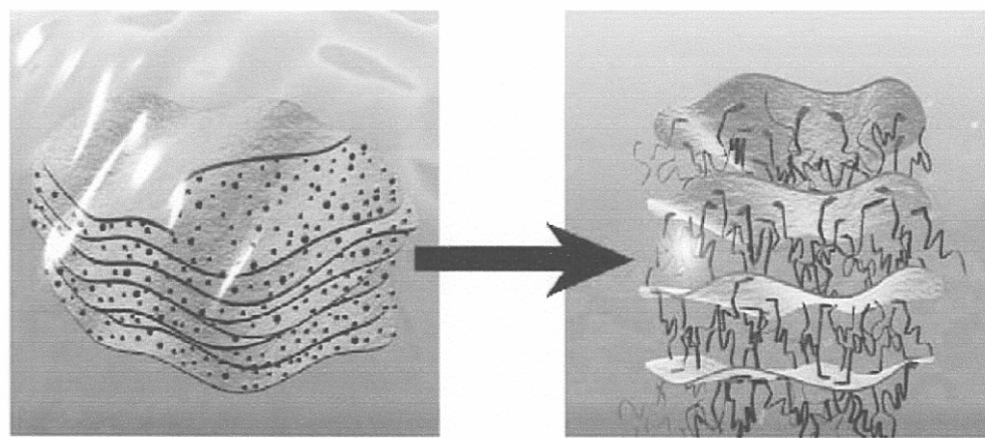
2:1 Phyllosilicate	สูตรเคมี	CEC (meq/100 g)	Particle length (nm)
มองต์มอริลโลไนต์	$M_x(\text{Al}_{4-x}\text{Mg}_x)\text{Si}_8\text{O}_{20}(\text{OH})_4$	110	100-150
เซกไตร์ต	$M_x(\text{Mg}_{6-x}\text{Li})\text{Si}_8\text{O}_{20}(\text{OH})_4$	120	200-300
ชาพอไนต์	$M_x\text{Mg}_6(\text{Si}_{8-x}\text{Al}_x)\text{O}_{20}(\text{OH})_4$	86.6	50-60
* M= ธาตุประจุบวก x = ระดับของหมู่ที่แทนที่ อยู่ระหว่าง 0.5 ถึง 1.3)			



รูปที่ 2.6 โครงสร้างของชั้นซิลิกेटแบบ 2 : 1 พีลโลซิลิกेट [18]

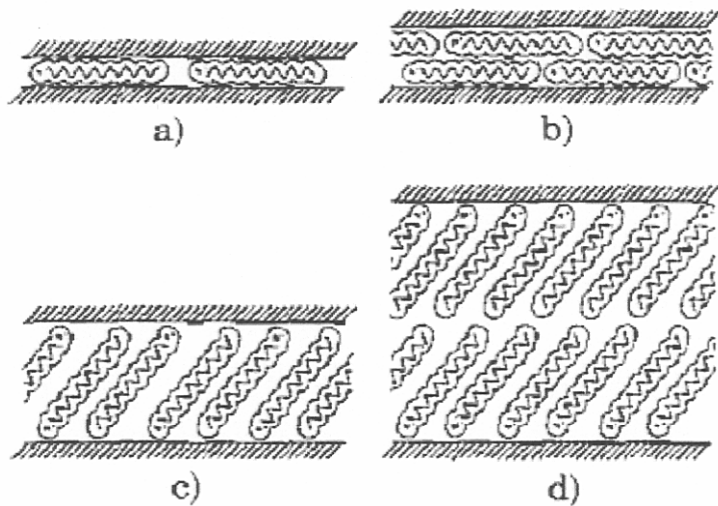
มองต์มอริลโลไนต์ เอกโตรairet และชาพอไนต์ มีลักษณะโครงสร้างของซิลิกेटคังทึ่กล่าวมาข้างต้น แสดงสูตรทางเคมีดังตารางที่ 2.6 ในรูปที่ 2.6

เคลย์แต่ละชนิดถูกตรวจสอบประจุลบบนพื้นผิวเพื่อหาค่าความสามารถในการแลกเปลี่ยนประจุบวก (cation exchange capacity, CEC) โดยแสดงหน่วยเป็น meq/100 g ประจุของชั้นซิลิกะจะมีปริมาณที่ไม่แน่นอนและต้องพิจารณาเป็นค่าเฉลี่ยบนผลึกทั้งหมด แม้ว่าประจุบวกขนาดเล็กที่ทำหน้าที่สมดุลประจุจะมีอยู่ที่บริเวณภายนอกพื้นผิวของผลึก แต่โดยส่วนใหญ่ของการแลกเปลี่ยนประจุบวกนี้จะเกิดขึ้นภายในชั้นซิลิกะ เมื่อประจุบวกถูกแลกเปลี่ยนด้วยออร์แกนิคไออกอนบวก เช่น แอลกิลแอมโมเนียม ซึ่งเกิดขึ้นระหว่างชั้นของซิลิกะ ดังรูปที่ 2.7



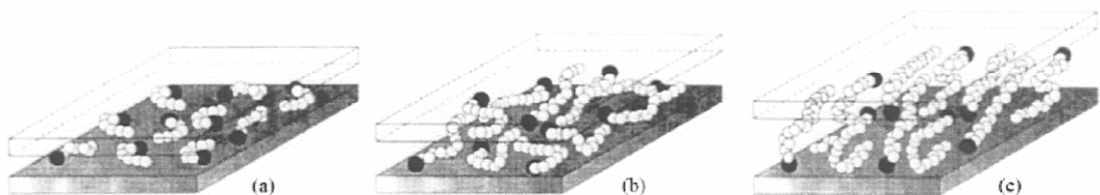
รูปที่ 2.7 ลักษณะการแทรกตัวของออร์แกนิคไออกอนบวกระหว่างชั้นซิลิกะ [19]

เพื่อที่จะบรรยายโครงสร้างภายในอองแกโนเคลย์ สิ่งหนึ่งที่ต้องทราบ เนื่องจากประจุลบเกิดขึ้นบนพื้นผิวของชั้นซิลิกะ ดังนั้นหมู่ที่เป็นประจุบวกของแอลกิลแอมโมเนียมจะชอบอยู่ที่บริเวณพื้นผิวของซิลิกามากกว่า โดยส่วนของออร์แกนิคไออกอนบวกจะหันออกมายังพื้นผิว ในช่วงของอุณหภูมิที่เหมาะสม มีปัจจัยสองปัจจัยที่กำหนดระยะห่างระหว่างชั้นซิลิกะ ปัจจัยแรกคือความสามารถในการแลกเปลี่ยนประจุบวกของชั้นซิลิกะซึ่งเป็นปัจจัยทำให้สายโซ่ไออกอนบวกของออร์แกนิคสามารถแทรกเข้าไปอยู่ระหว่างชั้นซิลิกะ ปัจจัยที่สองคือความยาวของสายโซ่ออร์แกนิคจากข้อมูลของ X-ray diffraction (XRD) สายโซ่ออร์แกนิคจะจัดวางตัวได้ทั้งในทิศทางขนานกับชั้นซิลิกะเกิดเป็นชั้นเดี่ยวหรือชั้นคู่ ซึ่งชั้นอยู่กับความหนาแน่นของการรวมตัวและความยาวของสายโซ่ หรือเกิดการจัดวางตัวแห่งออกจากพื้นผิวเกิดการจัดเรียงตัวของสายโซ่พาราฟินิกแบบเดี่ยวหรือคู่ (paraffin-type) ดังรูปที่ 2.8



รูปที่ 2.8 ลักษณะการรวมตัวของชั้นซิลิเกต (a) monolayer; (b) bilayer;
(c) paraffin-type monolayer และ (d) paraffin-type bilayer [16]

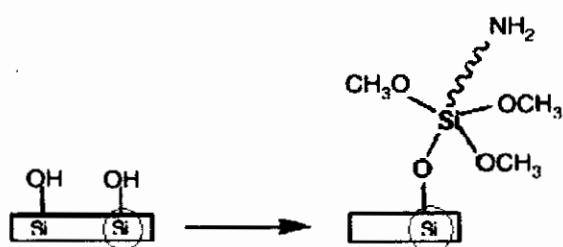
การทดสอบด้วย FTIR จะช่วยอธิบายได้เข้าใจมากขึ้น เกิดการเลื่อนของความถี่ที่แสดงการสั่นแบบยีดและที่ไม่สมมาตรของ CH_2 ซึ่งแสดงว่ามีการแทรกของสายโซ่โดยมีระดับของความเป็นระเบียบต่างกัน โดยทั่วไปความหนาแน่นของการรวมตัวหรือความยาวของสายโซ่ลดลง หรืออุณหภูมิเพิ่มขึ้น จะทำให้การแทรกของสายโซ่ไม่เป็นระเบียบมากขึ้น ซึ่งจะแสดงโครงสร้างคล้ายของเหลวเป็นผลมาจากการอัตราส่วนของโครงสร้าง gauche/trans เพิ่มขึ้น เมื่ออัตราส่วนระหว่างพื้นที่ผิวต่อจำนวนโมเลกุลอยู่ในช่วงที่แน่นอน สายโซ่ไม่เลกุลจะจัดเรียงตัวแบบไม่เป็นระเบียบที่ไม่สมบูรณ์ และจะรักษาลักษณะการจัดเรียงตัวที่เป็นระเบียบไว้บางส่วนคล้ายกับอยู่ในสถานะผลึกเหลว ดังรูปที่ 2.9 เมื่อความยาวของสายโซ่เพิ่มขึ้น จะทำให้โครงสร้างเกิดการจัดเรียงตัวแบบเป็นระเบียบมากขึ้น



รูปที่ 2.9 รูปแบบการจัดวางตัวของสายโซ่แอลกิล
(a) ความยาวสายโซ่สั้น (b) ความยาวสายโซ่ปานกลาง (c) ความยาวสายโซ่ยาว [16]

2.12 การต่อถิ่ง (grafting) อนองค์มอริล์ในตัวข่ายสารคุ้กค่อน [7]

เป็นการใช้สารที่มีหมู่ไชเลน (silane group) เข้าไปเกิดปฏิกิริยาความแน่นกับหมู่ไชลานอล (silanol group) ที่บริเวณผิวของชั้นซิลิเกต (layered silicate) หรือเรียกปฏิกิริยาดังกล่าวว่าปฏิกิริยา Silylation ซึ่งการสร้างพันธะที่แข็งแรงระหว่างสารที่มีหมู่ไชเลนกับหมู่ไชลานอล เสมือนกับการใช้สารคุ้กค่อนช่วยเพิ่มการเชื่อมต่อระหว่างส่วนของชั้นซิลิเกตกับส่วนของพอลิเมอร์ ให้มีความเข้ากันได้มากขึ้นดังรูปที่ 2.10



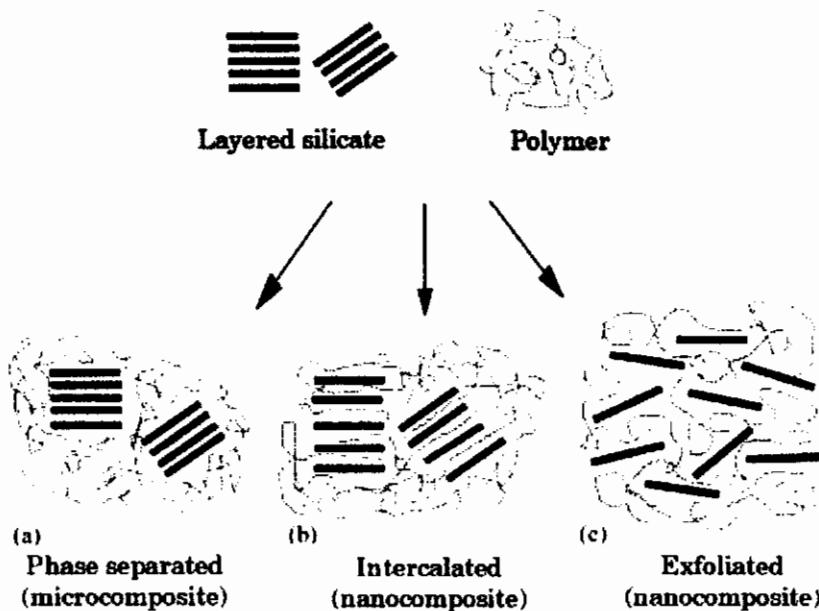
รูปที่ 2.10 การใช้สารคุ้กค่อนในการปรับปรุงชั้นซิลิเกต [7]

การใช้สารที่มีหมู่ไชเลน (silane group) ทำปฏิกิริยาความแน่นกับหมู่ไชลานอล (silanol group) ที่บริเวณผิวของชั้นซิลิเกต พบว่าการเกิดปฏิกิริยา Silylation ดังกล่าวทำให้เกิดการสร้างพันธะที่แข็งแรงระหว่างสารที่มีหมู่ไชเลนกับหมู่ไชลานอลที่บริเวณผิวของชั้นซิลิเกต ส่งผลให้สารคุ้กค่อนนี้แพร่ออกมายได้ยาก ซึ่งแสดงให้เห็นว่าการต่อถิ่งด้วยสารคุ้กค่อนไชเลน ก่อให้เกิดความเป็นพิษต่อสิ่งแวดล้อมน้อย นอกจากนี้การปรับปรุงคุณภาพการต่อถิ่งอนองค์มอริล์ในตัวข่ายสารคุ้กค่อนไชเลนยังเป็นการเพิ่มความเข้ากันได้ของพอลิเมอร์กับอนองค์มอริล์ในตัว เช่นเดียวกับการเติมสารคุ้กค่อนลงในระบบพอลิเมอร์ที่ได้รับการเสริมแรงด้วยสารเสริมแรงทั่วไป

2.13 โครงสร้างของนาโนคอมพอยต์

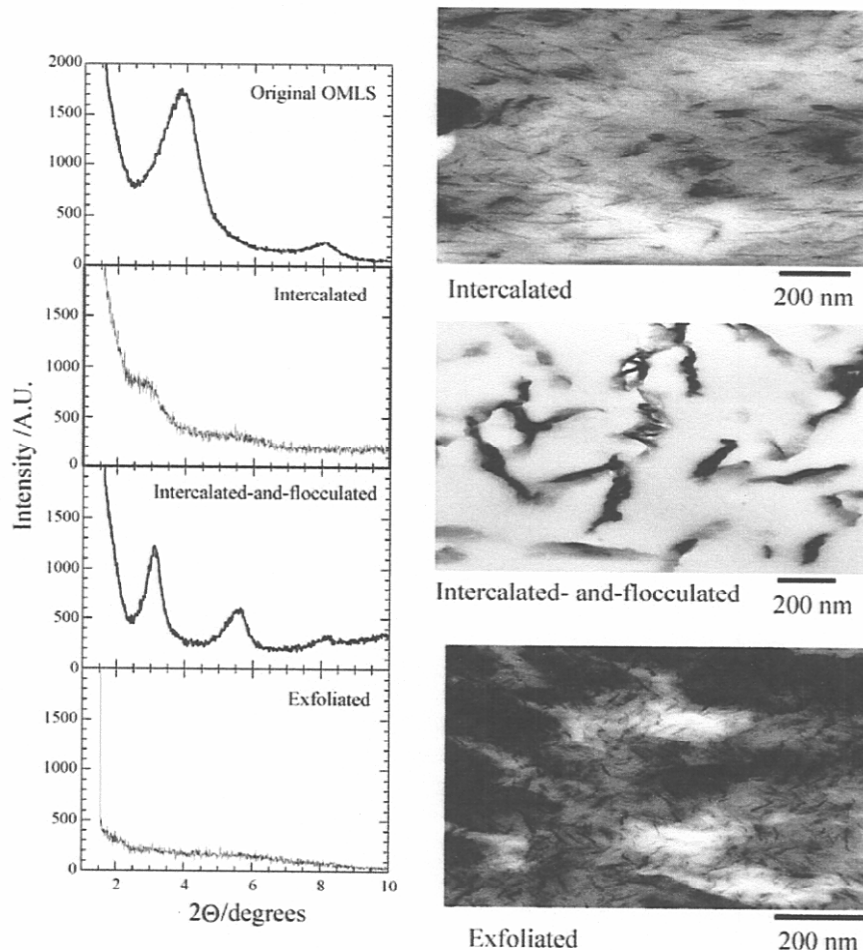
โครงสร้างของนาโนคอมพอยต์ขึ้นกับธรรมชาติของสารประกอบที่ใช้ ไม่ว่าจะเป็นชั้นของซิลิเกต ออร์แกนิคแคทไอออน และพอลิเมอร์เมทริกซ์ รวมทั้งวิธีการเตรียมวัสดุ ลักษณะคอมพอยต์ที่อาจจะเกิดขึ้นมีอีชั้นของซิลิเกตเข้าไปอยู่ในพอลิเมอร์เมทริกซ์ดังรูปที่ 2.11 เมื่อพอลิเมอร์ไม่สามารถแทรกเข้าไประหว่างชั้นของซิลิเกตจะเกิดการแยกเพื่อระหว่างกัน ดังรูปที่ 2.11 (a) สมบัติของคอมพอยต์จะมีแนวโน้มเป็นแบบในโครงคอมพอยต์ นอกจากนี้ยังสามารถเกิดการกระจายตัวเป็นลักษณะของนาโนคอมพอยต์อีกสองรูปแบบ ดังรูปที่ 2.11 (b) พอลิเมอร์บางส่วนสามารถแทรก

เข้าไปอยู่ในระหว่างชั้นของซิลิเกต ได้มีผลทำให้โครงสร้างเกิดการจัดเรียงสลับกันระหว่างพอลิเมอร์และชั้น ซิลิเกตอย่างเป็นระเบียบ เมื่อชั้นซิลิเกตสามารถแยกออกได้อย่างสมบูรณ์และกระจายตัวอย่างไม่เป็นรูปแบบในพอลิเมอร์เมทริกซ์อย่างทั่วถึงเรียกว่าโครงสร้างแบบนี้ว่า exfoliated ดังรูปที่ 2.11 (c)



รูปที่ 2.11 ลักษณะการกระจายตัวของชั้นซิลิเกตในวัสดุคอมโพสิต (a) phase separated microcomposite; (b) intercalated nanocomposite และ (c) exfoliated nanocomposite [17]

การตรวจสอบลักษณะการกระจายตัวของชั้นซิลิเกตในวัสดุคอมพอสิต มีสองเทคนิคที่ใช้ในการตรวจสอบลักษณะโครงสร้างเหล่านี้ เทคนิคแรกคือ XRD ถูกใช้ในการตรวจสอบการแทรกของพอลิเมอร์ในชั้นซิลิเกต เมื่อเปรียบเทียบกับออร์แกนิกเคลล์ พบร่วมของการเดี่ยวบนของรังสีเอกซ์จะเกิดการเดือนไปที่มุมต่ำลง โดยมุมที่เกิดการเดี่ยวบนจะสัมพันธ์กับสมการของ Bragg (Bragg's law equation) $\lambda = 2d \sin \theta$ นั่นคือพอลิเมอร์สามารถแทรกเข้าไปในระหว่างชั้นของซิลิเกต ได้ทำให้ระยะห่างระหว่างชั้นซิลิเกตกว้างมากขึ้น สำหรับอีกหนึ่งเทคนิคคือกล้องจุลทรรศน์อิเล็กตรอนแบบส่องผ่าน (Transmission Electron Microscopy, TEM) ถูกใช้ในการตรวจสอบโครงสร้างอัลตราซูบของนาโนคอมพอสิต ดังรูปที่ 2.12 จะเห็นว่า เทคนิคทั้งสองนี้มีความสัมพันธ์กับสามารถใช้ในการตรวจสอบลักษณะโครงสร้างที่เกิดขึ้นของชั้นซิลิเกตในพอลิเมอร์เมทริกซ์



รูปที่ 2.12 แสดง (a) รูปแบบ WAXD และ (b) รูป TEM ของวัสดุคอมโพสิตที่แตกต่างกัน [17]

2.14 การเตรียมวัสดุในคอมโพสิต [17-20]

ในการเตรียมพอลิเมอร์ nano คอมโพสิตสามารถเตรียมได้ 4 วิธีคือ

2.11.1 การเตรียมด้วยเทคนิคการผสมในสารละลาย (*Solution blending*)

นี้เป็นเทคนิคหนึ่งที่น่าเชื่อถือถึงแม้ว่าจะได้รับความสนใจอย่างร้อนแรง ความน่าเชื่อถือในที่นี้หมายความว่าขั้นของซิลิกेटสามารถกระจายตัวได้ในพอลิเมอร์หลังจากระเหยตัวทำละลายออก มีงานวิจัยต่างๆ ได้ศึกษาการใช้ออร์แกโนเคลย์สำหรับเทคนิคการผสมในสารละลาย Ganter และคณะ พบว่าจะมีผลลัพธ์ที่ดีกว่าการใช้ออร์แกโนเคลย์เพิ่มขึ้นเป็นสองเท่าเมื่อถูกละลายรวมกับยางสไตรีน บิวตะไดอีน (SBR) โดยใช้โทลูอินเป็นสารละลาย

2.11.2 การเตรียมผ่านปฏิกิริยาพอลิเมอร์ในเซ็น (In situ polymerization)

เทคนิคนี้เป็นเทคนิคที่ใช้ตัวทำละลายโดยที่สามารถละลายพอลิเมอร์หรือพรีพอลิเมอร์ได้กับชั้นซิลิกेटทำให้เกิดการบวนตัวในตัวทำละลาย เมื่อพอลิเมอร์กับชั้นซิลิกेटมีส่วนกันในสารละลาย สายโซ่พอลิเมอร์จะแทรกเข้าไปแทนที่ตัวทำละลายในระหว่างชั้นของซิลิกेट

2.11.3 การเตรียมคัวขย Teknik การดูดซับให้เกิดการกระจายตัวผ่านลามาทีกซ์คอมพาวน์ (Exfoliation adsorption)

วิธีนี้ประกอบด้วยมอนอยเมอร์และพอดิเมอร์ที่ละลายนำได้ ซึ่งไม่เกิดกลเหล่านี้จะแทรกตัวเข้าไปในชั้นของชิลิกेटที่ยังไม่มีการปรับปูรุ่ง โดยชั้นของชิลิกेटสามารถกระจายตัวได้ในน้ำ โดยน้ำจะเกิดการแทรกเข้าไปในระหว่างชั้นของชิลิกेट ทำให้เกิดการบวนตัวของเคลย์ ซึ่งระดับของการบวนตัวจะขึ้นกับชนิดของเคลย์ ความสามารถในการแยกเปลี่ยนประจุบวก โดยปกติแล้วจะอยู่ในรูปของลาเท็กซ์ที่มีขนาดของอนุภาคน้ำที่ละเอียดอยู่ในช่วงต่ำกว่าไมโครเมตรจนถึงระดับไมโครเมตรขึ้นอยู่กับกระบวนการผลิต ดังนั้นการผสมลาเท็กซ์กับชั้นชิลิกेटโดยการจับให้เป็นก้อน (coagulation) เป็นวิธีที่ถูกคิดหวังว่าจะได้สุดยอดนาโนคอมโพสิตเกิดขึ้น แต่พบว่าการทำด้วยเทคนิคนี้แนวโน้มที่ไม่เกิดกลเหล่านี้ในระหว่างกระบวนการผลิต แม้พนว่าการทำด้วยเนื่องจากผลของการมีข้อขึ้นชั้นชิลิกेट

2.11.4 การเตรียมคัวขย Teknik การหลอมเหลว (Melt compounding)

เทคนิคนี้เป็นการผสมพอดิเมอร์ และออร์แกโนเคลย์ ภายใต้แรงเยื่อน และได้รับความคาดหวังมากที่สุดในการนำไปใช้งานจริง เป็นวิธีได้รับการยอมรับสำหรับวัสดุเทอร์โมพลาสติกนาโนคอมพอดสิต เนื่องจากพบว่าแรงเยื่อนและอุณหภูมิในการผสมเทอร์โมพลาสติกสามารถปรับปูรุ่งสมบูติเชิงกลของเทอร์โมพลาสติกที่เสริมแรงด้วยออร์แกโนเคลย์

2.15 งานวิจัยที่เกี่ยวข้อง

D.G. Hundiwale และคณะ ในปี ก.ศ. 2001 [21] ได้ศึกษาสมบูติเชิงกลของยางธรรมชาติที่มีการเติมถ้าโลยกโดยศึกษาเปรียบเทียบกับยางธรรมชาติที่มีการผสมแคเลเซียมคาร์บอนเนต และผสมวัสดุยางคอมพอดตัวของเครื่องบดผสมสองลูกกลิ้ง (two-roll mill) ชึ้นรูปปริ่นงานด้วยเครื่องอัดชึ้นรูป (compression molding) ที่อุณหภูมิและเวลาการบ่ม 140 °C และ 40 นาที ตามลำดับพบว่าสมบูติเชิงกล ทั้งค่าความต้านการดึงยืด (tensile strength) modulus (modulus) ที่ 100, 200 และ 300 เมอร์เซนต์การดึงยืด เพิ่มสูงขึ้นเมื่อปริมาณสารตัวเติม (filler) มากขึ้น โดยถ้าลดลงจะทำให้ค่าความต้านทานการดึงยืดที่ดีกว่าแคเลเซียมคาร์บอนเนต เนื่องจากรูปทรงของถ้าโลยกที่เป็นทรงกลมทำให้เพิ่งของยางสามารถเรื่มติดกับเพิ่งของถ้าโลยกได้ดีกว่าแคเลเซียมคาร์บอนเนตซึ่งมีลักษณะรูปทรงที่เป็นแบบสูม แต่ที่ปริมาณถ้าโลยกมากกว่าร้อยละ 50 โดยปริมาตร จะทำให้ความต้านทานการดึงยืด และ modulus สลับลดลง เนื่องจากผลกระทบรวมตัวกันของสารตัวเติม สำหรับค่าความแข็งแบบ shore A (hardness shore-A) จะมีค่าเพิ่มมากขึ้น เมื่อปริมาณของถ้าโลยกเพิ่มขึ้น เนื่องจากสารตัวเติมที่สองเป็นออกไซด์ของโลหะอนินทรี (inorganic metal oxide) ซึ่งมีผลให้วัสดุผสมมีความแข็งมากขึ้น

ในปี ก.ศ. 2003 Nabil A. N. Alkadasi และคณะ [5] ได้ศึกษาผลของสารคู่ควบ (coupling agent) ที่มีต่อสมบัติเชิงกลของถ้าลอยที่เติมในยางบิวตะ ไคลอิน โดยศึกษาเบร์ยนเทียบกับถ้าลอยที่ไม่ได้ใช้สารคู่ควบ จากการทดลองพบว่าการเติมถ้าลอยที่ปรับปรุงผิวด้วย Si-69 ลงไปในยางบิวตะ ไคลอิน ช่วยทำให้เพิ่มค่ามอคูลัสที่การยืดตัว 100 เบอร์เซ็นต์ และค่าความแข็งให้ดีขึ้น เนื่องจากสารคู่ควบ Si-69 สามารถเกิดพันธะเคมีร่องรอยระหว่างสองเฟสนี้ ทำให้ถ้าลอยเป็นสารเสริมแรงที่มีประสิทธิภาพมากขึ้น

S. Mishra และคณะ ในปี ก.ศ. 2004 [22] ได้ศึกษาสมบัติเชิงกลและสมบัติการทนเปลวไฟ (flame-retarding properties) ของยางบิวตะ ไคลอินที่มีการเติมด้วยถ้าลอยและนาโนแคลเซียม การบูนเนต พนว่าการเติมแคลเซียมคาร์บอนเนตอนุภาคระดับนาโน และแคลเซียมเกรดการค้าลงไปในยางบิวตะ ไคลอินทำให้ทนแรงดึงสูงขึ้นถึง 40 เบอร์เซ็นต์ ซึ่งมีค่าสูงกว่าเมื่อเติมถ้าลอย เนื่องจาก การกระจายตัวได้สม่ำเสมอคึกคัก และยังพบว่าอัตราการติดไฟของยางบิวตะ ไคลอินที่เติมแคลเซียม คาร์บอนเนตในระดับนาโนมีค่าน้อยกว่าการเติมแคลเซียมเกรดการค้า และถ้าลอยด้วย

ในปี ก.ศ. 2004 N. Sombatsopop และคณะ [4] และ S. Thongsang และ N. Sombatsopop [23] ได้ศึกษาเกี่ยวกับผลของการเติมชิลิกาเกรดการค้า และชิลิกาจากถ้าลอยที่ไม่ปรับปรุงผิวลงในยางธรรมชาติและยางเอสบีอาร์ โดยวิธีการผสมให้เข้ากันบนเครื่องอบผสานสองถูกกลึง และนำสารประกอบยางไปอัดขึ้นรูปปร้อนให้ยางคงรูป เพื่อให้ได้เป็นแผ่นยางสำหรับนำไปเตรียมชิ้นงานทดสอบสมบัติเชิงกล ทางค้านความด้านทานแรงดึง การค้านแรงฉีกขาดและความแข็งในส่วนของยางธรรมชาติ พนว่าการเติมชิลิกาจากถ้าลอยลงไปในยางคอมพาวด์ที่ปริมาณ 0 ถึง 75 phr ทำให้เวลาในการคงรูปยาง และความหนืดของยางธรรมชาติดลดลงเมื่อเทียบกับชิลิกาเกรดการค้า ทั้งนี้เนื่องจากถ้าลอยมีโลหะออกไซด์เป็นองค์ประกอบ ซึ่งโลหะออกไซด์จะทำหน้าที่เป็นสารกระตุ้นที่ช่วยให้ยางคงรูปเร็วขึ้น ส่วนสมบัติที่ได้หลังจากการวัดค่าในช่วง 0 ถึง 30 phr มีลักษณะคล้ายคลึงกันคือ ค่ามอคูลัสของสารประกอบยางธรรมชาติที่ 200 เบอร์เซ็นต์การดึงยืดด้วยเพิ่มขึ้น แต่มีอัตราปริมาณของชิลิกามากกว่า 30 phr พนว่าการเติมชิลิกาเกรดการค้า ทำให้ค่ามอคูลัส ค่าความแข็ง และการด้านทานแรงฉีกขาดเพิ่มขึ้น ในขณะที่ชิลิกาจากถ้าลอยมีแนวโน้มคงที่ ในส่วนของยางเอสบีอาร์ พนว่า พนว่าแนวโน้มการเปลี่ยนแปลงสมบัติหลังจากการวัดค่าในช่วงคล้ายคลึงกับระบบของยางธรรมชาติ ยกเว้นค่าความด้านทานแรงดึงและการด้านแรงฉีกขาด มีค่าเพิ่มขึ้นตามปริมาณของ ชิลิกาเกรดการค้าที่สูงขึ้น และมีค่าไม่เปลี่ยนแปลงไปตามปริมาณของชิลิกาถ้าลอย ปัจจัยที่ทำให้สารประกอบยางที่เติมชิลิกาเกรดการค้าและชิลิกาจากถ้าลอยมีสมบัติที่แตกต่างกัน เนื่องจากแรง

กระทำระหว่างขนาดของอนุภาคสารเติมแต่งและปริมาณของสารประกอบถ้าลอยที่อยู่ในยางค่อนพาวค์ ซึ่งเมื่อปริมาณถ้าลอยสูงขึ้นจะทำหน้าที่เป็นเหมือนสารตัวเตินในยางมากกว่าสารเสริมแรง

จากการวิจัยในระยะแรก [4] สามารถเดินชิลิกาจากถ้าลอยในสารประกอบยางธรรมชาติได้ในปริมาณสูงถึง 60 phr เพื่อเป็นการประหัดดันทุนในการผลิตมากขึ้น แต่เนื่องจากสมบัติเชิงกลโดยรวมดีอยกว่าชิลิกาเกรดการค้า จึงนำไปสู่การปรับปรุงผิวถ้าลอย พบว่า กระบวนการปรับปรุงพื้นผิวที่เหมาะสม โดยการนำถ้าลอยเคลือบด้วยสารคุ่มควบใช้เลน (Si69) ที่ปริมาณความเข้ม 2 ถึง 4 เปอร์เซ็นต์โดยน้ำหนัก ส่งผลให้สมบัติเชิงกลทางด้านมอคูลัสและการด้านแรงฉีกขาดเพิ่มสูงขึ้น และปริมาณความหนาแน่นของพันธะเชื่อมขวางของสารประกอบยางธรรมชาติมีค่าเพิ่มสูงขึ้นด้วย เช่นกัน เมื่อเทียบกับการใช้ถ้าลอยที่ไม่ปรับปรุงผิวทางเคมี ต่อมาในปี ค.ศ. 2006 S. Thongsang และ N. Sombatsompob [23] ได้ศึกษาผลของการปรับปรุงพื้นผิวถ้าลอยด้วยสารคุ่มควบ Si69 และสารละลายโซเดียมไฮดรอกไซด์ พบว่า สารคุ่มควบ Si69 ช่วยปรับปรุงสมบัติเชิงกล ผ่านการสร้างพันธะ C-S กับโมเลกุลของยางเชื่อมกับอนุภาคถ้าลอยเกิดผ่านพันธะไฮโลกเซน (siloxane linkage) ขณะที่การใช้สารละลายโซเดียมไฮดรอกไซด์ ไม่สามารถปรับปรุงสมบัติเชิงกลได้ ที่ปริมาณ Si69 2 – 4 เปอร์เซ็นต์โดยน้ำหนักพบว่า สมบัติเชิงกลจะลดลง เป็นผลมาจากการลดลงของปริมาณการเชื่อมโยง (crosslink density) และการเกิดเป็นโพลิไฮโลกเซน (polysiloxane) จากการควบแน่นของ Si69 อีกทั้งยังเป็นตัวขัดขวางการเกิดการเชื่อมโยงของชั้นเฟอร์ จากการวิจัยนี้แนะนำให้ใช้ปริมาณของสารคุ่มควบในช่วง 2 – 4 เปอร์เซ็นต์โดยน้ำหนัก จะได้สมบัติของวัสดุที่เหมาะสม ในเวลาต่อมาได้ศึกษา ผลของการเสริมแรงยางธรรมชาติด้วยถ้าลอยจากเหล็กต่างๆ ภายใต้ประเทศไทย [24] โดยนำถ้าลอยจากแม่เมะ ราชบอย และบ้านโป่ง มาปรับปรุงผิวถ้าลอยด้วย Si69 ปริมาณ 2 เปอร์เซ็นต์โดยน้ำหนัก แล้วเติมลงไปในยางธรรมชาติปริมาณ 30-75 ส่วนในร้อยส่วน จากนั้นนำยางธรรมชาติทุกสูตรไปทดสอบสมบัติการคงรูปยาง สมบัติด้านการทนแรงดึงและแรงฉีกขาด ความแข็ง การกระดอน และการยุบตัวควร พบร้าถ้าลอยทั้งสามแหล่งสามารถนำไปใช้เป็นสารเสริมแรงในยางธรรมชาติได้ และสามารถทดสอบแทนชิลิกาเกรดการค้าได้ในปริมาณชิลิกา 30 ส่วนในร้อยส่วน ซึ่งสมบัติเชิงกลด้านทนแรงดึง ทนแรงฉีกขาด และค่าความแข็งเทียบเท่ากัน นอกจากนี้ยางธรรมชาติที่เติมถ้าลอยยังสามารถรักษาสมบัติความเป็นอิลาสติกของยางได้ดีกว่าชิลิกาเกรดการค้าด้วย โดยเฉพาะถ้าลอยจากแม่เมะซึ่งเป็นผลเนื้องมาจากการถักย้อมที่เป็นทรงกลมของถ้าลอยจากแม่เมะ แตกต่างกับถ้าลอยจากราชบอย และบ้านโป่ง ที่มีลักษณะของรูปทรงที่ไม่แน่นอน

A. R. R. Menon และคณะ [25] ได้ศึกษาสมบัติเชิงกล และการสลายตัวทางความร้อนของยางธรรมชาติที่มีการเติมถ้าลอยที่ถูกปรับปรุงด้วยสารอนุพันธ์ของคาร์ดานอล (cardanol

derivatives) จากผลการทดลองพบว่า การปรับปรุงคุณลักษณะของลดพัฒนาในการผสม และทำให้เวลาการบ่มสุกลดลง เป็นผลมาจากการค่านอัลสามารถทำหน้าที่เป็นสารหล่อลื่น (plasticizer) ได้อีกทั้งช่วยปรับปรุงค่าความด้านทานการดึงซีดและการด้านทานแรงฉีกขาด รวมทั้ง มีเสถียรภาพทางความร้อนที่มากขึ้นด้วย

K.Grade และคณะ [26] ศึกษาการปรับปรุงผิวของเด้าโลยเพื่อเป็นสารเสริมแรงในยาง ไอโซพริน ในการปรับปรุงผิวของเด้าโลยโดยใช้กรด เบส เกลือ พนว่า เมื่อปรับปรุงผิวแล้วทำให้มีพื้นผิวเพิ่มมากขึ้น โดยเฉพาะการปรับผิวคุณลักษณะแบบแล้วตามคุณลักษณะกรด ทำให้ผิวของเด้าโลยมีพื้นผิวเพิ่มมากขึ้น ใกล้เคียงกับลักษณะพื้นผิวของซิลิค้า สามารถนำไปทดสอบเพื่อเป็นสารเสริมแรงในยาง ไอโซพริน ได้คิดเห็น สำหรับการใช้สารคู่ควบ bis(trimethoxysilylpropyl) tetrasulphane: TEPT จะช่วยให้การกระจายของเด้าโลยในยาง ไอโซพรินได้ดีขึ้น อีกทั้งช่วยให้การกระตุ้นการระดับของยางลดลง เมื่อจากการที่หมุนไส้ rotor ซิลิบิรเวฟพื้นผิวของเด้าโลยหายไป และทำให้สารประกอบยางพอลิไอโซพรินมีสมบัติทางด้านความแข็งแรงลดลง และปริมาณการเกิดพันธะข้ามมีการเปลี่ยนแปลงน้อย

Da Costa, H.M. และคณะ [27] ศึกษาผลผลกระทบของสารคู่ควบและสารปรับปรุงผิวทางเคมี ของเด้าแกลบที่เติมลงในวัสดุเชิงประยุกต์ของยางธรรมชาติ โดยใช้เครื่องทดสอบถ่องถ่องสูญญากาศ และได้ศึกษาสมบัติด้านการคงรูป สมบัติทางการไหล และสมบัติทางกายภาพของยางธรรมชาติที่คงรูป แล้ว ได้แก่ สมบัติด้านแรงดึง การด้านแรงฉีกขาด การทนการขัดสี และค่าความแข็งที่ผิว นอกจากนี้ ยังใช้เทคนิค FTIR เพื่อตรวจสอบหมุนผิวชั้นของซิลิค้าที่ตกตะกอนในเด้าแกลบที่บดละเอียด และเด้าแกลบที่ปรับปรุงผิวคุณลักษณะ ใช้เลน Si69 ที่มีต่อสมบัติการคงรูปและสมบัติทางกายภาพ ของยางที่คงรูป งานวิจัยนี้ทำการเปรียบเทียบเด้าแกลบที่ปรับปรุงผิวทางเคมีกับสารเติมแต่งซิลิค้า เกรดการค้า และผงเขม่าคำ จากการทดลองพบว่า ผลของการใช้สารคู่ควบ ใช้เลน Si69 ไม่ส่งผลทำให้สมบัติคืบขึ้น แต่เด้าโลยที่ปรับปรุงผิวที่อัตราส่วน 20 phr ให้สมบัติความแข็งแรงสูงกว่าสารประกอบ ยางที่เติมด้วยสารเติมแต่งประเภทซิลิค้าและผงเขม่าคำ

Chuayjuljit, S. [28] ศึกษาการใช้ซิลิค้าจากแกลบเป็นสารเสริมแรงในยางธรรมชาติ โดยนำ แกลบที่ล้างน้ำแล้วไปทำปฏิกิริยา กับกรดไฮโคลอเรติกที่ความเข้มข้น 0.4 โนลาร์ ที่อุณหภูมิ 105 °C เป็นเวลา 3 ชั่วโมง แล้วเผาที่อุณหภูมิ 600 °C เป็นเวลา 6 ชั่วโมง จากนั้นทำการบดเป็นผงและผสมลงไปในยางธรรมชาติ ผลการวิจัยพบว่า สารประกอบยางธรรมชาติที่เติมด้วยซิลิค้าจากแกลบมี สมบัติความด้านความด้านแรงดึง การด้านทานแรงฉีกขาด การด้านการสึกหรอ และสมบัติการ กระดอนที่ดีกว่าการเติมด้วยซิลิค้าเกรดการค้า และใช้เวลาในการคงรูปยางที่น้อยกว่า

Magaraphan และคณะ ในปี ก.ศ. 2003 [29] ได้ศึกษาการปรับสภาพผิวของแร่คินเนี่ยวนอนต์มอริลโลในตัววาย primary amine และ quaternary amine ซึ่งมีความขาวของโซ่คาร์บอน 12 ถึง 18 ตัว และสามารถทำให้เกิดนาโนคอมโพสิตแบบ exfoliated ได้อย่างสมบูรณ์เมื่อใส่แร่คินเนี่ยวนอนต์มอริลโลในตัวในปริมาณต่ำกว่า 10 phr โดย primary amine สามารถทำให้เกิดการกระจายตัวของแร่คินเนี่ยวน้ำได้ดีกว่า quaternary amine และเมื่อความขาวของโซ่คาร์บอนเพิ่มขึ้นจะทำให้การกระจายตัวของแร่คินเนี่ยวน้ำดีขึ้น ซึ่งการกระจายตัวที่ดีขึ้นทำให้คุณสมบัติเชิงกลดีขึ้นด้วย

Arroyo และคณะ ในปี ก.ศ. 2003 [6] ศึกษาผลของการใช้ออกตะเกกคลาไมค์ (octadecylamine) ใน การปรับปรุงสภาพผิวของแร่คินเนี่ยวนอนต์มอริลโลในตัวคุณสมบัติของยางธรรมชาติเปรียบเทียบกับผลจากการใช้คาร์บอนแบล็ค จากเทคนิค DSC พบร้าห์งออร์แกโนนิมอริลโลในตัว และผงเหม่าดำทำให้ปฏิกริยาการเกิดวัลคาไนเซชันเร็ว แสดงให้เห็นว่าปริมาณการเกิดพันธะเพิ่มขึ้น สำหรับด้านสมบัติเชิงกลพบว่าออร์แกโนนิมอริลโลในตัวที่ปริมาณ 10 phr เป็นสารเสริมแรงที่ดี โดยทำให้มีความด้านทานต่อแรงดึงเพิ่มมากขึ้นถึง 350 เปอร์เซนต์ของยางธรรมชาติ และพบว่าเบรริขบเทียบได้กับผงเหม่าดำที่ปริมาณ 40 phr

ในปี ก.ศ. 2004 Teh และคณะ [30] พบร้าห์การการเติมยางธรรมชาติอิพอกไซด์ (epoxidized) ซึ่งทำให้ยางมีขั้นตอนการทำงานที่ดีขึ้น ลงไบบ์ผสมรวมกับยางแท่งจะช่วยให้เกิดการกระจายตัวของออร์แกโนเคลย์ได้ดีขึ้น โดยเมื่อเพิ่มปริมาณของยางธรรมชาติอิพอกไซด์ จะทำให้ออร์แกโนเคลย์มีการกระจายตัวแบบ exfoliated และจะทำให้มีสมบัติเชิงกลดีขึ้นมาก

Bala และคณะ [31] เตรียมออร์แกโนนอนต์มอริลโลในตัว (OMMT) ที่ถูกปรับปรุงด้วยไดเดคิเลอเม淫 (dodecylamine) ผสมลงในยางธรรมชาติ คอมพาวด์ ด้วยวิธีการผสมหลอมเหลว จากการทดสอบสมบัติเชิงกลพบว่าออร์แกโนนิมอริลโลในตัวที่ปริมาณ 4 เปอร์เซนต์โดยน้ำหนัก ค่าความด้านทานต่อแรงดึงดีด และค่าการดึงดีดที่จุดขาดเพิ่มมากขึ้น นอกเหนือนี้ยังพบว่ามีคุณภาพที่ 100 และ 200 เปอร์เซนต์การดึงดีดมีค่าเพิ่มขึ้น เมื่อปริมาณของออร์แกโนนิมอริลโลในตัวมากขึ้นตั้งแต่ 1 ถึง 4 เปอร์เซนต์โดยน้ำหนัก สำหรับการเติมนอนนิมอริลโลในตัวที่ไม่ได้มีการปรับปรุง พบร้าห์จะทำให้สมบัติเชิงกลลดลง

Siby Vaghese และ J. karger-Kocsis [32] ศึกษาเบรริขบเทียบผลของอนต์มอริลโลในตัว และออร์แกโนนิมอริลโลในตัว โดยผสมกับยางธรรมชาติ ด้วยวิธีการผสมหลอมเหลวที่ปริมาณ เคลย์ 10 phr จากการทดสอบด้วยเทคนิคการเดี่ยวบนของรังสีเอกซ์ (XRD) และกล้องจุลทรรศน์ อิเล็กตรอนแบบส่องผ่าน (TEM) พบร้าห์ออร์แกโนนอนต์มอริลโลในตัวสามารถกระเจิงตัวแบบ exfoliated บางส่วน โดยบางส่วนเกิดการกระเจิงตัวแบบ intercalated และการรวมตัว (aggregate) ซึ่งขึ้นกับชนิดของออร์แกโนนอนต์มอริลโลในตัวที่ใช้ สำหรับการทดสอบสมบัติเชิงกลพบว่า ออร์

แก้ไขมนต์ในริลโลในตัวให้สมบัติเชิงกลที่ดีกว่าและเวลาในการบันสุกที่เร็วกว่ามนต์ในริลโลในตัวซึ่งพนเข่นเดียวกับงานวิจัยของ K. N. Madhusoodanan และ Siby Varghese [33]

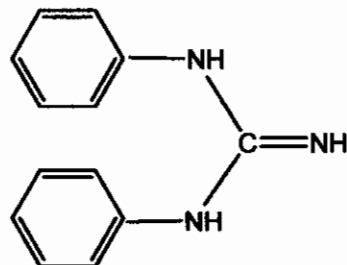
จากการวิจัยต่างๆ ที่ผ่านมาทำให้ทราบข้อคิดของการนำมนต์ในริลโลในตัวและถ้าลองมาใช้ในระบบคอมพิวเตอร์ของยางธรรมชาติ โดยถ้าลองสามารถลดพลังงานในการขึ้นรูปและให้สมบัติค้านการไหลที่ดี สำหรับมนต์ในริลโลในตัว สามารถช่วยปรับปรุงเนื้อเมทริกซ์ของยางธรรมชาติให้แข็งขึ้นได้ ดังนั้นผู้วิจัยจึงมีแนวคิดที่จะศึกษาสมบัติเชิงกล และเชิงความร้อนของยางธรรมชาติที่มีการผสมทั้งมนต์ในริลโลในตัวและถ้าลอง เพื่อให้สามารถทราบถึงอัตราส่วนที่เหมาะสมระหว่างมนต์ในริลโลในตัวและถ้าลอง เพื่อนำไปประยุกต์ใช้กับงานที่ต้องการยางธรรมชาติที่มีสมบัติเชิงกล และเชิงความร้อนที่ดี

บทที่ 3

วิธีการดำเนินงานวิจัย

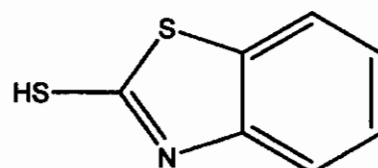
3.1 วัสดุและสารเคมีที่ใช้ในการทดลอง

- 3.1.1 ยางธรรมชาติ เกรด STR 20 CV จากบริษัทสินทองไทย รับเนอร์
- 3.1.2 สารกระดุนปูนปิโภริยาซิงค์ออกไซด์ (Zinc Oxide, ZnO) เป็นสารกระดุนปูนปิโภริยาอัดคราฟ์ในช์ ในกระบวนการผลิตยาง จากบริษัทวิทยาลรน
- 3.1.3 สารกระดุนปูนปิโภริยากรดเตียริก (Stearic acid) เป็นสารกระดุนปูนปิโภริยาอัดคราฟ์ ในช์ ในกระบวนการผลิตยาง ได้รับความอนุเคราะห์จากบริษัทอินโนเวชันกรุ๊ป
- 3.1.4 สารเร่งปูนปิโภริยาไดฟินิกวันดีน (DPG) เป็นสารเร่งปูนปิโภริยาอัดคราฟ์ ในช์ ในกระบวนการผลิตยาง ได้รับความอนุเคราะห์จากบริษัทอินโนเวชันกรุ๊ป



รูปที่ 3.1 โครงสร้างเคมีของ DPG

- 3.1.5 สารเร่งปูนปิโภริยาเมอร์แคปトイเดน โซไทร์โซล (MBT) เป็นสารเร่งปูนปิโภริยาอัดคราฟ์ ในช์ ในกระบวนการผลิตยาง ได้รับความอนุเคราะห์จากบริษัทอินโนเวชันกรุ๊ป



รูปที่ 3.2 โครงสร้างเคมีของ MBT

- 3.1.6 สารคงรูปยาง (curing agent) ซัลเฟอร์ (sulphur) ได้รับการอนุเคราะห์จากบริษัท อินโนเวชันกรุ๊ป (Innovation Group)

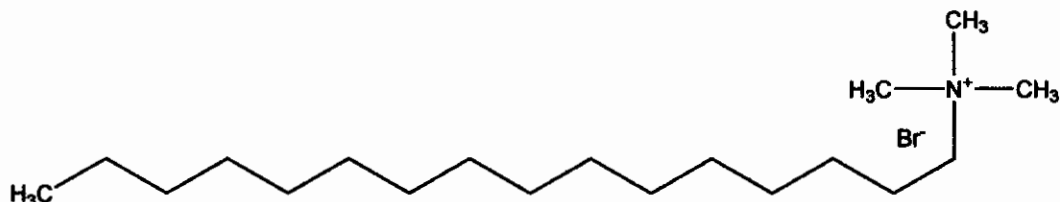
3.1.7 นอนต์มอริล ไลโน่ท์ ($\text{Na}^+ \text{MMT}$) ซื้อทางการค้า Kunipia-F จากบริษัท Kunimine industries ประเทศญี่ปุ่น มีค่าความสามารถในการแลกเปลี่ยน ไอออน (Cation Exchange Capacity, CEC) 115 meq ต่อกลอลบ์ 100 กรัม

3.1.8 เส้าถอย จากโรงไฟฟ้าแม่เมะ จังหวัดลำปาง ขนาดน้ำขอกว่า 250 ไมโครเมตร

3.1.9 กรดไฮdroคลอริก (HCl) ความเข้มข้น 37 เปอร์เซ็นต์โดยน้ำหนัก จากบริษัท LAB SCAN Asica

3.1.10 ชิลเวอร์ไนเตรต (AgNO_3) เกรด p.a. จากบริษัท POCh S.A.

3.1.11 สารเคมีที่ใช้ในการปรับปูงเคลท์ คือ เอกอะเดคิลไตรเมทิล แอนโนเนี่ยน ไบรaine (CTAB) เกรด pureum 97 เปอร์เซ็นต์ (AT) น้ำหนักโมเลกุล 364.45 กรัมต่ำโน้ม จากบริษัท Fluka



รูปที่ 3.3 โครงสร้างเคมีของ CTAB

3.1.12 สารถูกัด (coupling agents) ประเภทไไซเดน bis-(3-triethoxysilylpropyl) tetrasulfane (Si69) ได้รับการอนุเคราะห์จากบริษัทอินโนเวชันกรุ๊ป

3.2 เครื่องมือที่ใช้ในการดำเนินงานวิจัย

3.2.1 เครื่องบดผสมยางแบบสองลูกกลึง (Two-roll mill) ขนาด 150×400 มิลลิเมตร จากบริษัทแห่งไทยฯ รุ่น XK 06

3.2.2 เครื่องมืออัดขี้นรูปยาง ระบบไฮดรอลิก (compression molding) จากบริษัท Carver

3.2.3 เครื่องทดสอบ Fourier Transform Infrared Spectrophotometer (FTIR) จากบริษัท Bruker Optic รุ่น Vertex70

3.2.4 เครื่องทดสอบ X-ray Diffraction (XRD) 2 kW จากบริษัท JEOL รุ่น JDX-3530 และ XRD 18 kW จากบริษัท Rigaku รุ่น TTRAXIII

3.2.5 เครื่องทดสอบเอกลักษณ์การคงรูปของยาง Moving Die Rheometer (MDR) จากบริษัท Gotech รุ่น GT-M2000

3.2.6 เครื่องทดสอบสมบัติเชิงกล Universal Testing Machine จากบริษัท LLOYD Instruments ประเทศไทยรุ่น LR50K

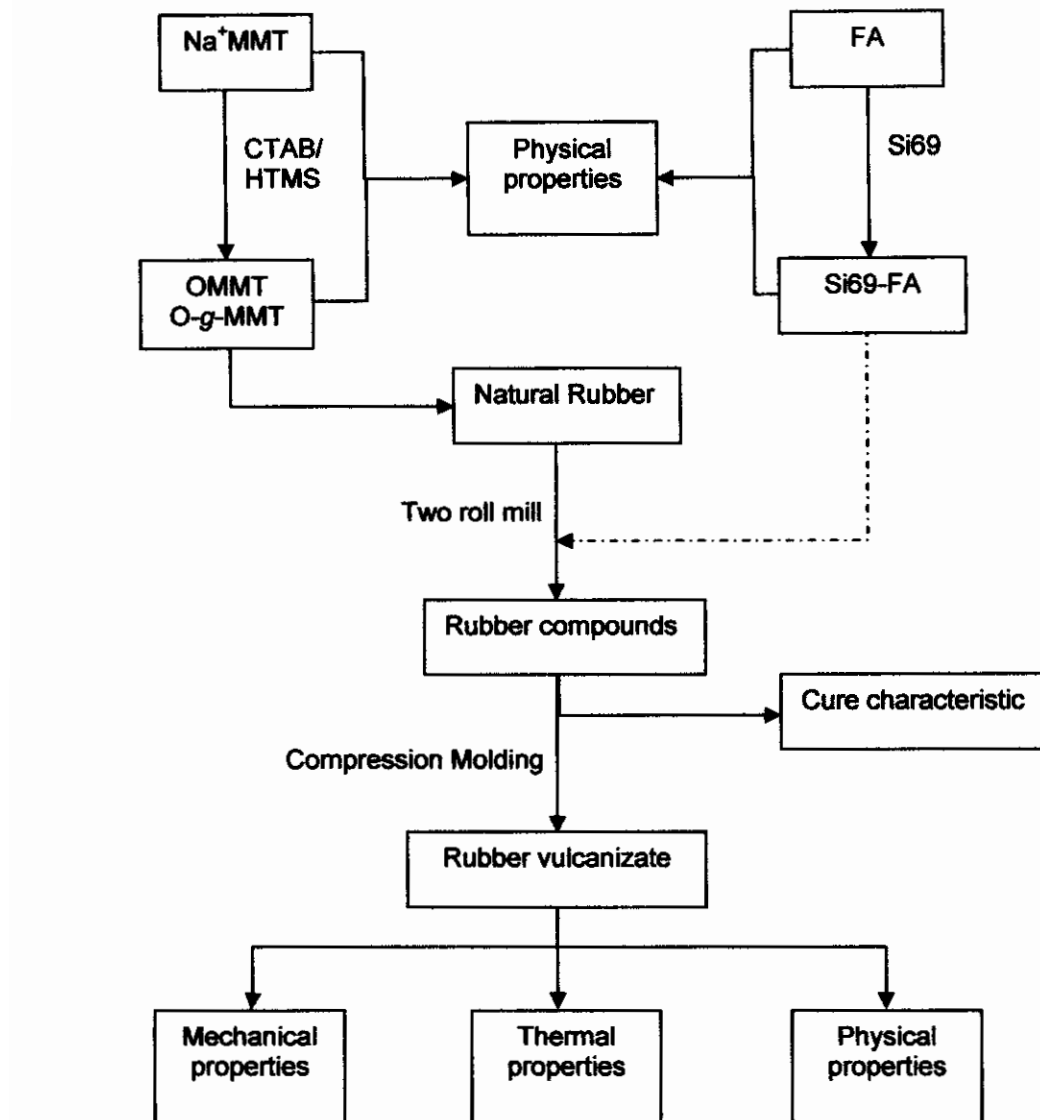
3.2.7 เครื่องทดสอบความแข็งที่ผิว Durometer จากบริษัท Pacific Transducer Corporation รุ่น model 473

3.2.8 เครื่องทดสอบสมบัติเชิงความร้อน Thermal Gravimetric Analyzer จากบริษัท Perkin-Elmer รุ่น TGA 7 HT

3.2.9 เครื่องทดสอบสัมผสานวิทยา Scanning Electron Microscope (SEM) จากบริษัท Cam Scan รุ่น MX 2000

3.3 วิธีการดำเนินการทดสอบ

งานวิจัยนี้เป็นการนำถ้าลอยและมอนต์มอริล ไว้ในตัวพลาสติกในยางธรรมชาติเพื่อปรับปรุงสมบัติค้านต่างๆ โดยในการทดสอบจะทำการปรับปรุงผิวของมอนต์มอริล ไว้ในต์และถ้าลอยก่อนทำการทดสอบ สำหรับการทดสอบเป็นยางคอมพาวด์นั้นจะทำการทดสอบมอนต์มอริล ไว้ในต์ลงในยางธรรมชาติก่อนที่อัตราส่วนตั้งแต่ 0 ถึง 10 phr จากนั้นจะนำยางคอมพาวด์ที่ได้ไปเขียนรูปและทดสอบสมบัติค้านต่างๆ และวิเคราะห์เพื่อหาว่าอัตราส่วนใดของมอนต์มอริล ไว้ในต์ที่เหมาะสมกับยางมากที่สุด และเปรียบเทียบผลที่ได้กับมอนต์มอริล ไว้ในต์ที่ไม่ได้มีการปรับปรุง หลังจากนั้นนำอัตราส่วนที่เหมาะสมของมอนต์มอริล ไว้ในต์มาทดสอบร่วมกับถ้าลอยของในยางธรรมชาติ โดยทดสอบถ้าลอยในอัตราส่วน 0 ถึง 40 phr และเปรียบเทียบสมบัติต่างๆ ที่ได้ระหว่างยางธรรมชาติที่มีการทดสอบถ้าลอย และยางธรรมชาติที่มีการทดสอบถ้าลอยร่วมกับมอนต์มอริล ไว้ในต์



รูปที่ 3.4 แผนผังการดำเนินงานวิจัยโดยรวม

3.4.1 การตรวจสอบและวินิจฉัยผลิตภัณฑ์มอริลไวนิต์

นำถ้าลอกจาก จากโรงไฟฟ้าแม่เมaje จังหวัดลำปาง และมอนต์莫ริลไวนิต์จากบริษัท Kunimine ไปตรวจสอบคุณลักษณะด้านรูปร่างอนุภาคด้วยกล้องจุลทรรศน์อิเล็กตรอนแบบส่อง粒粒 (Scanning Electron Microscope, SEM) ของบริษัท Cam Scan รุ่น MX 2000 ก่อนทำการศึกษาพิวหน้า จะต้องนำถ้าลอกและมอนต์莫ริลไวนิต์ไปเคลือบพิวหน้าด้วยทอง โดยใช้เครื่อง Splutter coater 108 เป็นเวลา 2 นาที จึงนำรื้นงานที่ได้ไปทดสอบ SEM ภายใต้สภาวะใน Chamber 0.001-0.0001 มิลลิบาร์ แล้วใช้สัญญาณในการจับภาพแบบ Secondary electron image

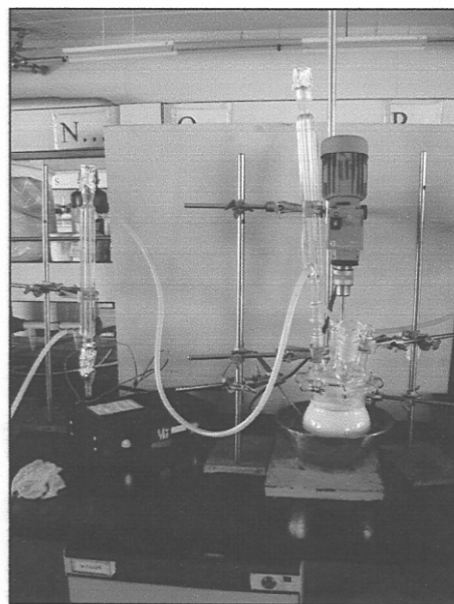
วิเคราะห์องค์ประกอบทางเคมีของถ้าลอยและอนค์โนริลโกล์ไนต์ด้วยเทคนิค Energy Dispersive X-ray Spectroscopy (EDS) ของบริษัท Cam Scan รุ่น MX 2000

3.4.2 การปรับปูงผิวถ้าลอยโดยใช้สารถ่วงค่า

ตัดขนาดถ้าลอยด้วยอุปกรณ์ตัดขนาดตะกอน (test sieve) จากบริษัท Retsch ให้ได้ขนาดอยู่ในช่วง 74 ถึง 105 ไมโครเมตร และปรับปูงผิวถ่วงสารถ่วงค่า Si69 เพื่อเพิ่มการขึ้นเคราะห์ระหว่างถ้าลอยกับเนื้อหา โดยการนำ Si69 ปริมาณ 2 กรัม ละลายในเอทานอลปริมาณ 100 มิลลิลิตร ให้เข้าเป็นเนื้อเดียวกันด้วยแท่งแม่เหล็กวนสาร เป็นเวลา 30 นาที จากนั้นนำถ้าลอย 100 กรัม ผสมลงในสารละลายที่เตรียมไว้ที่ละน้อย แล้วใช้แท่งแม่เหล็กวนอีกประมาณ 15 นาที เพื่อให้แน่ใจว่า Si69 กระจายตัวอยู่ทั่วบนผิวถ้าลอย จากนั้นนำถ้าลอยที่ได้ไปอบในตู้อบที่อุณหภูมิ 100 °C เป็นเวลา 12 ชั่วโมง เพื่อระเหยเอทานอลที่เกินพอกออกไป

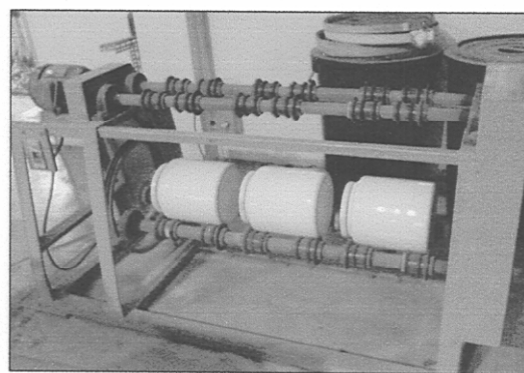
3.4.3 การเตรียมออร์แกโนมอนต์มอริลโกล์ไนต์ (OMMT)

การเตรียมออร์แกโนมอนต์มอริลโกล์ไนต์ (OMMT) สามารถทำได้โดยการนำมอนต์มอริลโกล์ไนต์หรือ Kunipia- F จากบริษัท Kunimine Industrial ประเทศญี่ปุ่น ปริมาณ 10 กรัม ผสมลงในน้ำกลั่น 350 มิลลิลิตร ใส่ลงในเครื่องแก้วสำหรับทำปฏิกิริยา (reactor) ขนาด 1000 มิลลิลิตร จากนั้นให้ความร้อนในอ่างน้ำมันที่มีการควบคุมอุณหภูมิให้คงที่อยู่ที่ 80 °C พร้อมทั้งการให้เข้ากันด้วยใบพัดกวน ดังแสดงในรูปที่ 3.5 ให้สารละลายนี้เป็นของผสม A ในขณะให้ความร้อนกับของผสม A อยู่นี้ ทำการผสมเชิงระดับต่ำๆ ไตรเมทิล แอนโนเนียม ไบรอนไมร์ (CTAB) ปริมาณ 1 CEC หรือ 4.2 กรัม ลงในน้ำกลั่นปริมาณ 250 มิลลิลิตร ให้ความร้อนที่อุณหภูมิ 80 °C พร้อมทั้งการให้เข้ากันด้วยแท่งแม่เหล็กวน หลังจากนั้นหยดกรดไฮโดรคลอริก (HCl) ความเข้มข้น 1 ในลาร์ ปริมาณ 10 มิลลิลิตร และกวนต่อเป็นเวลา 30 นาที ให้สารละลายนี้เป็นสารละลาย B หลังจากนั้นเติมสารละลาย B ลงในของผสม A อย่างช้าๆ เมื่อผสมหมดแล้ว ให้ความร้อนต่อ พร้อมกับกวนต่อไปอีก 2 ชั่วโมง 30 นาที

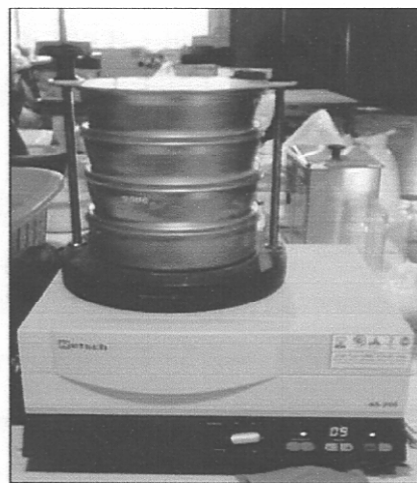


รูปที่ 3.5 ลักษณะการจัดตั้งการเตรียมออร์แกโนมอนต์อริลโกรไนต์

เมื่อครบตามเวลา นำของผสมที่ได้ไปกรอง เพื่อเก็บตะกอน จากนั้นล้างตะกอนด้วยน้ำร้อน อุณหภูมิ 80°C นำตะกอนที่กรองได้นี้ไปล้างด้วยน้ำร้อนที่อุณหภูมิ 80°C อีกครั้ง โดยกระบวนการนี้จะทำให้เกิดการลดขนาดของตะกอนลง จนกระทั่งไม่สามารถตรวจจับได้โดยการใช้กรองกระดาษกรอง AgNO_3 ความเข้มข้น 0.1 N ถ้าพบว่ามีคลอไรด์ (Cl^-) เหลืออยู่ สามารถตรวจสอบได้ด้วย AgNO_3 ความเข้มข้น 0.1 N ถ้าพบว่ามีคลอไรด์ (Cl^-) เหลืออยู่ สารละลายจะเกิดตะกอนสีขาวขุ่น จึงนำตะกอนที่กรองได้นี้ไปอบในตู้อบสูญญากาศที่ 60°C ประมาณ 48 ชั่วโมง นำตะกอนแห้งที่ได้ (OMMT) ไปบดให้ละเอียดด้วยหม้อบดสาร (ball mill) ดังรูปที่ 3.7 และคัดขนาดตะกอนด้วยอุปกรณ์คัดขนาดตะกอน (test sieve) จากบริษัท Retsch ดังรูปที่ 3.8 ให้ได้ขนาดอยู่ในช่วง 74 ถึง $105\text{ }\mu\text{m}$ ในโตรเมต



รูปที่ 3.6 หม้อบดสาร (Ball mill)



รูปที่ 3.7 เครื่องคัดแยกขนาด (Sieve shaker)

3.4.4 การเตรียมออร์แกโนมอนต์มอริลโลไนต์ที่ปรับปรุงผิวด้วย HTMS (O-g-MMT)

การเตรียมออร์แกโนมอนต์มอริลโลไนต์ที่ปรับปรุงผิวด้วย HTMS (O-g-MMT) สามารถทำได้โดยการนำออร์แกโนมอนต์มอริลโลไนต์ที่ได้จากขั้นตอนที่ 3.4.3 มาปรับปรุงผิวต่อโดยขั้นตอนนี้จะเริ่มจากการนำ OMMT ที่ได้จากการเตรียมในขั้นตอนปัจจุบัน 10 กรัม ผสมลงในสารละลายนอก (โดยมีอัตราส่วนระหว่างเอทานอลต่อน้ำเป็น 75:25) ปริมาตร 1000 มิลลิลิตร ใส่ลงในเครื่องแก้วสำหรับทำปฏิกิริยา (reactor) ขนาด 1000 ml จากนั้นให้ความร้อนในอ่างน้ำมันที่มีการควบคุมอุณหภูมิให้คงที่อยู่ที่ 80 องศาเซลเซียส พร้อมทั้งกวนให้เข้ากันด้วยใบพัดกวน ให้สารละลายนี้เป็นของผสม C เมื่อของผสม C มีความเข้ากันจึงค่อยๆหยดเขกซิลิเมทอกซิไซเลน (Hexadecyltrimethoxysilane, HTMS) 3 กรัม ลงในของผสม C จากนั้นปล่อยให้สารละลายทึ่งสองทำปฏิกิริยาันเป็นเวลา 8 ชั่วโมง แล้วจึงนำสารที่ได้มากรองด้วยเครื่องกรองสูญญากาศ และอบในตู้อบสูญญากาศที่อุณหภูมิ 60 องศาเซลเซียส เป็นเวลา 48 ชั่วโมง นำตะกอนแห้งที่ได้ (O-g-MMT) ไปบดให้ละเอียดด้วยหม้อบดสาร (ball mill) และคัดขนาดตะกอนด้วยอุปกรณ์คัดขนาดตะกอน (test sieve) จากบริษัท Retsch ให้ได้ขนาดอยู่ในช่วง 74 ถึง 105 ไมโครเมตร

3.4.5 การตรวจสอบระยะห่างระหว่างชั้นซิลิเกตของ MMT และ OMMT

การวิเคราะห์ระยะห่างระหว่างของชั้น Silicate ของ MMT และ OMMT เพื่อศึกษาความสามารถในการเปิดชั้น MMT ด้วย CTAB สามารถวิเคราะห์ได้จากเทคนิค X-ray diffraction (XRD) ด้วยเครื่อง X-ray diffraction 2 kW จากบริษัท JEOL รุ่น JDX-3530 โดยในงานวิจัยนี้จะใช้ตัวอย่างในการวิเคราะห์จะมีลักษณะเป็นผง และใช้รังสีเอ็กซ์จาก CuK α ($\lambda = 0.154$ nm) อัตราการ

ตรวจสอบที่ 0.02 องศาต่อวินาที ในช่วง 3-10 องศา ในการคำนวณระยะห่างของชั้นซิลิเกตของ MMT และ OMMT สามารถคำนวณได้จาก Bragg's Law ดังสมการที่ 3.1

$$n\lambda = 2d \sin \theta \quad \text{สมการที่ 3.1}$$

เมื่อ λ คือความยาวคลื่นของรังสี CuKa และ d คือค่าระยะห่างระหว่างชั้นซิลิเกต

3.4.6 การตรวจสอบผลของการปรับปรุงผิวถ้าลอยและมอนต์มอริลโอลайн์

การตรวจสอบผลของการปรับปรุงผิวถ้าลอยและมอนต์มอริลโอลайн์สามารถตรวจสอบได้จากเทคนิค Fourier Transform Infrared Spectroscopy (FTIR) จากบริษัท Bruker Optic รุ่น Vertex70 คั่งรูปที่ 3.9 ช่วงของการวิเคราะห์คือ $4000-400 \text{ cm}^{-1}$ ความละเอียดในการเก็บข้อมูล (Resolution) 4 cm^{-1} จำนวนรอบของการสแกน 16 รอบ โดยตรวจสอบหมู่ฟังก์ชันที่เกิดขึ้นใหม่ของ การปรับปรุงผิวถ้าลอยและมอนต์มอริลโอลайн์



รูปที่ 3.8 เครื่อง Fourier Transform Infrared Spectrophotometer (FTIR)

3.4.7 การเตรียมยางผสม (compound rubber)

ทำการบดยางและผสมถ้าลอยหรือมอนต์มอริลโอลайн์โดยใช้เครื่องบดผสมลูกกลิ้งคู่ (Two roll mill) ตามส่วนประกอบของยางคอมพาวด์ แสดงดังตารางที่ 3.1 โดยเติมน้ำมอนต์มอริลโอลайн์ลงในยางคอมพาวด์ที่สัดส่วน 0, 1, 3, 5, 7 และ 10 phr สำหรับถ้าลอยเติมลงไปในสัดส่วน 0, 10, 20, 30 และ 40 phr โดยใช้เวลาในการผสมยางคอมพาวด์ทั้งหมด 30 นาที ที่อุณหภูมิการผสม 50 องศา เชลเซียส โดยเริ่มจากการบดยางก่อนเป็นเวลา 5 นาที จากนั้นผสมสารเคมีลงไปยกเว้นชั้นเฟอร์ แล้วเติมสารตัวเติมที่ละน้อย บดผสมต่อไปเป็นเวลา 25 นาที และอีก 5 นาทีสุดท้ายผสมชั้นเฟอร์ รวมเวลาในการผสมทั้งหมดเป็น 30 นาที ซึ่งจะเป็นเวลาผสมในการผสมยางผสมสูตรยางต่อไปหลังจากนั้นเตรียมเข็มรูปแผ่นชิ้นงานทดสอบที่คั่งรูปโดยใช้เครื่องอัดเข็มรูปร้อน (compression molding) ที่อุณหภูมิการเข็มรูป 160°C แรงดันแม่พิมพ์ที่ 25,000 ปอนด์ต่อตารางนิวตัน คัวยวเวลาที่ได้จากการทดสอบหาเวลาคงรูปยางที่ $90 (\text{t}_{90})$ ด้วยเครื่อง Moving Die Rheometer (MDR) จากบริษัท

Gotech รุ่น GT-M2000 จะได้ยางเป็นแผ่นสีเหลืองขนาด 250×250 มิลลิเมตร หนา 2 มิลลิเมตร จากนั้นนำยางไปตัดเป็นชิ้นงานเพื่อทดสอบสมบัติค้านต่างๆ ต่อไป

ตารางที่ 3.1 ส่วนประกอบของยางคอมพาวด์ [4]

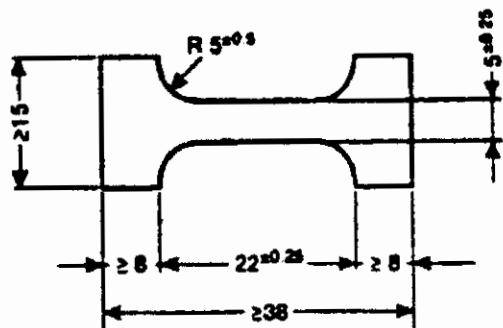
ส่วนประกอบ	ปริมาณ (phr)
ยางธรรมชาติ เกรด STR 20	100
สังกะสีออกไซด์ (ZnO)	5
กรดสเทียริก	2
ซัลเฟอร์	3
เมอร์แคปトイเดนโซ่ไฮดรอเจน (MBT)	0.5
ไดฟินิลกวนิดีน (DPG)	0.2
OMMT หรือ MMT	เปลี่ยนแปลง
เต้าลอย (FA)	เปลี่ยนแปลง
อุณหภูมิบ่มสุก	160 °C

3.4 การทดสอบสมบัติการคงรูปของยางคอมพาวด์

นำสารประกอบของยางที่ได้จากการผสมด้วยเครื่องบดผสมสองถุงกลึง ไปหาความลักษณะของ การคงรูปของยางคอมพาวด์ เครื่อง Moving Die Rheometer (MDR) ที่อุณหภูมิ 160°C เพื่อ ตรวจสอบค่าแรงบิดสูงสุด และต่ำสุด (torque maximum and torque minimum) เวลาในการเกิด ตกธาร (scorch time, t_{sc}) และเวลาในการคงรูป (cure time, t_{90})

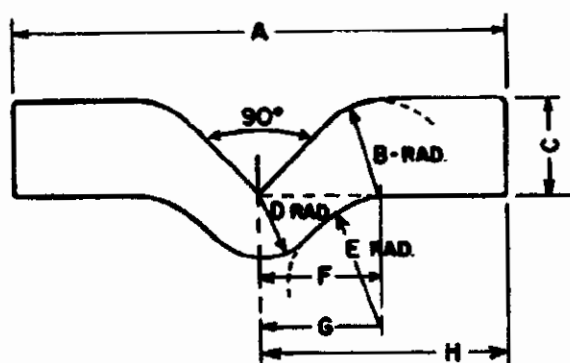
3.5 การทดสอบสมบัติเชิงกล

ทดสอบความด้านทานแรงดึง (Tensile strength) ด้วยเครื่อง Universal Testing Machine จากบริษัท LLOYD Instruments ประเภทอั้งกฤษรุ่น LR50K โดยชิ้นงานที่ใช้ในการทดสอบจะมี ลักษณะเป็นรูปดั้มเบลล์ หนา 2 มิลลิเมตร ความยาวของเกต (Gauge length) 22.25 มิลลิเมตร ขนาด ของ Load cell ที่ใช้คือ 1 กิโลนิวตัน ใช้ความเร็วในการดึงชิ้นทดสอบ 500 มิลลิเมตรต่อนาที



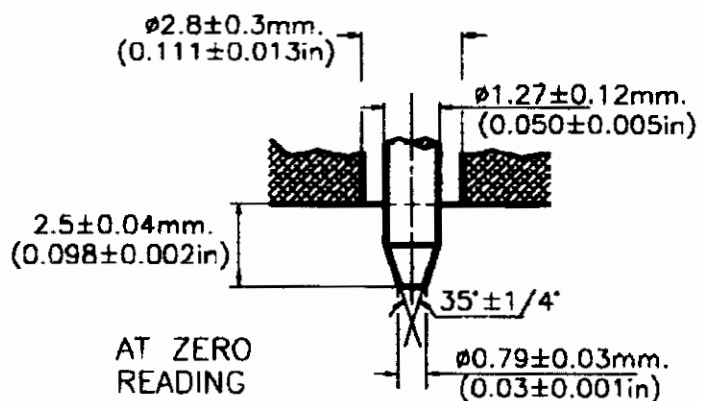
รูปที่ 3.9 ลักษณะชิ้นงานที่ใช้ในการทดสอบความต้านทานแรงดึง [34]

ทดสอบความต้านทานแรงฉีกขาด (Tear strength) ตามมาตรฐาน ASTM D0624-00 ด้วยเครื่อง Universal Testing Machine จากบริษัท LLOYD Instruments ประเทศอังกฤษ รุ่น LR50K โดยใช้ความเร็วในการคึ่งชั้นทดสอบ 500 มิลลิเมตรต่อนาที



รูปที่ 3.10 ลักษณะชิ้นงานที่ใช้ในการทดสอบความต้านทานแรงฉีกขาด [35]

ทดสอบค่าความแข็งที่ผิว (Hardness) ของแผ่นยางคงรูป ตามมาตรฐาน ASTM D2240-97 ด้วยเครื่อง Durometer hardness จากบริษัท Pacific Transducer Corporation รุ่น model 473



รูปที่ 3.11 หัวกด shore A ที่ใช้สำหรับการทดสอบยาง [36]

3.6 การทดสอบสมบัติเชิงความร้อน

การทดสอบสมบัติเชิงความร้อนและพฤติกรรมการสลายตัวของยางคอมพอยต์สามารถศึกษาได้จากเทคนิค Thermal Gravimetric Analysis (TGA) ในช่วงอุณหภูมิ 50 ถึง 600 °C อัตราเร็วการให้ความร้อน 10 องศาเซลเซียสต่อนาที ภายใต้บรรยากาศในโตรเจน ตัวแปรที่ใช้ในการศึกษานี้คือ ค่าอุณหภูมิที่ยางเริ่มต้นการสลายตัว (onset temperature) และค่าอุณหภูมิที่มีอัตราการสลายตัวเร็วที่สุด (maximum degradation temperature, T_d)

3.7 การตรวจสอบการแทรกของโมเลกุลยางในชั้นซิลิกเกต

การตรวจสอบการแทรกของโมเลกุลยางในชั้นซิลิกเกตสามารถตรวจสอบได้จากเทคนิค X-ray diffraction (XRD) 18 kW จากบริษัท Rigaku รุ่น TTRAXIII โดยในใช้ตัวอย่างในการวิเคราะห์เป็นแผ่นยางหนา 3 มิลลิเมตร ขนาด 2×2 เซนติเมตร และใช้รังสี CuK α ($\lambda = 0.154$ nm) radiation, อัตราการสแกนที่ 0.02 องศาต่อวินาที ในช่วง 1-10 องศา ในการคำนวณระยะห่างของชั้นซิลิกเกตจาก Bragg's Law ตามสมการที่ 3.1

3.8 การตรวจสอบโครงสร้างจุลภาคของยางคอมพอยต์

ตรวจสอบโครงสร้างจุลภาคของยางคอมพอยต์ด้วยเครื่องจุลทรรศน์อิเล็กตรอนแบบส่อง粒 (Scanning Electron Microscope, SEM) ของบริษัท Cam Scan รุ่น MX 2000 เพื่อลักษณะการกระจายตัวของสารเสริมแรง และการเชื่อมต่อกันระหว่างเพลสของยางกับเฟลสของสารเสริมแรง โดยทดสอบผิวน้ำแข็งงานที่ทำให้แตกหัก หลังจากการแช่ในในโตรเจนเหลว 30 นาที แล้วนำไปเคลือบเคลือบทองด้วยเครื่อง Sputter coater 108 เป็นเวลา 2 นาที จึงนำชิ้นงานที่ได้ไปเข้าเครื่องทดสอบ SEM ภายใต้สูญญากาศ ใน Chamber 0.001-0.0001 มิลลิบาร์ แล้วใช้สัญญาณในการจับภาพแบบ Secondary Electron Image (SEI) และ Black Electron Image (BEI)

3.9 การทดสอบการบวมตัว (Swelling ratio)

เป็นการทดสอบเพื่อเปรียบเทียบปริมาณการซึมน้ำของพื้นที่ที่เกิดขึ้น โดยการนำยางคอมพอยต์มาตัดให้เป็นรูปวงกลม เส้นผ่านศูนย์กลางประมาณ 17 มิลลิเมตร นำมาซึมน้ำหนักก่อนเก็บการบวมตัว โดยในการวิจัยนี้จะทำการทดสอบอัตราส่วนละ 5 ตัวอย่าง นำชิ้นงานแต่ละชิ้นบรรจุในขวดสีชา แล้วเติม ไออกซินบอร์นิช 20 มิลลิลิตรลงไป ปิดฝาขวดแล้วเก็บไว้ให้แห้งจากแสงแดดเป็นเวลา 7 วัน เมื่อครบกำหนดแล้วจึงนำชิ้นงานตัวอย่างออกจากขวด ขับด้วยกระดาษแล้วนำมาซึมน้ำหนักอีกครั้ง และนำค่าที่ได้มาคำนวณหาค่าอัตราการบวมตัว (Q) ดังสมการที่ 3.2

$$Q = \frac{w_2}{w_1} \quad \text{สมการที่ 3.2}$$

เมื่อ Q คือค่าอัตราการบวมตัว โดย w_1 คือน้ำหนักยางเริ่มต้น และ w_2 คือน้ำหนักยางหลังการบวมตัว

บทที่ 4

ผลการทดลองและวิเคราะห์ผลการทดลอง

งานวิจัยนี้เป็นการศึกษาผลของสารตัวเตินสองชนิด คือถ่านหินและมอนต์morillonite ในตัวอย่างในการศึกษาจะแบ่งออกเป็น 3 ตอน ได้แก่ ตอนที่ 1 ศึกษาลักษณะทางกายภาพของถ่านหินและมอนต์morillonite ในตัวอย่างคือศึกษาของค่าประสิทธิภาพของสารตัวเติน ตอนที่ 2 ศึกษาผลของมอนต์morillonite ในตัวอย่างที่มีต่อสมบัติของยางคอมโพสิต โดยศึกษาผลของมอนต์morillonite ในตัวอย่างที่ไม่ได้ปรับปรุงพิว (MMT) ออร์แกโนมอนต์morillonite (OMMT) และการต่อ กับออร์แกโนมอนต์morillonite (O-g-MMT) ที่มีต่อสมบัติของยางคอมโพสิต ตอนสุดท้ายจะเป็น การศึกษาผลของการใช้สารตัวเตินแบบกู้ (hybrid filler) ระหว่าง OMMT และถ่านหินที่มีต่อสมบัติ ของยางคอมโพสิต

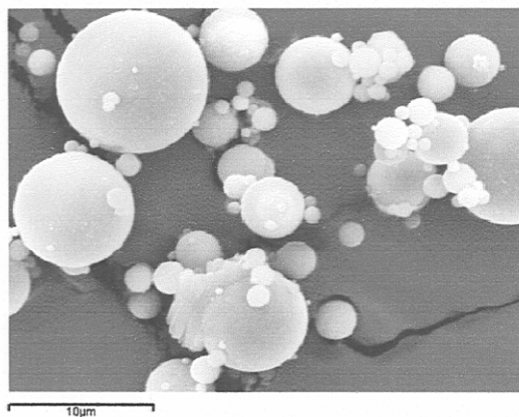
ตอนที่ 1 การศึกษาลักษณะทางกายภาพของถ่านหินและมอนต์morillonite

4.1 เถ้าถ่านหิน

การศึกษาของค่าประสิทธิภาพของสารตัวเตินจะทำให้สามารถคาดเดาผลของการเสริมแรง ได้ โดยงานวิจัยนี้ตรวจสอบส่วนประกอบทางเคมีของสารตัวเตินจะทำให้สามารถคาดเดาผลของการเสริมแรง ได้ โดยงานวิจัยนี้ตรวจสอบส่วนประกอบทางเคมีของถ่านหินด้วยเทคนิค Energy Dispersive X-ray Spectroscopy (EDS) พบว่าถ่านหินจากโรงไฟฟ้าแม่เมาะ จังหวัดลำปาง และมอนต์morillonite ในตัวอย่าง มีส่วนประกอบของซิลิกอน และกุ่มน้ำอะเหลี่ยน เป็นส่วนประกอบ ดังตารางที่ 4.1 ซึ่งพบว่าถ่านหินมี ตารางที่ 4.1 แสดงองค์ประกอบธาตุที่เป็นส่วนประกอบอยู่ในถ่านหิน

ธาตุ	ปริมาณ (เปอร์เซ็นต์โดยไมล)
	Fly Ash
อะลูมิเนียม	24.49
เหล็ก	6.12
แคลเซียม	13.83
แมกนีเซียม	3.68
ซิลิกอน	41.17
โพแทสเซียม	3.31
โซเดียม	3.65
ชัลฟอร์	3.75

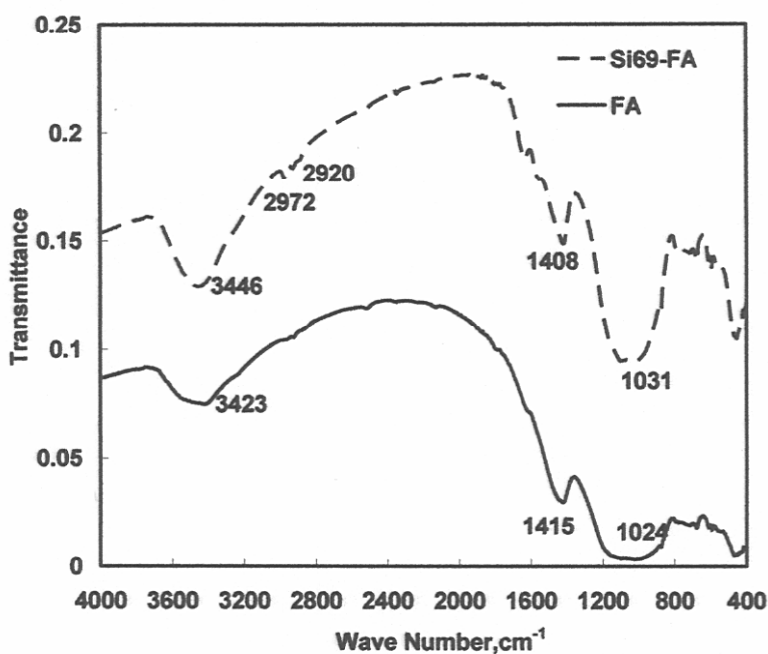
ส่วนประกอบของซิลิกอนอยู่เป็นส่วนใหญ่ในปริมาณมากถึง 41 เปอร์เซ็นต์โดยไม่ ส่วนประกอบที่สำคัญของถ้าโลยได้แก่ ซิลิกอน อัลูมิเนียม เหล็ก และ แคลเซียม และส่วนประกอบย่อยคือ แมกนีเซียม โซเดียม โพแทสเซียม ชัลเฟอร์ และ ฟอสฟอรัส ลักษณะรูปร่างของถ้าโลยสามารถศึกษาได้โดยใช้เทคนิค SEM จากรูปที่ 4.1 แสดงให้เห็นว่ารูปร่างของถ้าโลยมีลักษณะเป็นทรงกลม โดยมีขนาดแตกต่างกันไป ซึ่งโดยรวมมีขนาดน้อยกว่า 250 ไมโครเมตร



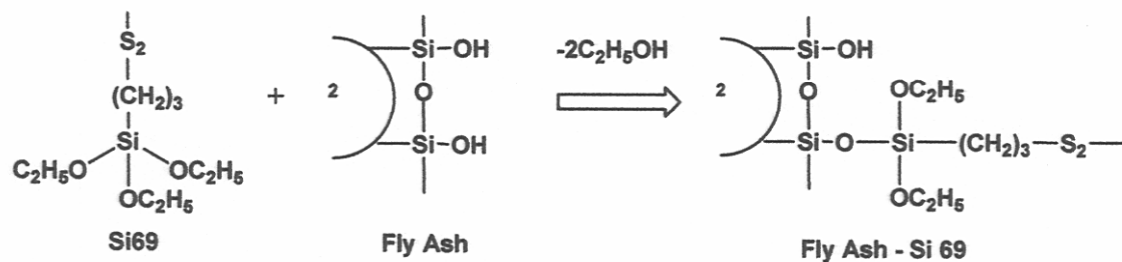
รูปที่ 4.1 ลักษณะของรูปร่างของถ้าโลยจากโรงไฟฟ้าแม่เมะ

งานวิจัยนี้มีวัตถุประสงค์หนึ่งที่จะนำถ้าโลยมาใช้เป็นสารตัวเติมท่อเหล็กซิลิกา เนื่องจากองค์ประกอบของถ้าโลยนี้มีซิลิกาอยู่ในปริมาณมาก แต่การนำถ้าโลยมาใช้เป็นสารตัวเติมสำหรับวัสดุพอลิเมอร์นี้มีการศึกษาวิจัยค่อนข้างน้อย เนื่องจากบริเวณพื้นผิวถ้าโลยมีหมู่ไฮคลินอล (Si-OH) อยู่เป็นจำนวนมาก ดังนั้นผิวของถ้าโลยจึงมีความเป็นขี้ว่าที่สูง เมื่อนำถ้าโลยไปผสมกับยางธรรมชาติทำให้เกิดแรงกระทำระหว่างยางธรรมชาติกับสารตัวเติมน้อย [39] ดังนั้นงานวิจัยนี้จึงใช้สารคุณภาพ Si69 ลดความเป็นขี้วับบริเวณผิวถ้าโลย เพื่อให้เกิดแรงกระทำระหว่างยางธรรมชาติกับสารตัวเติมที่มากขึ้น [5, 14] โดยโครงสร้างของ Si-69 จะประกอบด้วยส่วนส่วนหลักคือส่วนหนึ่งจะประกอบไปด้วยสารประกอบไฮโดรคาร์บอนและชัลเฟอร์ ซึ่งมีส่วนที่มีความเข้ากันได้กับวัสดุภาคของยางธรรมชาติอีกทั้งอาจมีส่วนร่วมในปฏิกิริยาการคงรูปของยางธรรมชาติอีกด้วย ส่วนหนึ่งของ Si-69 จะมีส่วนประกอบของ $\text{Si}-(\text{OC}_2\text{H}_5)_3$ สามารถทำปฏิกิริยากับหมู่ Si-OH ของถ้าโลยจากการปรับปรุงถ้าโลยด้วย Si-69 ได้มีการพิสูจน์เอกลักษณ์ผิวของถ้าโลยที่มีการปรับผิวแล้วด้วยเทคนิค FTIR ดังแสดงในรูปที่ 4.2 ซึ่งแสดงสเปกตรัมของถ้าโลย (FA) และถ้าโลยที่ถูกปรับปรุง (Si69-FA) จากการตรวจสอบพบว่าทั้ง FA และ Si69-FA แสดงแทนการคุณค่าที่ประมาณ 3440 cm^{-1} ซึ่งเป็นการสั่นแบบยืดของหมู่ไฮคลินอล (Si-OH) บนพื้นผิวของถ้าโลย แทนการคุณค่าที่ 1410 cm^{-1}

แสดงการสั่นแบบยีดของพันธะ SO_2 ซึ่งเป็นองค์ประกอบหนึ่งที่อยู่ในถ้าโลຍ ขณะที่ดำเนินการ คุณคลื่นที่ประมาณ 1030 cm^{-1} แสดงการสั่นแบบยีดของหมู่ไฮโลคเซน (Si-O-Si) [23] สำหรับดำเนินการคุณคลื่นที่ 2972 และ 2880 cm^{-1} เป็นการสั่นแบบยีดของ $-\text{C-CH}_3$ และ $-\text{CH}_2$ โดยดำเนินการคุณคลื่นที่เกิดขึ้นเหล่านี้เป็นการสั่นของ CH_2 ใน Si69 ที่อยู่บนพื้นผิวของถ้าโลຍ และพบว่าดำเนินการคุณคลื่นของหมู่ไฮโลคเซนลดลงอย่างมากเมื่อเวลาเดินทางไปที่เลขคณิตสูงขึ้น แสดงให้เห็นว่า ถ้าโลຍมีการเกิดปฏิกิริยา กับ Si-69 โดยหมู่แอลกอคอล (alkoxy) ของสารคุ้มควบคุมสามารถเกิดปฏิกิริยากับหมู่ไฮโลคเซนบนพื้นผิวถ้าโลຍ โดยแสดงผ่านปฏิกิริยาที่ 4.1



รูปที่ 4.2 กราฟ FTIR ของถ้าโลຍ (FA) และถ้าโลຍที่ถูกปรับปรุงผิวด้วย Si69 (Si69-FA)



ปฏิกิริยาที่ 4.1 ปฏิกิริยาขั้นในการปรับปรุงผิวของถ้าโลຍด้วย silane-69 [14]

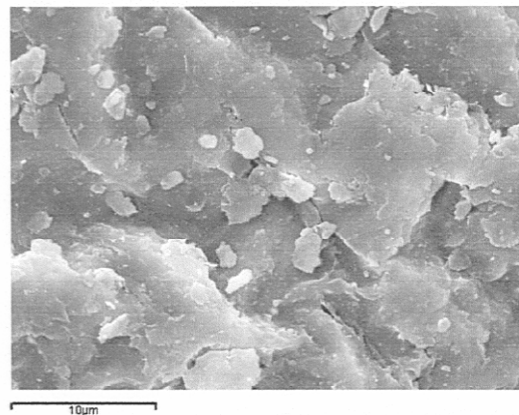
4.2 มองค์นอริลโลaine

ผลการศึกษาของค์ประกอบทางเคมีของอนต์นอริลโลaine ด้วยเทคนิค Energy Dispersive X-ray Spectroscopy (EDS) แสดงดังตารางที่ 4.2 พบว่า มองค์นอริลโลaine มีองค์ประกอบของธาตุ ชิลิกอนอยู่มากกว่า 60 % โดยโมล ส่วนประกอบที่สำคัญของอนต์นอริลโลaine ได้แก่ ชิลิกอน และอะลูมิเนียม และมีส่วนประกอบอย่างคือ โซเดียมแมกนิเซียม เหล็ก และแคลเซียม ดังนี้ถ้าลอง เมมเมะและมองค์นอริลโลaine นั่น่าที่จะนำมาใช้เป็นสารเสริมแรงทดแทนชิลิกาที่มีราคาที่ค่อนข้าง แพง ได้ แต่สารเสริมแรงทั้งสองนี้มีลักษณะของรูปร่างที่แตกต่างกัน ด้วยลักษณะที่แตกต่างกันนี้จะ ส่งผลทำให้ยางคอมพอสิตมีสมบัติที่ต่างกัน

ตารางที่ 4.2 แสดงองค์ประกอบธาตุที่เป็นส่วนประกอบอยู่ในมองค์นอริลโลaine

ธาตุ	ปริมาณ (เปอร์เซ็นต์โดยโมล)
	มองค์นอริลโลaine
อะลูมิเนียม	22.55
เหล็ก	1.37
แคลเซียม	0.84
แมกนิเซียม	4.63
ชิลิกอน	65.69
โพแทสเซียม	0.00
โซเดียม	4.92
ซัลเฟอร์	0.00

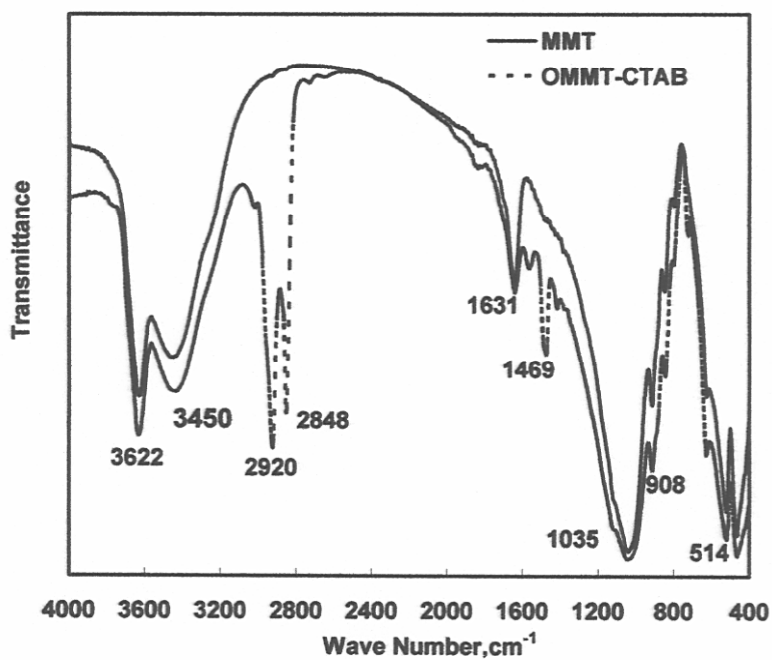
ลักษณะของอนต์นอริลโลaine สามารถศึกษาได้โดยใช้เทคนิค SEM ดังรูปที่ 4.3 แสดงให้เห็นว่ามองค์นอริลโลaine มีลักษณะเป็นแผ่น แสดงให้เห็นชั้นของชิลิกอนที่เกาะกลุ่มกันอยู่เป็นจำนวนมาก โดยขนาดของชั้นชิลิกอนนั้นมีขนาดที่เล็ก แต่มีรวมกลุ่มกันเป็นอนุภาคจะมีขนาดใหญ่กว่าถ้าลอง ซึ่งประดิษฐภาพของการเสริมแรงของสารตัวเติมเสริมแรงนั้นจะขึ้นอยู่กับ ปริมาณขนาดของอนุภาค และแรงกระทำระหว่างพอลิเมอร์กับสารตัวเติม [33] โดยอนุภาคของมองค์นอริลโลaine สามารถแตกออกเป็นชั้นของชิลิกอนได้ในระหว่างกระบวนการผสม ซึ่งจะทำให้มองค์นอริลโลaine สามารถทำหน้าที่เป็นสารเสริมแรงที่ดีได้



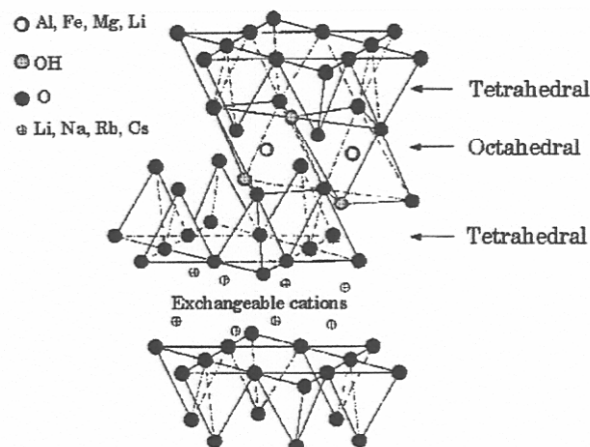
รูปที่ 4.3 ลักษณะของรูปร่างของอนต์มอริโลไลน์

จากการศึกษาองค์ประกอบทางเคมีของอนต์มอริโลไลน์ทำให้ทราบว่าอนต์มอริโลไลน์มีความเป็นขั้วสูง ขณะที่ยางธรรมชาติเป็นพอลิเมอร์ที่ไม่มีข้าว การปรับปรุงอนต์มอริโลไลน์ให้ความเข้ากันได้กับพอลิเมอร์ซึ่งมีความจำเป็นอย่างยิ่ง เนื่องจากลักษณะทางโครงสร้างของอนต์มอริโลไลน์ประกอบไปด้วยชั้นซิลิกेटซึ่งมีประจุเป็นลบจากหมุ่ของออกซิเจนที่บริเวณพื้นผิว ซึ่งชั้นซิลิกे�ตเหล่านี้สามารถรวมตัวอยู่กันด้วยการสมดุลประจุของโลหะประจุบวก เช่น Na^+ และ Mg^{2+} โลหะประจุบวกเหล่านี้จะแทรกอยู่ระหว่างชั้นของซิลิกे�ต เนื่องจากโลหะประจุบวกที่อยู่ระหว่างชั้นสามารถถูกแยกเปลี่ยนได้ด้วยออร์แกนิกไอออนบวก เพื่อลดความเป็นข้าวของอนต์มอริโลไลน์ [31] ดังนั้นงานวิจัยนี้จึงปรับปรุงอนต์มอริโลไลน์ด้วย เอกซ์เดคิล ไตรเมทธิล แอมโมเนียม บอร์ไนต์ (Hexadecyl Trimethylammonium Bromide, CTAB) ผ่านปฏิกิริยาการแยกเปลี่ยนไอออน ผลการปรับปรุงอนต์มอริโลไลน์ ($\text{Na}^+ \text{MMT}$) สามารถตรวจสอบได้จากเทคนิค FTIR และในรูปที่ 4.4 จากスペkturmของอนต์มอริโลไลน์และออร์แกโนนต์มอริโลไลน์ (Organic modified MMT, OMMT) พบว่า โครงสร้างของอนต์มอริโลไลน์จะมีการคุณซับ โนเลกูลของน้ำแทรกอยู่ภายใน เนื่องจากแผนการคุณกลีนที่เกิดขึ้นที่ความถี่ 1631 cm^{-1} และการสั่นแบบของ $\text{H}-\text{O}-\text{H}$ ของโนเลกูลน้ำ สำหรับแผนการคุณกลีนที่เกิดขึ้นที่ความถี่ 3622 cm^{-1} สัมพันธ์กับการสั่นแบบยีดของหมุ่ไครอคซิล ซึ่งแสดงหมุ่ $\text{O}-\text{H}$ ในโครงสร้างของอนต์มอริโลไลน์ โดยแผนค์นี้จะขึ้นกับชนิดของประจุบวกที่อยู่ภายในชั้นซิลิกे�ต หากผลการทดลองแสดงให้เห็นว่า CTAB ไม่ส่งผลต่อหมุ่ OH ในโครงสร้างของ $\text{Al}-\text{O}(\text{OH})$ ออกตะหឹគរอล สำหรับแผนค์ของการสั่นแบบยีดย่างไม่สามารถของพันธะไครอเจนของน้ำไม่พบในกรณี เนื่องจากแผนการคุณกลีนนี้เกิดการซ่อนทับกับแผนการคุณกลีนของการสั่นแบบยีดของหมุ่ OH ในโครงสร้างของ $\text{Al}-\text{O}(\text{OH})$ ออกตะหឹគរอล

ขณะที่แบบการคุณลักษณะที่ 3450 cm^{-1} สัมพันธ์กับการสั่นแบบยีดอ่ำงมีสมมาตรของพันธะไฮโคลเจนของน้ำ สำหรับแบบการคุณลักษณะที่ความถี่ 1035 cm^{-1} แสดงการสั่นของ Si-O ซึ่งอยู่ในโครงสร้างมองต์มอริลโลไนต์ในชั้นเตตระไฮดรอล และแบบการคุณลักษณะที่ 908 cm^{-1} เป็นการสั่นแบบของ Al-OH-Al ในโครงสร้างของมองต์มอริลโลไนต์ในชั้นออกตะไฮดรอล [38] ซึ่งแสดงคังโครงสร้างของ MMT ในรูปที่ 4.5 สำหรับสเปกตรัมของอะโนมอนต์มอริลโลไนต์ แสดงแบบการคุณลักษณะที่เกิดขึ้นใหม่คือที่ 2920 และ 2848 cm^{-1} เป็นการสั่นแบบยีดอ่ำงไม่สมมาตรและสมมาตรของ $-\text{CH}_2$ และแบบการคุณลักษณะที่ 1469 cm^{-1} เป็นการสั่นแบบของ $-\text{CH}_2$ และให้เห็นว่ามี เชกอะเดคิลไตรเมทธิล ออมโนเนียม โนร์ไมค์ อยู่ในโครงสร้างของมองต์มอริลโลไนต์ [38]

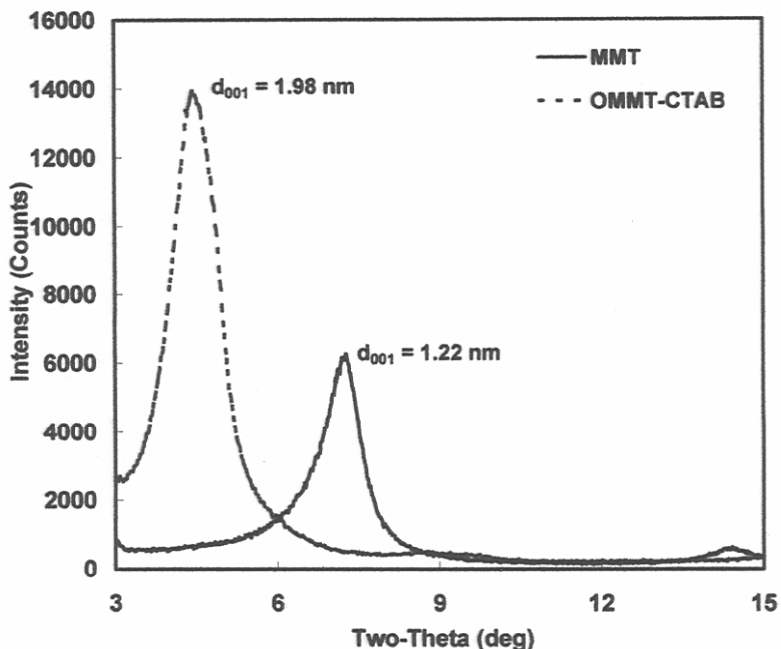


รูปที่ 4.4 กราฟ FTIR ของ MMT และ OMMT

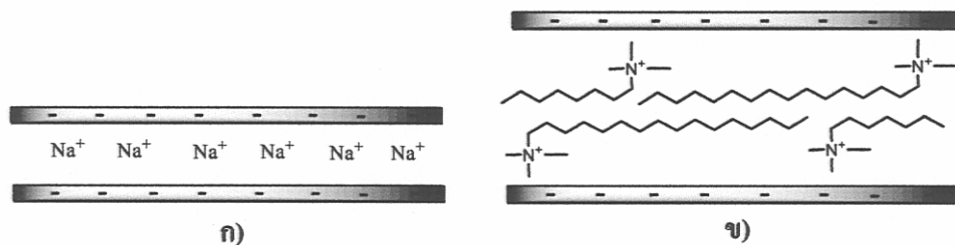


รูปที่ 4.5 ลักษณะโครงสร้างของมอนต์มอริลโลไนต์ [17]

จากลักษณะทางโครงสร้างของมอนต์มอริลโลไนต์ ดังรูปที่ 4.5 ทำให้โลหะประจุบวกที่อยู่ระหว่างชั้นซิลิเกตสามารถแลกเปลี่ยนกับออร์แกนิกไอออนบวกได้ ด้วยขนาดโครงสร้างของโลหะประจุบวกและออร์แกนิกไอออนบวกที่แตกต่างกัน ทำให้เกิดการเปลี่ยนแปลงระยะห่างระหว่างชั้นของซิลิเกต (d_{001}) เพิ่มขึ้น โดยสามารถตรวจสอบระยะห่างระหว่างชั้นของซิลิเกตได้จากเทคนิค XRD โดยหากความสัมพันธ์จากสมการ Bragg's law: $d = \lambda / (2\sin\theta)$ ที่ดำเนินการบนแบบดังรูปที่ 4.6 แสดงกราฟความสัมพันธ์ระหว่างมุม 2θ และ Intensity ของ $\text{Na}^+ \text{MMT}$ และ OMMT ในช่วงมุม 2θ ระหว่าง 3 ถึง 10° จากผลการตรวจสอบแสดงระยะห่างระหว่างชั้นของ $\text{Na}^+ \text{MMT}$ พบร่วมมีระยะห่างชั้นเป็น 1.22 นาโนเมตร ขณะที่ CTAB-OMMT มีระยะห่างระหว่างชั้นเพิ่มขึ้นเป็น 1.98 นาโนเมตร จากงานวิจัยของ Weihong Xuea และคณะ[38] พบร่วมมีลักษณะการแทรกของโมเลกุลสารปรับปรุงเป็นแบบ lateral-bilayer และให้เห็นว่ามอนต์มอริลโลไนต์สามารถรักษาฐานแบบโครงสร้างของการเป็นชั้นซิลิเกตได้ เมื่อถูกปรับปรุงด้วยเอลคิล แอมโมเนียม แคทไอออน และเกิดการแลกเปลี่ยนไอออนระหว่าง Na^+ กับ เอลคิล แอมโมเนียม แคทไอออน จึงทำให้ระยะห่างระหว่างชั้นซิลิเกตเพิ่มขึ้น ดังรูปที่ 4.7 แสดงแบบจำลองลักษณะการแทรกของโมเลกุลเอลคิล แอมโมเนียม แคทไอออน ในชั้นซิลิเกต



รูปที่ 4.6 กราฟ XRD ของ MMT และ OMMT



รูปที่ 4.7 แบบจำลองการแทรกของโนเมเลกุล CTAB ในชั้นซิลิเกต
ก) Na^+MMT ข) CTAB-OMMT

ตอนที่ 2 การศึกษาการใช้มอนต์คารอลไลน์ต์เป็นสารเสริมแรงในยางธรรมชาติ

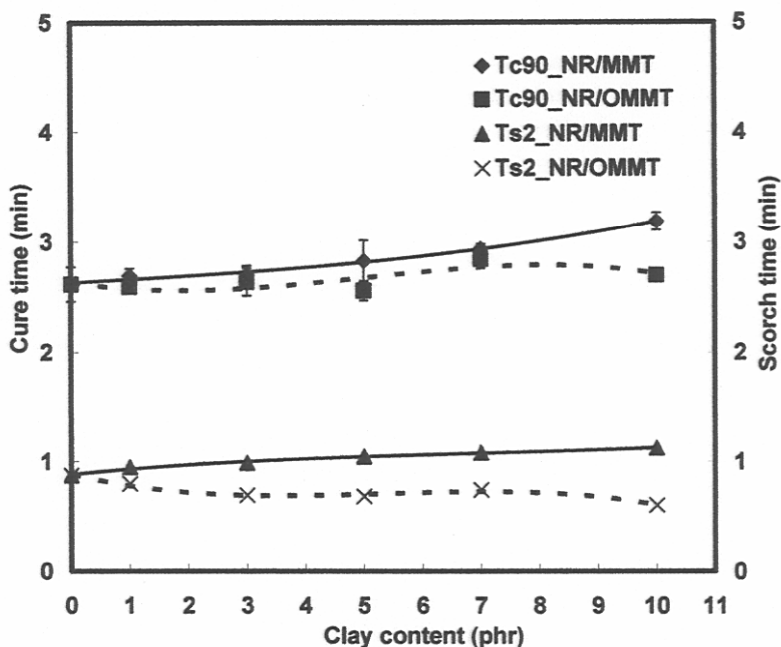
ตอนที่ 2.1 การศึกษาผลของการปรับปรุงผิวมอนต์คารอลไลน์ต์

4.3 สมบัติการบ่มของยางคอมพาวด์ระหว่างยางธรรมชาติและมอนต์คารอลไลน์ต์

ในงานวิจัยนี้ได้นำสารตัวเติมมอนต์คารอลไลน์ต์ทั้งที่มีการปรับปรุงผิวและไม่ปรับปรุงผิวมาใช้ในการทดสอบกับยางธรรมชาติ เพื่อศึกษาเปรียบเทียบสมบัติเชิงกลและเชิงความร้อนของยางคอมโพสิตทั้งสอง

โดยทั่วไปแล้วคุณสมบัติการบ่มของยางธรรมชาติจะเข้มข้นอยู่กับชนิดของตัวเร่งปฏิกิริยา ปริมาณตัวเร่งปฏิกิริยาและตัวกระตุ้นรวมไปถึงอุณหภูมิในการคงรูป สำหรับงานวิจัยนี้จะเป็นการศึกษาอิทธิพลของสารตัวเติมที่มีต่อคุณลักษณะการคงรูปของยางคอมพาวด์ โดยศึกษาด้วย

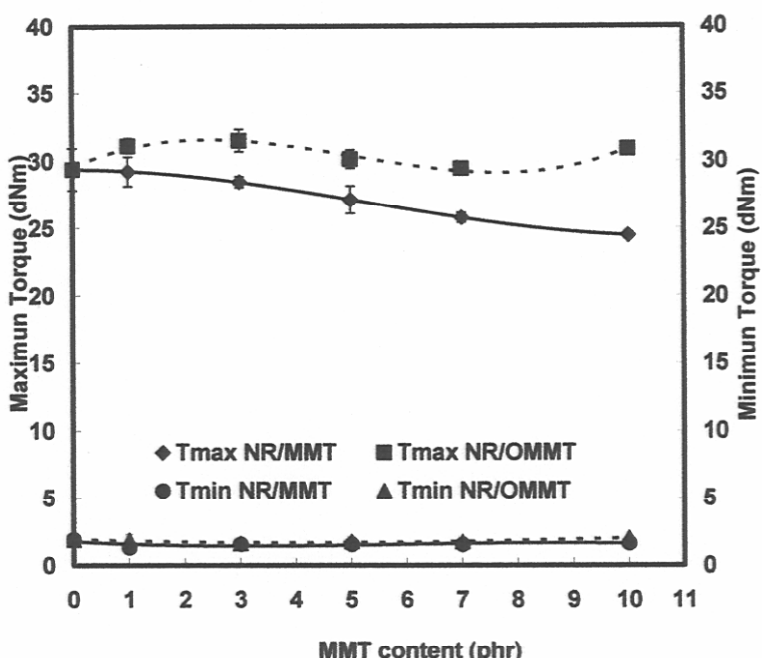
เทคนิค MDR ชี้ผลการทดลองแสดงคังรูปที่ 4.8 พบว่า ปริมาณ MMT และ OMMT ไม่มีผลต่อเวลาในการคงรูปและเวลาสกอร์ซของยางคอมพาวด์มากนัก จากผลการทดลองแสดงให้เห็นว่า ปริมาณของเคลย์ที่ปริมาณ 1 ถึง 10 phr ส่งผลต่อเวลาในการคงรูปและเวลาสกอร์ชน้อยมาก แต่ทั้งนี้พบว่าแนวโน้มของเวลาในการคงรูปและเวลาสกอร์ซจากผลของ OMMT มีค่าต่ำกว่าผลของ MMT เนื่องจากหน่วยแอน โนเนียมของสารที่ใช้ในการปรับปรุงอนต์มอริล โลในต์มีฤทธิ์เป็นเบส จึงทำหน้าที่เป็นตัวร่วงปฏิกิริยาการวัลคาเรียนของยางธรรมชาติ [40]



รูปที่ 4.8 ผลของ MMT และ OMMT ที่มีต่อเวลาในการคงรูปและเวลาสกอร์ซ
ของสารประกอบยางธรรมชาติและอนต์มอริล โลในต์

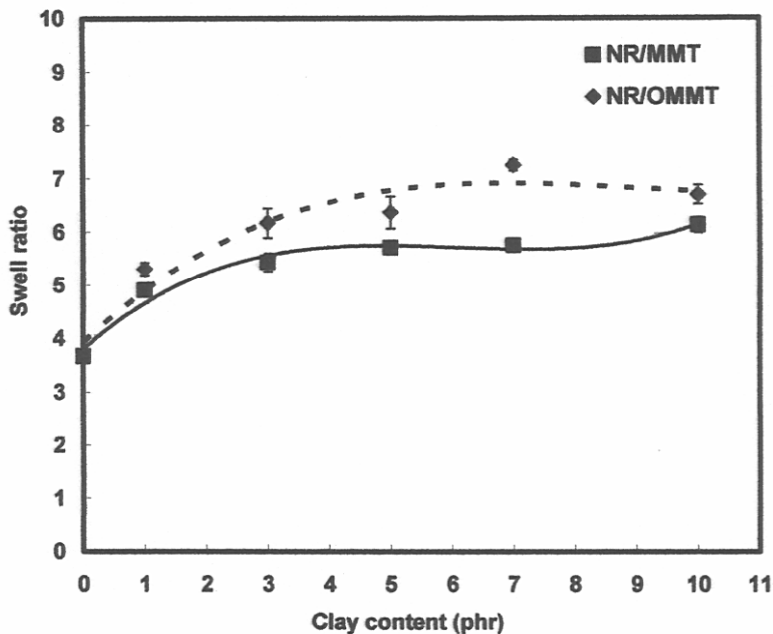
ค่าความแตกต่างของแรงบิด (ΔS) สามารถหาได้จากผลต่างระหว่างแรงบิดสูงสุดและต่ำสุด จากงานวิจัยของ Lopez-Manchado และคณะ [41] พบว่าแรงบิดที่เกิดขึ้นนั้นสัมพันธ์กับความหนาแน่นของพันธะเชื่อมของ ดังนั้นในรูปที่ 4.9 แสดงค่าแรงบิดของสารประกอบผสมระหว่างยางธรรมชาติและอนต์มอริล โลในต์ พบร่วมกับค่า ΔS มีแนวโน้มที่ลดลงเมื่อปริมาณของอนต์มอริล โลในต์เพิ่มมากขึ้น นั้นสามารถอธิบายได้ด้วยเหตุผลสองประการคือ ความหนาแน่นของพันธะเชื่อมของ ยางธรรมชาติและอนต์มอริล โลในต์ ทำงานวิจัยของ Pongdhorn Sae-ouia และคณะ [42] รายงานว่าค่าการบวนตัวของคอมโพสิตมีความสัมพันธ์แบบ非線性 กับความหนาแน่นพันธะเชื่อมของวัสดุคอมโพสิต โดยงานวิจัยนี้ศึกษาการบวนตัวของวัสดุผสมระหว่างยางธรรมชาติและอนต์มอริล โลในต์พบว่า เมื่อปริมาณอนต์มอริล โลในต์ทั้ง MMT และ OMMT เพิ่มขึ้น จะมีผลให้ค่าการบวนตัวของวัสดุคอมโพสิตทั้งสองเพิ่มสูงขึ้นด้วย

ดังรูปที่ 4.10 ซึ่ง แสดงให้เห็นว่าการเติมปริมาณอนต์มอริลโลในต์เพิ่มขึ้น ทำให้ปริมาณการเกิดพันธะเชื่อมขวางคลดลง ทั้งนี้การลดลงของความหนาแน่นพันธะเชื่อมขวางเกิดขึ้น เนื่องมาจากการรวมตัวกันของชั้นซิลิเกตของ MMT มีผลต่อการลดลงของค่า ΔS อย่างไรก็ตาม กรณีของ OMMT ที่ปริมาณ 1-3 phr พบร่วมค่า ΔS มีค่าเพิ่มมากขึ้น ทั้งนี้เนื่องมาจาก OMMT มีการปรับปรุงให้มีความเข้ากันได้กับยางธรรมชาติได้มากกว่า สังเกตได้จากรูป SEM ที่ 4.11 ส่งผลให้สารประกอบผสมที่มีการเติม OMMT มีค่าแรงบิดสูงสุดมากกว่าสารประกอบผสมที่มีการเติม MMT ด้วย

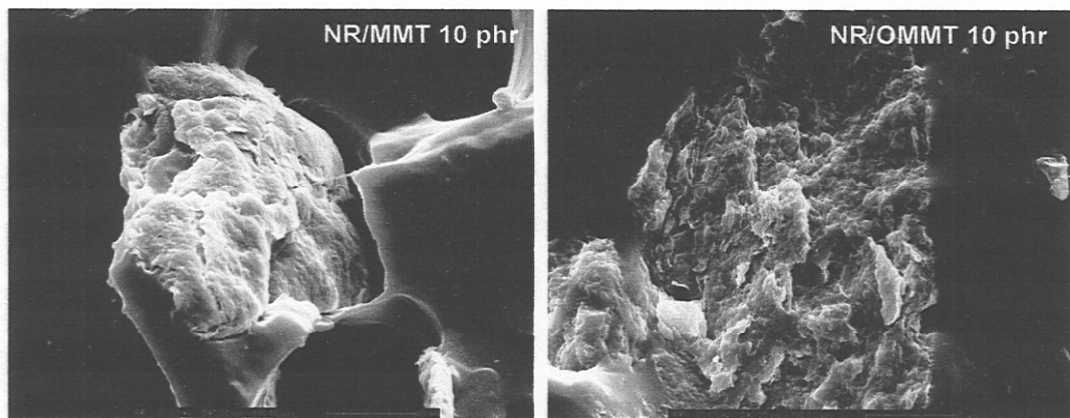


รูปที่ 4.9 ผลของ MMT และ OMMT ที่มีต่อค่าแรงบิดสูงสุดและค่าสุดของสารประกอบยางธรรมชาติและมอนต์มอริลโลในต์

ความเข้ากันได้ระหว่างสารตัวเติมและเมทริกซ์ของพอลิเมอร์ส่งผลอย่างมากต่อสมบัติค่างๆ ของวัสดุคอมโพสิต การศึกษาความเข้ากันได้ระหว่างเฟสของยางธรรมชาติและมอนต์มอริลโลในต์สามารถตรวจสอบได้โดยใช้เทคนิค SEM ดังรูปที่ 4.11 จากผลการทดลองพบว่าการปรับปรุงมอนต์มอริลโลในต์สามารถทำให้เกิดความเข้ากันได้ระหว่างเฟสทั้งสอง ซึ่งแสดงการเชื่อมติดที่ดีเนื่องจากการปรับปรุงมอนต์มอริลโลในต์ทำให้ความเป็นขี้วของเคลย์ลดลง [16] ส่งผลให้มีความเข้ากันเฟสของยางธรรมชาติได้มากขึ้น ขณะที่มอนต์มอริลโลในต์ที่ไม่ได้ทำการปรับปรุงจะเกิดช่องว่างขึ้นระหว่างเฟสของยางและมอนต์มอริลโลในต์ และจากรูปที่ 4.11 จะเห็นว่าชั้นซิลิเกตของมอนต์มอริลโลในต์จะเกิดการจับกลุ่มรวมกันเป็นก้อน (agglomerate) แสดงให้เห็นว่าลักษณะการกระจายตัวของชั้นซิลิเกตบางส่วนยังคงเป็น intercalate



รูปที่ 4.10 ผลของ MMT และ OMMT ที่มีต่อการบวมตัวของวัสดุสมรรถนะของยางธรรมชาติและมอนต์มอริลโลในตัว

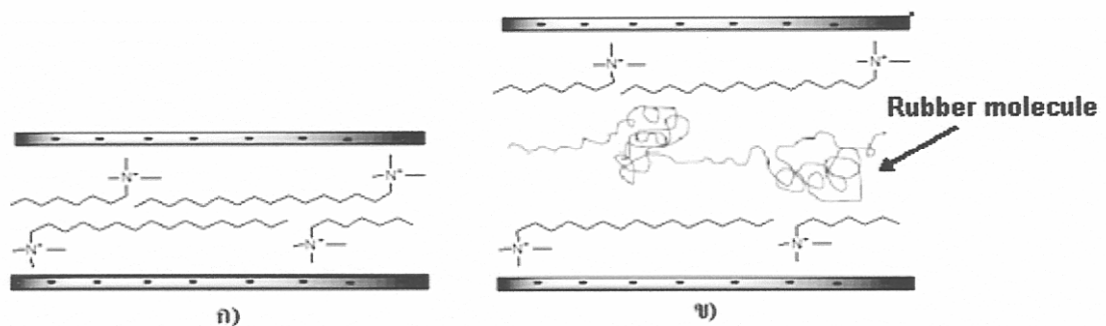


รูปที่ 4.11 ภาพ SEM ของยางคอมโพสิต (x500)

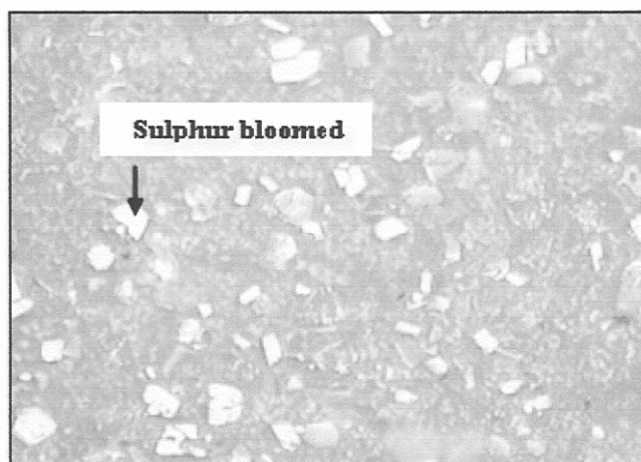
4.4 สมบัติทางกายภาพของวัสดุสมรรถนะของยางธรรมชาติและมอนต์มอริลโลในตัว

สมบัติทางกายภาพที่สำคัญประการหนึ่งคือ การบวมตัว (swelling) จากงานวิจัยของ Pongdhorn Sae-ouia และคณะ [42] ได้ศึกษาการบวมตัวของยางคอมโพสิตพบว่ามีความสัมพันธ์กับปริมาณการเกิดพันธะเชื่อมขวาง ดังได้กล่าวแล้ว โดยอัตราการบวมตัวจะมีค่าแปรผันกับปริมาณการเกิดพันธะเชื่อมขวาง จากรูปที่ 4.10 แสดงผลของมอนต์มอริลโลในตัวที่มีต่อการบวมตัวของยางคอมโพสิต จากการทดลองพบว่าการบวมตัวของยางคอมโพสิตมีค่าเพิ่มมากขึ้น เมื่อปริมาณ

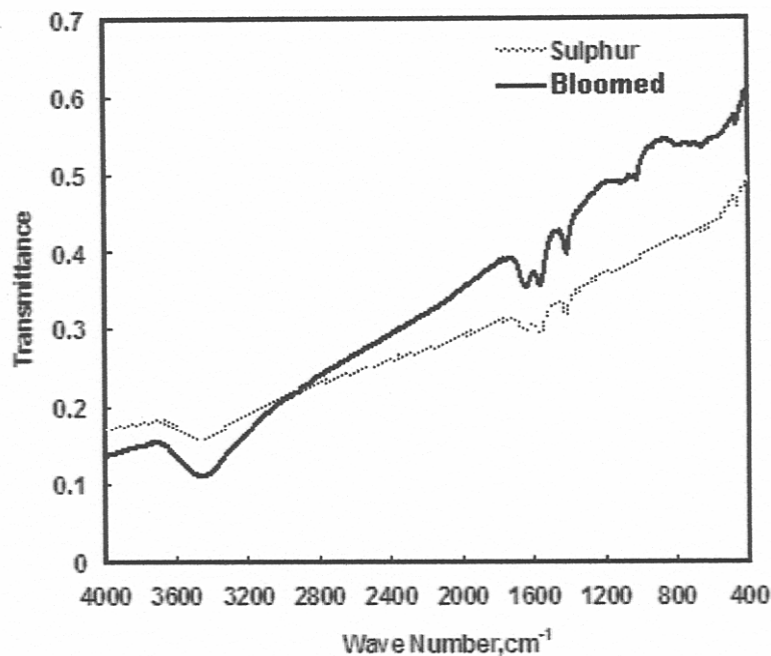
ของมอนต์มอริลโล่ในต์มากขึ้น แสดงให้เห็นว่าปริมาณการเกิดพันธะเชื่อมของยางลดลง ทั้งนี้ในงานวิจัยนี้ใช้ระบบที่ทำให้ยางคงรูปด้วยกำมะถัน และเป็นระบบธรรมชาติ (conventional system) ซึ่งใช้ปริมาณกำมะถันมากและใช้สารตัวเร่งน้อย เมื่อทำการทดสอบยางธรรมชาติกับมอนต์มอริลโล่ในระบบ ในระหว่างการทดสอบ ไม่เกิดยางธรรมชาติแทรกเข้าไปอยู่ระหว่างชั้นซิลิเกตของมอนต์มอริลโล่ ในเดิมแบบ intercalate ดังแสดงในแบบจำลองรูปที่ 4.12 ทำให้ไม่เกิดยางที่แทรกอยู่ระหว่างชั้นซิลิเกตถูกบดบัง ไม่สามารถเกิดปฏิกิริยาเชื่อมของยางด้วยกำมะถัน ได้ สำหรับอีกปัจจัยหนึ่งเนื่องจากสารเคมีที่ใช้ในกระบวนการการคงรูป เช่น ZnO กรดสเตียริก และตัวเร่ง สามารถถูกชั้นของซิลิเกตดูดซับไว้ เนื่องจากความมีเป็นข้อของสารทั้งสอง [43] ทำให้สารเคมีที่ใช้ในการเกิดปฏิกิริยาพันธะ เชื่อมของยางไม่เกิดปฏิกิริยา ซึ่งพบว่าจะเกิดการเคลื่อนที่ของสารเคมีกำมะถันออกมายูที่ผิว (blooming) ดังรูปที่ 4.13 จากการตรวจสอบสารเคมีที่พบร่วมด้วยเทคนิค FTIR ดังรูปที่ 4.14 พบว่าสารเคมีที่เกิดการเคลื่อนที่ออกมายูที่บริเวณผิวต้องกำมะถันจริง แสดงให้เห็นว่ามีสารเคมีบางส่วนไม่เกิดปฏิกิริยาเชื่อมของยางและแพร่ออกมายูที่บริเวณผิวน้ำของยางคอมโพสิต ดังนั้นการรวมตัวของชั้นซิลิเกตจะเป็นตัวขัดของการเกิดพันธะเชื่อมของยาง สำหรับกรณีที่ OMMT พบร่วมตัวการบวนตัวของยางคอมโพสิตจะมีค่าที่สูงกว่าเมื่อเปรียบเทียบกับผลของ MMT ที่ปริมาณมอนต์มอริลโล่ในต์ตั้งแต่ 3 ถึง 10 phr คาดว่าปริมาณพันธะเชื่อมของยางคอมโพสิตที่มีการเติม OMMT นั้นไม่ได้น้อยกว่าการเติม MMT แต่เนื่องมาจากการปรับปรุงมอนต์มอริลโล่ในต์ทำให้มีความเป็นสารที่ไม่ชอบน้ำ (hydrophobic) มากขึ้น ซึ่งเพิ่มความสามารถในการบวนตัวในสารละลายที่ไม่มีข้าว จากงานวิจัยของ Tushar Mandalia และ Faiza Bergaya [45] ได้ศึกษาการบวนตัวของมอนต์มอริลโล่ในต์พบว่า MMT เป็นสารชอบน้ำ (hydrophilic) ซึ่งการบวนตัวในน้ำที่เป็นไม่เกิดที่มีข้าว น้ำจะแทรกเข้าไปอยู่ในระหว่างชั้นซิลิเกตของ MMT ได้ดี ขณะที่สารละลายอินทรีย์จะไม่ทำให้ MMT บวนตัว แต่เมื่อ MMT ถูกปรับปรุงด้วยสาร surfactant เป็น OMMT จะทำให้พฤติกรรมการบวนตัวนั้นแตกต่างจากเดิม โดย OMMT จะสามารถบวนตัวได้ดีในสารละลายอินทรีย์ที่ไม่มีข้าว โดยระดับของการบวนตัวจะขึ้นกับปริมาณของ surfactant ที่ใช้ในการปรับปรุง MMT จากรูปที่ 4.15 แสดงการศึกษาการบวนตัวของมอนต์มอริลโล่ในต์ในโทลูอิน ทั้งที่มีการปรับปรุงผิวและไม่ปรับปรุงผิว จะเห็นได้ว่าการบวนตัวของ OMMT มีการบวนตัวในโทลูอินที่สูงกว่า MMT อย่างมาก ดังนั้นการบวนตัวของยางคอมโพสิตที่มีการเติม OMMT นั้น ส่วนหนึ่งได้รับอิทธิพลมาจากการบวนตัวของ OMMT



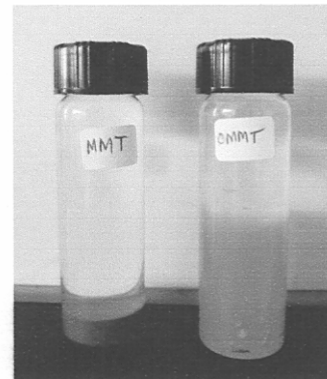
รูปที่ 4.12 แบบจำลองการแทรกในชั้นซิลิเกตของไมเมกุลยาง
ก) OMMT-CTAB ข) OMMT-CTAB ในเมทริกซ์ยางธรรมชาติ



รูปที่ 4.13 ภาพถ่ายจากกล้องจุลทรรศน์ (optical microscope) แสดงสารเคมีที่แพร่ออกมาน้ำที่ผิวน้ำของวัสดุสมรรถะห่วงยางธรรมชาติและมอนต์มอริลโลในต์



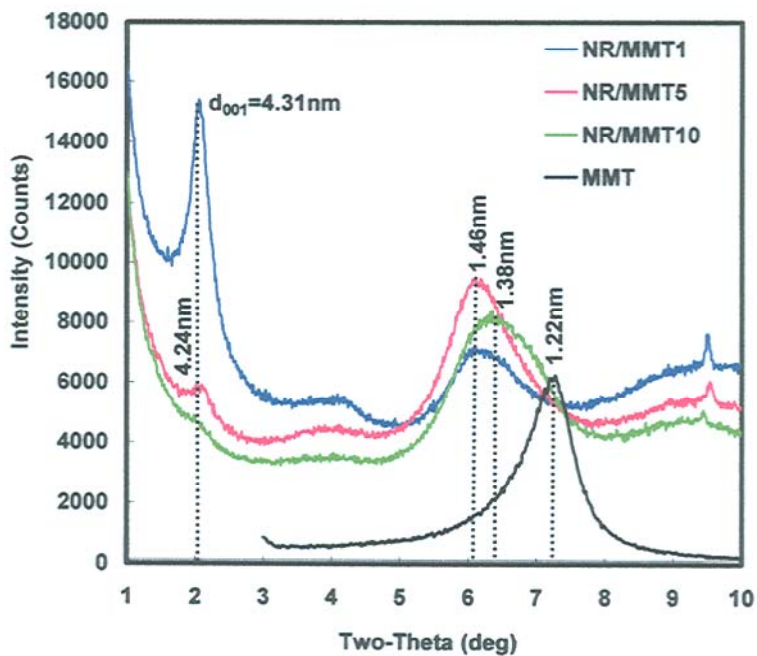
รูปที่ 4.14 กราฟ FTIR ของกำมะถัน และสารที่เคลื่อนที่ออกมาน้ำทึบบริเวณผิวยาง



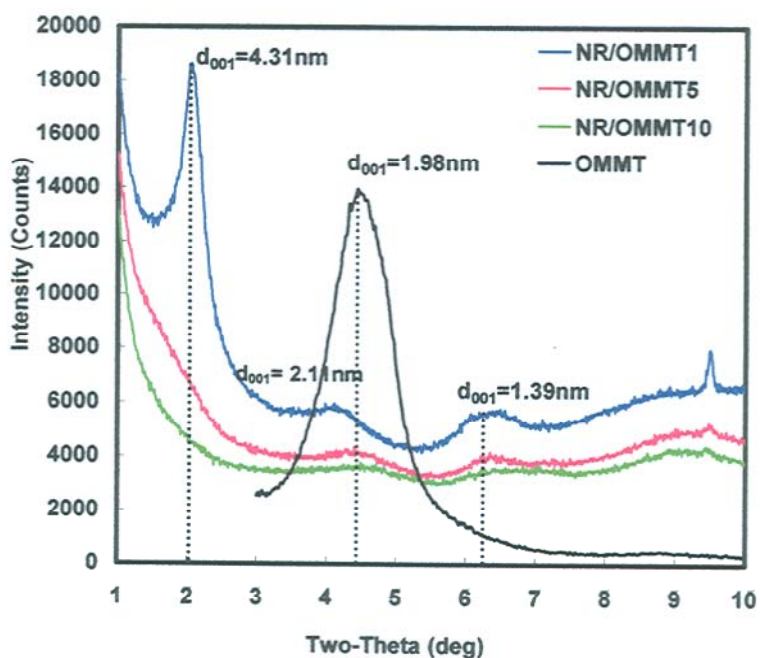
รูปที่ 4.15 ลักษณะการบวนตัวของ MMT และ OMMT ปริมาณ 1 กรัม ในโทลูอิน 15 มิลลิตร

ลักษณะทางกายภาพของวัสดุผสมระหว่างยางธรรมชาติและมอนต์morillonite สามารถศึกษาการกระจายตัวของมอนต์morillonite ได้จากเทคนิค XRD ดังแสดงในรูปที่ 4.16 และ 4.17 ผลการทดลองสามารถคำนวณหาระยะห่างระหว่างชั้นซิลิกेटในเมทริกซ์ของยาง ได้จากการ Bragg's law ดังแสดงในบทที่ 3 ซึ่งแสดงค่าระยะห่างระหว่างชั้นซิลิกेटในรูปดังกล่าว อีกนัยหนึ่งหมายถึงความสามารถของโนเลกุลยางที่แทรกเข้าไปในช่องว่างระหว่างชั้นซิลิกेट ได้ จากการทดสอบพบว่า การเติม MMT ที่ปริมาณ 1 phr ในเมทริกซ์ยาง แสดงให้เห็นแบบค์เกิดขึ้น 2 แบบค์ที่มุม 2θ คือมุม 2 และ 6° สัมพันธ์กับค่าระยะห่างระหว่างชั้นซิลิกेटที่ 4.31 และ 1.46 นาโนเมตรตามลำดับ แสดงให้เห็นว่าโนเลกุลของยางธรรมชาติบางส่วนสามารถแทรกเข้าไปในระหว่างชั้น

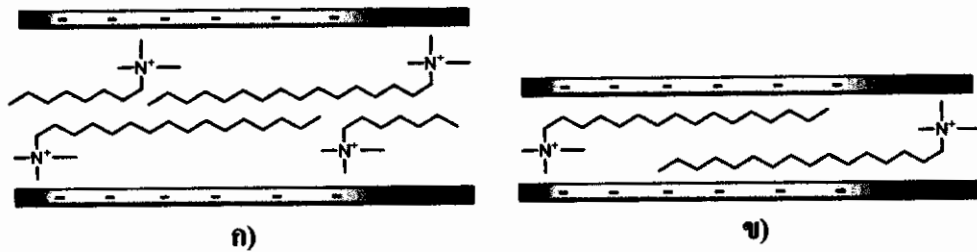
ชิลิก็อกไಡ้แบบ intercalate เนื่องจากแรงดึงในระหว่างการผสานทำให้ไม่เกิดของยางแทรกเข้าไปอยู่ระหว่างชั้นชิลิก็อกไಡ้ ขณะที่มอนต์มอริลโลในตัวบางส่วนเกิดการรวมตัวกันของชั้นชิลิก็อก ซึ่งโดยธรรมชาติชั้นชิลิก็อกของมอนต์มอริลโลในตัวที่ไม่ได้มีการปรับปรุงผิวจะมีความเป็นขี้ที่มาก [16] และหากถุนกันด้วยแรงระหว่างขี้ ดังนั้นจึงเป็นการยากที่ไม่เกิดของยางธรรมชาติที่มีไม่มีขี้จะแทรกตัวเข้าไปในระหว่างชั้นชิลิก็อก จากเหตุผลที่กล่าวมาทำให้เมื่อเพิ่มปริมาณของ MMT ในแมทริกซ์ของยางธรรมชาติมากขึ้น พบว่า ตำแหน่งของแบบค์ที่เกิดขึ้นจะเดือนมาที่มุน 20 มาตริกซ์ แสดงให้เห็นว่าความสามารถของไมเลกุลยางที่แทรกเข้าไประหว่างชั้นชิลิก็อกลดลง และเกิดการรวมตัวของชั้นชิลิก็อกที่มากขึ้น สำหรับกรณีของ OMMT พบว่าการเติม OMMT ในปริมาณ 1 phr แสดงให้เห็นแบบค์ที่เกิดขึ้นที่มุน 2, 4.1 และ 6.3° สัมพันธ์กับค่าระยะห่างระหว่างชั้นชิลิก็อกที่ 4.31, 2.11 และ 1.39 นาโนเมตร ตามลำดับ การประยุกษาของระยะห่างระหว่างชั้นชิลิก็อกที่ 4.31 และ 2.11 นาโนเมตร สามารถอธิบายได้ว่าไมเลกุลของยางธรรมชาติสามารถแทรกเข้าไปในชั้นชิลิก็อก ของ OMMT ได้มากกว่าเมื่อเทียบกับ MMT เมื่อจากชั้นชิลิก็อกปรับปรุงให้ความเป็นขี้ที่ผิวลดลงเพื่อให้ความเข้ากันได้กับเพลสของยาง ระยะห่างระหว่างชั้นชิลิก็อกของ OMMT จะมากกว่า กล่าวไว้ว่าแรงกระทำระหว่างชั้นชิลิก็อกจะลดลง ดังนั้นไมเลกุลของยางธรรมชาติจึงสามารถแทรกเข้าไปในชั้นของชิลิก็อกได้ง่ายกว่าการเติมของ MMT การรวมตัวกันของชั้นชิลิก็อกจึงลดลง จากงานวิจัยของ Konstantinos G และคณะ [43] พบว่า การใช้สารปรับปรุงมอนต์มอริลโลในตัวชนิด primary amine จะมีหมู่อะไคร์ซึ่งว่องไวต่อการเกิดปฏิกิริยา สามารถเกิดสารประกอบกับ ZnO ได้ช่วยให้เกิดพันธะเชื่อมข้างหนึ่งภายในชั้นชิลิก็อก ซึ่งทำให้ชั้นชิลิก็อกสามารถกระชายตัวได้อย่าง exfoliate ขณะที่การใช้สารปรับปรุงมอนต์มอริลโลในตัวแบบ quaternary amine เช่น CTAB จะไม่เกิดเหตุการณ์ลักษณะนี้ขึ้น มีผลทำให้ชั้นชิลิก็อกกระชายตัวแบบ exfoliated ได้มากกว่า สำหรับแบบค์ที่เกิดขึ้นที่มุน 6.3° สังเกตได้ว่าระยะห่างระหว่างชั้นชิลิก็อกจะมีค่าลดลงต่ำกว่า OMMT เมื่อจากแรงดึงในระหว่างกระบวนการผสานทำให้ไมเลกุลของ CTAB บางส่วนหลุดออกจากพื้นผิวของชิลิก็อก และเกิดการเปลี่ยนแปลงลักษณะรูปแบบของการแทรกของไมเลกุล CTAB จาก lateral bilayer เป็น lateral monolayer ดังแบบจำลองรูปที่ 4.18 เมื่อพิจารณาการเติมปริมาณ OMMT เพิ่มมากขึ้น พบว่า พื้นที่ที่เกิดขึ้นจะเดือนมาที่มุน 20 มาตริกซ์ นั่นคือความสามารถในการแทรกของไมเลกุลยางในชั้นชิลิก็อกจะลดลง และมีการรวมตัวของชั้นชิลิก็อกที่มากขึ้น เนื่องเดียวกับการเติมของ MMT



รูปที่ 4.16 ผล XRD ของวัสดุผสมระหว่างยางธรรมชาติและมอนต์มอริลโลในต์ที่มีการเติม MMT ในปริมาณต่างๆ



รูปที่ 4.17 ผล XRD ของวัสดุผสมระหว่างยางธรรมชาติและมอนต์มอริลโลในต์ที่มีการเติม OMMT ในปริมาณต่างๆ



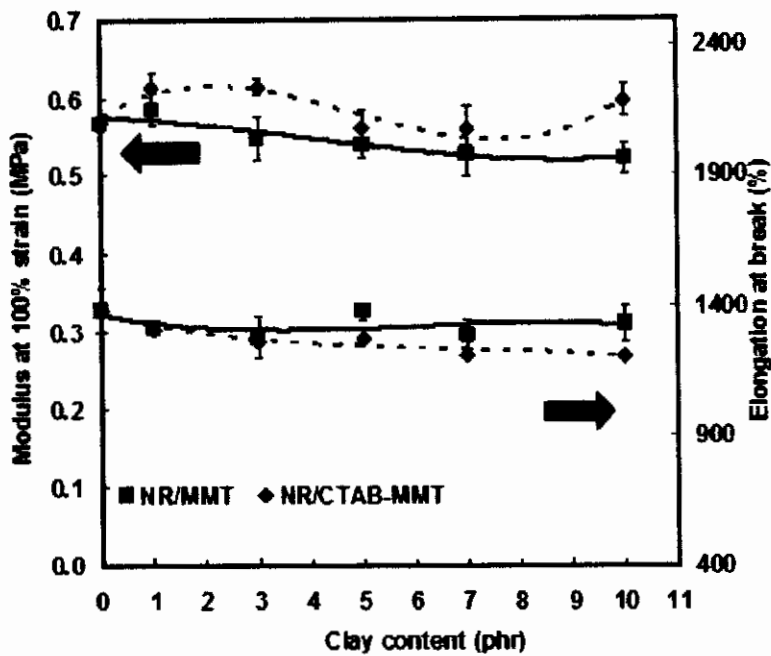
รูปที่ 4.18 แบบจำลองการแทรกของโนเลกุล CTAB ในชั้นซิลิเกต

(a) Lateral bilayer (b) Lateral monolayer

4.5 สมบัติเชิงกลของวัสดุสมาระห่วงยางธรรมชาติและมอนต์morิโลในต์

การศึกษาสมบัติเชิงกลของวัสดุสมาระห่วงยางธรรมชาติและมอนต์morิโลในต์ ในงานวิจัยนี้จะทดสอบจากสมบัติความด้านทานแรงดึงยืด สมบัติความด้านทานแรงฉีกขาด และความแข็งของยางคอมโพสิต

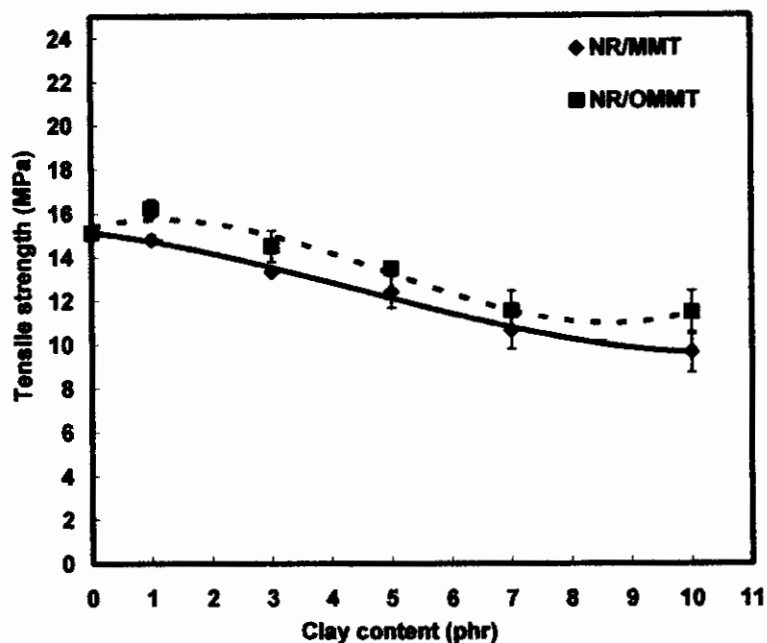
อิทธิพลของปริมาณ MMT และ OMMT ที่มีต่อค่าอุดลักษณ์ ค่าความด้านทานการดึงยืดและเปอร์เซ็นต์การดึงยืดที่จุดขาดของวัสดุสมาระห่วงยางธรรมชาติและมอนต์morิโลในต์ แสดงคังรูปที่ 4.19 และ 4.20 จากผลการทดสอบสมบัติความด้านทานแรงดึงยืด เมื่อพิจารณาผลของการเติม MMT ที่มีต่อมอคูลัสของวัสดุสม พบว่ามีค่าลดลงเล็กน้อย เนื่องจาก การเติม MMT ในปริมาณที่มากขึ้น ซึ่งมีผลทำให้เกิดการรวมตัวกันของชั้นซิลิเกต เนื่องจาก MMT เมื่อไม่ได้ถูกปรับปรุงผิวจะมีความเป็นขี้วสูง [16] ดังนั้nm เมื่อนำ MMT มาผสมกับยางธรรมชาติ ซึ่งไม่มีความเป็นขี้ ทำให้มีความเข้ากันได้ระหว่างเฟลทั้งสองน้อย ดังแสดงในผลการทดสอบด้วย SEM ในรูปที่ 4.11 ซึ่งจะเห็นได้ว่ามีช่องว่าง (void) เกิดขึ้นระหว่างวัสดุของ MMT และยางธรรมชาติ การไม่เข้ากันของสองวัสดุนี้ ทำให้โอกาสที่โนเลกุลของยางธรรมชาติจะแทรกเข้าไปอยู่ระหว่างชั้นซิลิเกตซึ่งก่อนข้างมาก อนุภาค MMT ส่วนใหญ่จึงชอบที่จะอยู่รวมกันมากกว่า เป็นผลทำให้ MMT ไม่แสดงสมบัติเป็นสารเสริมแรง จากรายงานวิจัยของ P. Bala และคณะ [31] พบว่า การเติม MMT ผสมลงในยางธรรมชาติเพียง 1 เปอร์เซ็นต์โดยน้ำหนัก ทำให้มอคูลัสของยางคอมโพสิตลดลง เช่นกัน ขณะที่ OMMT นั้นถูกปรับปรุงให้มีความเป็นขี้ลดลง ทำให้เฟลของยางธรรมชาตินมีความเข้ากันได้กับ OMMT มาก โนเลกุลของยางธรรมชาติจึงสามารถแทรกเข้าไปอยู่ระหว่างชั้นซิลิเกตได้มากกว่า เป็นผลให้ยางคอมโพสิตที่ถูกผสมด้วย OMMT มีมอคูลัสที่สูงกว่ายางคอมโพสิตที่ผสมด้วย MMT



รูปที่ 4.19 ผลของ MMT และ OMMT ที่มีต่อค่ามอดูลัสและเปอร์เซ็นต์การดึงซึ่ดที่จุดขาดของวัสดุสมรรถนะของยางธรรมชาติและมอนต์มอริลโลในต์

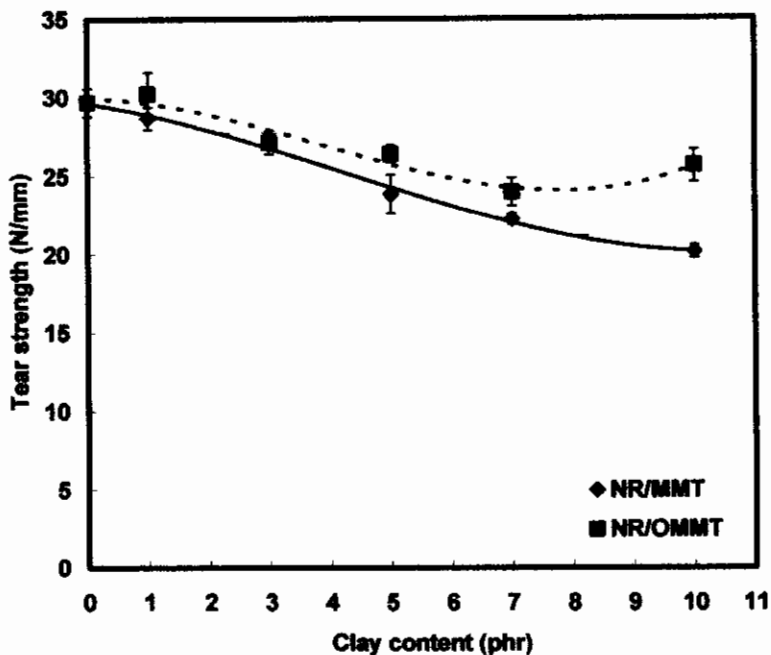
การศึกษาความด้านทานแรงดึงของวัสดุคอมโพสิตเป็นการทดสอบที่สำคัญอย่างมากสำหรับการศึกษาสารเสริมแรง เมื่อพิจารณาถึงความด้านทานแรงดึงซึ่ดของวัสดุสมรรถนะของยางธรรมชาติและมอนต์มอริลโลในต์ ระบบของการบ่ม สภาพการผสาน ชนิดของยาง วิธีการเตรียมมอนต์มอริลโลในต์ ชนิดของดับเบิลปรับปูรุ่งผิว [44] จากรูปที่ 4.20 แสดงอิทธิพลของปริมาณ MMT และ OMMT ที่ต่อความด้านทานแรงดึงของวัสดุสมรรถนะของยางธรรมชาติและมอนต์มอริลโลในต์ พบว่าเมื่อเติมปริมาณหัก MMT และ OMMT เพิ่มมากขึ้น จะทำให้ความด้านทานแรงดึงลดลง จากการวิจัยของ P. Bala และคณะ [31] พบในลักษณะเช่นเดียวกันนี้ โดยพบว่าการเติมปริมาณ MMT 1 เปลือร์เซ็นต์โดยน้ำหนัก ทำให้ความด้านทานแรงดึงของยางธรรมชาติลดลงจากเดิมที่ไม่ได้เติม MMT ประมาณ 30 เปลือร์เซ็นต์ ทั้งนี้เนื่องมาจากการสามารถในการกระจายตัวของชั้นซิลิเกตที่ต่ำ ซึ่งจาก การศึกษาด้วยเทคนิค XRD และ SEM จะเห็นได้ว่า ชั้นซิลิเกตของ MMT เกิดการรวมตัว (agglomerate) กันมาก เป็นผลให้ MMT ไม่สามารถแสวงสนับดีเป็นสารเสริมแรงได้ เช่นเดียวกัน กับการศึกษาของค่ายคอมพ็อสิตที่มีการเติม OMMT พบว่า ที่ปริมาณ OMMT ตั้งแต่ 3 phr ขึ้นไป พบว่า ความด้านทานแรงดึงซึ่ดลดลง เมื่อจากผลของการรวมตัวกันของชั้นซิลิเกต อย่างไรก็ตาม OMMT ยังทำให้ยางคอมพ็อสิตนั้นมีความด้านทานแรงกลที่ดีกว่าการเติม MMT เนื่องจาก OMMT นี้

ความเข้ากันได้กับยางธรรมชาติที่มากกว่า ไม่เลกุลของยางสามารถเข้าไปแทรกอยู่ระหว่างชั้นของชิลิเกตแบบ intercalate ได้มากกว่า OMMT จึงทำให้น้ำที่เป็นสารเสริมแรงได้ดีกว่า MMT



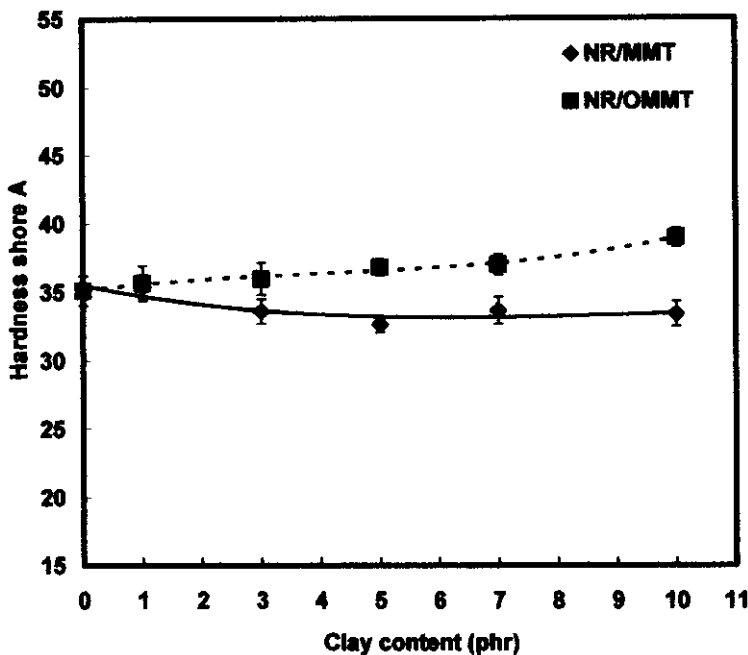
รูปที่ 4.20 ผลของ MMT และ OMMT ที่มีต่อค่าความต้านทานแรงดึงของวัสดุสมรรถนะของยางธรรมชาติและอนต์มอริลโลในต์

เมื่อพิจารณาผลของ MMT และ OMMT ที่มีต่อเปอร์เซ็นต์การดึงยืดที่จุดขาด (รูปที่ 4.19) พบว่า เปอร์เซ็นต์การดึงยืดที่จุดขาดมีค่าลดลงตามปริมาณการเติม MMT และ OMMT ที่เพิ่มมากขึ้น เนื่องจากไม่เลกุลของยางบางส่วนสามารถแทรกเข้าไประหว่างชั้นชิลิเกต ดังแสดงในการศึกษาด้วยเทคนิค XRD รูปที่ 4.16 และ 4.17 ชั้นชิลิเกตเหล่านี้จึงเป็นตัวขัดขวางให้การเดินผ่านกันของไม่เลกุลยางลดลง ทำให้ความยืดหยุ่นของยาง (elasticity) ลดลง เมื่อเปรียบเทียบเปอร์เซ็นต์การดึงยืดที่จุดขาดระหว่างการเติม MMT และ OMMT พบว่า การเติม OMMT ให้ผลเปอร์เซ็นต์การดึงยืดที่จุดขาดค่อนข้างมากกว่า เนื่องจาก OMMT มีแรงกระทำ (interfacial adhesion) ต่อยางธรรมชาติที่ดีกว่า ซึ่งมีผลต่อการเปลี่ยนแปลงของผลึกเมื่อยูกดึงยืด (strain-induce crystallization) ที่เพิ่มขึ้น [30] ทำให้ความสามารถในการเคลื่อนที่ของไม่เลกุลยางลดลง ดังนั้นเปอร์เซ็นต์ดึงยืดที่จุดขาดจึงลดลงมากกว่า



รูปที่ 4.21 ผลของ MMT และ OMMT ที่มีต่อค่าความด้านทานแรงฉีกขาด
ของวัสดุพสมะระหว่างยางธรรมชาติและน้ำมันต์อริลโอลайн์ต์

การศึกษาความด้านทานแรงฉีกขาด (tear strength) ของยางคอมโพสิต ซึ่งแสดงความด้านทานการแพร่ขยายของการฉีกขาด (crack propagation) ในยาง ความด้านทานแรงฉีกขาดของยางสามารถอธิบายได้จาก ความหนาแน่นของพันธะเชื่อมขวาง การกระจายตัวของชั้นซิลิเกต และความเข้ากัน ได้ระหว่างน้ำมันต์อริลโอลайн์ต์และยางธรรมชาติ [33] ผลการทดลองจากรูปที่ 4.21 แสดงให้เห็นผลของการเติม MMT และ OMMT ที่มีต่อค่าความด้านทานแรงฉีกขาด พนว่างการเติมน้ำมัน MMT และ OMMT มากขึ้น ทำให้ค่าความด้านทานแรงฉีกขาดลดลง เมื่อพิจารณาผลของการเติม MMT พนว่างความด้านทานการฉีกขาดของยางลดลง เนื่องจากการเพิ่มน้ำมัน MMT ทำให้ความหนาแน่นของพันธะเชื่อมขวางลดลง และชั้นซิลิเกตของ MMT เกิดการรวมตัวกัน (agglomerate) อีกทั้งความไม่เข้ากันระหว่าง MMT ที่มีความเป็นข้าว กับยางธรรมชาติซึ่งไม่มีข้าว ทำให้เกิดช่องว่าง (void) ระหว่างเฟสขึ้น ซึ่งเป็นจุดบกพร่องที่ทำให้เกิดการฉีกขาด (crack propagation) ต่อไปได้ง่าย สำหรับผลของการเติม OMMT พนเว้นเดียวกันว่า การเพิ่มน้ำมัน OMMT ทำให้ความด้านทานแรงฉีกขาดลดลง อย่างไรก็ตามเมื่อเปรียบเทียบผลกระทบของ OMMT และ MMT พนว่าง ความด้านทานแรงฉีกขาดของยางคอมโพสิตที่มีการเติม OMMT จะมีค่าสูงกว่าการเติม MMT เนื่องจากความเข้ากันได้ระหว่าง OMMT และยางธรรมชาติที่ดีกว่า



รูปที่ 4.22 ผลของ MMT และ OMMT ที่มีต่อค่าความแข็งที่ผิว
ของวัสดุพสมรรถนะของยางธรรมชาติและนองศ์มอริลโลในต์

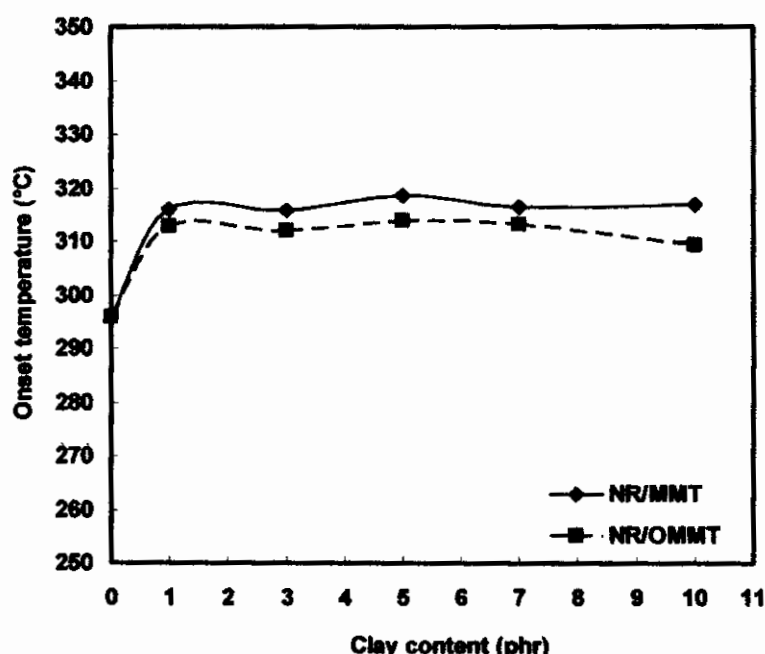
สำหรับการเติมสารตัวเดินໄ奥地อนินทรีย์ที่มีความแข็งสามารถเพิ่มความแข็งให้กับยางได้จากผลการศึกษาความแข็งที่ผิวของวัสดุพสมรรถนะของยางธรรมชาติและนองศ์มอริลโลในต์ ดังแสดงในรูปที่ 4.22 พนว่าการเติม OMMT ทำให้ค่าความแข็งที่ผิวของวัสดุพสมรรถนะเพิ่มขึ้นเด่นน้อยเนื่องจากการกระจายตัวของ OMMT ซึ่งคงเป็นแท่ intercalate อย่างไรก็ตามงานวิจัยของ Yiqing Wang และคณะ [46] พนว่าการเติม OMMT สามารถทำให้ยางคอมโพสิตมีความแข็งที่ผิวเพิ่มขึ้นสูงมาก เนื่องจาก การกระจายตัวอย่าง exfoliate ของชิลลิเกต

ในการฟื้นของวัสดุพสมรรถนะของยางธรรมชาติกับ MMT ไม่สามารถช่วยเพิ่มความแข็งที่ผิวได้เนื่องจากความเป็นขี้ของ MMT ทำให้ไฟฟ้าของยางธรรมชาติไม่เข้ากันกับไฟฟ้าของนองศ์มอริลโลในต์ แสดงให้เห็นอย่างชัดเจนจากเทคนิค SEM ดังรูปที่ 4.11 พนว่าเกิดช่องว่างระหว่างไฟฟ้าของนองศ์มอริลโลในต์กับเมทริกซ์ยาง แสดงความไม่เข้ากันระหว่างไฟฟ้าทั้งสอง ซึ่งพบเรื่องเดียวกับงานวิจัยของ M. Arroyo และคณะ [6] ได้ศึกษาผลของการเติม MMT ผสมกับยางธรรมชาติที่ปริมาณ 10 phr พนว่า ความแข็งที่ผิวของยางคอมโพสิตมีค่าลดลงอย่างมาก

4.6 สนับดึงความร้อนของวัสดุพสมรรถนะของยางธรรมชาติและนองศ์มอริลโลในต์

เต็ยภาพทางความร้อนของยางคอมโพสิตที่มี MMT และ OMMT เป็นสารเสริมแรงศักดิ์ได้จาก TGA โดยพิจารณาจากอุณหภูมิเริ่มต้นของการสลายตัว (T_{start}) ของวัสดุ

พสมะระหว่างยางธรรมชาติและนอนต์มอริลโลไนต์ ผลการทดลองแสดงคั่งรูปที่ 4.23 พบว่าเมื่อปริมาณของนอนต์มอริลโลไนต์เพิ่มมากขึ้น อุณหภูมิเริ่มต้นของการสลายตัวของยางคอมโพสิตจะมีค่าเพิ่มขึ้น เมื่อจะก่อนนอนต์มอริลโลไนต์มีเสถียรภาพทางความร้อนสูง โดยนอนต์มอริลโลไนต์จะทำหน้าที่ดูดซับความร้อนไว้และลดอัตราการแพร์ความร้อนไปสู่เมทริกซ์ของยาง ส่งผลต่อการเปลี่ยนแปลงของ characteristic ของไมเลกุลยาง ทำให้ยางสลายตัวที่อุณหภูมิสูงขึ้น [47] อย่างไรก็ตามผลของการปรับปรุงนอนต์มอริลโลไนต์ ทำให้มีเสถียรภาพทางความร้อนของยางคอมโพสิต มีค่า T_{onset} และ T_d ลดต่ำลง เมื่อจากเกลือยาดคลิล แอนโนเนียน ที่แทรกอยู่ในระหว่างชั้นของชิลิกเคนมีเสถียรภาพทางความร้อนที่ต่ำ [48] และเกิดการสลายตัวเมื่อได้รับความร้อน ส่งผลให้เสถียรภาพทางความร้อนของยางคอมโพสิตลดลง



รูปที่ 4.23 ผลของ MMT และ OMMT ที่มีต่ออุณหภูมิการสลายตัวเริ่มต้น (T_{onset}) ของวัสดุสมาระระหว่างยางธรรมชาติและนอนต์มอริลโลไนต์

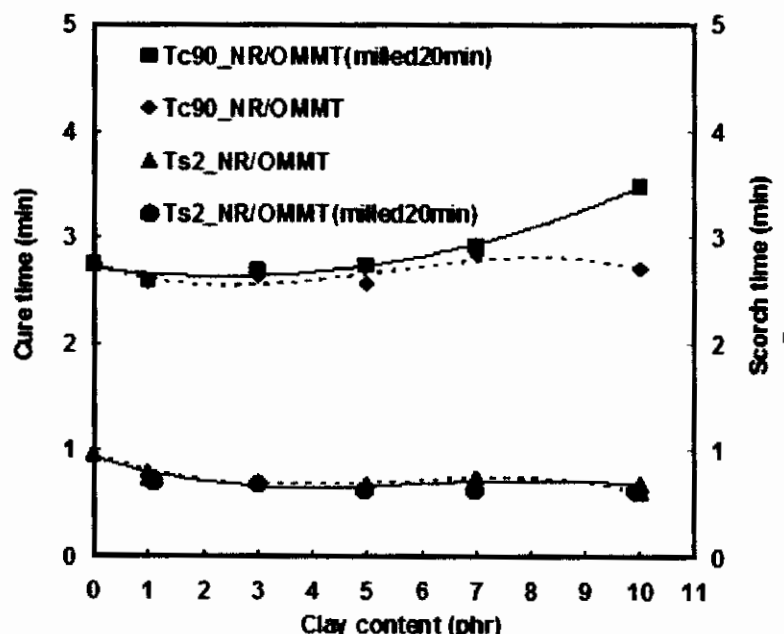
หัวข้อที่ 2.2 การศึกษาผลของการเพิ่มเวลาในการคอมพานะระหว่างยางธรรมชาติและ OMMT

4.7 สมบัติการบ่มของวัสดุสมาระระหว่างยางธรรมชาติและนอนต์มอริลโลไนต์ที่มีการเพิ่มเวลาในการคอมพานะระหว่างชั้นชิลิกเคน

จากการศึกษาสมบัติทางกายภาพและสมบัติเชิงกลของวัสดุสมาระระหว่างยางธรรมชาติและนอนต์มอริลโลไนต์ที่ผ่านมาพบว่าชั้นชิลิกเคนของนอนต์มอริลโลไนต์ยังมีการรวมกลุ่มกันและไม่เกิดการกระจายตัวแบบ exfoliate จึงส่งผลให้สมบัติเชิงกลของยางคอมโพสิตไม่เพิ่มสูงขึ้นดังเช่น

งานวิจัยอื่น ทั้งนี้ขึ้นอยู่กับหลักปัจจัยด้วยกัน ทั้งปริมาณการเติมน้ำดินอะโนต์ ระบบของการบ่ม สภาวะการผสม ชนิดของยาง วิธีการเตรียมน้ำดินอะโนต์ โคลาในต์ ชนิดของตัวปรับปรุงผิว โดยสิ่งที่จะสามารถเปลี่ยนแปลงได้ง่าย และไม่ซุ่งยากคือการเปลี่ยนสภาวะของการผสม และจากงานวิจัยของ Konstantinos G. Gatos และ Jo'zsef Karger-Kocsis [43] พบว่าระยะเวลาในการบดผสมนิผลต่อการกระจายตัวของชิลิกेटอย่าง exfoliate ในยาง ดังนั้นงานวิจัยนี้จึงทดลองนำยางธรรมชาตินำบดผสมกับ OMMT บน Two roll mill ก่อนเป็นเวลา 20 นาที หลังจากนั้นจึงนำยางคอมพาวด์ที่ได้ไปบดผสมกับสารเคมียาง โดยคาดหวังว่าชิลิกेटของ OMMT จะสามารถกระจายตัวในยางธรรมชาติได้ดีขึ้น

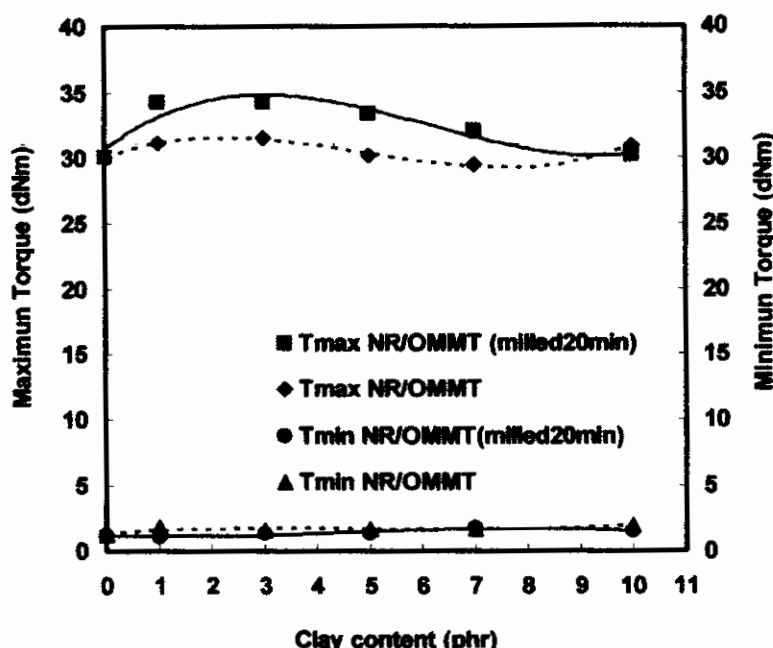
การศึกษาสนับดิการบ่มของยางคอมโพสิต ดังแสดงในรูปที่ 4.24 พบว่าเวลาสกอร์ชและเวลาในการคงรูปของสารประกอบยางผสมที่เติม OMMT โดยมีการบดผสมก่อนเป็นเวลา 20 นาที มีค่าไม่เปลี่ยนแปลงมากนัก อย่างไรก็ตามกรณีที่ OMMT 10 phr พบว่าเวลาในการคงรูปมีค่าเพิ่มนากขึ้น ทั้งนี้อาจเกิดจากการใช้เวลาในการบดผสมที่มากขึ้น ทำให้สารตัวเร่ง และกำมะถัน ถูกขันชิลิกेटของ OMMT ถูกขันมากขึ้น



รูปที่ 4.24 ผลของการเพิ่มเวลาในการบดผสม OMMT ที่มีต่อเวลาในการคงรูปและเวลาสกอร์ชของสารประกอบยางธรรมชาติและน้ำดินอะโนต์ โคลาในต์

เมื่อพิจารณาแรงบิดสูงสุดและค่าสูตรของสารประกอบยาง ดังรูปที่ 4.25 พบว่า การเพิ่มเวลาในการบดผสมยางกับ OMMT นี้ ทำให้สารประกอบยางมีแรงบิดสูงสุดเพิ่มขึ้น แสดงให้เห็นว่า การเพิ่มเวลาในการผสมอาจทำให้ OMMT เกิดการกระจายตัวในยางธรรมชาติได้ดีขึ้น จาก

การศึกษาของ M.A. Lo'pez-Manchado และคณะ [40] พบว่าค่าความแปรต่างระหว่างแรงบิดสูงสุด และแรงบิดต่ำสุด (ΔS) สัมพันธ์กับความหนาแน่นของพันธะเชื่อมขวาง จากการวิจัยนี้แสดงให้เห็นว่า เมื่อเพิ่มเวลาในการบดผสมระหว่างยางธรรมชาติและ OMMT นอกจากจะทำให้ OMMT กระจายตัวคึ้น ยังมีผลทำให้ความหนาแน่นของพันธะเชื่อมขวางเพิ่มมากขึ้นด้วย [6] แต่อย่างไรก็ตามพบว่าเมื่อปริมาณของ OMMT เพิ่มขึ้น จะทำให้ OMMT เกิดการรวมตัวกัน (agglomerate) และอาจเกิดจากจากที่ OMMT ลูคชั้นสารตัวเร่ง และกำมะถันมากขึ้น จนทำให้การเกิดปฏิกิริยาเชื่อมขวางลดลง แรงบิดสูงสุดของยางก้อนพาร์คซิงลดลง



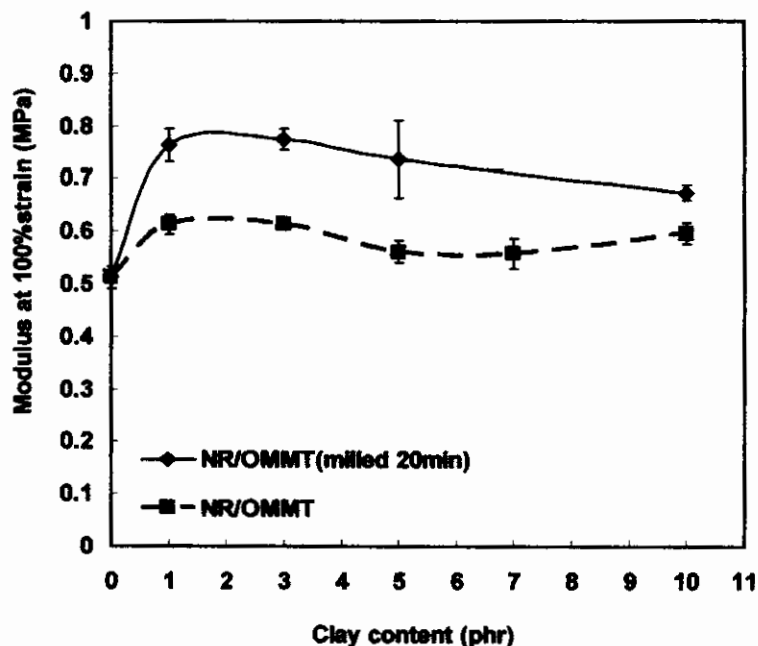
รูปที่ 4.25 ผลของการเพิ่มเวลาในการบดผสม OMMT ที่มีต่อค่าแรงบิดสูงสุดและต่ำสุดของสารประกอนยางธรรมชาติและมอนต์มอริลโลในตัว

4.8 สมบัติเชิงกลของวัสดุพัฒนาระหว่างยางธรรมชาติและออร์แกโนมอนต์มอริลโลในตัวเมื่อเพิ่มเวลาในการบดผสมยางธรรมชาติกับออร์แกโนมอนต์มอริลโลในตัว

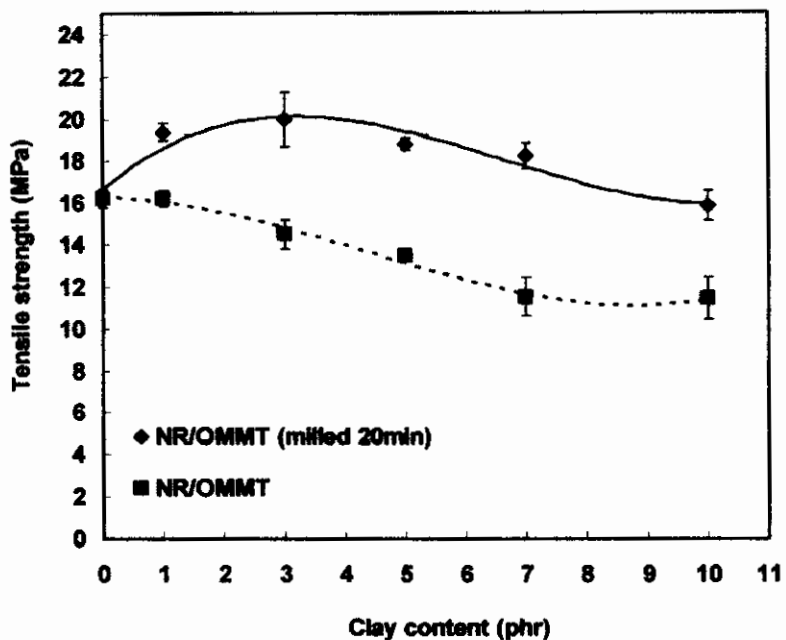
การศึกษาสมบัติเชิงกลของวัสดุพัฒนาระหว่างยางธรรมชาติและ OMMT ที่มีการบดผสมระหว่างยางธรรมชาติกับ OMMT ก่อนเป็นเวลา 20 นาที ผลของการเพิ่มเวลาในการบดผสมพบว่า นอคูลัสมีค่าเพิ่มขึ้นอย่างมาก เมื่อเทียบกับวัสดุพัฒนาระหว่างยางธรรมชาติและ OMMT ที่ไม่ได้บดผสมก่อนทำการผสมสารเคมียาง ดังแสดงในรูปที่ 4.26 เมื่อจากให้เวลาในการบดผสมระหว่าง OMMT และยางธรรมชาตินานขึ้น เป็นการเพิ่มเวลาในการให้รับแรงเฉือน ทำให้ OMMT กระจายตัวในยางธรรมชาติได้คึ้น จากการวิจัยของ Konstantinos G. Gatos และ Jo'zsef Karger-Kocsis [43] พบว่าการเพิ่มเวลาในการบดผสมระหว่าง OMMT กับยางธรรมชาติก่อนการเติมสารเคมี จะมี

ผลทำให้ไม่เกิดของขางแทรกตัวเข้าไปแทรกระหว่างชั้นซิลิเกตของ OMMT ได้มากขึ้น และลดปริมาณการรวมตัวกันของ OMMT ซึ่งจะส่งผลต่อการปรับปรุงสมบัติเชิงกลของวัสดุเป็นอย่างมาก

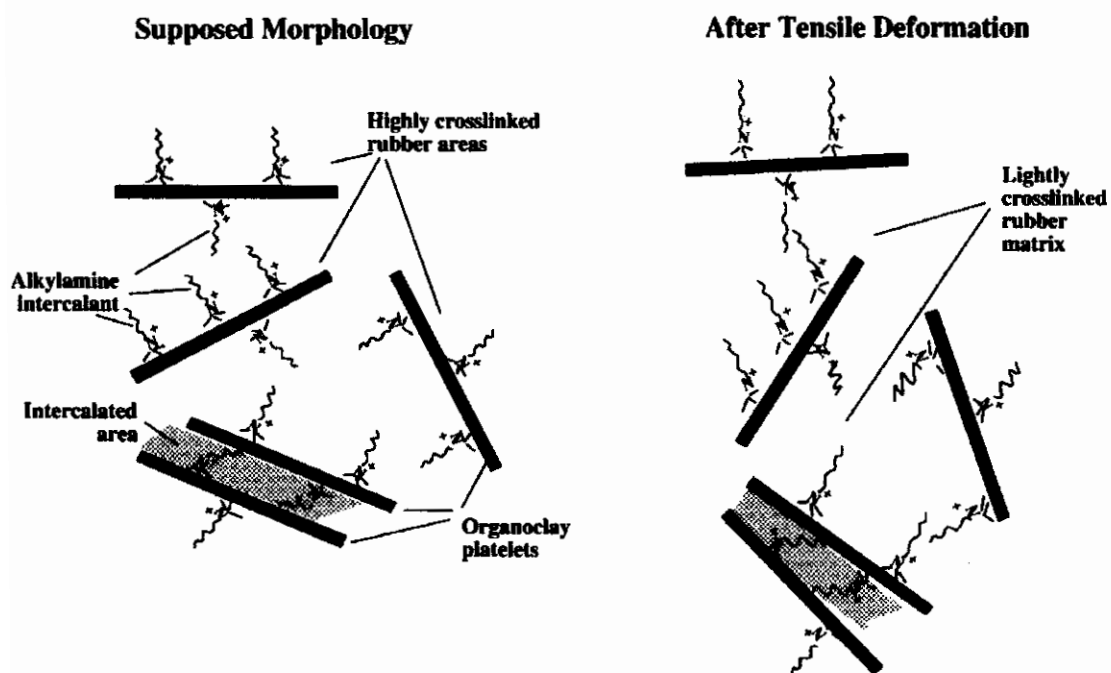
เมื่อพิจารณาความด้านทานแรงดึงของยางคอมโพสิต ดังรูปที่ 4.27 พบว่า การเพิ่มเวลาในการบดผสมระหว่าง OMMT กับยางธรรมชาติ มีผลต่อการเพิ่มขึ้นของความด้านทานแรงดึง เนื่องจาก การกระชากตัวที่ดีขึ้นของ OMMT ทำให้ OMMT ทำหน้าที่เป็นสารเสริมแรงที่ดีในยางธรรมชาติ ดังแสดงในแบบจำลองการทำหน้าที่เสริมแรงของ OMMT [20] รูปที่ 4.28 อย่างไรก็ตาม การเพิ่มขึ้นของปริมาณ OMMT จะทำให้ความด้านทานแรงดึง เนื่องจาก การรวมกันของ OMMT สำหรับผลของการเพิ่มเวลาในการบดผสม OMMT กับยางธรรมชาติที่มีต่อเปอร์เซ็นต์การบีบตื้นๆ ขาด แสดงดังรูปที่ 4.29 พบว่า ผลของการเพิ่มเวลาในการบดผสมไม่มีผลต่อการเปลี่ยนแปลงเปอร์เซ็นต์การบีบตื้นๆ ของวัสดุมากนัก



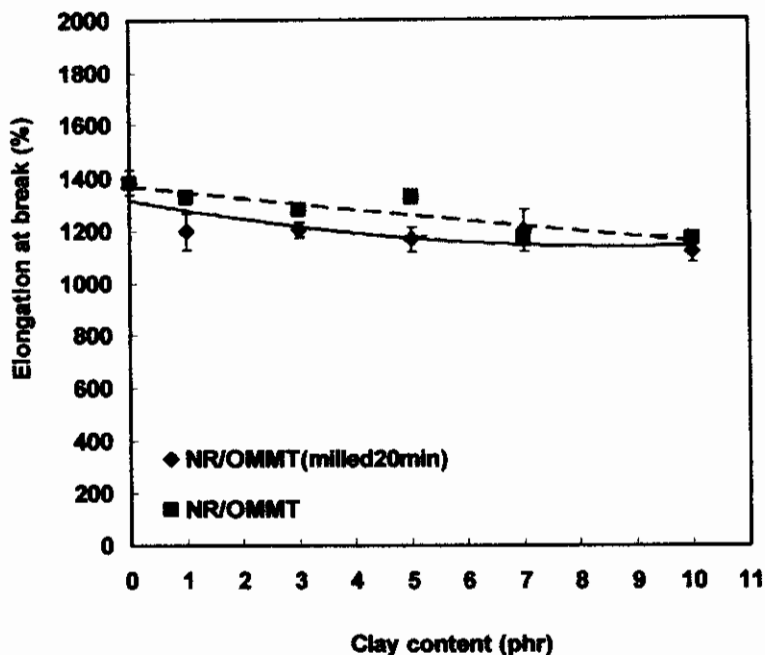
รูปที่ 4.26 ผลของการเพิ่มเวลาในการบดผสม OMMT ที่มีต่อค่ามอคตัสของวัสดุและผลกระทบต่อการเพิ่มเวลาในการบดผสม OMMT ที่มีต่อค่ามอคตัสของวัสดุ



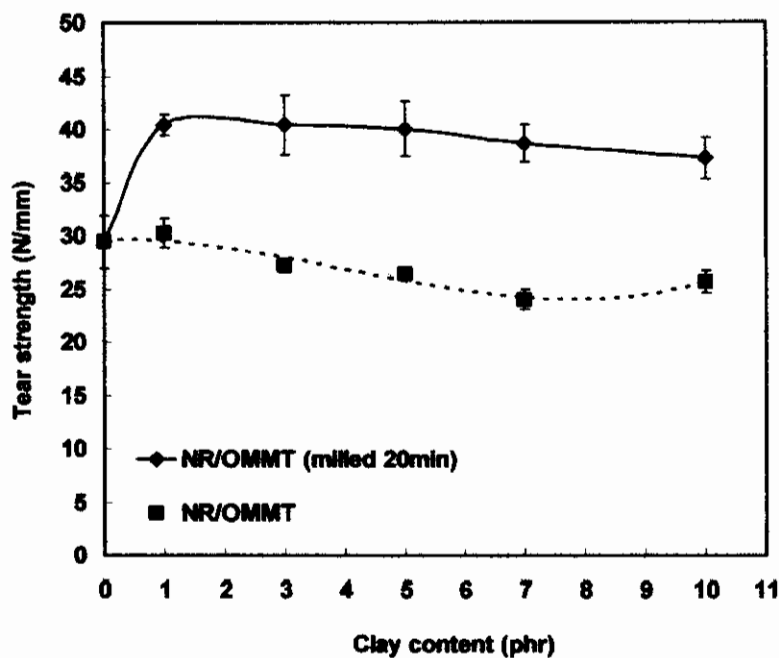
รูปที่ 4.27 ผลของการเพิ่มเวลาในการบดผสม OMMT ที่มีต่อค่าอคุลลัสของวัสดุผสมระหว่างยางธรรมชาติและมอนต์มอริลโลในต์



รูปที่ 4.28 แบบจำลองโครงสร้างการเสริมแรงของ OMMT ในยางชั้งถูกดึง [20]



รูปที่ 4.29 ผลของการเพิ่มเวลาในการบดผสม OMMT ที่มีต่อค่าเบอร์เชนต์การยืดที่จุดขาดของวัสดุผสมระหว่างยางธรรมชาติและมอนต์มอริลโลในต์

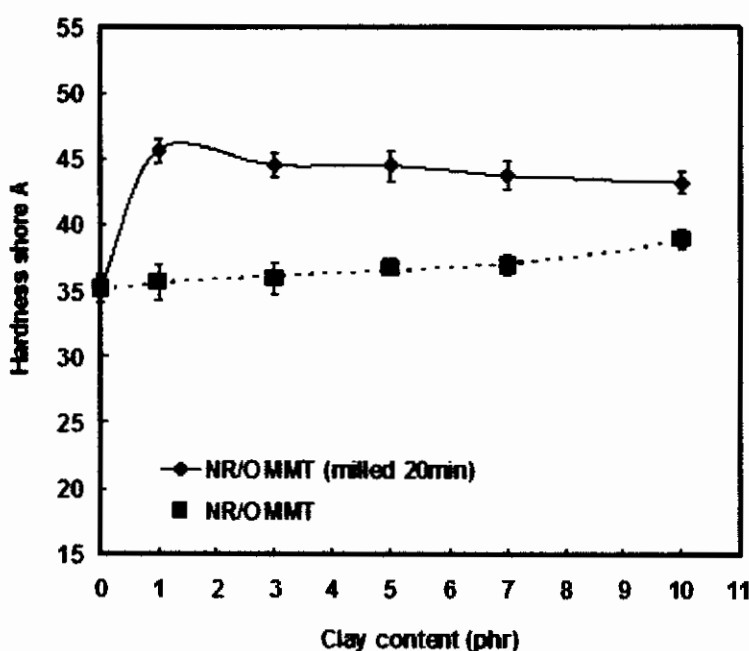


รูปที่ 4.30 ผลของการเพิ่มเวลาในการบดผสม OMMT ที่มีต่อความต้านทานแรงฉีกขาดของวัสดุผสมระหว่างยางธรรมชาติและมอนต์มอริลโลในต์

สำหรับผลของการเพิ่มเวลาในการบดผสมยางกับ OMMT ที่มีต่อความต้านทานแรงฉีกขาดของยางคอมโพสิต ซึ่งแสดงดังรูปที่ 4.30 พนว่าความต้านทานแรงฉีกขาดของยางคอมโพสิตที่

มีการเพิ่มเวลาในการบดผสมยางนั้น มีค่าเพิ่มมากขึ้นอย่างมาก สอดคล้องกับการเพิ่มขึ้นของความต้านทานแรงดึงของวัสดุ นั้นคือการกระจายตัวของ OMMT ที่ดีขึ้น สามารถขัดขวางการฉีกขาด (crack propagation) ได้

เมื่อพิจารณาถึงความแข็งที่ผิวของยางคอมโพสิตที่มีการเพิ่มเวลาในการบดผสมระหว่างยางธรรมชาติและ OMMT เป็นเวลา 20 นาที ดังแสดงในรูปที่ 4.31 พบว่า ความแข็งที่ผิวของยางคอมโพสิตมีค่าเพิ่มสูงขึ้นเป็นอย่างมาก เนื่องมาจากการที่ OMMT นั้นมีความแข็งของโลหะอนินทรีย์ที่มีความแข็งโดยธรรมชาติอยู่แล้ว ประกอบกับ OMMT สามารถกระจายตัวได้ดีในยางด้วย [46]



รูปที่ 4.31 ผลของการเพิ่มเวลาในการบดผสม OMMT ที่มีต่อความแข็งที่ผิวของวัสดุผสมระหว่างยางธรรมชาติและอนินทรีย์

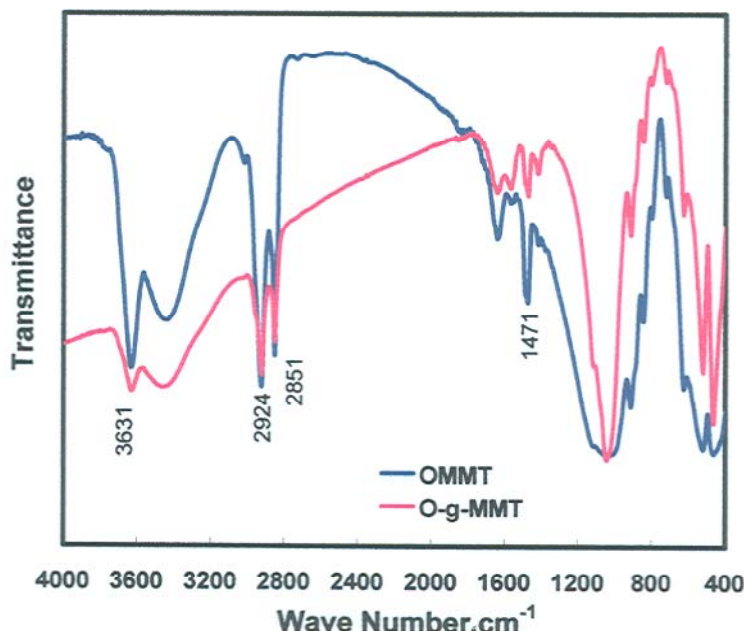
ตอนที่ 2.3 การศึกษาผลของการต่อ กิ่ง อร์ แกโนนอนต์อิโอล่าイン (O-g-MMT)

4.9 สมบัติทางกายภาพของวัสดุผสมระหว่างยางธรรมชาติและอร์ แกโนนอนต์อิโอล่าイン ที่มีการต่อ กิ่ง (O-g-MMT)

ในการศึกษาวัสดุพอลิเมอร์คอมโพสิตที่มีการเติมนอนต์อิโอล่าイン โดยส่วนใหญ่จะทำการปรับปรุงคุณภาพ เช่น โซเดียมไนเตรียม (alkyl ammonium) เพื่อที่จะเพิ่มระยะห่างระหว่างชั้นซิลิเกต และลดความเป็นขี้ข่วนของ OMMT ลง ให้สามารถเข้ากับพอลิเมอร์ได้ดี ถึงแม้ว่างานวิจัยต่างๆ [44] พบว่า OMMT จะมีความเข้ากันได้ดีพอลิเมอร์ อย่างไรก็ตามแรงกระทำระหว่างทั้งสองเฟส ยังคงเป็นแค่แรงวัลเดอร์วาล์ว [49] งานวิจัยนี้จึงมีการปรับปรุงอนต์อิโอล่าイン ผ่านกระบวนการ

แลกเปลี่ยน ไอออนด้วย CTAB ก่อน หลังจากนั้นนำ OMMT ที่ได้มาทำการต่อ กิ่งด้วยสารคุ้มครอง เชกซะเดกคิว ไตรเมทิวไชเลน (Hexadecyl trimethoxysilane, HTMS) ซึ่งจะได้สารเสริมแรงใหม่ ซึ่งผู้วิจัยขอใช้คำต่อว่า O-g-MMT สำหรับในส่วนของงานวิจัยนี้ผู้วิจัยไม่ได้เพิ่มเวลาในการบดผสม ยางธรรมชาติบน Two roll mill

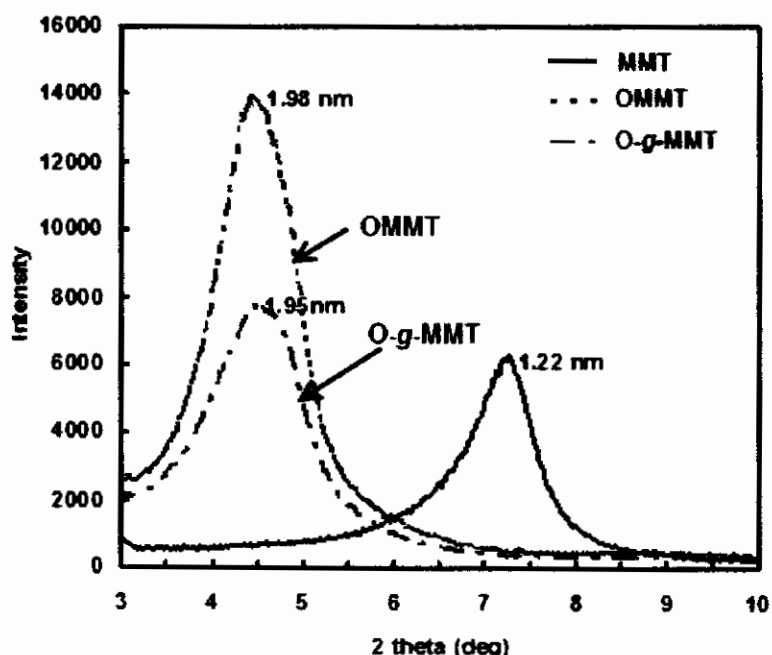
การศึกษาผลของการต่อ กิ่ง OMMT นั้นสามารถศึกษาได้จากเทคนิค FTIR เพื่อตรวจสอบ หน้าผักร่องที่เปลี่ยนแปลงหลังจากการต่อ กิ่ง จากผลการวิเคราะห์ O-g-MMT ด้วยเทคนิค FTIR ดัง รูปที่ 4.32 แสดงให้เห็นว่า สเปกตรัมที่ได้จาก OMMT และ O-g-MMT นั้นมีความใกล้เคียงกัน โดย สเปกตรัมส่วนแรกเป็นการแสดงเอกลักษณ์ของอนต์มอริล โลไลน์ นั้นคือแบบการคุคคลีนที่ 1200 ถึง 1000 cm^{-1} และแบบการคุคคลีนที่ 1045 cm^{-1} เนื่องมาจากการสั่นแบบขีดของ Si–O ของชั้น ซิลิกेटที่อยู่ในอนต์มอริล โลไลน์ สำหรับแบบการคุคคลีนใหม่ที่เกิดขึ้นที่ 2924 cm^{-1} และ 2851 cm^{-1} แสดงการสั่นแบบขีดอย่างไม่สมมาตรของ –CH และการสั่นแบบขีดอย่างสมมาตรของหมู่ –CH₂ ยืนยันการมีอยู่ของ CTAB และ HTMS บนผิวของเคลือบ นอกจากนี้ยังมีแบบการคุคคลีนใหม่ที่ 1471 cm^{-1} ซึ่งสัมพันธ์กับการสั่นแบบของ –CH₂ ขณะที่ความเข้มของแบบการคุคคลีนหมู่ –OH ใน O-g-MMT ที่ 3631 cm^{-1} ลดลง ซึ่งอาจเป็นเหตุผลเนื่องมาจากการเกิดพันธะไชโตรเจนระหว่าง หมู่ไสโตรอกซิลของไชเลน และหมู่ –OH บนผิวของเคลือบ [49]



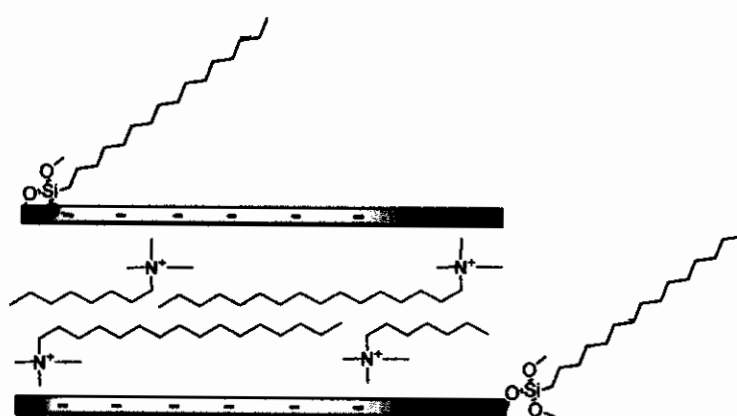
รูปที่ 4.32 กราฟ FTIR ของ MMT, OMMT และ O-g-MMT

การศึกษาระยะห่างระหว่างชั้นซิลิกेटสามารถศึกษาได้จากเทคนิค XRD ดังรูปที่ 4.33 แสดงผลการทดสอบด้วยเทคนิค XRD ของ MMT, OMMT และ O-g-MMT ในช่วง $2\theta = 3\text{--}10^\circ$

จากการคำนวณผ่านสมการ Bragg's law จะได้ค่า 1.22, 1.98 และ 1.95 นาโนเมตร ซึ่งแสดงระยะห่างระหว่างชั้นซิลิกेटของ MMT, OMMT และ O-g-MMT ตามลำดับ นั้นคือการต่อ กิ่งด้วย HTMS ใน OMMT นั้นไม่ทำให้ระยะห่างระหว่างชั้นซิลิกेटเพิ่มขึ้นแต่อย่างใด ดังแสดงผลของการต่อ กิ่งในแบบจำลองที่ 4.34 เนื่องจากหมู่ -OH ของอนต์มอริลไดไลโคไซด์ส่วนใหญ่จะอยู่ที่บริเวณด้านข้างของชั้นซิลิกेट [18] ดังนั้นการต่อ กิ่งของไชเก็น จึงนำเกิดขึ้นที่บริเวณด้านข้างเป็นส่วนใหญ่



รูปที่ 4.33 กราฟ XRD ของ MMT, OMMT และ O-g-MMT

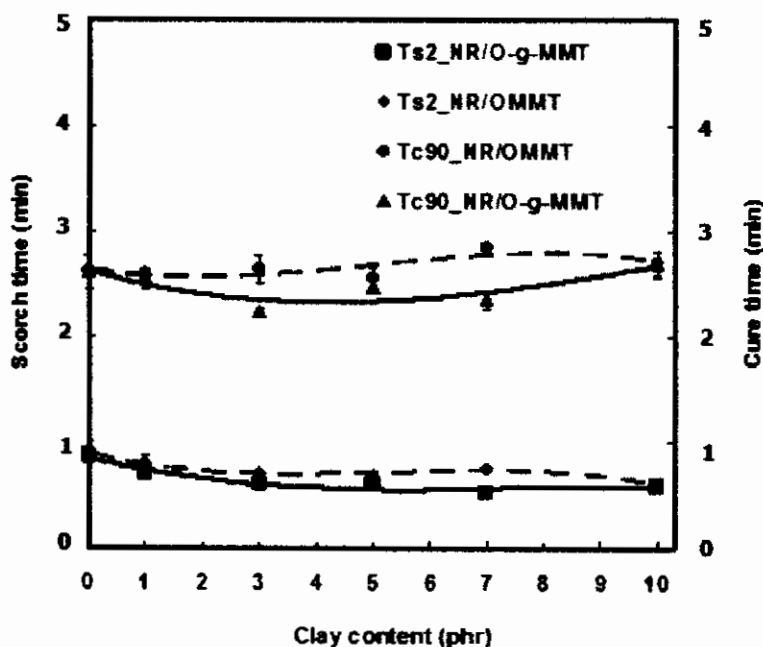


รูปที่ 4.34 แบบจำลองลักษณะการต่อ กิ่ง (grafting) ของ HTMS บนผิวของ OMMT

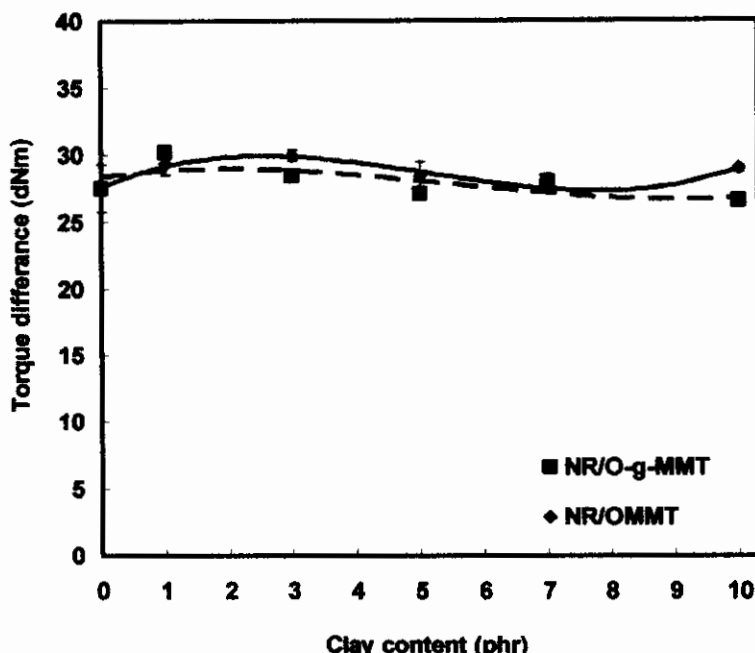
4.10 สมบัติการบ่มของสารประกอนพาราฟินระหว่างยางธรรมชาติและออร์แกโนมอนต์มอริลิโอลайнที่มีการต่อถึง (O-g-MMT)

จากการศึกษาผลของการต่อถึง OMMT โดยทดสอบสมบัติการบ่มของสารประกอนยางจากกลุ่มที่ 4.35 แสดงผลของ O-g-MMT และ OMMT ที่มีต่อเวลาสกอร์ชและเวลาในการคงรูปของสารประกอนยางพารา พนว่าการเติม O-g-MMT ไม่ส่งผลต่อการเปลี่ยนแปลงเวลาสกอร์ชและเวลาในการคงรูป เมื่อเปรียบเทียบกับผลของการเติม OMMT

สำหรับค่าความแตกต่างระหว่างแรงบิดสูงสุดและแรงบิดต่ำสุด (ΔS) ซึ่งแสดงดังรูปที่ 4.36 พนว่าการเติม O-g-MMT ไม่มีผลต่อการเปลี่ยนแปลงค่า ΔS เมื่อเทียบกับผลของการเติม OMMT จากการศึกษาของ M.A. Lo'pez-Manchado และคณะ [40] พนว่าค่าความแตกต่างระหว่างแรงบิดสูงสุดและแรงบิดต่ำสุด (ΔS) สัมพันธ์กับความหนาแน่นของพันธะเชื่อมขวาง นั้นคือการใช้ O-g-MMT ไม่มีผลต่อการเปลี่ยนแปลงความหนาแน่นของพันธะ อาจจะเป็นเพียงเวลาในการให้แรงเฉือนไม่เพียงพอต่อการทำให้ O-g-MMT เกิดการกระขาดตัวที่ดีได้ ทำให้การต่อถึงไม่ส่งผลต่อสมบัติการบ่มของสารประกอนยาง



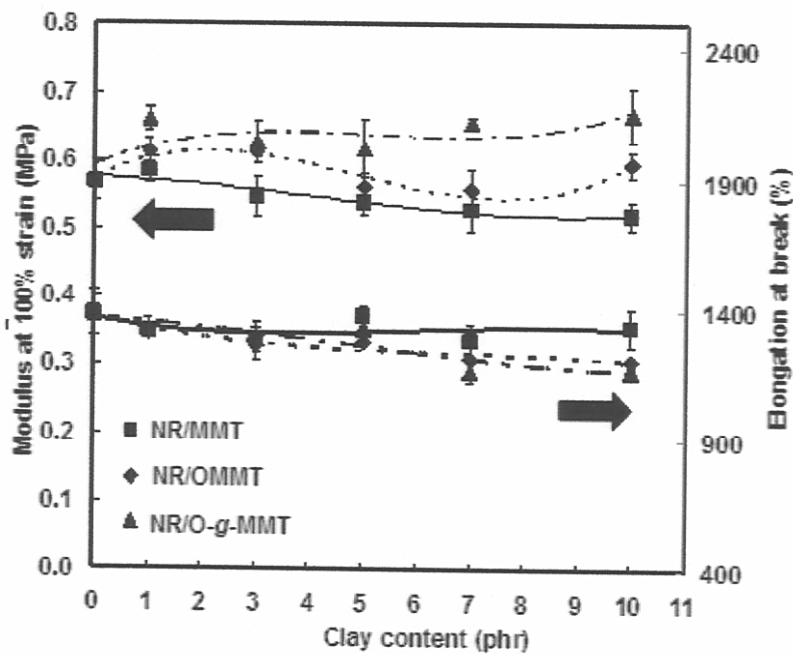
รูปที่ 4.35 ผลของ O-g-MMT และ OMMT ที่มีต่อเวลาสกอร์ชและเวลาในการคงรูปของสารประกอนยางธรรมชาติที่มีการเติมนต์มอริลิโอลайнที่



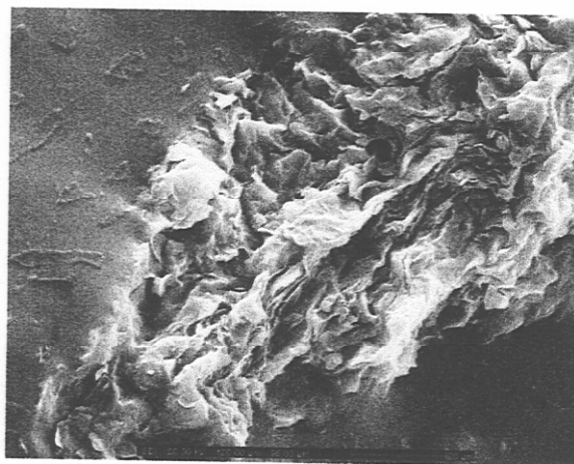
รูปที่ 4.36 ผลของ O-g-MMT และ OMMT ที่มีต่อค่าความแปรค่าระหว่างแรงบิดสูงสุดและแรงบิดต่ำสุด (ΔS) ของสารประกอบยางธรรมชาติที่มีการเติมน้ำดินดิบในต์

4.11 ตามบดีเชิงกลของวัสดุสมรรถนะระหว่างยางธรรมชาติและออร์แกโนน้ำดินดิบในต์ที่มีการต่อ กิ้ง (O-g-MMT)

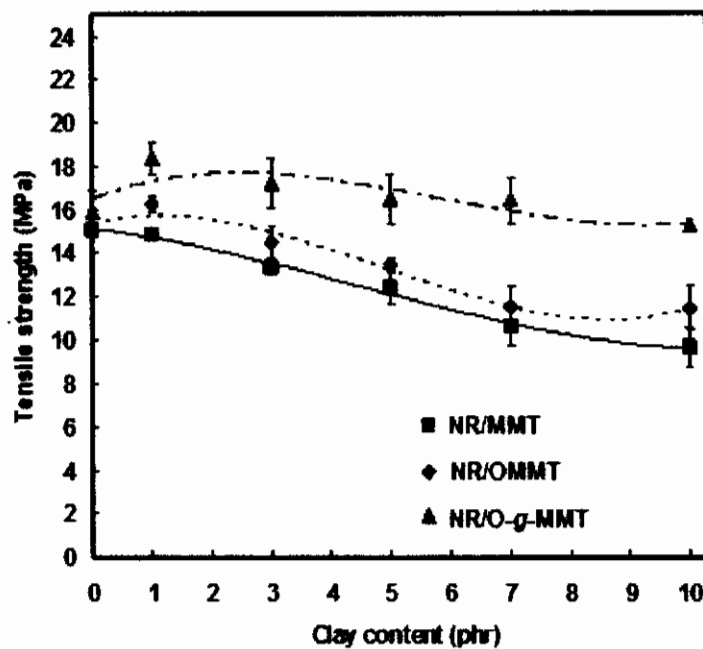
การศึกษาสมบดีเชิงกลของวัสดุสมรรถนะระหว่างยางธรรมชาติที่มีการเติมน้ำดินดิบในต์ที่มีการเติม O-g-MMT และ OMMT ที่เวลาในการบดผสมระหว่างยางธรรมชาติเท่ากัน แสดงผล การทดลองในรูปที่ 4.37 - 4.41 เมื่อพิจารณาสมบดีการศึกษาของวัสดุ จากรูปที่ 4.37 แสดงผลของ O-g-MMT และ OMMT ที่มีต่อมอคูลัสและเปอร์เซ็นต์การดึงยืดที่จุดขาดของวัสดุสมรรถนะระหว่างยางธรรมชาติและน้ำดินดิบในต์ พบว่าการเติม O-g-OMMT ทำให้มอคูลัสของยางคอมโพสิตเพิ่มสูงขึ้น เมื่อเปรียบเทียบกับการเติม OMMT เนื่องจากผลของการต่อ กิ้งน้ำดินดิบในต์ทำให้มี แรงกระทำระหว่างยางธรรมชาติและน้ำดินดิบในต์เพิ่มมากขึ้น ดังแสดงให้เห็นในรูป SEM ที่ 4.38 จะเห็นลักษณะของชั้นซิลิเกตของน้ำดินดิบในต์มีการเรียงตัวที่ดีกับยางธรรมชาติ อย่างไรก็ตามการเติมปริมาณของ O-g-MMT มากขึ้น ส่งผลให้มอคูลัสของยางคอมโพสิตลดลง เนื่องจาก การรวมตัวกันของชั้นซิลิเกต หนีอนดังเช่นการทดลองที่ผ่านมา



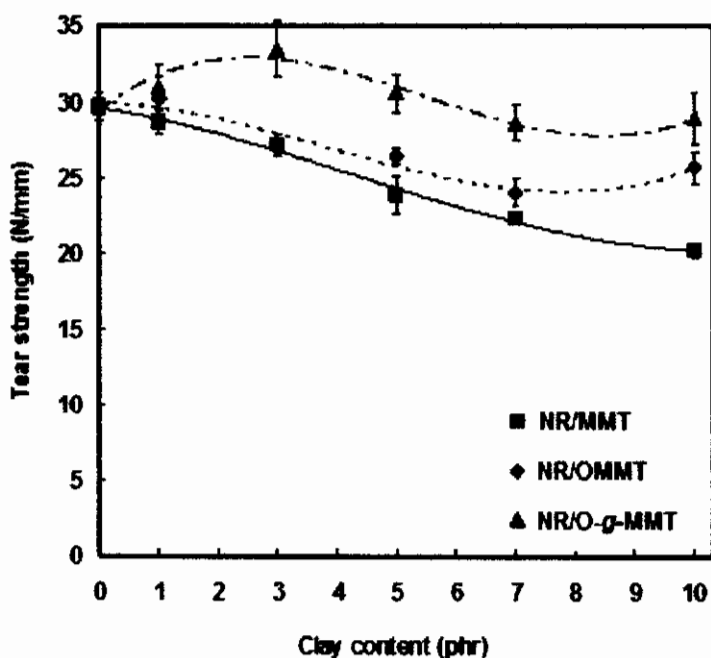
รูปที่ 4.37 ผลของ O-g-MMT และ OMMT ที่มีต่อมอคูลัสและเปอร์เซ็นต์การดึงยืดที่จุดขาดของวัสดุพสมรระหว่างยางธรรมชาติและมอนต์มอริลโลในต์



รูปที่ 4.38 ภาพ SEM ของยางคอมโพสิตที่มีการเติม O-g-MMT 10 phr ที่กำลังขยาย 1000 เท่า



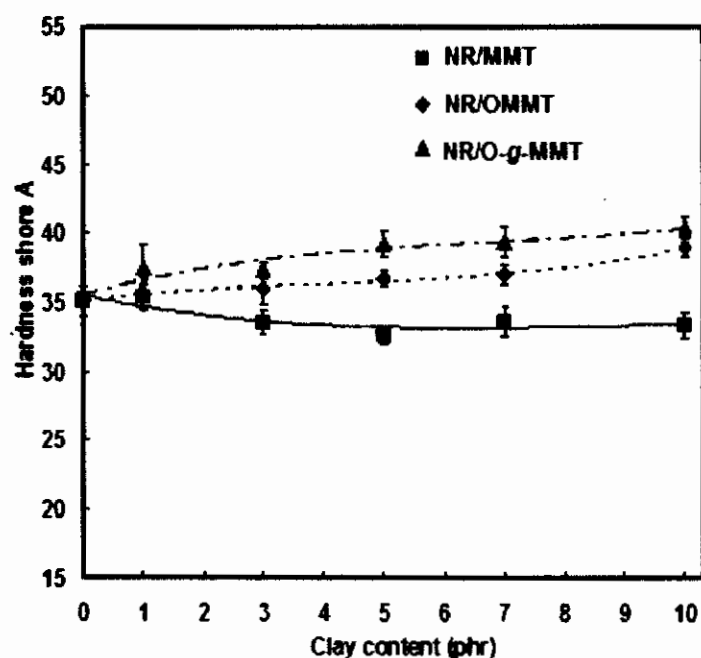
รูปที่ 4.39 ผลของ O-g-MMT และ OMMT ที่มีต่อความด้านทานแรงดึงดีด
ของวัสดุสมรรถนะของธรรมชาติและมอนต์มอริลโลไนต์



รูปที่ 4.40 ผลของ O-g-MMT และ OMMT ที่มีต่อความด้านทานแรงฉีกขาด
ของวัสดุสมรรถนะของธรรมชาติและมอนต์มอริลโลไนต์

เมื่อพิจารณาถึงความด้านทานการคงชีดของยางคอมโพสิตที่มีการเติม O-g-MMT ดังแสดงในรูปที่ 4.39 พบว่าผลของ O-g-MMT ทำให้ยางคอมโพสิตมีความด้านทานแรงซึ่งเพิ่มขึ้น เมื่อเทียบเทียบกับผลของการเติม OMMT เนื่องจากความสามารถในการยึดเกาะของ O-g-MMT ตั้งแต่รูปที่ 4.40 เนื่องจากผลของสารคุ้กวนจะสนับสนุนให้การเรียนติดที่ดีขึ้นระหว่างยางธรรมชาติและอนต์อนต์มอริลโลในต์ พนว่าเพิ่มเดียวกับงานวิจัยของ Qing-Xiu Jia และคณะ [49] ได้ศึกษาผลของการต่อ กิ่งอนต์อนต์มอริลโลในต์ที่มีต่อยาง SBR พนว่าการต่อ กิ่งอนต์อนต์มอริลโลในต์สามารถปรับปรุงสมบัติเชิงกลของยาง SBR เพิ่มขึ้นได้

สำหรับการศึกษาความแข็งที่ผิวของยางคอมโพสิต ดังแสดงในรูปที่ 4.41 พบว่าผลของการเติม O-g-MMT ทำให้ความแข็งของยางคอมโพสิตเพิ่มขึ้น เนื่องมาจากการเข้ากันได้คิริระหว่างเฟสของยางธรรมชาติ และ O-g-MMT มีมากขึ้น สอดคล้องกับค่าอนต์อนต์สของยางคอมโพสิต

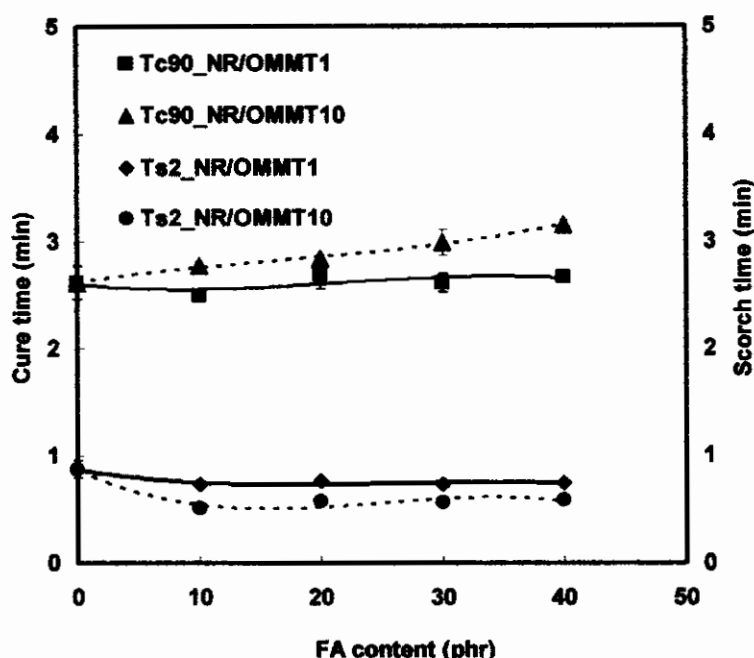


รูปที่ 4.41 ผลของ O-g-MMT และ OMMT ที่มีต่อความแข็งที่ผิวของวัสดุผลกระทบระหว่างยางธรรมชาติและอนต์อนต์มอริลโลในต์

ตอนที่ 3 การใช้สารตัวเติมแบบกู้ (hybrid filler) ระหว่างนอนต์อริโอลในต์และถ้าลอยในยางธรรมชาติ

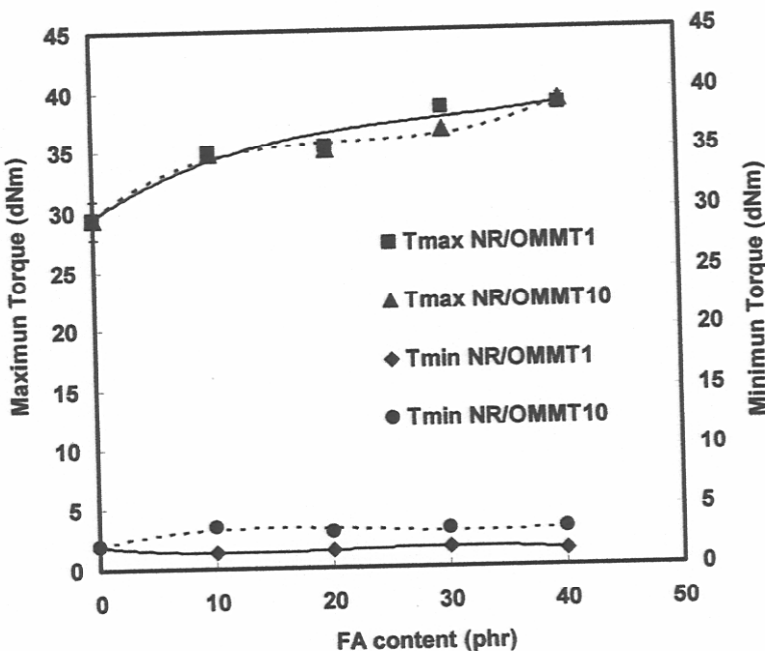
4.12 สมบัติการบ่มสารประกอบพสมาระหว่างยางธรรมชาติและผงถ้าลอยที่มีการเติมนอนต์อริโอลในต์

จากการวิจัยในตอนที่ 1 พบว่า OMMT ที่ 1 phr ให้สมบัติเชิงกลและเพิ่มความร้อนของยางคอมโพสิตดีที่สุด จึงนำมาศึกษาต่อร่วมกับถ้าลอย ดังนั้นงานวิจัยนี้จึงเลือกศึกษาสมบัติเชิงกลและเพิ่มความร้อนของการเติม OMMT ที่ปริมาณที่ 1 และ 10 phr ในวัสดุผสมระหว่างยางธรรมชาติและผงถ้าลอย เพื่อศึกษาผลของการใช้สารตัวเติมแบบกู้ระหว่างนอนต์อริโอลในต์และถ้าลอย จากรูปที่ 4.42 แสดงอัตราพลาสติกของ OMMT ที่มีค่าเวลาการคงรูปและเวลาสกอร์ซของวัสดุผสมระหว่างยางธรรมชาติและผงถ้าลอยที่มีการเติมนอนต์อริโอลในต์ (NR/OMMT/FA) จากการทดลองพบว่า เมื่อเพิ่มปริมาณถ้าลอยมากขึ้น เวลาการคงรูปและเวลาสกอร์ซของสารประกอบพสม. ไม่มีการเปลี่ยนแปลงมากนัก จากการวิจัยของศรีวนิทร ทองแสง และ พרגค์ฤทธิ์ สมบัติ สมภพ [24] พบ เช่นเดียวกันว่า การเติมปริมาณถ้าลอยเพิ่มขึ้นจะไม่ทำให้เวลาในการคงรูปเปลี่ยนแปลงไป เนื่องจากปริมาณหมู่ไไฮดรอกซิลที่อยู่บนผิวถ้าลอยไม่หนาแน่นมาก และอนุภาคของถ้าลอยมีลักษณะกลม จึงทำให้ออนุภาคถ้าลอยสามารถกระจายตัวแบบ disperse gel และไม่เกิดอัตรากิริยาระหว่างสารตัวเติมด้วยกันเอง อย่างไรก็ตามเมื่อพิจารณาถึงการใช้สารตัวเติมแบบกู้ พบว่าการเติม OMMT จะมีผลทำให้เวลาสกอร์ซของยางคอมพาวเดอร์ลดลง ตามปริมาณของ OMMT ที่มากขึ้น ซึ่งเป็นผลมาจากหมู่แอมโมเนียมของออร์แกนิกไอออน ซึ่งมีความเป็นเบส [40]

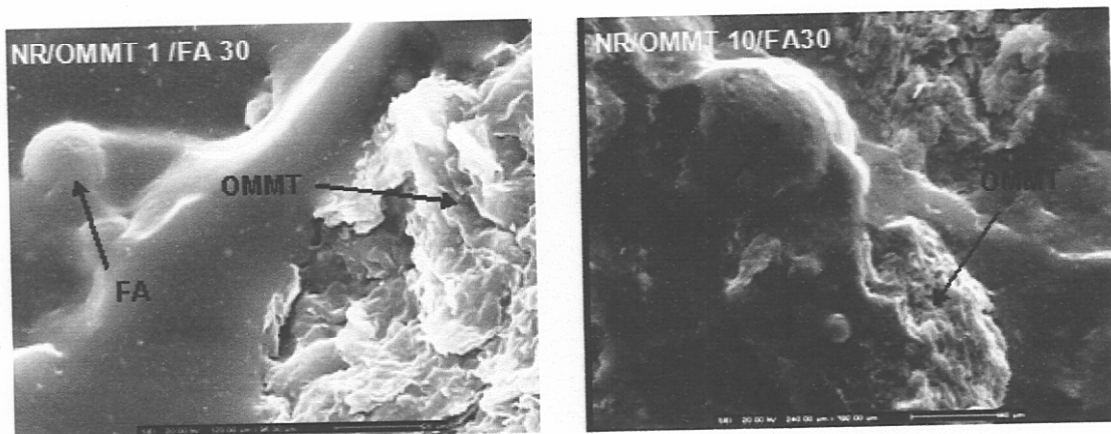


รูปที่ 4.42 ผลของถ้าลอยที่มีต่อเวลาในการคงรูปและเวลาสกอร์ชของสารประกอบพสมะระหว่างยางธรรมชาติและมอนต์มอริลโลในตัว

แรงบิดสูงสุดและแรงบิดต่ำสุดของวัสดุสมาระระหว่างยางธรรมชาติและผงถ้าลอยที่มีการเติมนองค์มอริลโลในตัวสามารถศึกษาได้จากเทคนิค MDR แสดงดังรูปที่ 4.43 เมื่อพิจารณาแรงบิดต่ำสุดของสารประกอบยางพสมะ ซึ่งแสดงถึงค่าความหนืดของสารประกอบยางที่ทำให้ยางเริ่มหักตัวในแม่พิมพ์โดยไม่เกิดการคงรูป พบว่าการเติมปริมาณถ้าลอยเพิ่มมากขึ้น ไม่มีผลต่อการเปลี่ยนแปลงค่าแรงบิดต่ำสุดของสารประกอบยางธรรมชาติ เนื่องจากถ้าลอยเกิดการกระจายตัวแบบ disperse gel สำหรับแรงบิดสูงสุดของสารประกอบยางที่มีการเติมถ้าลอยและมอนต์มอริลโลในตัว มีค่าเพิ่มสูงขึ้นตามปริมาณการเพิ่มขึ้นของถ้าลอย เนื่องจากถ้าลอยและ OMMT มีความเข้ากันได้ดีกับเฟสของยางธรรมชาติ ดังแสดงในรูปที่ 4.44 อีกทั้งถ้าลอยซึ่งมีลักษณะอนุภาคกลมสามารถทำให้ไม่เลกุลของยางธรรมชาติไหลได้ง่ายขึ้น ทำให้ OMMT สามารถกระจายตัวในยางธรรมชาติได้ดีขึ้น ซึ่งจะเห็นได้จากการทดสอบด้วยเทคนิค XRD ดังรูปที่ 4.45



รูปที่ 4.43 ผลของถ้าloyที่มีต่อแรงบิดสูงสุดและคำสูด
ของสารประกอบสมรรถนะว่างยางธรรมชาติและอนต์มอริลโลในต์



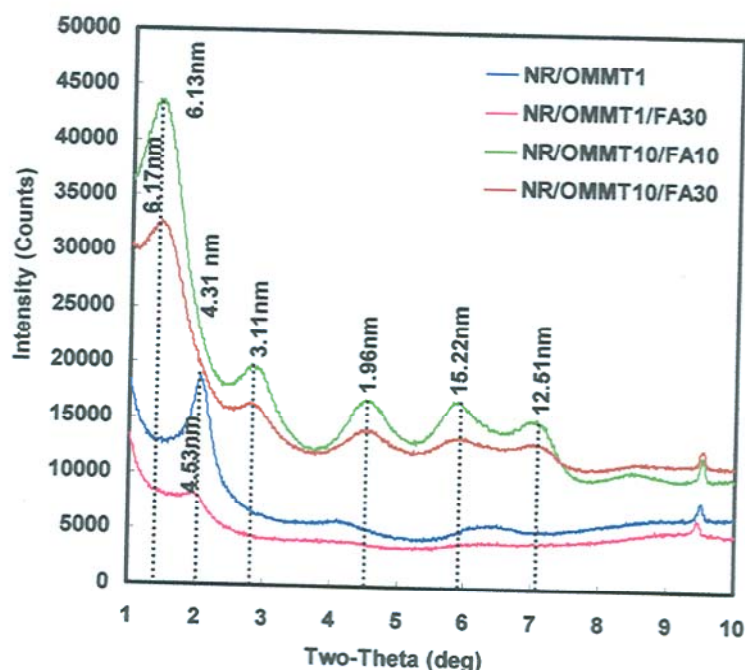
รูปที่ 4.44 ภาพ SEM ของวัสดุสมรรถนะว่างยางธรรมชาติและผงถ้าloy
ที่มีการเติมนต์มอริลโลในต์ (x1000)

4.13 สมบัติทางกายภาพของวัสดุสมรรถนะว่างอนต์มอริลโลในต์และยางธรรมชาติที่มีการเติมถ้าloyในปริมาณต่างๆ

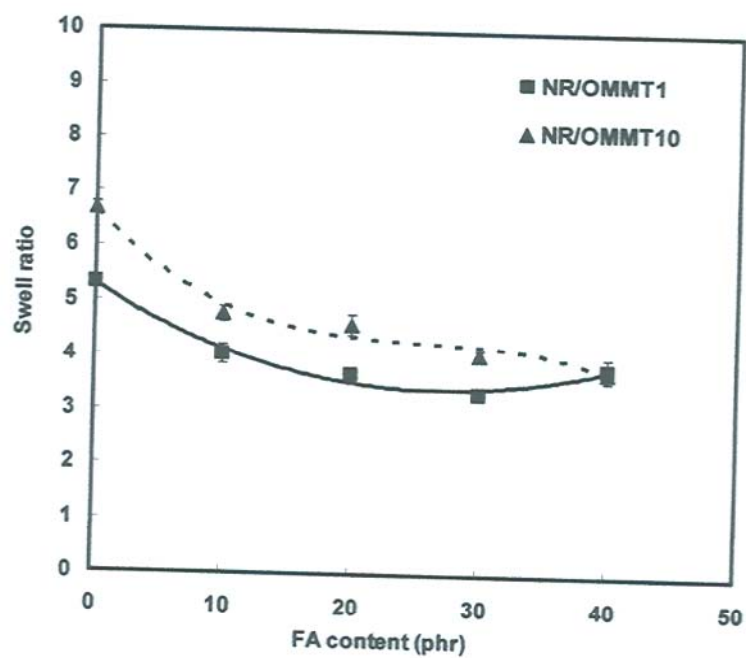
จากการศึกษาของ N. Sombatsopop และคณะ [4] พบร่วมกับการเติมถ้าloyในปริมาณที่มากขึ้นในยางธรรมชาติไม่ส่งผลต่อการเปลี่ยนแปลงของค่าความหนืดของสารประกอบยาง เนื่องจาก

อนุภาคของเดือดอยเป็นสารตัวเดินที่มีลักษณะกลม ทำให้ไม่เกิดขุบของยางสามารถไหลได้ง่าย ดังนั้น วัสดุประทังค์หนึ่งของงานวิจัยนี้คือการใช้เดือดอยช่วยการกระจายตัวของ OMMT โดยอาศัยความกลมของอนุภาคเดือดอย จากรูปที่ 4.45 แสดงผลจากการทดสอบด้วยเทคนิค XRD ของวัสดุผสมระหว่างยางธรรมชาติและผงเดือดอยที่มีการเติมน้ำมันดิบiloในตัวเพื่อตรวจสอบระยะห่างระหว่างชั้นซิลิเกต จากผลการทดลองพบว่า เกิดพีคขึ้นในช่วงมุม 2θ ระหว่าง 1 ถึง 3° ซึ่งแสดงค่าระยะห่างระหว่างชั้นซิลิเกตคือ 4.31, 4.53, 6.13 และ 6.17 นาโนเมตร แสดงให้เห็นว่าไม่เกิดขุบของยางสามารถแทรกเข้าไปในช่องว่างระหว่างชั้นของซิลิเกตได้มากขึ้น เมื่อจากอนุภาคเดือดอยซึ่งมีลักษณะอนุภาคกลมจะช่วยทำให้ไม่เกิดขุบของยางเคลื่อนที่ได้ง่ายมากขึ้นสามารถแทรกเข้าไปอยู่ในชั้นซิลิเกตได้ง่ายในระหว่างการผสม ทำให้ระยะห่างระหว่างชั้นซิลิเกตเพิ่มมากขึ้น อย่างไรก็ตามพบว่าการเติม OMMT มากขึ้นเป็น 10 phr นั้น จะส่งผลบางส่วนของชั้นซิลิเกตเกิดการรวมตัวกันสังเกตได้จากมุม 2θ ระหว่าง 4 ถึง 7° และระยะห่างระหว่างชั้นซิลิเกตจะมีค่าประมาณ 1.96 1.52 และ 1.25 นาโนเมตร

การศึกษาผลของการบวนตัวของยางคอมโพสิต ดังแสดงในรูปที่ 4.46 พบว่าเดือดอยไม่ส่งผลต่อค่าการบวนตัวของยาง แสดงให้เห็นว่าเดือดอยไม่มีผลต่อการเปลี่ยนแปลงความหนาแน่นของพันธะเชื่อมขวาง ลดคลื่นกับผลการวิจัยของศรีนทร ทองแสง และ ภารกุฑิรช สมบัติสมภพ [24] สำหรับผลของสารตัวเดินแบบคู่พบว่า การบวนตัวของยางคอมโพสิตที่มีการเติมสารตัวเดินแบบคู่ระหว่าง OMMT และเดือดอยจะลดลงอย่างมาก เป็นการชี้ว่าเดือดอยสามารถทำให้ OMMT กระจายตัวได้ดีขึ้น ส่งผลให้ความหนาแน่นของพันธะเชื่อมขวางเพิ่มขึ้น ซึ่งจะส่งผลอย่างมากต่อสมบัติเชิงกลของยางคอมโพสิต อย่างไรก็ตามการบวนตัวของยางคอมโพสิตที่มีการเติมสารตัวเดินแบบคู่จะมีค่ามากกว่าการใช้เดือดอยเป็นสารตัวเดินชนิดเดียว เมื่อจากผลของ OMMT ที่มีการบวนตัวได้ดีในสารละลายนทริฟ ดังที่ได้กล่าวไว้ในตอนที่ 1



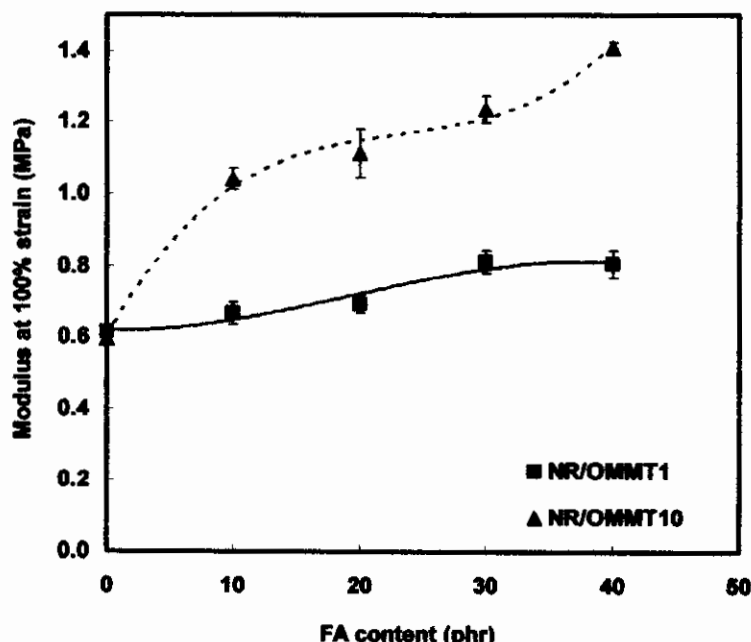
รูปที่ 4.45 ผล XRD ของวัสดุสมรรถว่างยางธรรมชาติและผงถ้าloy
ที่มีการเติมน้ำดื่มอิฐโลไมค์



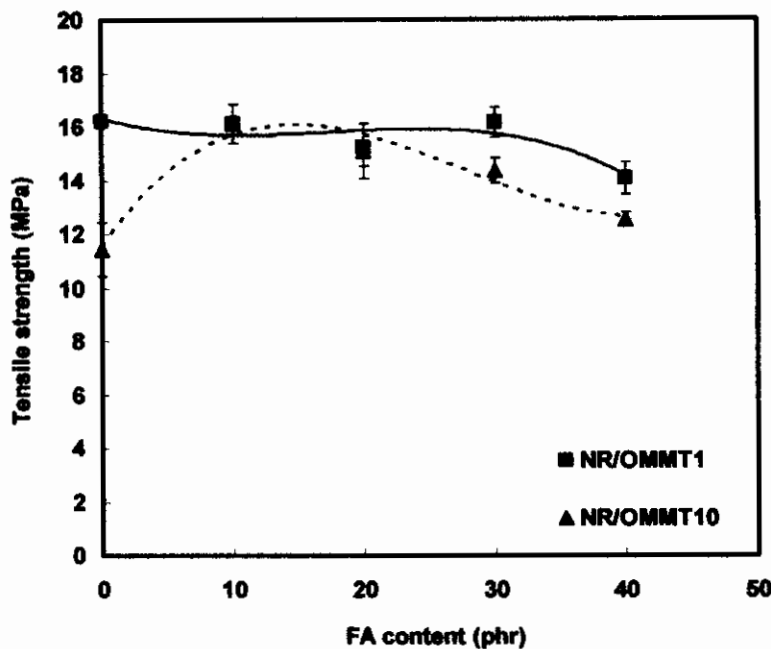
รูปที่ 4.46 ผลของถ้าloyที่มีต่อค่าการบวนตัวของ
วัสดุสมรรถว่างยางธรรมชาติและน้ำดื่มอิฐโลไมค์

4.14 สมบัติเชิงกลของวัสดุผสมระหว่างยางธรรมชาติและผงถ้าลอยที่มีการเติมน้ำหนักอ่อนตัวในตัว

จากการวิจัยของศิรินทร์ ทองแสง และษรังค์ฤทธิ์ สมบัติสมภพ [24] ศึกษาสมบัติเชิงกลของวัสดุผสมระหว่างยางธรรมชาติและผงถ้าลอย พบว่าการเติมถ้าลอยที่มีการปรับปรุงผิวด้วย Si-69 ปริมาณ 2 เบอร์เซ็นต์โดยน้ำหนัก พบว่า มอคูลัสของยางคอมโพสิตมีค่าเพิ่มขึ้นตามปริมาณของถ้าลอย โดยมีค่าเทียบเท่ากับการใช้ชิลิกาเกรดคราช ขณะที่ความต้านทานแรงดึงดูดและเบอร์เซ็นต์การยืดตัวที่สูงขึ้น พบว่ายางธรรมชาติที่เติมถ้าลอยจะมีแนวโน้มลดลง สำหรับในงานวิจัยนี้ เมื่อพิจารณาถึงผลของถ้าลอยและน้ำหนักที่เติมถ้าลอยจะมีแนวโน้มลดลง ในตัวที่มีต่อค่ามอคูลัสของวัสดุผสม แสดงในรูปที่ 4.47 พบว่าการเติมถ้าลอยมากขึ้นจะส่งผลให้มอคูลัสมีค่านากขึ้น เนื่องจากชิลิกาในถ้าลอยมีความแข็งแกร่งสูง [24] และถ้าลอยมีความเข้ากันได้ที่ดีกับยางธรรมชาติ เนื่องจากผลของการปรับปรุงผิวด้วย Si-69 ทำให้วัสดุผสมมีความต้านทานต่อการเปลี่ยนรูปที่มากขึ้นตามปริมาณถ้าลอย สำหรับการเติมสารตัวเติมแบบคู่พบว่ามีผลต่อค่ามอคูลัสของยางคอมโพสิตอย่างมาก เนื่องจากถ้าลอยสามารถส่งผลให้ชั้นชิลิกอตองน้ำหนักตันตัวลดลง สามารถเกิดการกระจายตัวในเมทริกซ์ของยางได้ดีขึ้น จึงทำให้มอคูลัสของการเติมสารตัวเติมแบบคู่ระหว่าง OMMT และถ้าลอย สูงขึ้น โดยเฉพาะอย่างยิ่งการเติม OMMT 10 phr



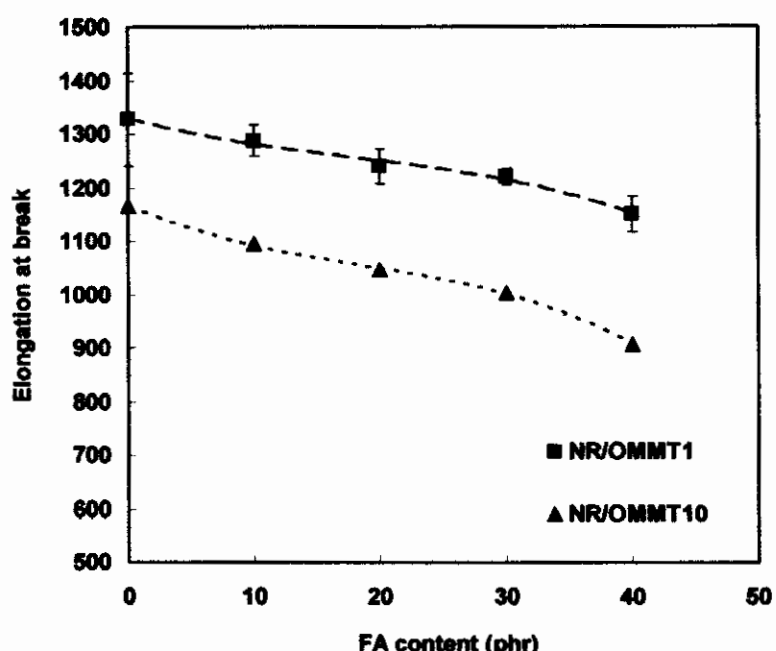
รูปที่ 4.47 ผลของถ้าลอยที่มีต่อค่ามอคูลัสของวัสดุผสมระหว่างยางธรรมชาติและผงถ้าลอยที่มีการเติมน้ำหนักตันตัวในตัว



รูปที่ 4.48 ผลของถ้าลอยที่มีต่อค่าความด้านทานแรงดึงของวัสดุสมรรถห่วง
ยางธรรมชาติและผงถ้าลอยที่มีการเติมนอนด์อริลไอกไนต์

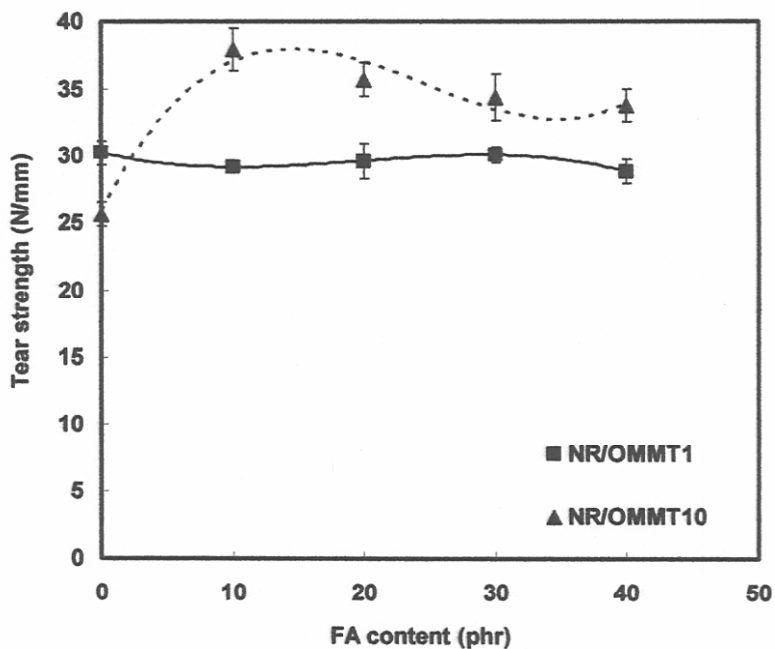
สำหรับผลของถ้าลอยที่มีต่อความด้านทานแรงดึงของยางคอมโพสิต แสดงดังรูปที่ 4.48 พบว่าถ้าลอยจะไม่ส่งผลกระทบต่อการเพิ่มขึ้นของค่าความด้านทานแรงดึงยืด เนื่องจากถ้าลอยไม่มีฤทธิ์เป็นสารเสริมแรง [4] โดยที่ปริมาณถ้าลอยตั้งแต่ 10 และ 20 phr จะมีค่าความด้านทาน การดึงยืดที่ไม่เปลี่ยนแปลง และจะมีค่าลดลงเมื่อปริมาณถ้าลอยเพิ่มขึ้นเป็น 30 และ 40 phr เนื่องจากในระหว่างกระบวนการผสมจะทำให้อุณหภูมิของถ้าลอยเกิดการแตกออก ส่งผลให้ถ้าลอยที่อยู่ภายในหลุมออกมานะ และเนื่องด้วยถ้าลอยที่แตกออกมานี้ไม่ได้ถูกปรับปรุงผิว ดังนั้นถ้าลอยจึงเกิดการกระชาบทัวแบบ coherent gel เนื่องจากหมุนใช้งานอ่อนนุ่มผิวถ้าลอยจะเกิดแรงกระทำระหว่างกัน ดังแสดงในรูปที่ 4.51 เป็นผลทำให้ความด้านทานแรงดึงยืดลดลง ขณะที่ผลการใช้สารตัวเติมแบบคู่ที่ OMMT ปริมาณ 10 phr พบว่าค่าความด้านทานแรงดึงยืด มีค่าเพิ่มขึ้นอย่างมากเมื่อเปรียบเทียบกับการเติม OMMT 10 phr คงในยางธรรมชาติเพียงอย่างเดียว เนื่องจากถ้าลอยสามารถทำให้ OMMT กระชาบทัวได้ดีขึ้นในยาง สำหรับผลของถ้าลอยที่มีต่อปอร์เซนต์การดึงยืดที่ขาดของยางคอมโพสิต รูปที่ 4.49 พบว่าปอร์เซนต์การดึงยืดที่ขาดจะมีค่าลดลง เมื่อปริมาณสารตัวเติมมากขึ้น เนื่องจากอิทธิพลของปริมาณสารตัวเติมที่มากขึ้นย่อมทำให้อุณหภูมิสารตัวเติมใกล้ชิดกันมากขึ้น จนทำให้เกิดอันตราริบาระห่วงยางกับสารตัวเติมลดลง [24] ทำให้ปอร์เซนต์การดึงยืด

ที่จุดขาดคล่อง จากการทดลองจะสังเกตเห็นว่า วัสดุผสมระหว่างยางธรรมชาติและพงเป้าลอยที่มีการเติม OMMT 10 phr จะมีแนวโน้มการลดลงของเปอร์เซ็นต์การดึงยืดที่จุดขาดอย่างมาก

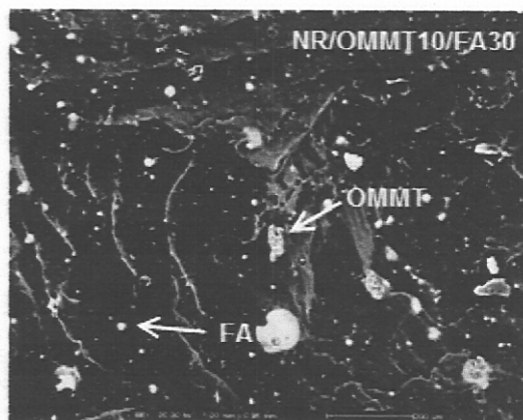


รูปที่ 4.49 ผลของเด้าลอยที่มีต่อเปอร์เซ็นต์การดึงยืดที่จุดขาดของวัสดุผสมระหว่างยางธรรมชาติและพงเป้าลอยที่มีการเติมอนต์มอริลโลไดโนต์

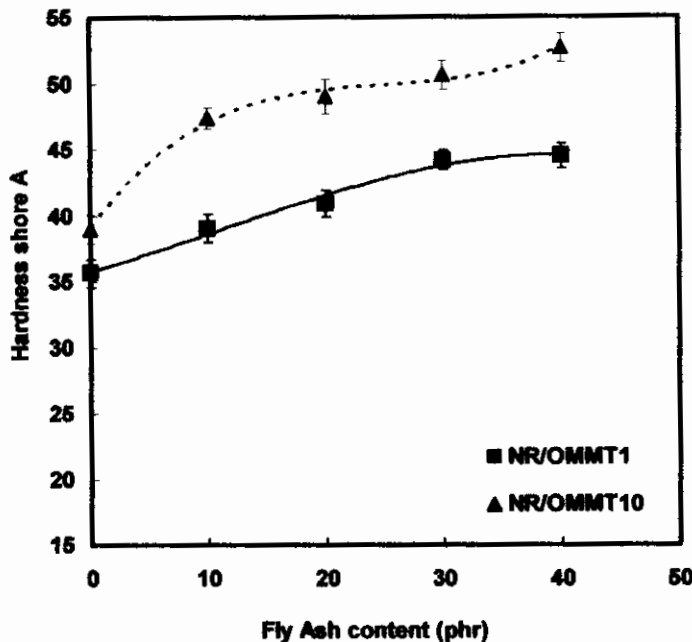
จากการวิจัยของศิรินทร์ ทองแสง และพวงษ์ฤทธิ์ สมบัติสมภพ [24] พบว่า ความต้านทานแรงฉีกขาดของยางอมพอยติคจะลดลงตามปริมาณของเด้าลอย สอดคล้องกับความต้านทานแรงดึงยืดของวัสดุ สำหรับผลของปริมาณเด้าลอยที่มีต่อความต้านทานแรงฉีกขาด แสดงในรูปที่ 4.50 พบว่าการเพิ่มขึ้นของเด้าลอย ส่งผลต่อการเปลี่ยนแปลงของค่าความต้านทานแรงฉีกขาดลดลง เส้นน้อย เช่นเดียวกับการเติมปริมาณ OMMT ที่ 1 phr ขณะที่การเติมปริมาณ OMMT ที่เพิ่มขึ้นเป็น 10 phr ส่งผลต่อการเปลี่ยนแปลงของค่าความต้านทานแรงฉีกขาดอย่างมาก เป็นผลมาจากการกระจายตัวของ OMMT ที่ดีขึ้น ซึ่ง OMMT จะทำหน้าที่ขัดขวางการฉีกขาดของยางคอมโพสิตได้ดี



รูปที่ 4.50 ผลของถ้าลอยที่มีต่อค่าความต้านทานแรงฉีกขาดของวัสดุผสมระหว่าง
ยางธรรมชาติและผงถ้าลอยที่มีการเติมน้ำต้มอธิโลไลต์



รูปที่ 4.51 ภาพ SEM ของวัสดุผสมระหว่างยางธรรมชาติและผงถ้าลอย
ที่มีการเติมน้ำต้มอธิโลไลต์ (x100)



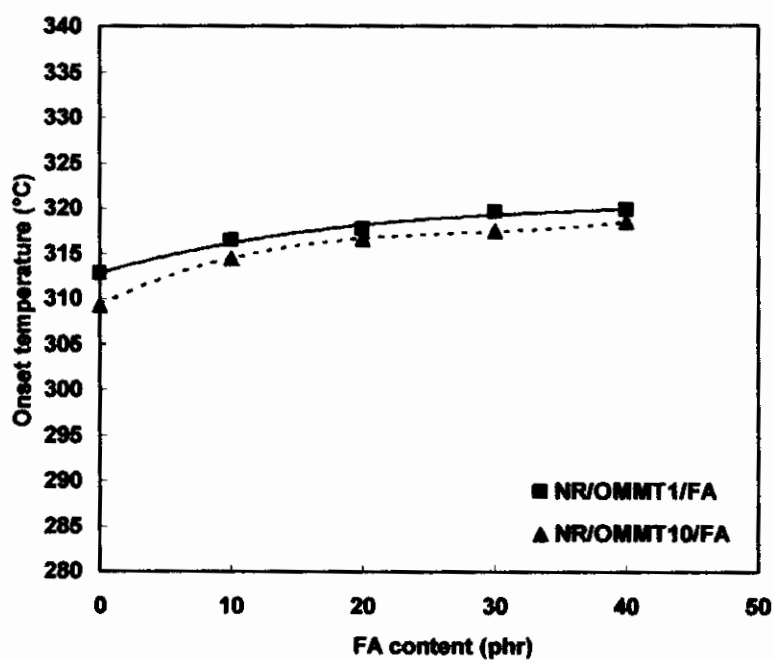
รูปที่ 4.52 ผลของถ้าลอยที่มีต่อค่าความแข็งที่ผิวของวัสดุสมรรถนะว่าง
ยางธรรมชาติและอนต์อริลโลไนต์

สำหรับผลของถ้าลอยที่มีต่อความแข็งที่ผิวของวัสดุสมรรถนะว่างยางธรรมชาติและอนต์อริลโลไนต์ จากการศึกษาของศิรินทร์ ทองแสง และ ภรรค์ฤทธิ์ สนับดีสมกพ [24] พบว่า ความแข็งที่ผิวของยางคอมโพสิตจะมีค่าเพิ่มขึ้น ตามปริมาณถ้าลอย ซึ่งมีค่าสอดคล้องกับผลอนคูลัสที่การยืดตัว 100 เมอร์เซ่นต์ เนื่องจากธรรมชาติของถ้าลอยซึ่งมีโลหะออกไซด์อยู่มาก จากการทดสอบความแข็งที่ผิวของยางคอมโพสิต ดังแสดงในรูปที่ 4.52 พบเข่นเดียวกัน คือการเติมถ้าลอยในยางธรรมชาตินากขึ้น ทำให้ความแข็งที่ผิวของยางเพิ่มมากขึ้นด้วย ในกรณีของการใช้สารตัวเติมแบบคู่พบว่า ถ้าลอยสามารถทำให้ OMMT กระจายตัวในยางธรรมชาติได้ดีขึ้น จึงส่งผลให้ ความแข็งของยางคอมโพสิตที่มีการเติมสารตัวเติมแบบคู่ระหว่างถ้าลอยและ OMMT ดีขึ้น โดยที่ปริมาณ OMMT 10 phr จะส่งผลต่อความแข็งของยางเป็นอย่างมาก

4.15 สมบัติเริ่งความร้อนของวัสดุสมรรถนะว่างยางธรรมชาติและฟองถ้าลอยที่มีการเติมนอนต์อริลโลไนต์

อุณหภูมิเริ่มต้นของการถลายตัว ของวัสดุสมรรถนะว่างยางธรรมชาติและฟองถ้าลอยที่มีการเติมนอนต์อริลโลไนต์ แสดงดังรูปที่ 4.53 พบว่าอุณหภูมิเริ่มต้นของการถลายตัว (T_{onset}) พบว่าเมื่อปริมาณของถ้าลอยเพิ่มมากขึ้น ยางคอมโพสิตจะมีค่า T_{onset} เพิ่มขึ้นด้วย เนื่องจากถ้าลอยนั้นมีเสถียรภาพทางความร้อนที่สูงขึ้นเดียวกับ MMT สำหรับการเติม OMMT จะมีผลต่อเสถียรภาพทาง

ความร้อนของยางคอมโพสิต โดยที่ปริมาณ OMMT ที่ 1 phr จะทำให้เสถียรภาพทางความร้อนเพิ่มขึ้น เนื่องจากธรรมชาติของเคลือบที่มีเสถียรภาพทางความร้อนสูง อย่างไรก็ตามการเติมปริมาณของ OMMT ที่เพิ่มขึ้นเป็น 10 phr ส่งผลให้ T_{onset} ของวัสดุลดลงระหว่างยางธรรมชาติและถ้าลองหันค่าลดต่ำลง เป็นผลมาจากการเคลือบอเลกติค แอน โนเนียม [48] ดังนั้นการที่ไม่แยกย่อยของยางทางสารเคมีเข้าไปอยู่ในชั้นของซิลิกาได้มาก ทำให้เฟสของยางสัมผัสกับเคลือบของออร์แกนิกไออกอนที่มาก เสถียรภาพทางความร้อนของยางคอมโพสิตจึงลดลง



รูปที่ 4.53 ผลของถ้าลองหันค่าต่ออุณหภูมิการสถาปัตยตัวเริ่มต้น (T_{onset}) ของวัสดุลดลงระหว่างยางธรรมชาติและมอนต์มอร์ลิโน่ในตัวเริ่มต้น

บทที่ ๕

สรุปผลการทดลองและข้อเสนอแนะ

5.1 สรุปผลการทดลอง

งานวิจัยนี้แบ่งส่วนของการทดลองออกเป็น 3 ตอน ตอนที่ 1 เป็นการศึกษาปรับปรุงมอนต์นอริลโลในต์และผงถ้าลอย ตอนที่สองเป็นการศึกษาอิทธิพลของมอนต์นอริลโลในต์ที่มีต่อสมบัติเชิงกลและเชิงความร้อนของยางธรรมชาติ โดยแบ่งออกเป็นสามส่วน คือการศึกษาเปรียบเทียบระหว่างมอนต์นอริลโลในต์ ($\text{Na}^+ \text{MMT}$) ที่ซึ้งในไนโตรแกโนนต์มอนต์นอริลโลในต์ (OMMT) ซึ่งถูกปรับปรุงผ่านด้วยชาร์เกนิกแคลก ไออ่อน คือ เยกอะเดคิต ไครเมทิล แอนโนเมทิล ไบไนต์ (CTAB) การเพิ่มเวลาในการบดผสมระหว่างยางธรรมชาติและ OMMT และการต่อ กิ้ง (grafting) օอร์แกโนนต์มอนต์นอริลโลในต์ (O-g-MMT) ตอนสุดท้ายเป็นการศึกษาอิทธิพลของผงถ้าลอยที่มีต่อสมบัติเชิงกลและเชิงความร้อนของยางธรรมชาติ โดยศึกษาเปรียบเทียบระหว่างวัสดุผสมระหว่างยางธรรมชาติและผงถ้าลอย และวัสดุผสมระหว่างยางธรรมชาติและผงถ้าลอยที่มีการเติมมอนต์นอริลโลในต์ งานวิจัยนี้สามารถสรุปผลการทดลองต่างๆ ได้ ดังนี้

ตอนที่ ๑ การศึกษาปรับปรุงมอนต์นอริลโลในต์และผงถ้าลอย

1. การเตรียมօอร์แกโนนต์มอนต์นอริลโลในต์ สามารถถูกเตรียมได้ผ่านกระบวนการแลกเปลี่ยนไออองระหว่าง Na^+ กับ CTAB จากการพิสูจน์ด้วยเทคนิค FTIR พบว่า CTAB สามารถเข้าไปแทรกซึ้นในระหว่างชั้นของชิลิกेट ได้ โดยทำให้ระยะห่างระหว่างชั้นชิลิกे�ทของชาร์แกโนนต์มอนต์นอริลโลในต์มีค่าเพิ่มขึ้นเป็น 1.98 นาโนเมตร และมีลักษณะการแทรกของโมเลกุลสารปรับปรุงเป็นแบบ lateral-bilayer จากเติมมอนต์นอริลโลในต์มีระยะห่างระหว่างชั้นชิลิกेट 1.22 นาโนเมตร

2. การปรับปรุงผิวของถ้าลอยด้วยสารถุ่มawan Si69 จากเทคนิค FTIR พบว่า หมู่แอลกอฮอล์ (alkoxy) ของสารถุ่มawan สามารถเกิดปฏิกิริยากับหมู่ไฮลินอลบนผิวถ้าลอยได้ในสารละลายน้ำ ระหว่างเอกสารอ้างอิงนี้สามารถเกิดปฏิกิริยาเคมีกับหมู่ Si-OH บนพื้นผิวถ้าลอยได้

ตอนที่ 2 การศึกษาอิทธิพลของอนต์มอริลโอลในต์ที่มีต่อสมบัติเชิงกลและเชิงความร้อนของยางธรรมชาติ

1. การศึกษาเปรียบเทียบผลกระทบระหว่าง MMT และ OMMT ที่มีต่อยางก่อนพอกอัด

1. กฎลักษณะการคงรูปของวัสดุผสมระหว่างยางธรรมชาติและอนต์มอริลโอลในต์พบว่า ทั้ง MMT และ OMMT ให้ผลของเวลาในการคงรูปและเวลาสกอร์ทไม่แตกต่างกัน เช่นเดียวกันกับการเพิ่มปริมาณของอนต์มอริลโอลในต์ในช่วง 1 ถึง 10 phr พบว่าให้ผลของเวลาในการคงรูปและเวลาสกอร์ทไม่แตกต่างกัน

2. แรงบิดจาก การศึกษาคุณลักษณะการคงรูปของวัสดุผสมระหว่างยางธรรมชาติและอนต์มอริลโอลในต์พบว่าผลของ OMMT จะให้แรงบิดสูงสุด สูงกว่าผลของ MMT เนื่องจาก การเชื่อมติดกันระหว่างเฟสของอนต์มอริลโอลในต์และยางธรรมชาติที่ไม่ดี และการลดลงของปริมาณพันธะเชื่อมข้าง และเมื่อเพิ่มปริมาณอนต์มอริลโอลในต์ พบว่าทั้ง MMT และ OMMT ทำให้ค่าแรงบิดสูงสุดมีแนวโน้มลดลงตามปริมาณของอนต์มอริลโอลในต์ที่เพิ่มขึ้น เนื่องจากการเพิ่มปริมาณอนต์มอริลโอลในต์ทำให้เกิดการรวมตัวกันของอนต์มอริลโอลในต์ (agglomerate)

3. ความเข้ากันได้ระหว่างออร์แกโนนต์มอริลโอลในต์กับยางธรรมชาติ มีความเข้ากันได้ดีกว่าอนต์มอริลโอลในต์ที่ไม่ได้ปรับปรุง และพบว่าไม่เกิดกลุ่มของยางธรรมชาติสามารถแทรกเข้าไปอยู่ในระหว่างชั้นชิลิกेटของออร์แกโนนต์มอริลโอลในต์ได้มากกว่าอนต์มอริลโอลในต์ที่ไม่ได้ปรับปรุง ส่งผลให้มีอนต์มอริลโอลในต์ที่ไม่ได้ปรับปรุงเกิดการรวมตัวกันอยู่ในเฟสของยางธรรมชาติ

4. สมบัติเชิงกลทั้ง นอคูลัสที่เบอร์เซ็นต์การดึงยืด 100 เปอร์เซ็นต์ ความด้านทานแรงดึงยืด ความด้านทานการฉีกขาดของวัสดุผสมระหว่างยางธรรมชาติและออร์แกโนนต์มอริลโอลในต์ มีค่าสูงกว่าวัสดุผสมระหว่างยางธรรมชาติและอนต์มอริลโอลในต์ที่ไม่ได้มีการปรับปรุง แต่เมื่อปริมาณอนต์มอริลโอลในต์เพิ่มขึ้น พบว่าทั้งมีอนต์มอริลโอลในต์ที่ไม่ได้ปรับปรุงและออร์แกโนนต์มอริลโอลในต์จะทำให้วัสดุผสมมีสมบัติเชิงกลที่ลดลงตามปริมาณการเพิ่มขึ้นของอนต์มอริลโอลในต์ ปริมาณการเติมออร์แกโนนต์มอริลโอลในต์ที่ให้สมบัติเชิงกลดีที่สุดคือปริมาณ 1 และ 3 phr

5. สมบัติเชิงความร้อนของวัสดุผสมระหว่างยางธรรมชาติและอนต์มอริลโอลในต์มีเสถียรภาพทางความร้อนที่เพิ่มสูงขึ้น การเติมนอนต์มอริลโอลในต์ที่ไม่ได้ปรับปรุงมีเสถียรภาพทางความร้อนที่ดีกว่าการเติมออร์แกโนนต์มอริลโอลในต์ โดยเสถียรภาพทางความร้อนของวัสดุผสมไม่เพิ่มตามปริมาณการเติมนอนต์มอริลโอลในต์ในยางธรรมชาติ

2. การศึกษาผลของการเพิ่มเวลาในการบดผงสารห่วงยางธรรมชาติและ OMMT

1. ผลของการเพิ่มเวลาในการบดผงสารห่วงยางธรรมชาติและ OMMT พบว่าสมบัติการบ่มของสารประกอบยางผงมีค่าไม่เปลี่ยนแปลง

2. สมบัติเชิงกลของวัสดุผงสารห่วงยางธรรมชาติและ OMMT ที่มีการเพิ่มเวลาในการบดผง พบว่ามีค่าเพิ่มมากขึ้นทั้งนองคุลีส ความด้านทานแรงดึง ความด้านทานแรงฉีกขาด และความแข็งที่ผิว เมื่อเปรียบเทียบกับสารประกอบผงสารห่วงยางธรรมชาติและ OMMT ที่ไม่ได้เพิ่มเวลาในการบดผง เนื่องมาจากการเพิ่มเวลาในการบดผงจะช่วยทำให้ OMMT สามารถกระจายตัวในยางธรรมชาติได้ดีมากขึ้น

3. การศึกษาผลของ O-g-MMT ที่มีต่อยางคอมโพสิต

1. ผลการศึกษาลักษณะทางกายภาพของ O-g-MMT พบว่า ระยะห่างระหว่างชั้นซิลิกेट ในเม็ดการเปลี่ยนแปลงเมื่อเทียบกับระยะห่างระหว่างชั้นซิลิกेटของ OMMT อ่างไรก็ตามจาก การศึกษาด้วยเทคนิค FTIR พบว่า สารอุดกวน HTMS ที่ใช้ในการต่อ กับ OMMT สามารถเกิดปฏิกิริยา กับผิวของชั้นซิลิกेटได้

2. การศึกษาสมบัติเชิงของวัสดุผงสารห่วงยางธรรมชาติและ O-g-MMT พบว่ามีค่าเพิ่มมากขึ้นทั้งนองคุลีส ความด้านทานแรงดึง ความด้านทานแรงฉีกขาด และความแข็งที่ผิว เมื่อเปรียบเทียบกับสารประกอบผงสารห่วงยางธรรมชาติและ OMMT เนื่องจาก O-g-MMT มีความเข้ากันได้กับยางธรรมชาตินามากขึ้น ส่งผลให้มีแรงกระแทกที่ระยะห่วงยางธรรมชาติและ O-g-MMT

ตอนที่ 3 การศึกษาอิทธิพลของผงถ้าloyที่มีต่อสมบัติเชิงกลและเชิงความร้อนของยางธรรมชาติที่มีการเติมน้ำหนักต์มอริลโอลไนต์

1. การศึกษาสมบัติการบ่มของสารประกอบผงสารห่วงยางธรรมชาติและถ้าloyที่มีการเติมน้ำหนักต์มอริลโอลไนต์พบว่าเวลาในการคงรูปและเวลาสกอร์ทไม่เปลี่ยนแปลงตามปริมาณการเติมถ้าloyและน้ำหนักต์มอริลโอลไนต์

2. แรงบิดจากการศึกษาสมบัติการบ่มของสารประกอบผงสารห่วงยางธรรมชาติและถ้าloyที่มีการเติมน้ำหนักต์มอริลโอลไนต์พบร่วมกับแรงบิดต่ำสุดและแรงบิดสูงสุดมีค่าเพิ่มสูงขึ้นเมื่อเติมน้ำหนักต์มอริลโอลไนต์ปริมาณ 10 phr ลงในวัสดุผงสารห่วงยางธรรมชาติและถ้าloy เมื่อจากผงถ้าloyทำให้วัสดุผงมีความหนืดเพิ่มขึ้น และทำให้มีน้ำหนักต์มอริลโอลไนต์สามารถกระจายตัวในเมทริกซ์ของยางธรรมชาติได้ดีขึ้น

3. จากการศึกษาความเข้ากันได้ด้วยเทคนิค SEM พบว่า Yangtze River ชนิดมีความเข้ากันได้ดีกับทั้งออร์แกโนนอนต์มอริลโลในค์ และผงถ้าลอยที่มีการปรับปรุงผิว

4. สมบัติเชิงกลของวัสดุสมรรถนะว่างยางธรรมชาติและถ้าลอยที่มีการเติมนอนต์มอริลโลในค์ ทั้งนองคูสัส และความด้านทานที่ผิว มีค่าเพิ่มสูงขึ้นตามปริมาณการเพิ่มขึ้นของถ้าลอย และความด้านทานแรงฉีกขาดมีค่าเพิ่มสูงขึ้น และสูงที่สุดที่ปริมาณการเติมออร์แกโนนต์มอริลโลในค์ และถ้าลอยที่ปริมาณ 10 phr จะเป็นที่ความด้านทานแรงดึงดีดไม่มีการเปลี่ยนแปลงตามปริมาณของสารตัวเติม

5. สมบัติเชิงความร้อนของวัสดุสมรรถนะว่างยางธรรมชาติและนอนต์มอริลโลในค์มีเสถียรภาพทางความร้อนที่เพิ่มมากขึ้นเล็กน้อย แต่เมื่อปริมาณสารเพิ่มเนื่องจากขึ้นวัสดุสมรรถนะว่างยางธรรมชาติและนอนต์มอริลโลในค์มีแนวเสถียรภาพทางความร้อนที่ลดลง

5.2 ข้อเสนอแนะ

การศึกษาอิทธิพลของนอนต์มอริลโลในค์พบว่าสมบัติเชิงกลของวัสดุสมรรถนะว่างยางธรรมชาติและนอนต์มอริลโลในค์ไม่เพิ่มขึ้น เนื่องจากปัญหาในเรื่องของการไม่กระจายตัวของชั้นซิลิกาต์ของนอนต์มอริลโลในค์ในเมทริกซ์ของยางธรรมชาติ ซึ่งผู้ดำเนินงานวิจัยมีข้อเสนอแนะเพื่อให้ชั้นซิลิกาต์สามารถกระจายตัวในเมทริกซ์ของยางให้ดีขึ้น โดยเดือกดันดิบทองดัวปรับปรุงนอนต์มอริลโลในค์ให้เหมาะสมกับยางธรรมชาติ เพื่อให้ดัวปรับปรุงเข้ากันได้ดีกับยางธรรมชาติและทำให้นอนต์มอริลโลในค์กระจายตัวในยางธรรมชาติได้ง่ายขึ้น

บรรณานุกรม

- [1] หน่วยทดลองในโลหะ, ชนิดของยางและการใช้งาน [ออนไลน์]. วันที่สืบค้น 16 เมษายน 2550.
ลิงก์ที่มา <http://rubber.sc.mahidol.ac.th/rubbertech/NR.htm>
- [2] อาจารย์ สมนึก เสาวภาคย์, “การศึกษาความต้านทานการกัดกร่อนของสารซัลเฟตของปูนซีเมนต์ ปอร์ทแลนด์ฟลัมเด็กดอยหรือเด็กเกลน”, วารสารมหาวิทยาลัยขอนแก่น 2 (2545) : 3-16.
- [3] Martin L Hall and William R Livingston, “Fly ash quality, past, present and future, and the effect of ash on the development of novel products”, Journal of Chemical Technology and Biotechnology, Vol. 77, (2002), 234-239.
- [4] N. Sombatsompop, S. Thongsang, T. Markpin and E. Wimolmala, “Fly Ash Particles and Precipitated Silica as Fillers in Rubbers. I. Untreated Fillers in Natural Rubber and Styrene Butadiene Rubber Compounds”, Journal of Applied Polymer Science, Vol. 93 (5) (2004), 2199-2130.
- [5] Nabil A. N. Alkadasi, D. G. Hundiwale and U. R. Kapadi, “Effect of Coupling Agent on the Mechanical Properties of Fly Ash–Filled Polybutadiene Rubber”, Journal of Applied Polymer Science, Vol. 91 (2004), 1322-1328
- [6] M. Arroyo, M.A. Lo’pez-Manchado and B. Herrero, “Organic-montmorillonite as substitute of carbon black in natural rubber compounds”, Journal of Polymer, Vol. 44 (2003), 2447–2453.
- [7] Sea-Fue Wang, Ming-Liang Lin, Yaw-Nan Shieh, Yuh-Ruey Wang and Shea-Jue Wang, “Organic modification of synthesized clay-magadiite”, Journal of Ceramic International, Vol. 33 (2007), 681-685.
- [8] พงษ์ธร แซ่จุบ, ยาง : ชนิด สมบัติ และการใช้งาน, พิมพ์ครั้งที่ 2. กรุงเทพมหานคร : ชีเอ็ค จำกัด, 2548
- [9] อิทธิพล แจ้งชัย, “เอกสารประกอบการสอนวิชา วิทยาศาสตร์และเทคโนโลยีในโลก”，ภาควิชา เภสัชวิทยาศาสตร์ สถาบันเทคโนโลยีพระจอมเกล้าฯ คุณทหารลาดกระบัง
- [10] Martin L Hall and William R Livingston, “Fly ash quality, past, present and future, and the effect of ash on the development of novel products”, Journal of Chemical Technology and Biology, Vol. 77 (2002), 234-239.

- [11] อาจารย์ สมนเสาวภาคย์, “การศึกษาความด้านท่านการกัดกร่อนของสารซัลเฟตของปูนซีเมนต์ บอร์ดแลนค์ผสมถ้าลอกหรือถ้าแกลบ”, วารสารวิจัยมหาวิทยาลัยขอนแก่น 2, ฉบับพิเศษ (2545) 21-25
- [12] หน่วยงานสารสนเทศ โรงไฟฟ้าแม่เมาะ, การนำถ้าลอกหินคิโน่ไปใช้ประโยชน์[ออนไลน์], วันที่สืบค้น 20 เมษายน 2550, สำเนาจาก <http://maemoh.egat.com/index.php>
- [13] พงษ์ธร แซ่ดุย, การใช้ชิลิกเป็นสารตัวเติมในยาง [ออนไลน์], วันที่สืบค้น 4 เมษายน 2550 , สำเนาจาก <http://www.rubbercenter.org/rubbertech/Silica.pdf>
- [14] S. Thongsang and N. Sombatsompop, “Effect of Filler Surface Treatment on Properties of Fly Ash/NR Blends”, The Society of Plastics Engineers: Annual Technical Conference, SPE ANTEC Technical Papers, 1-5 May 2005, Boston USA, 51, 2248-2252.
- [15] S. Thongsang and N. Sombatsompop, “Dynamic Rebound Behaviour of Silica/Natural Rubber Composites: Fly Ash Particles and Precipitated Silica Fillers”, Journal of Macromolecular Science. Part B: Physics, Vol. 46 (4) (2007), 825-840.
- [16] Suprakas Sinha Ray, Masami Okamoto, “Polymer/layered silicate nanocomposites: a review from preparation to processing”, Progress in Polymer Science, Vol. 28 (2003), 1539-1641.
- [17] Michael Alexandre, Philippe Dubois, “Polymer-layered silicate nanocomposites: preparation, properties and uses of a new class of materials”, Materials Science and Engineering A, Vol. 28 (2000), 1-63.
- [18] B. Yalcin, M. Cakmak, “The role of plasticizer on the exfoliation and dispersion and fracture behavior of clay particles in PVC matrix: a comprehensive morphological study”, Polymer, Vol. 45 (2004), 6623–6638.
- [19] Hartmut Fischer, “Polymer nanocomposites: from fundamental research to specific applications”, Journal of Materials Science and Engineering C, Vol. 23 (2003), 763–772.
- [20] J. Karger Kocsis, “Thermoset Rubber/Layered Silicate Nanocomposites. Status and Future Trends”, Polymer Engineering and Science, Vol. 44 (6) (2004), 1083-1093.

- [21] D. G. Hundiwale, U. R. Kapadi, M. C. Desai and S. H. Bidkar, "Mechanical Properties of Natural Rubber Filled with Flyash", Journal of Applied Polymer Science, Vol. 85 (2002), 995–1001.
- [22] S. Mishra, S. H. Sonawane, N. Badgujar, K. Gurav and D. Patil, "Comparative Study of the Mechanical and Flame-Retarding Properties of Polybutadiene Rubber Filled with Nanoparticles and Fly Ash", Journal of Applied Polymer Science, Vol. 96 (2005), 6–9.
- [23] S. Thongsang and N. Sombatsompop, "Effect of NaOH and Si69 Treatments on the Properties of Fly Ash Filled NR Composites", Polymer Composites, Vol. 27 (1) (2006), 30-40.
- [24] S. Thongsang and N. Sombatsompop, "Reinforcement of Natural Rubber with Fly Ash from Different Local Sources", Suranaree Journal of Science & Technology, Vol. 14 (1) (2007), 77-89.
- [25] A. R. R. Menon, T. A. Sonia and J. D. Sudha, "Studies on Fly-Ash-Filled Natural Rubber Modified with Cardanol Derivatives: Processability, Mechanical Properties, Fracture Morphology, and Thermal Decomposition Characteristics", Journal of Applied Polymer Science, Vol. 102 (2006), 4801–4808.
- [26] K. Grade, W. J. McGill and C. D. Woolard, "Surface Modification of Fly Ash-Characterisation and Evaluation as Reinforcing Filler in Polyisoprene", Plastic, Rubber and composites, Vol. 28(1) (1999), 1-10
- [27] Da Costa, H.M., Visconte. L. L. Y., Nunes, R. C. R. and Furtado. C. R. G., "The Effect of Coupling Agent and Chemical Treatment on Rice Husk Ash-Filled Natural Rubber Composites", Journal of Applied Polymer Science, Vol. 76 (2000), 1019-1027.
- [28] Chuayjuljit S., Eiumoh S., and Potiyaraj P., "Using Silica from Rice Husk as a Reinforcing Filler in Natural Rubber", Journal of Scientific Research Chulalongkorn University, Vol. 26 (2001), 127-138.
- [29] Magaraphan R., Thaijaroen W., and Lim-Ochakun R., "Structure and properties of natural rubber and modified montmorillonite nanocomposites", Polymer Chemistry and Technology, Vol. 76 (2003), 406-418.

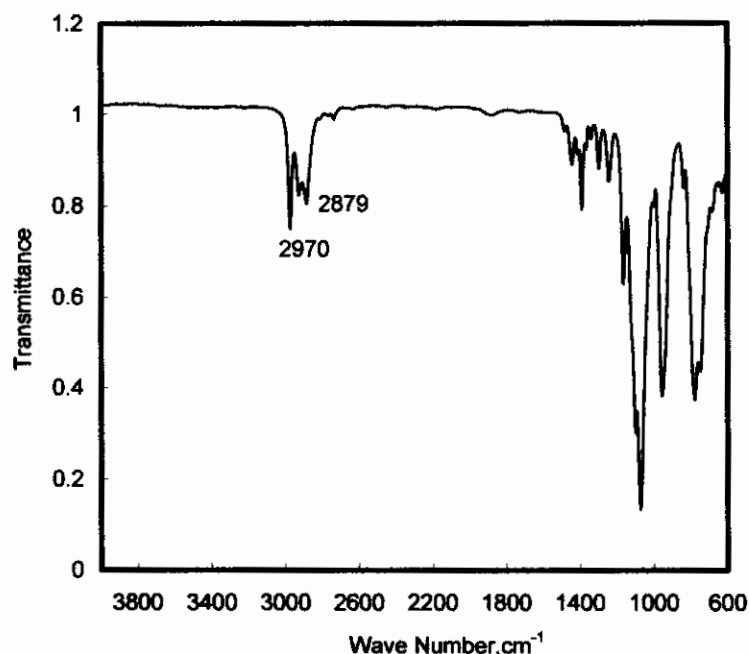
- [30] Teh, P.L., Ishak, Z.A.M., A.S., Karger-Kocsis, J., Ishiaku, U.S. "Effect of exoxidized natural rubber as a compatibilizer in melt compounded natural rubber-organoclay nanocomposites", European Polymer Journal, Vol. 40 (2004), 2513-2521.
- [31] P. Bala, B. K. Samantaray, S. K. Srivastava and G. B. Nando, "Organomodified Montmorillonite as Filler in Natural and Synthetic Rubber", Journal of Applied Polymer Science, Vol. 92 (2004), 3583–3592.
- [32] Siby Varghese and J. Karger-Kocsis, "Melt-Compounded Natural Rubber Nanocomposites with Pristine and Organophilic Layered Silicates of Natural and Synthetic Origin", Journal of Applied Polymer Science, Vol. 91 (2004), 813–819.
- [33] K. N. Madhusoodanan and Siby Varghese, "Technological and Processing Properties of Natural Rubber Layered Silicate-Nanocomposites by Melt Intercalation Process", Journal of Applied Polymer Science, Vol. 102 (2006), 2537–2543.
- [34] Fluka, Laboratory chemicals and Analytical Reagents, 2005.
- [35] Annual Book of ASTM StandardsASTM, "Standard Test Method for Tensile Properties of Plastics By Use of Microtensile Specimens", D1708-02, Vol. 08.01 (2005).
- [36] Annual Book of ASTM StandardsASTM, "Test Method for Tear Strength of Conventional Vulcanized Rubber and Thermoplastic Elastomers", D0624-00, Vol. 08.01 (2005).
- [37] Annual Book of ASTM StandardsASTM, "Test Method for Rubber Property-Durometer Hardness", D2240-97, Vol. 08.01 (2005).
- [38] Weihong Xuea, Hongping Hea, Jianxi Zhua and Peng Yuan, "FTIR investigation of CTAB-Al-montmorillonite complexes", Spectrochimica Acta Part A, Vol. 67 (2007), 1030–1036.
- [39] Yang Yu-Fen, Gai Guo-Sheng, Cai Zhen-Fang and Chen Qing-Ru, "Surface modification of purified fly ash and application in polymer", Journal of Hazardous Materials, Vol. B133 (2006), 276–282.
- [40] M. A. Lo'pez-Manchado, M. Arroyo, B. Herrero and J. Biagiotti, " Vulcanization Kinetics of Natural Rubber-Organoclay Nanocomposites", Journal of Applied Polymer Science, Vol. 89 (2003), 1–15.

- [41] Lopez-Manchado, M.A., B. Herrero, and M. Arroyo, "Preparation and characterization of organoclay nanocomposites based on natural rubber", Polymer International, Vol. 52 (7) (2003), 1070-1077.
- [42] Pongdhorn Sae-ouia, Chakrit Sirisinha, Kannika Hatthapanit and Uthai Thepsuwan, "Comparison of reinforcing efficiency between Si-69 and Si-264 in an efficient vulcanization system", Polymer Testing, Vol. 24 (2005), 439-446.
- [43] Konstantinos G. Gatos and Jo'zsef Karger-Kocsis, "Effects of primary and quaternary amine intercalants on the organoclay dispersion in a sulfur-cured EPDM rubber", Polymer, Vol. 46 (2005), 3069-3076.
- [44] Yiu-Wing Mai and Zhong-Zhen Yu, 1st. Polymer nanocomposites, England: Woodhead Publishing Limited, 2006.
- [45] Tushar Mandalia, Fai'za Bergaya, "Organic clay mineral-melted polyolefin nanocomposites Effect of surfactant/CEC ratio", Journal of Physics and Chemistry of Solids, Vol. 67 (2006), 836-845.
- [46] Yiqing Wang, Hufeng Zhang, Youping Wu, Jun Yang, and Liqun Zhang, "Structure and Properties of Strain-Induced CrystallizationRubber-Clay Nanocomposites by Co-coagulating the Rubber Latex and Clay Aqueous Suspension", Journal of Applied Polymer Science, Vol. 96 (2005), 318-323.
- [47] Jamaliah Sharifa, Wan Md Zin Wan Yunusa, Khairul Zaman Hj. Mohd Dahlarb and Mansor Hj Ahmada, "Preparation and properties of radiation crosslinked natural rubber/clay nanocomposites", Polymer Testing, Vol. 24 (2005), 211-217.
- [48] J.Y. Lee and H.K. Lee, "Characterization of organobentonite used for polymer nanocomposites", Materials Chemistry and Physics, Vol. 85 (2004), 410-415.
- [49] Qing-Xiu Jia, You-Ping Wu, Yi-Qing Wang, Ming Lu and Li-Qun Zhang, "Enhanced interfacial interaction of rubber/clay nanocomposites by a novel two-step method", Composites Science and Technology, (2007).

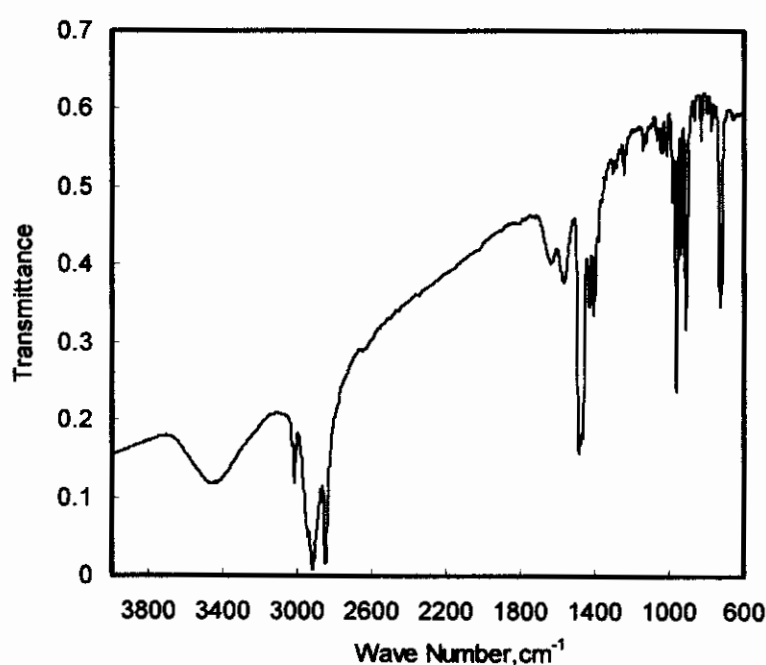
ภาคผนวก

ภาคผนวก ก
ข้อมูลการทดสอบจากเทคนิคต่างๆ

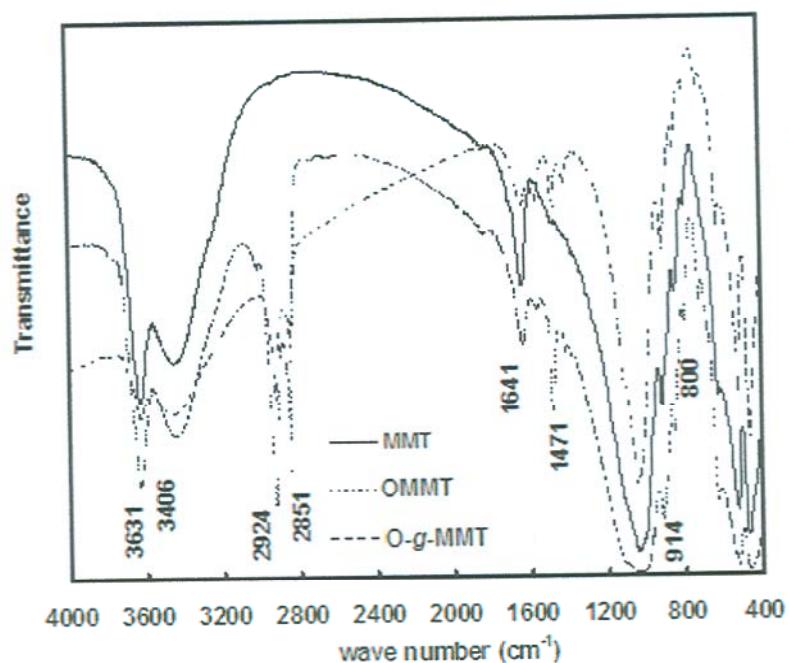
1. กราฟแสดงการตรวจสอบด้วยเทคนิค FTIR



รูปที่ ก1 กราฟ FTIR ของ Si-69

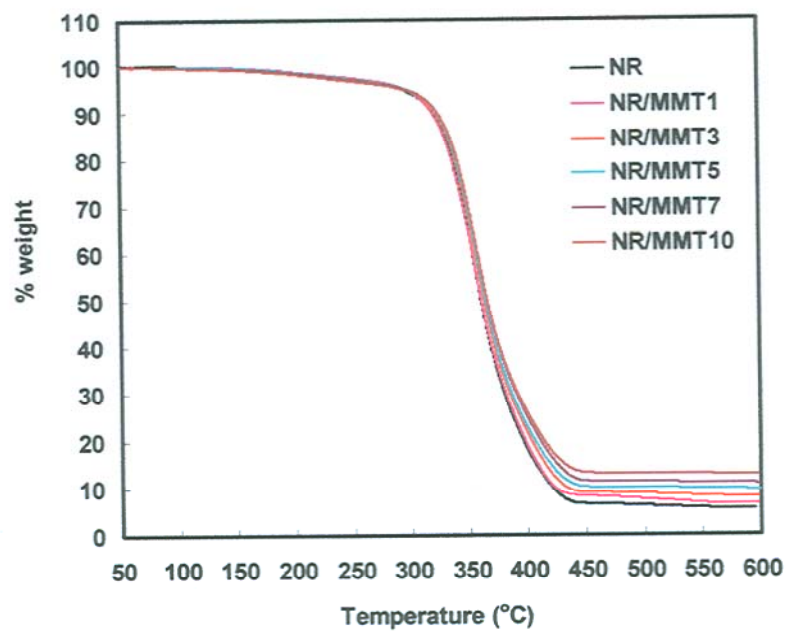


รูปที่ ก2 กราฟ FTIR ของ CTAB

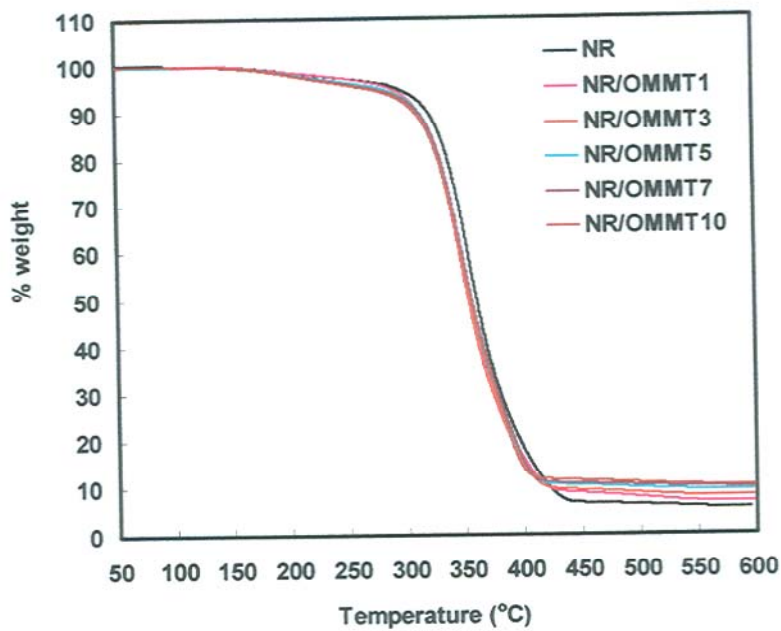


รูปที่ ก3 กราฟ FTIR ของ MMT, OMMT และ O-g-MMT

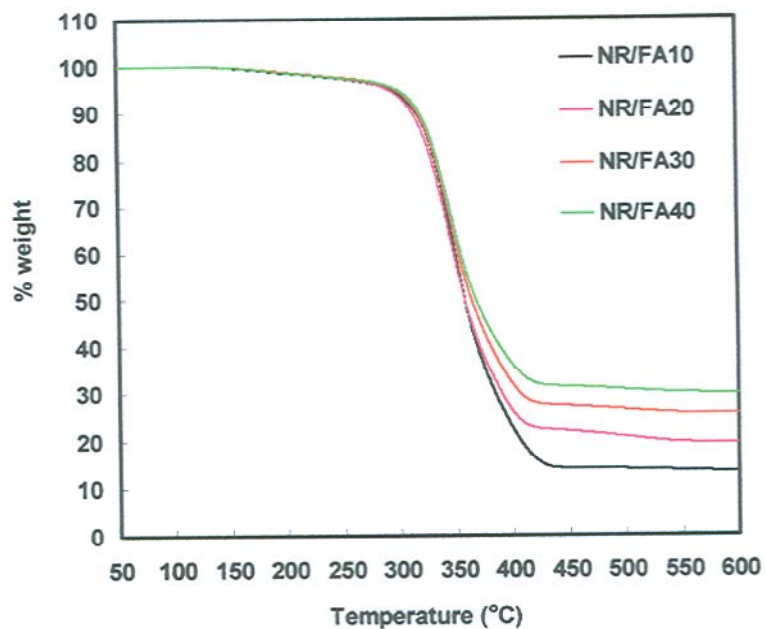
2. กราฟแสดงการทดสอบสมบัติเชิงความร้อนด้วยเทคนิค TGA



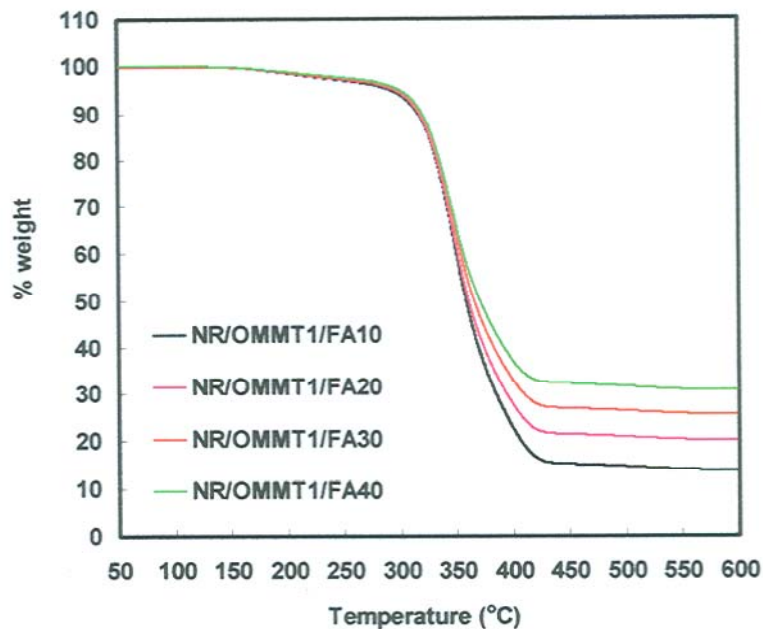
รูปที่ ก4 กราฟ TGA ของวัสดุสมาร์ทว่างยางธรรมชาติและมอนต์มอริลโลในต์



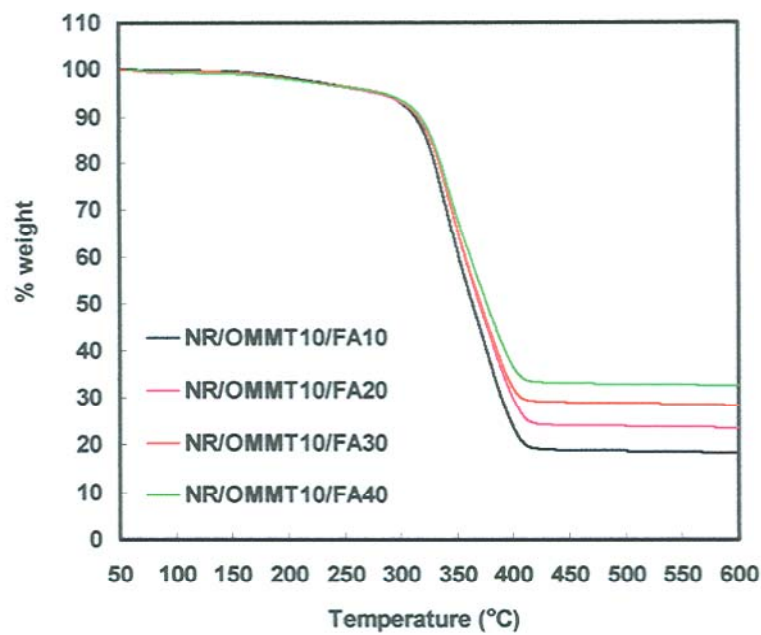
รูปที่ ก5 กราฟ TGA ของวัสดุสมรรถว่างยางธรรมชาติและออร์แกโนมอนค์มอริลโลในต์



รูปที่ ก6 กราฟ TGA ของวัสดุสมรรถว่างยางธรรมชาติและถ้าโลย

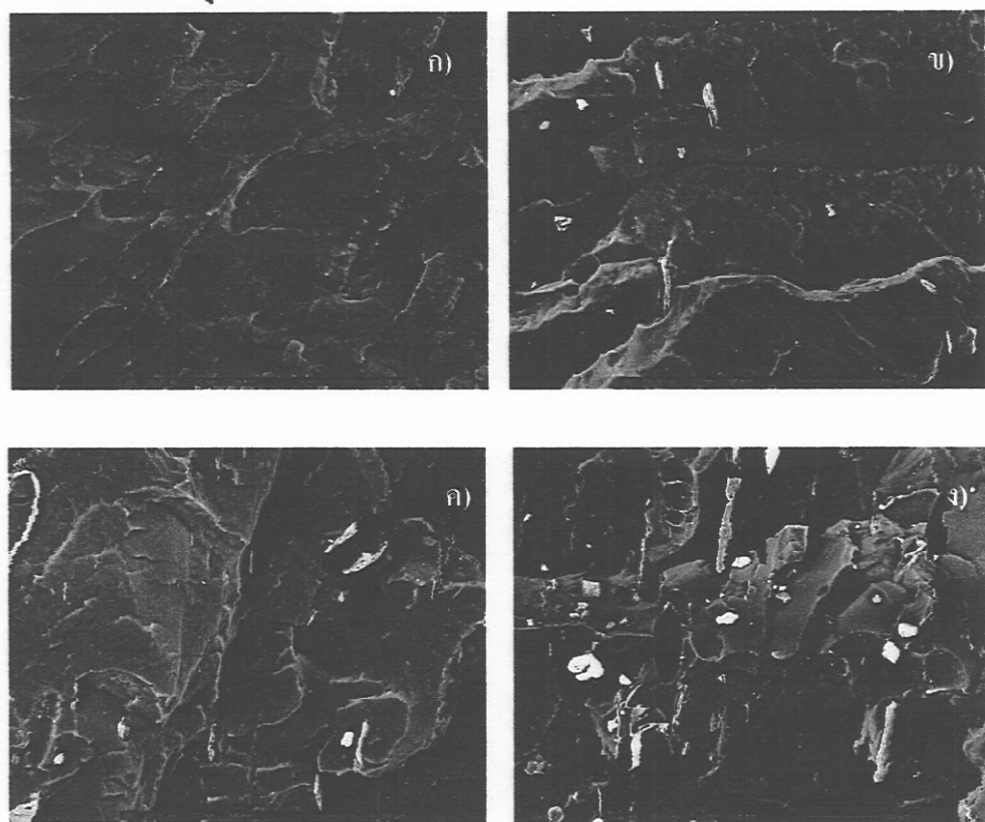


รูปที่ ก7 กราฟ TGA ของวัสดุสมรรถนะของยางธรรมชาติและถ้า含有ที่มีการเติม
ออร์แกโนนอนต์มอริล โลในต์ปริมาณ 1 phr

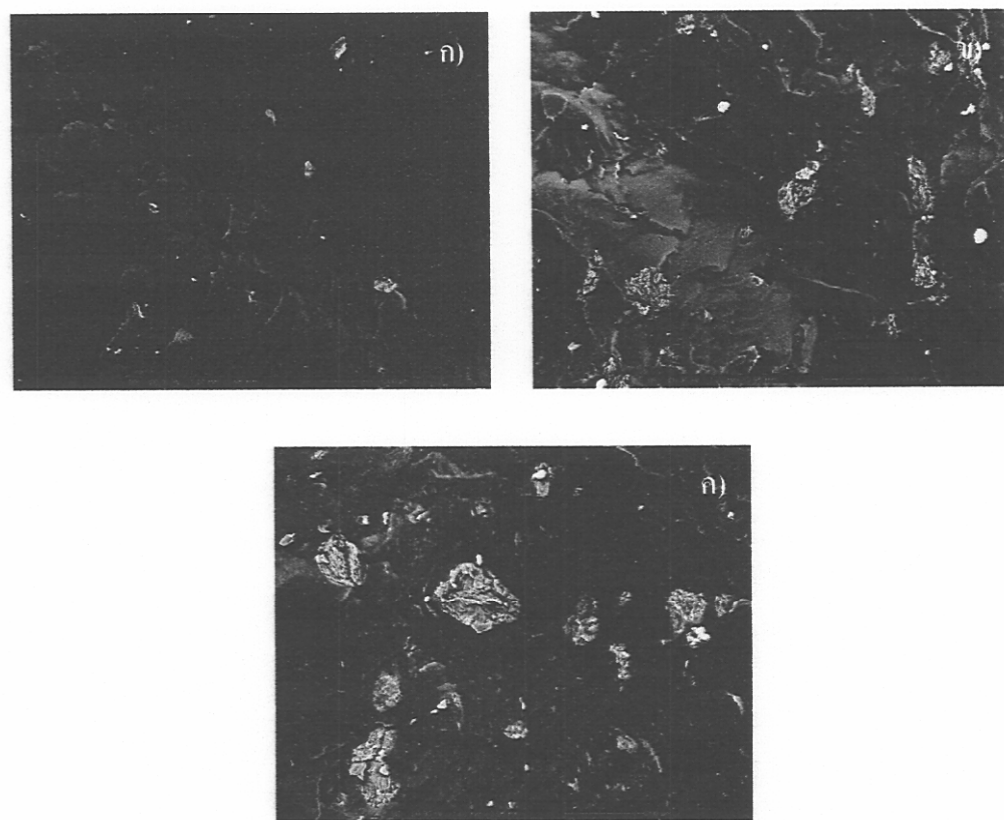


รูปที่ ก8 กราฟ TGA ของวัสดุสมรรถนะของยางธรรมชาติและถ้า含有ที่มีการเติม
ออร์แกโนนอนต์มอริล โลในต์ปริมาณ 10 phr

3. ภาพ SEM ของวัสดุคอมโพสิต

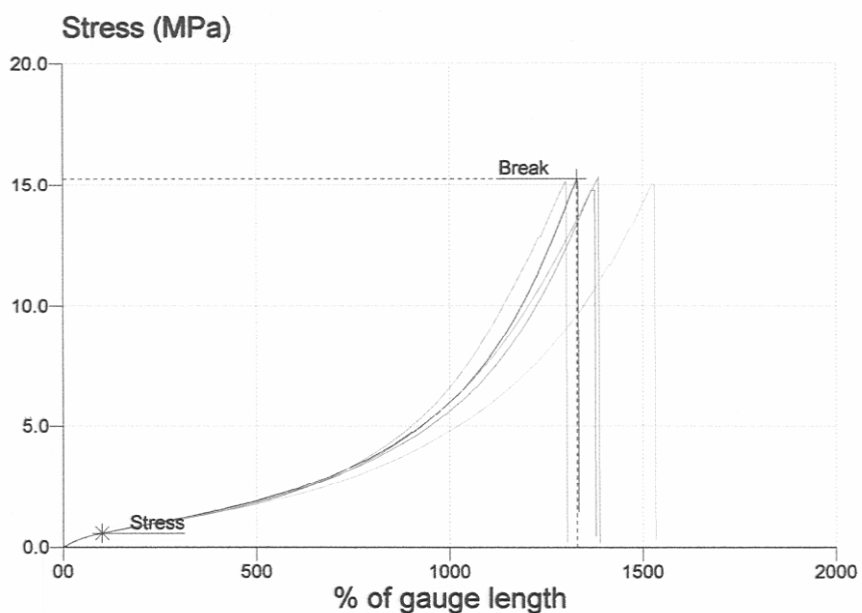


รูปที่ ก9 ภาพ SEM ของวัสดุผสมระหว่างยางธรรมชาติและมอนต์morilโลในตีที่ปริมาณ
ก) 0 phr ข) 1 phr ค) 5 phr ง) 10 phr กำลังขยาย 100 เท่า

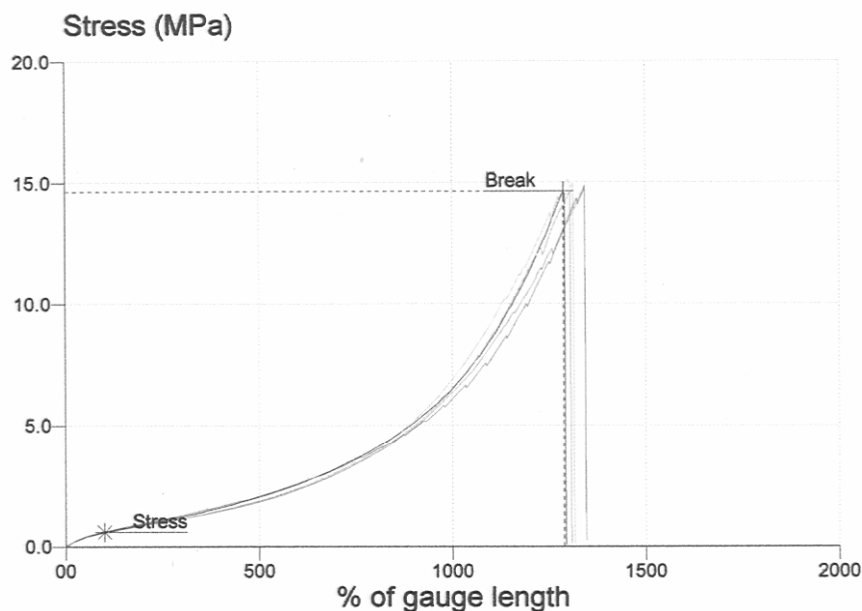


รูปที่ ก10 ภาพ SEM ของวัสดุพสมะห่วงยางธรรมชาติและออร์เกโนมอนต์นอริล โลไมต์
ที่ปริมาณ ก) 1 phr ข) 5 phr ค) 10 phr กำลังขยาย 100 เท่า

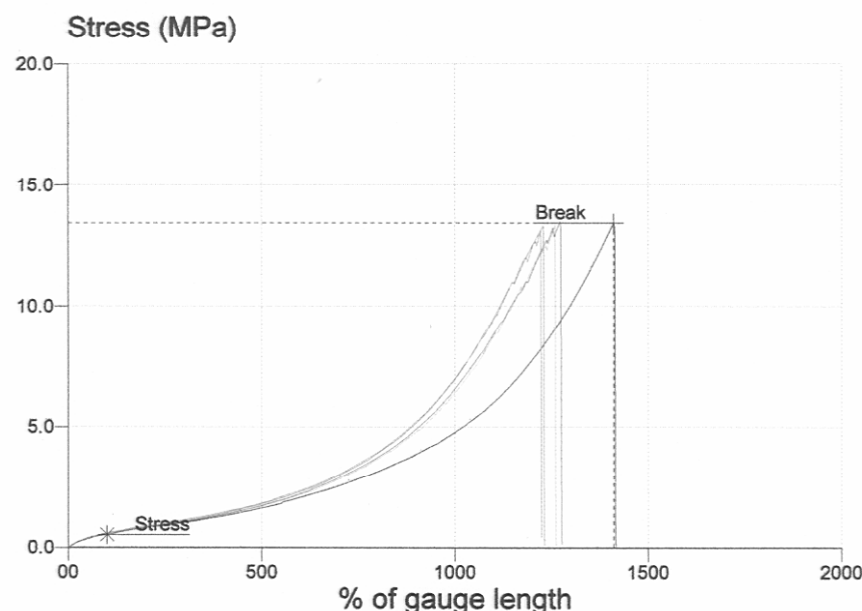
4. กราฟแสดงการทดสอบสมบัติการดึงยืด



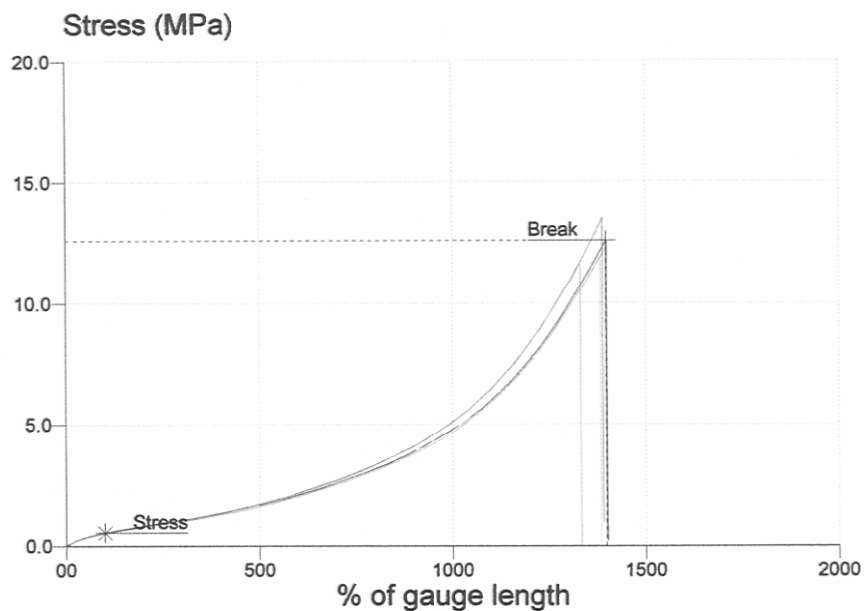
รูปที่ ก11 กราฟการทดสอบสมบัติการดึงยืดของยางธรรมชาติวัลคาเร่ในชี้



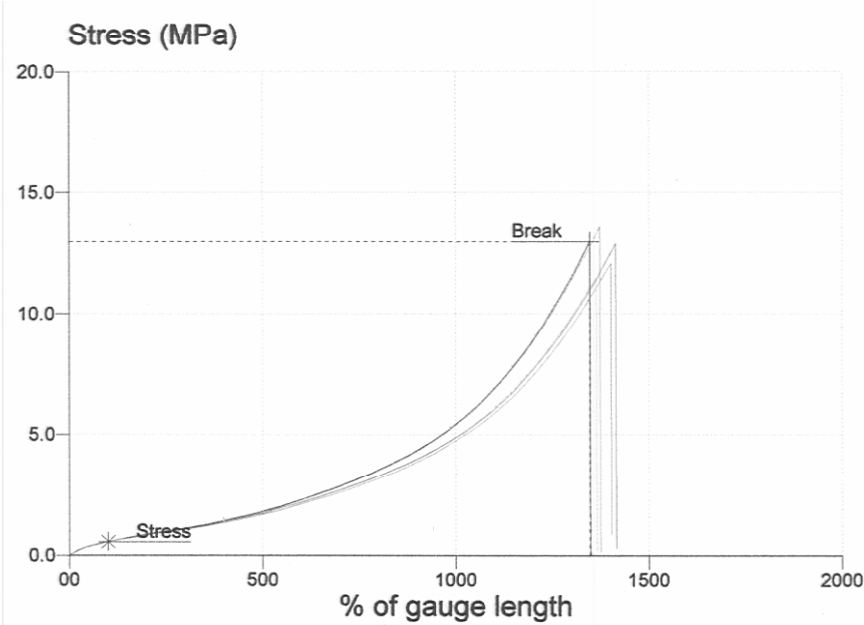
รูปที่ ก12 グラフการทดสอบสมบัติการดึงยืดของวัสดุสมรรถนะห่วงยางธรรมชาติและ
มอนต์มอริลโลในต์ที่ปริมาณ 1 phr



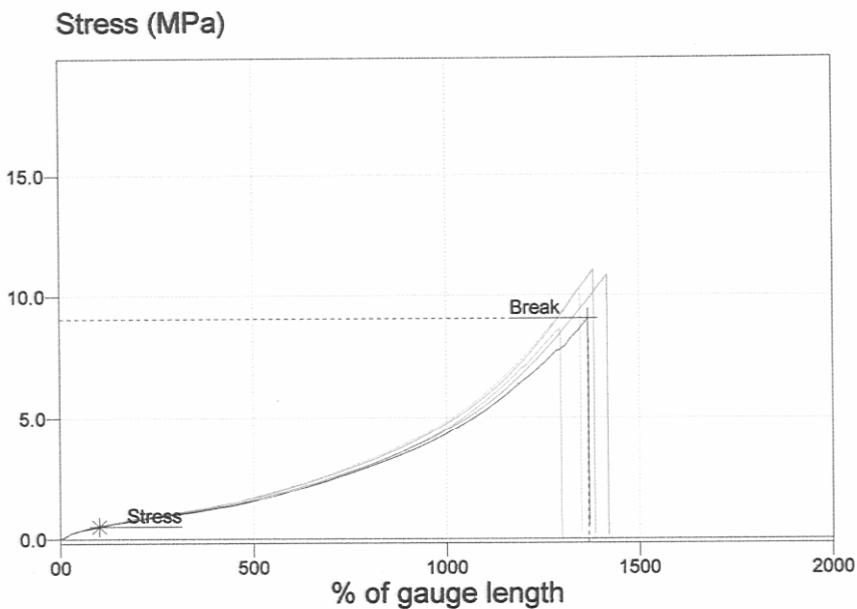
รูปที่ ก13 グラฟการทดสอบสมบัติการดึงยืดของวัสดุสมรรถนะห่วงยางธรรมชาติและ
มอนต์มอริลโลในต์ที่ปริมาณ 3 phr



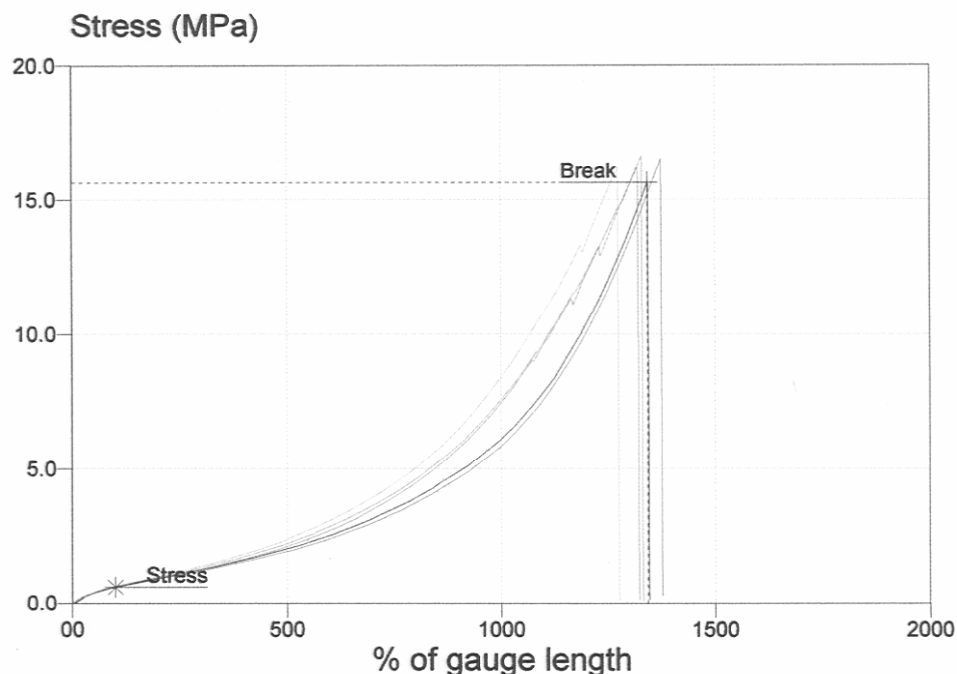
รูปที่ ก14 กราฟการทดสอบสมบัติการดึงยืดของวัสดุสมรรถห่วงยางธรรมชาติและ
มอนต์มอริลโลไนต์ที่ปริมาณ 5 phr



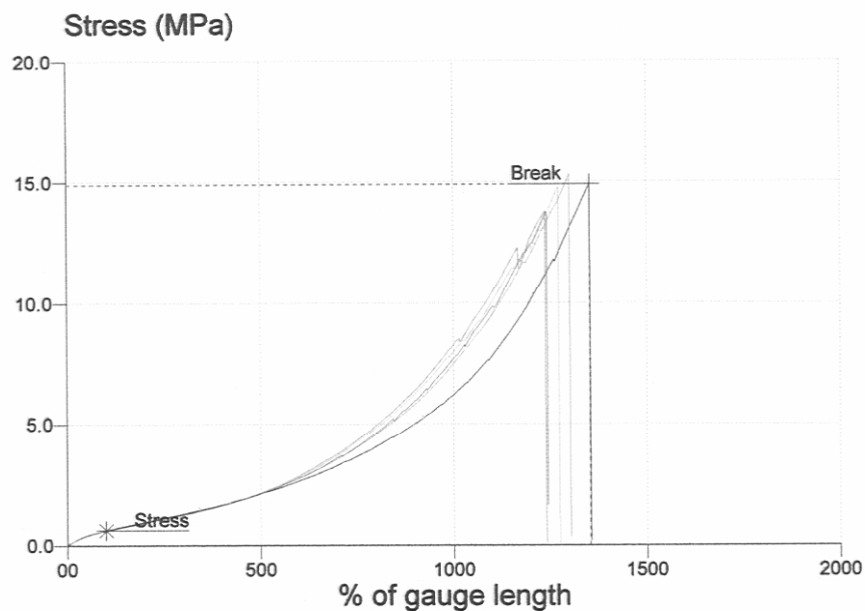
รูปที่ ก15 กราฟการทดสอบสมบัติการดึงยืดของวัสดุสมรรถห่วงยางธรรมชาติและ
มอนต์มอริลโลไนต์ที่ปริมาณ 5 phr



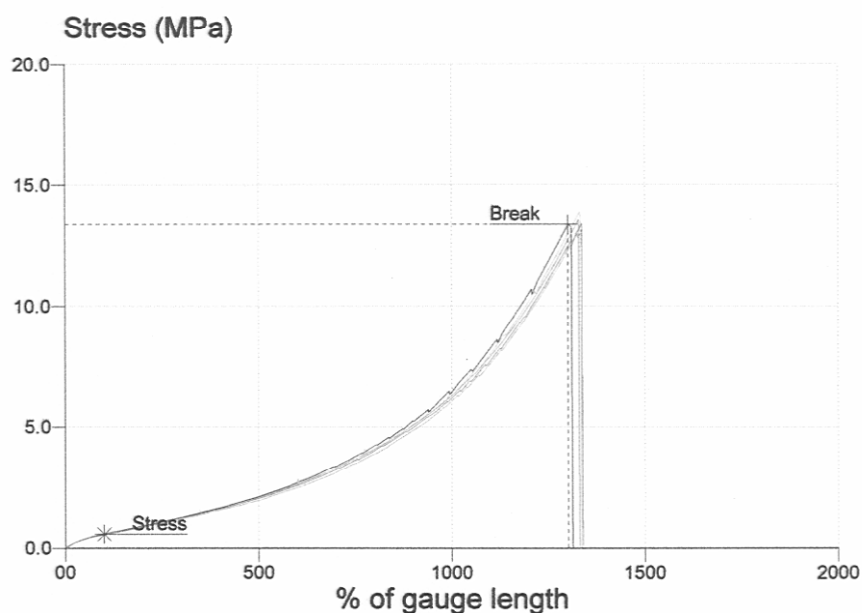
รูปที่ ก16 グラフการทดสอบสมบัติการดึงยืดของวัสดุสมรรถนะว่างยางธรรมชาติและ
มอนต์มอริล โลไม้ต์ที่ปริมาณ 5 phr



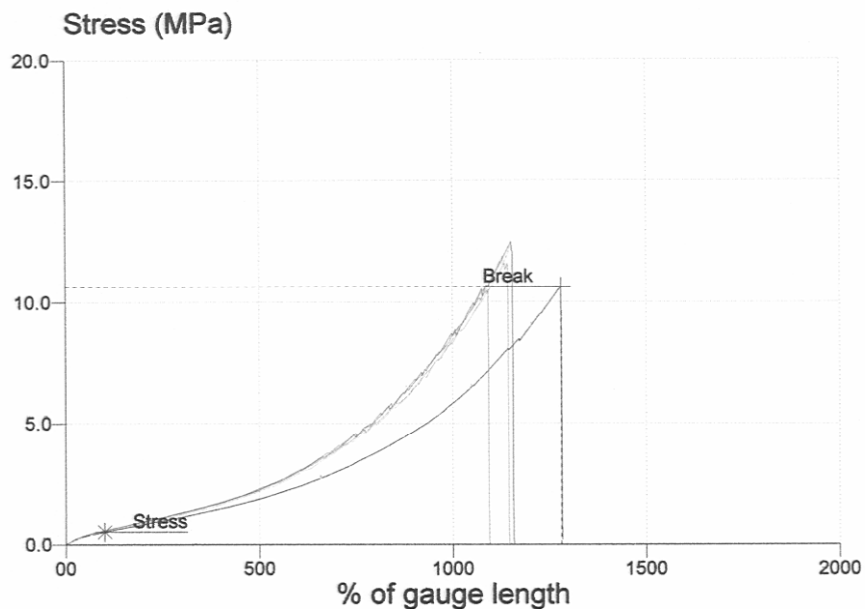
รูปที่ ก17 グラฟการทดสอบสมบัติการดึงยืดของวัสดุสมรรถนะว่างยางธรรมชาติและ
ออร์แกโนน มอนต์มอริล โลไม้ต์ที่ปริมาณ 1 phr



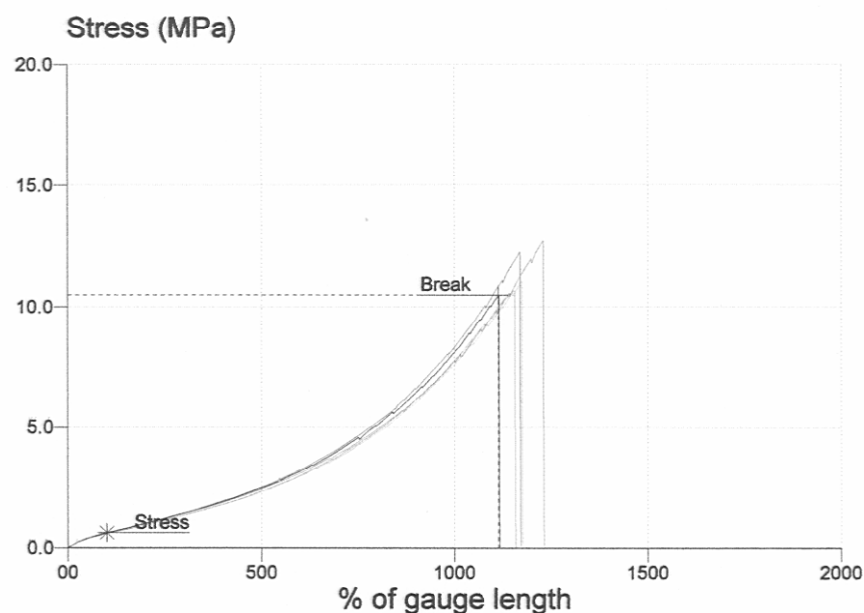
รูปที่ ก18 กราฟการทดสอบสมบัติการดึงยืดของวัสดุสมรรถห่วงยางธรรมชาติและ
ออร์แกโนนอนต์มอริลโลในต์ที่ปริมาณ 3 phr



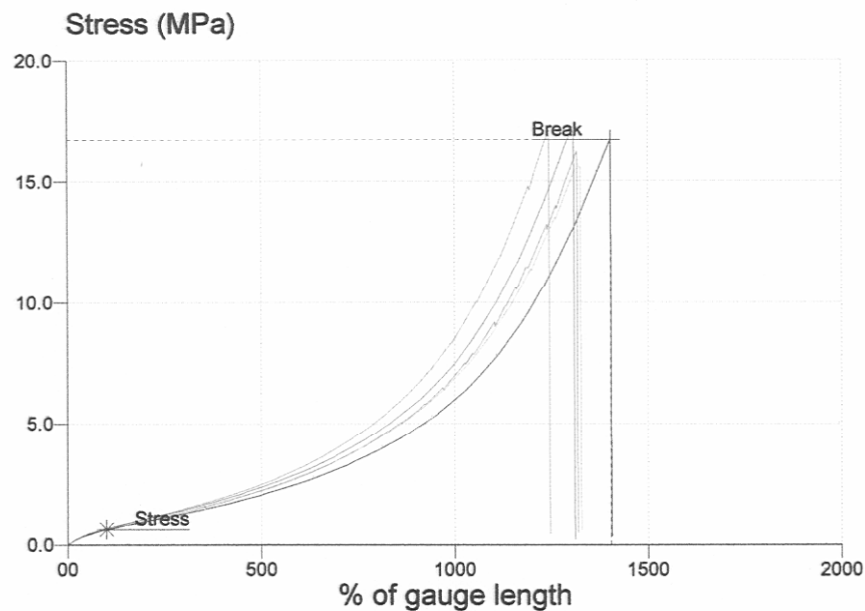
รูปที่ ก19 กราฟการทดสอบสมบัติการดึงยืดของวัสดุสมรรถห่วงยางธรรมชาติและ
ออร์แกโนนอนต์มอริลโลในต์ที่ปริมาณ 5 phr



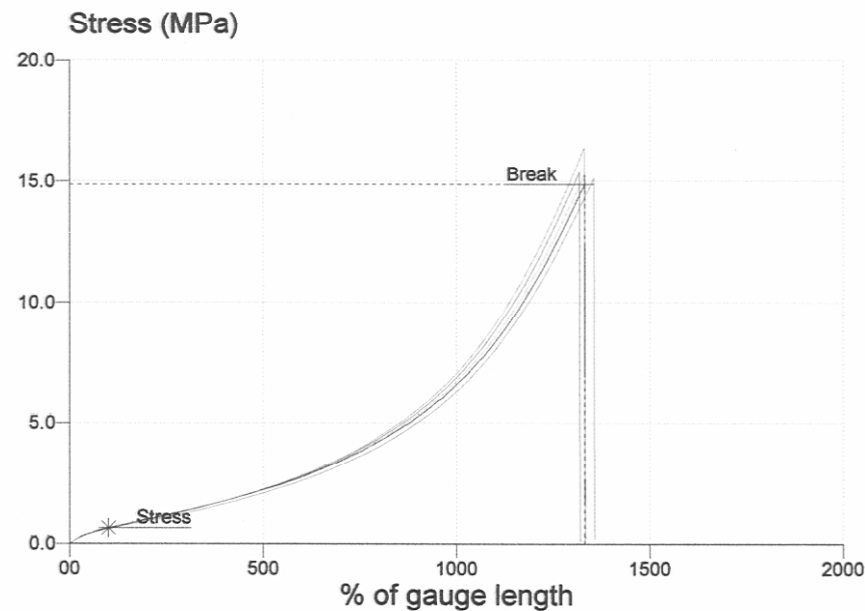
รูปที่ ก20 กราฟการทดสอบสมบัติการดึงขึ้นของวัสดุผสมระหว่างยางธรรมชาติและ
ออร์แกโนมอนต์มอริลโลไม้ที่ปริมาณ 7 phr



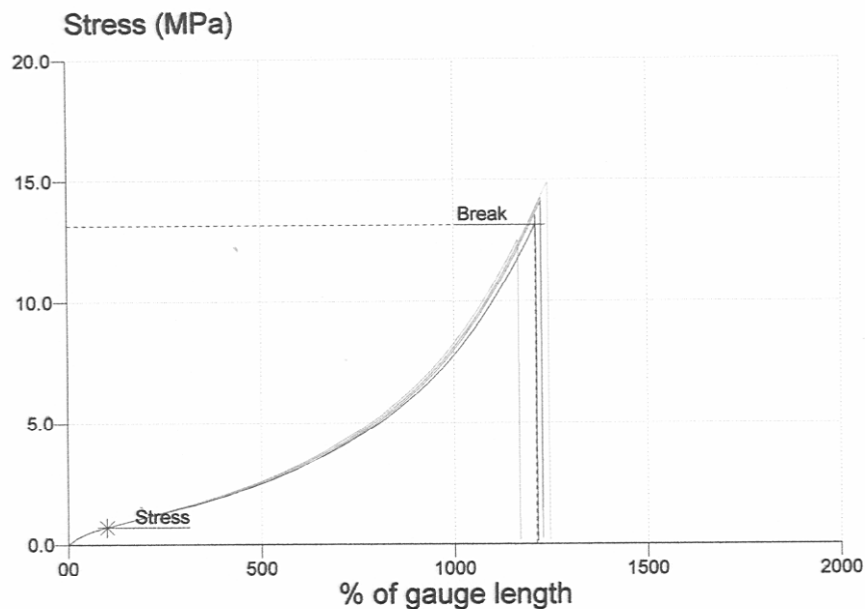
รูปที่ ก21 กราฟการทดสอบสมบัติการดึงขึ้นของวัสดุผสมระหว่างยางธรรมชาติและ
ออร์แกโนมอนต์มอริลโลไม้ที่ปริมาณ 10 phr



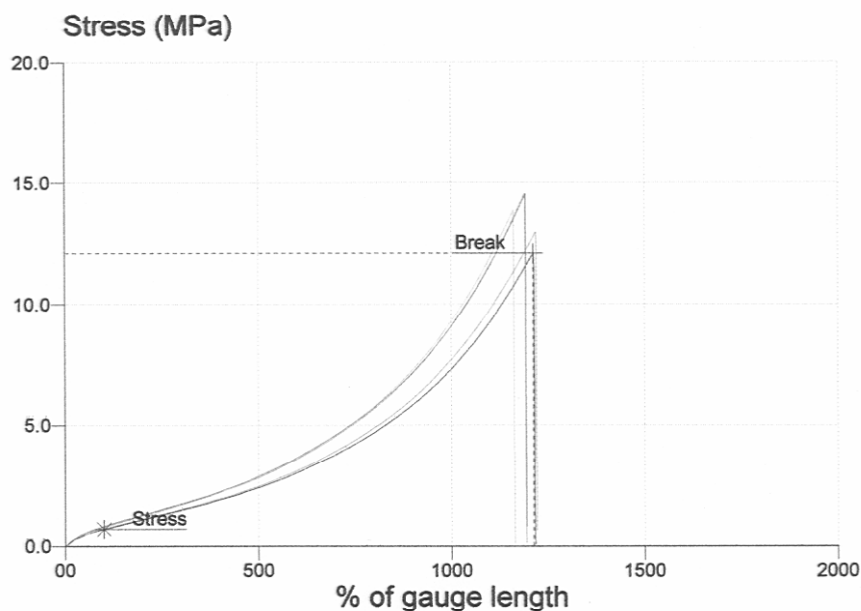
รูปที่ ก22 กราฟการทดสอบสมบัติการดึงยืดของวัสดุสมรรถนะว่างยางธรรมชาติและ
ถ้าloyที่ปริมาณ 10 phr



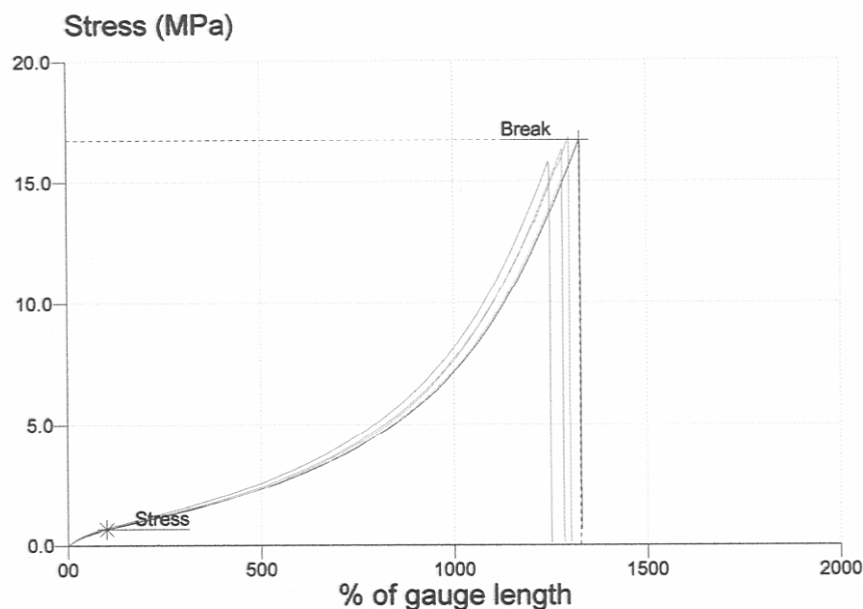
รูปที่ ก23 กราฟการทดสอบสมบัติการดึงยืดของวัสดุสมรรถนะว่างยางธรรมชาติและ
ถ้าloyที่ปริมาณ 20 phr



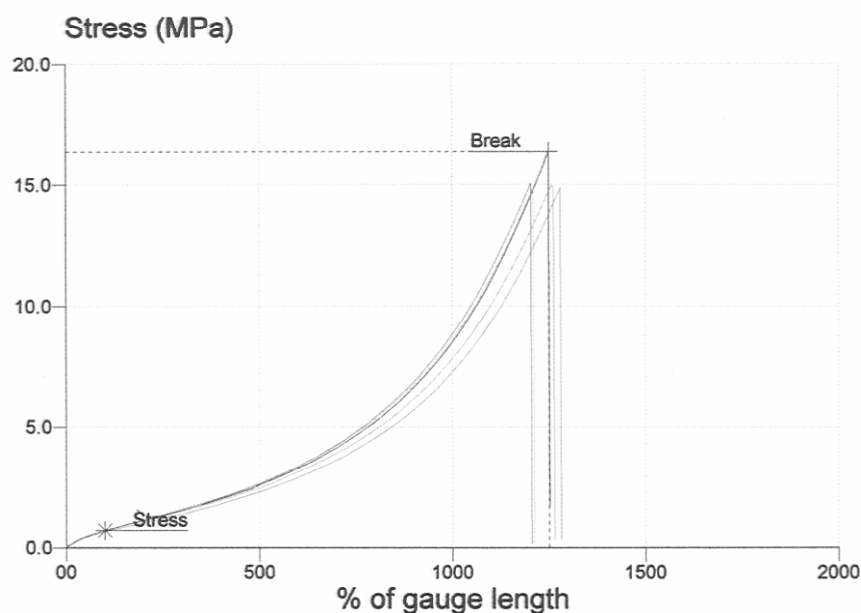
รูปที่ ก24 กราฟการทดสอบสมบัติการดึงยืดของวัสดุสมรรถนะว่างยางธรรมชาติและ
ເຄົາລອຍທີ່ປັນມານ 30 phr



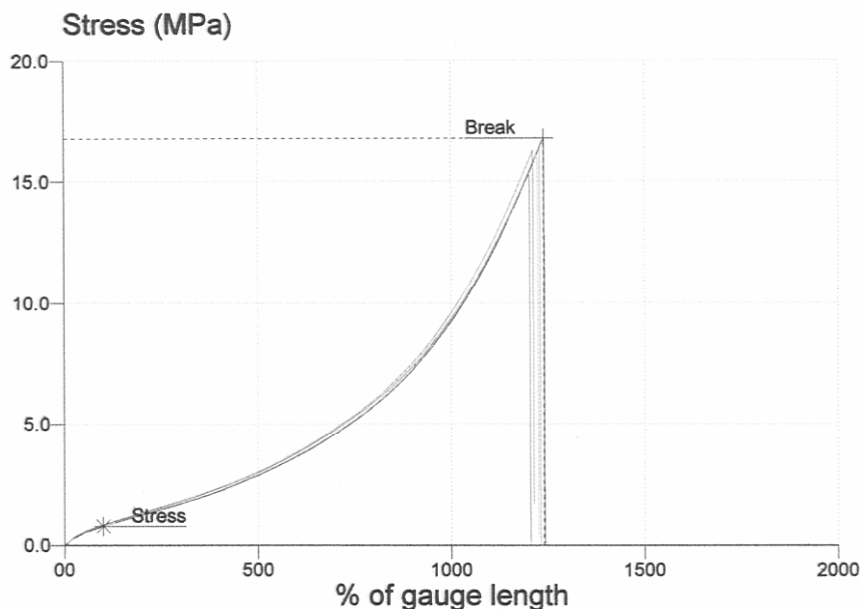
รูปที่ ก25 กราฟการทดสอบสมบัติการดึงยืดของวัสดุสมรรถนะว่างยางธรรมชาติและ
ເຄົາລອຍທີ່ປັນມານ 40 phr



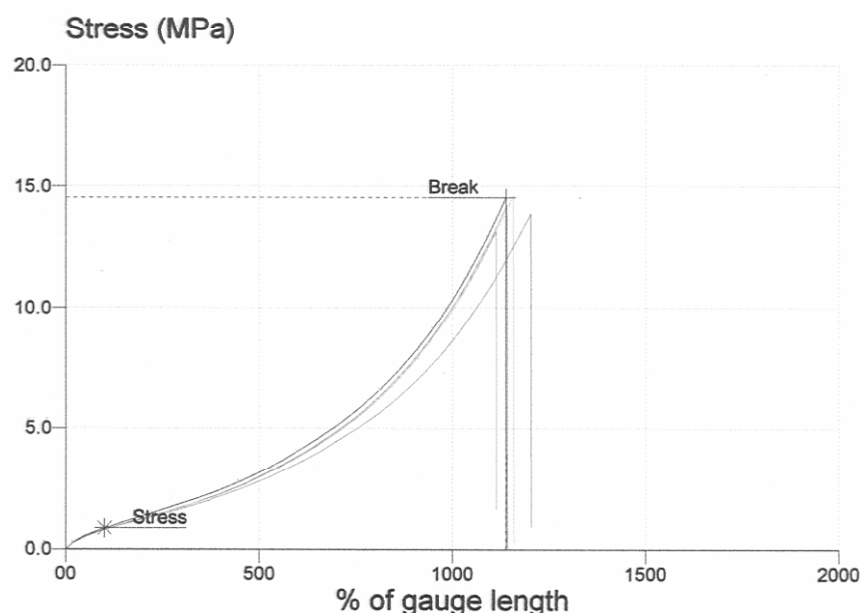
รูปที่ ก26 กราฟการทดสอบสมบัติการคึ่งยีดของวัสดุสมรรถห่วงยางธรรมชาติและ เถ้าloyที่ปริมาณ 10 phr ที่มีการเติมออร์แกโนนอนต์มอริลโลไม้ที่ปริมาณ 1 phr



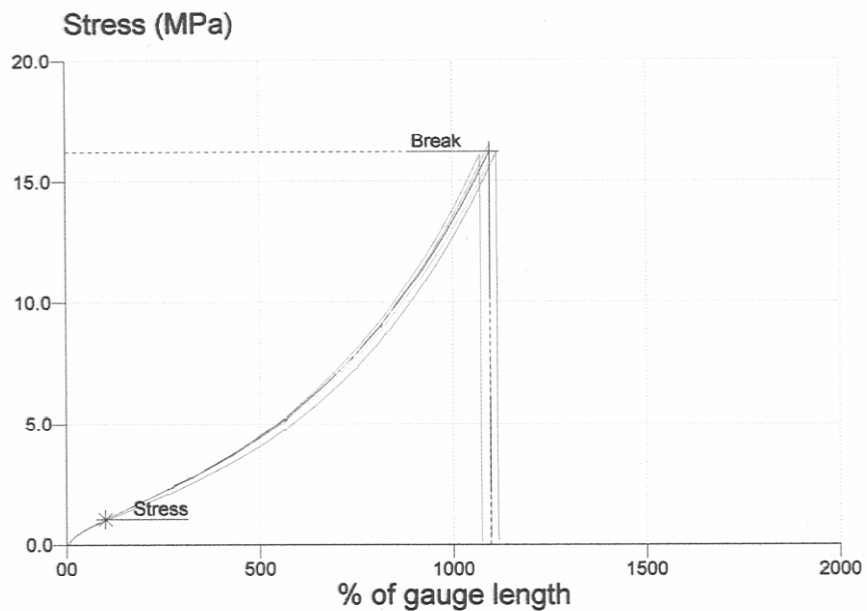
รูปที่ ก27 กราฟการทดสอบสมบัติการคึ่งยีดของวัสดุสมรรถห่วงยางธรรมชาติและ เถ้าloyที่ปริมาณ 20 phr ที่มีการเติมออร์แกโนนอนต์มอริลโลไม้ที่ปริมาณ 1 phr



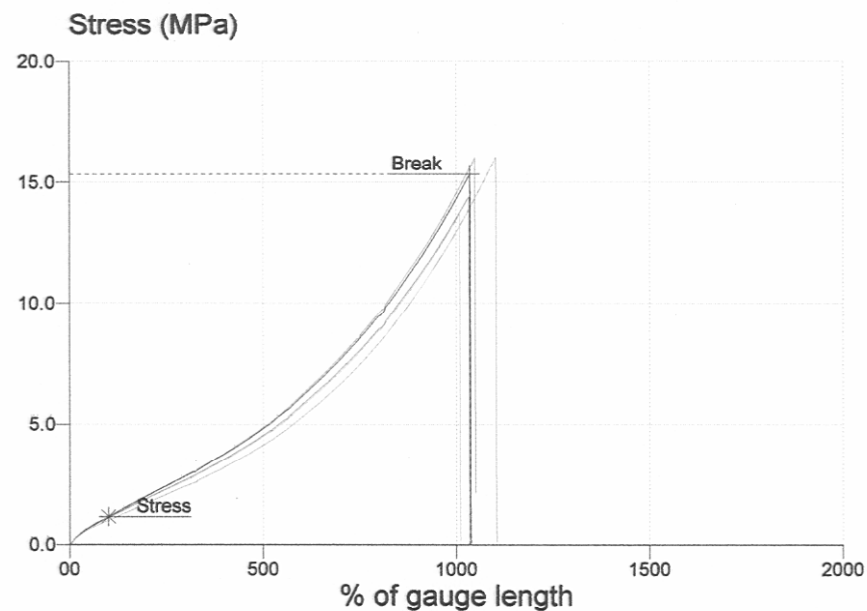
รูปที่ ก28 กราฟการทดสอบสมบัติการดึงยืดของวัสดุสมรรถนะว่างยางธรรมชาติและ เถ้าอยที่ปริมาณ 30 phr ที่มีการเติมออร์เกโนมอนต์มอริลโลไมต์ที่ปริมาณ 1 phr



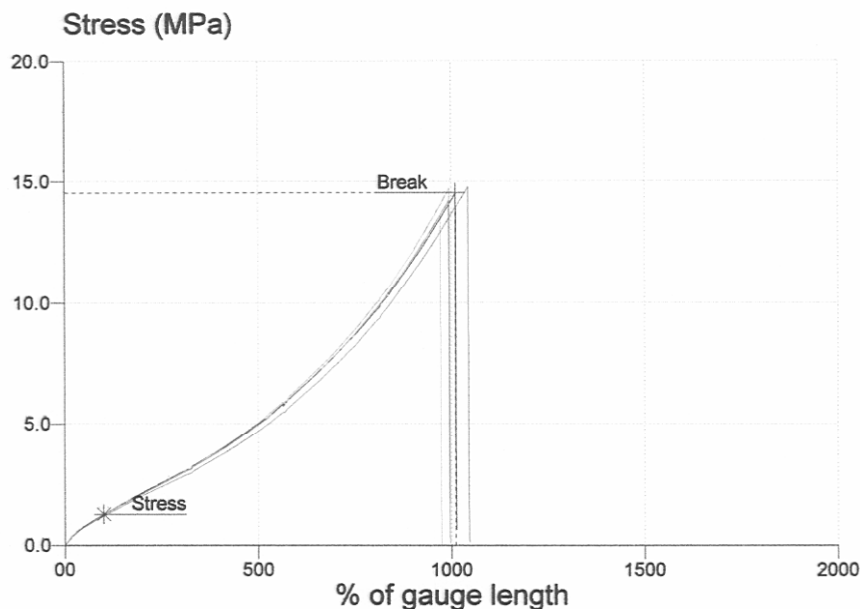
รูปที่ ก29 กราฟการทดสอบสมบัติการดึงยืดของวัสดุสมรรถนะว่างยางธรรมชาติและ เถ้าอยที่ปริมาณ 40 phr ที่มีการเติมออร์เกโนมอนต์มอริลโลไมต์ที่ปริมาณ 1 phr



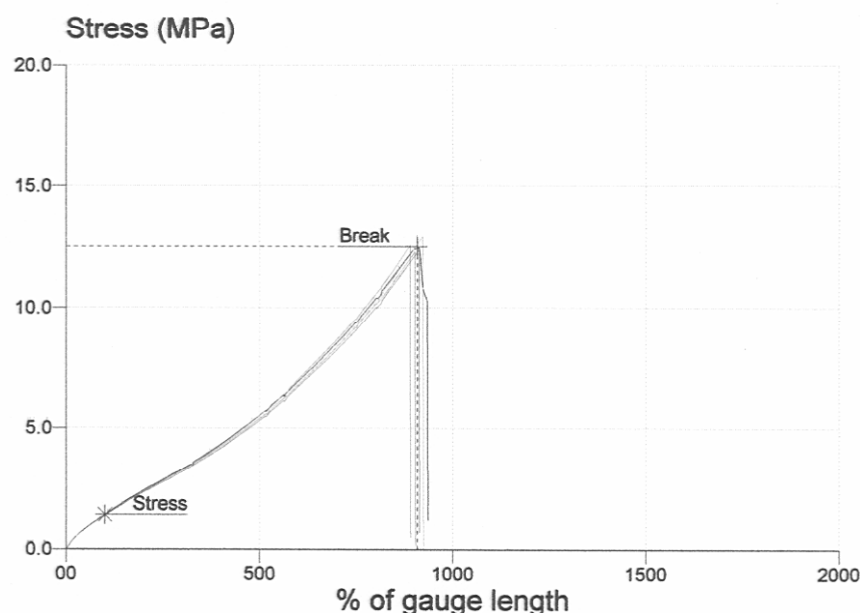
รูปที่ ก30 グラフการทดสอบสมบัติการดึงขึ้นของวัสดุพาราฟลูอีดีเจวิชั่นชาร์จด้วยไครสตัลและ เก้าเลอยที่ปริมาณ 10 phr ที่มีการเติมออร์แกโนมอนต์มอริลโลไนต์ที่ปริมาณ 10 phr



รูปที่ ก31 グラฟการทดสอบสมบัติการดึงขึ้นของวัสดุพาราฟลูอีดีเจวิชั่นชาร์จด้วยไครสตัลและ เก้าเลอยที่ปริมาณ 20 phr ที่มีการเติมออร์แกโนมอนต์มอริลโลไนต์ที่ปริมาณ 10 phr

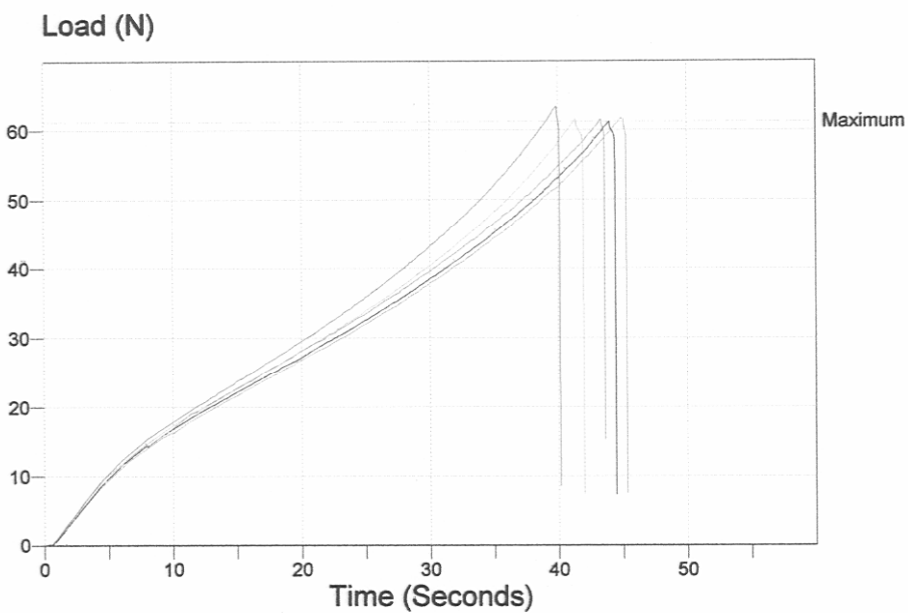


รูปที่ ก32 กราฟการทดสอบสมบัติการดึงยืดของวัสดุสมรรถนะว่างยางธรรมชาติและถักคลอยที่ปริมาณ 30 phr ที่มีการเติมออร์แกโนนอยอนต์มอริลโลไนต์ที่ปริมาณ 10 phr

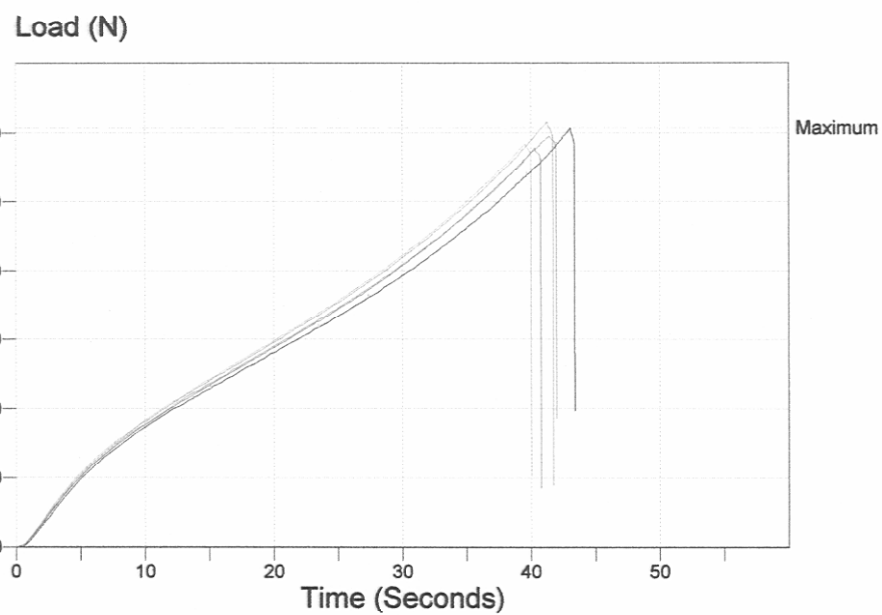


รูปที่ ก33 กราฟการทดสอบสมบัติการดึงยืดของวัสดุสมรรถนะว่างยางธรรมชาติและถักคลอยที่ปริมาณ 40 phr ที่มีการเติมออร์แกโนนอยอนต์มอริลโลไนต์ที่ปริมาณ 10 phr

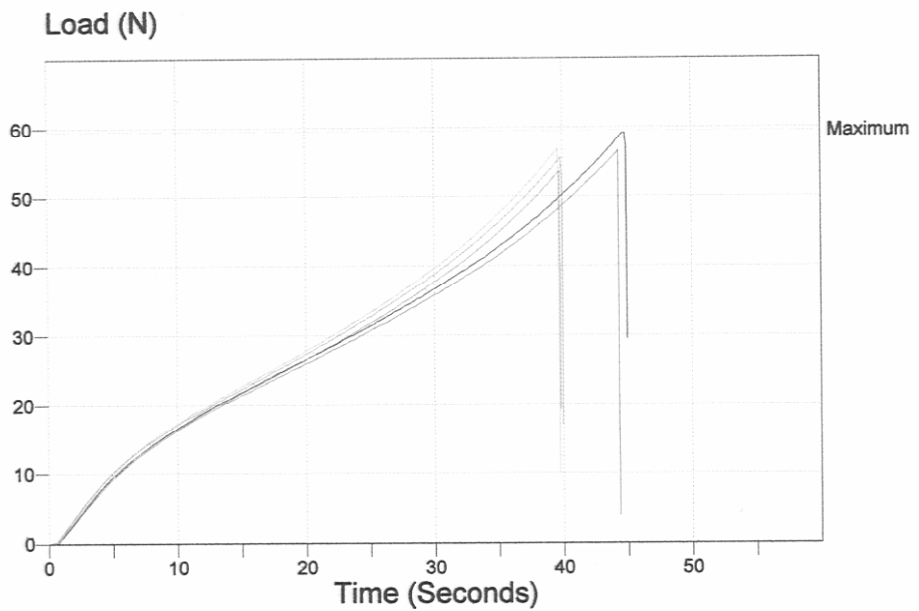
5. กราฟแสดงการทดสอบสมบัติการนีกภาค



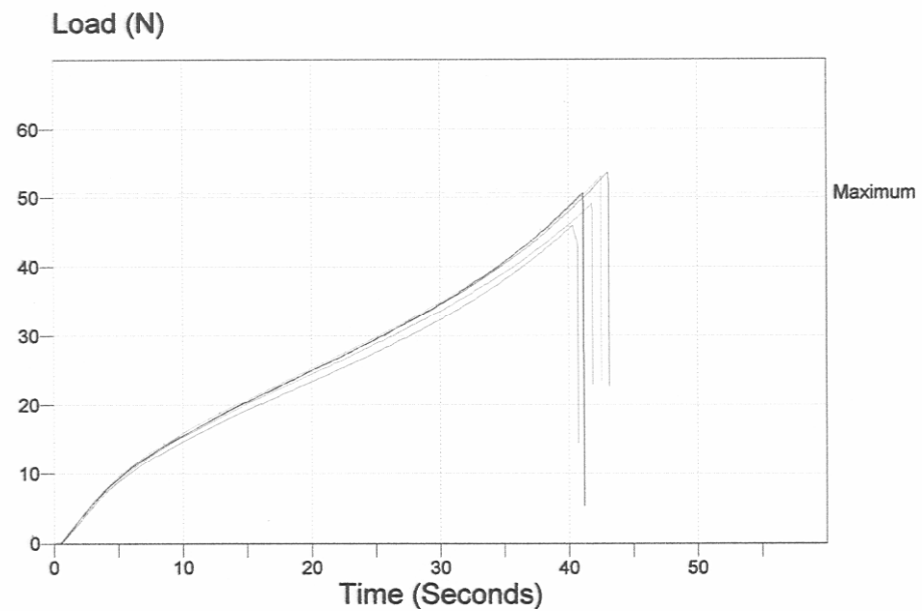
รูปที่ ก34 กราฟการทดสอบสมบัติการนีกภาคของยางธรรมชาติวัลคาร์ไนต์



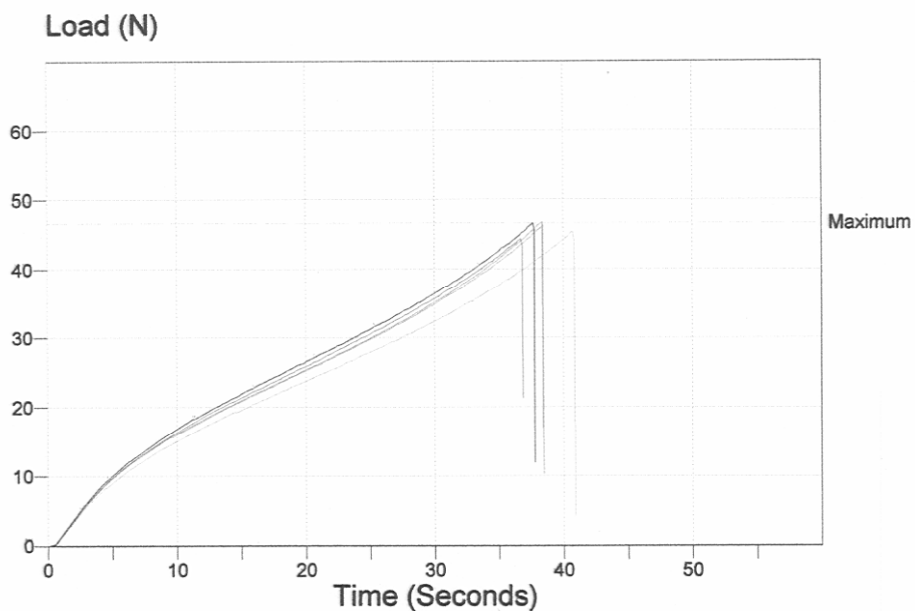
รูปที่ ก35 กราฟการทดสอบสมบัติการนีกภาคของวัสดุผสมระหว่างยางธรรมชาติและ
มอนต์มอริล โลในดีไนต์ที่ปริมาณ 1 phr



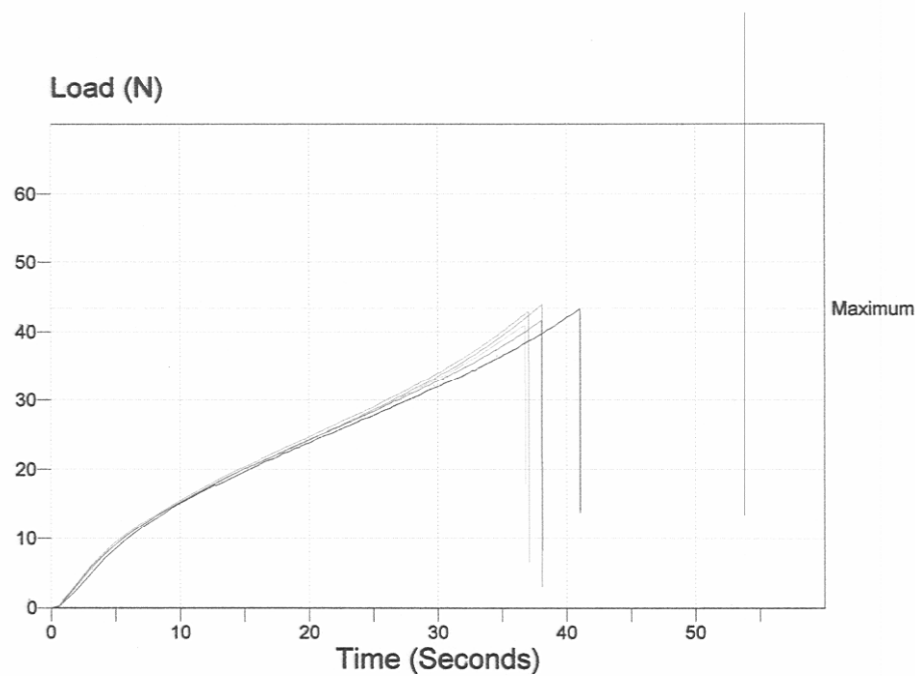
รูปที่ ก36 กราฟการทดสอบสมบัติการฉีกขาดของวัสดุสมรรถนะว่างยางธรรมชาติและ
มอนต์มอริลโลในต์ที่ปริมาณ 3 phr



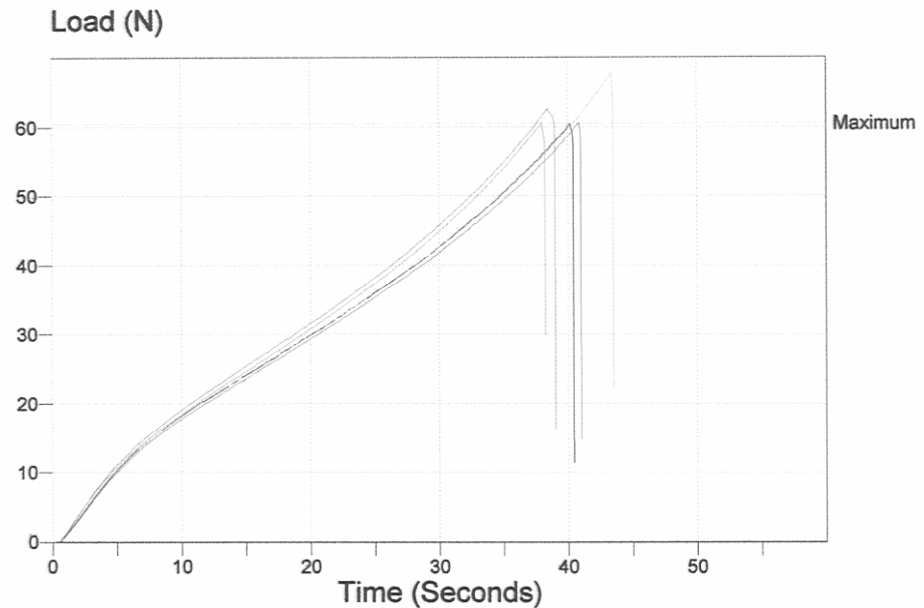
รูปที่ ก37 กราฟการทดสอบสมบัติการดึงยืดของวัสดุสมรรถนะว่างยางธรรมชาติและ
มอนต์มอริลโลในต์ที่ปริมาณ 5 phr



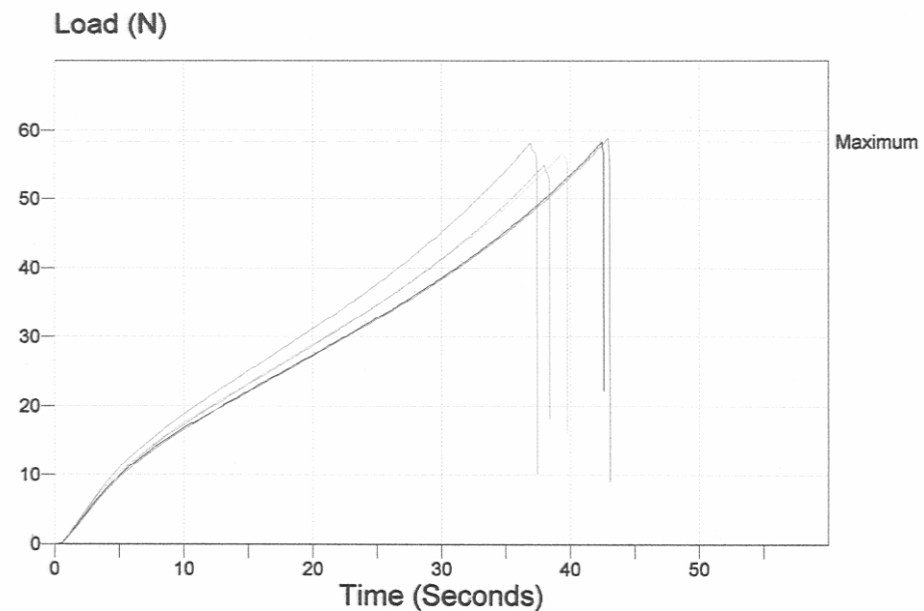
รูปที่ ก38 กราฟการทดสอบสมบัติการนิ่กขาดของวัสดุสมรรถห่วงยางธรรมชาติและ
มอนต์มอริล โลในต์ที่ปริมาณ 7 phr



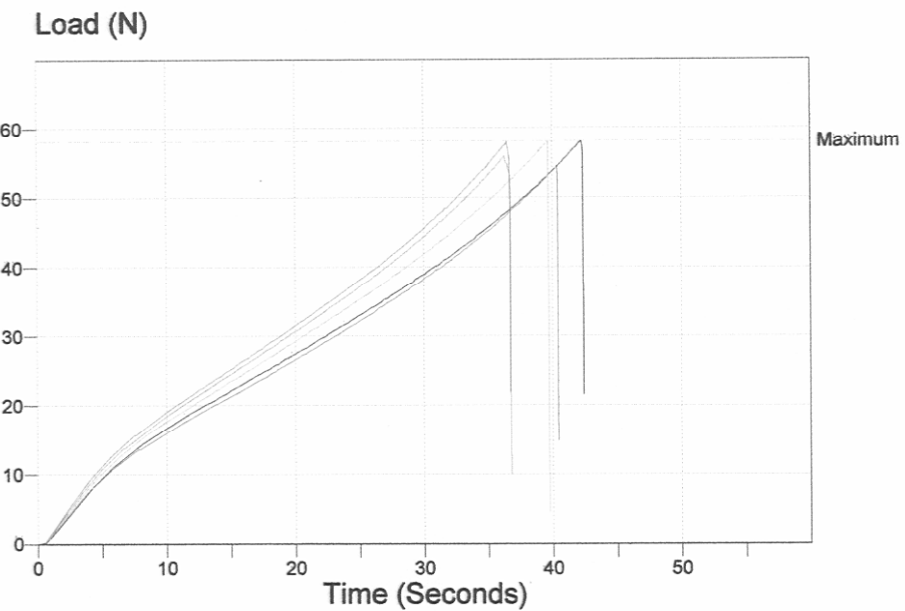
รูปที่ ก39 กราฟการทดสอบสมบัติการนิ่กขาดของวัสดุสมรรถห่วงยางธรรมชาติและ
มอนต์มอริล โลในต์ที่ปริมาณ 10 phr



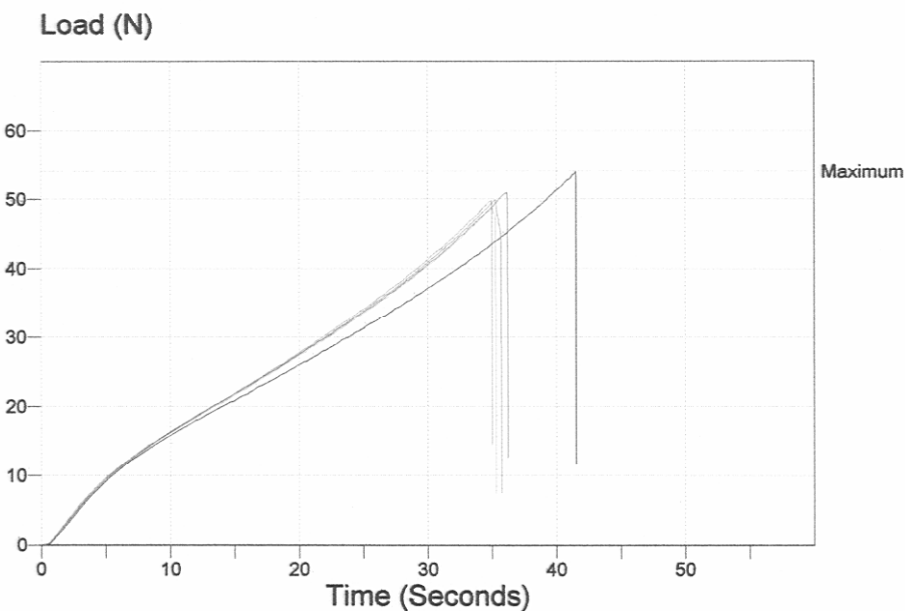
รูปที่ ก40 กราฟการทดสอบสมบัติการนឹកขาดของวัสดุสมรรถห่วงยางธรรมชาติและ
ออร์แกโนมอนต์มอริล์โลインต์ที่ปริมาณ 1 phr



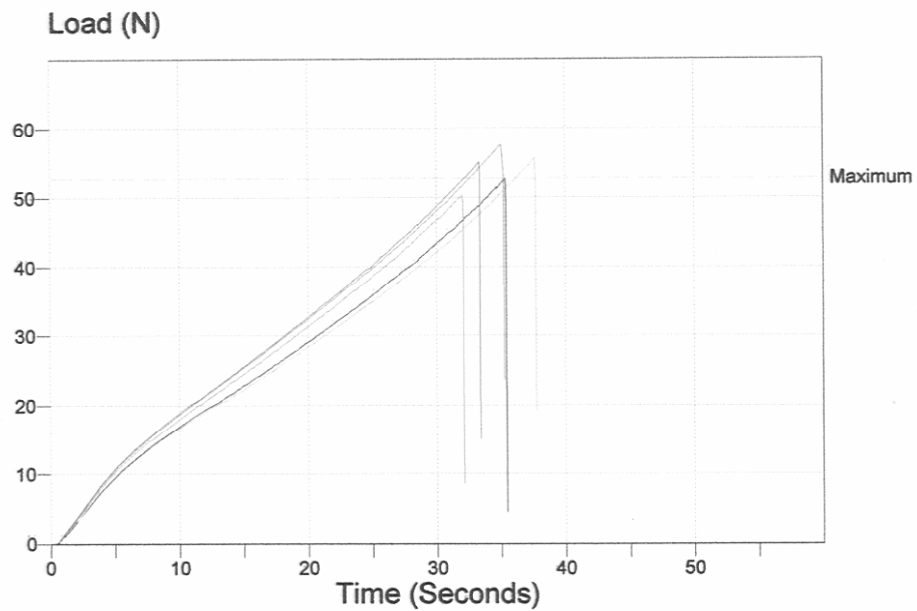
รูปที่ ก41 กราฟการทดสอบสมบัติการนឹកขาดของวัสดุสมรรถห่วงยางธรรมชาติและ
ออร์แกโนมอนต์มอริล์โลインต์ที่ปริมาณ 3 phr



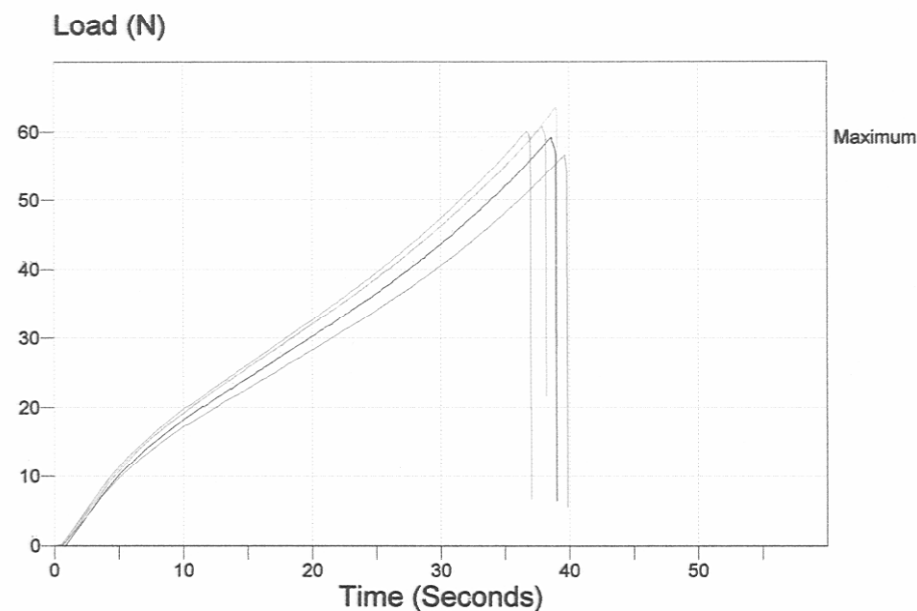
รูปที่ ก42 กราฟการทดสอบสมบัติการฉีกขาดของวัสดุสมรรถนะว่างยางธรรมชาติและ
ออร์แกโนนอมอนต์มอริล โลไม้ต์ที่ปริมาณ 5 phr



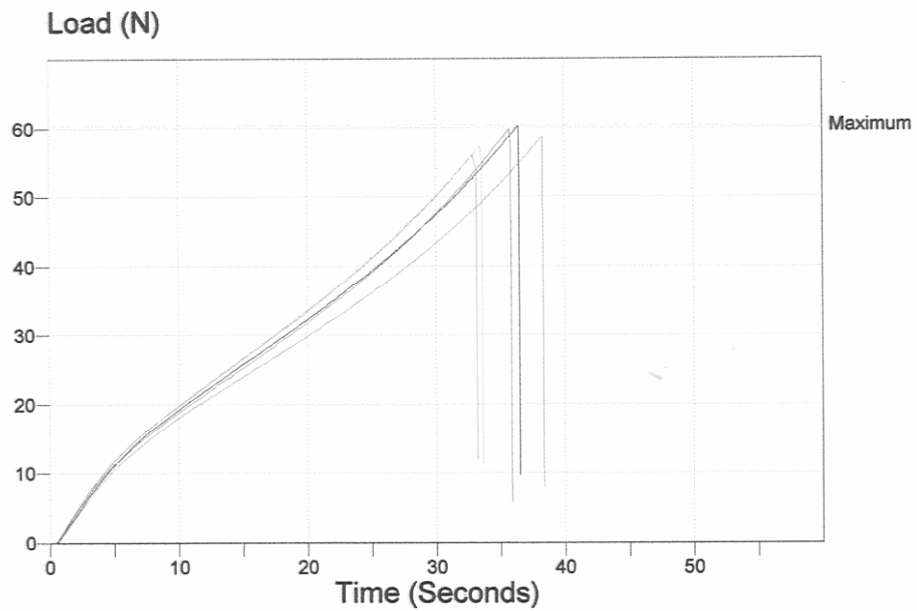
รูปที่ ก43 กราฟการทดสอบสมบัติการฉีกขาดของวัสดุสมรรถนะว่างยางธรรมชาติและ
ออร์แกโนนอมอนต์มอริล โลไม้ต์ที่ปริมาณ 7 phr



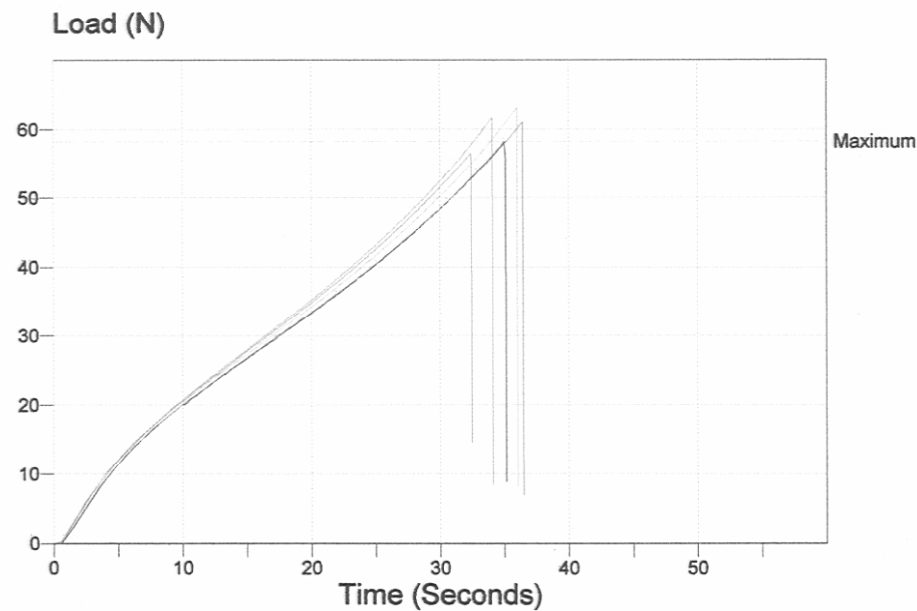
รูปที่ ก44 กราฟการทดสอบสมบัติการฉีกขาดของวัสดุสมรรถห่วงยางธรรมชาติและ
ออร์แกโนนอนค์มอริล โลไมต์ที่ปริมาณ 10 phr



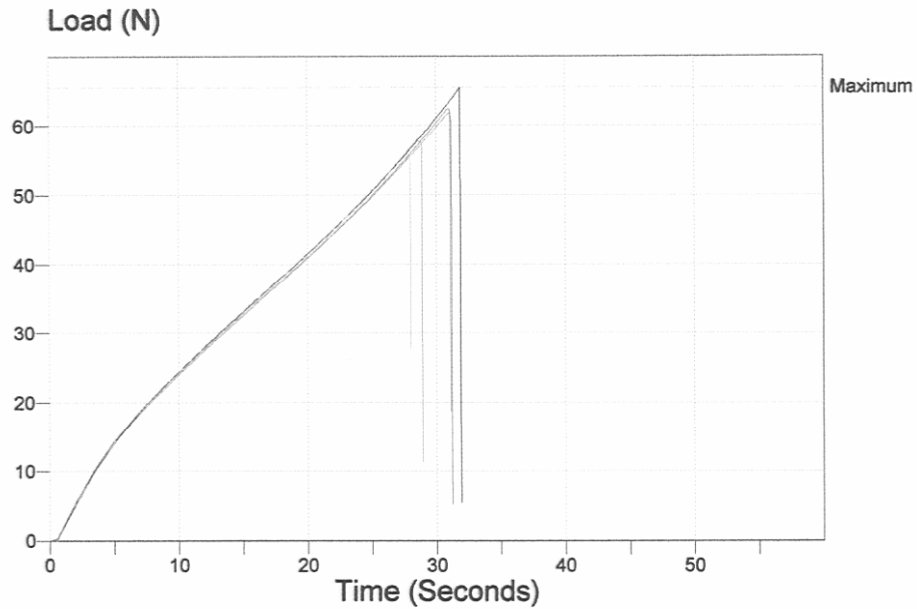
รูปที่ ก45 กราฟการทดสอบสมบัติการฉีกขาดของวัสดุสมรรถห่วงยางธรรมชาติและ
เต้าลดอยที่ปริมาณ 10 phr



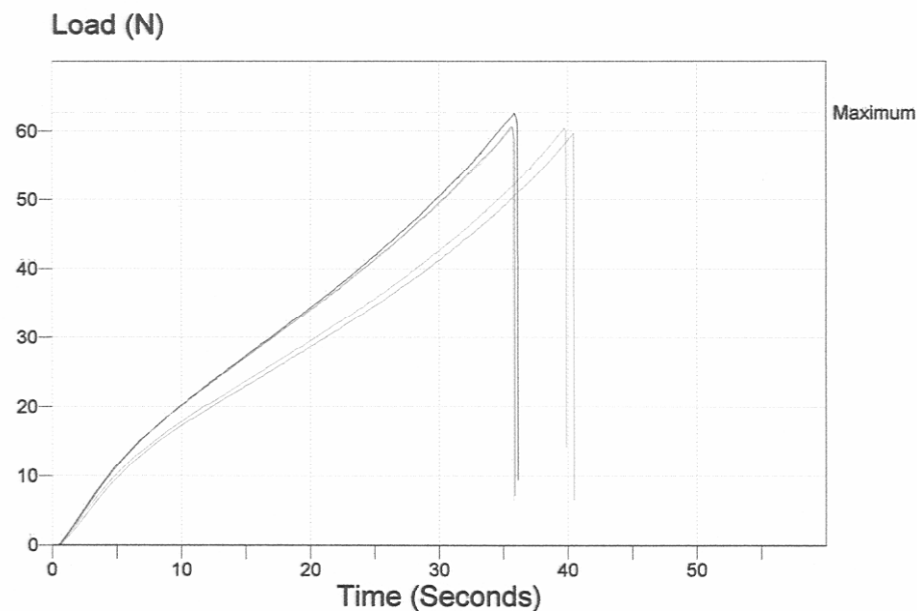
รูปที่ ก46 กราฟการทดสอบสมบัติการฉีกขาดของวัสดุพสมะห่วงยางธรรมชาติและ
ถ้าloyที่ปริมาณ 20 phr



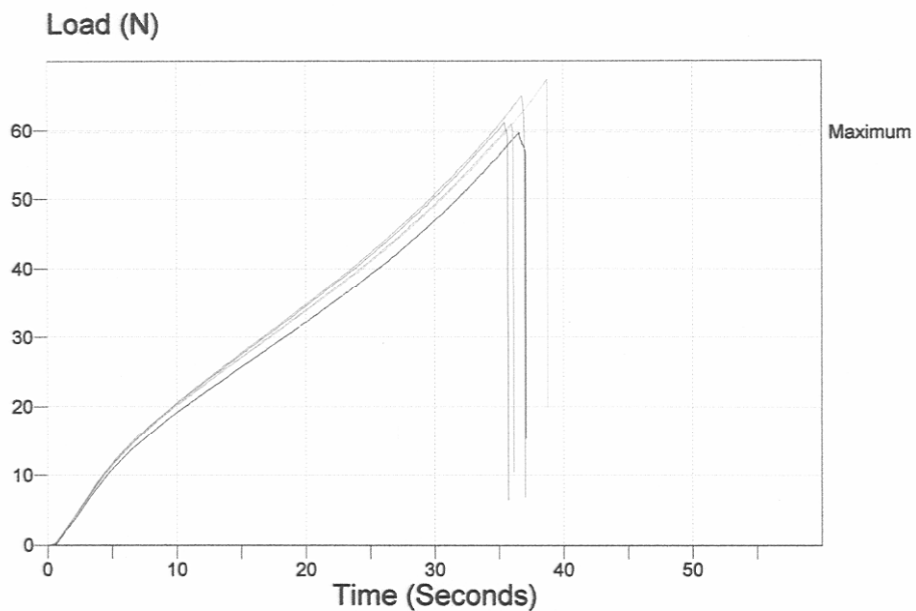
รูปที่ ก47 กราฟการทดสอบสมบัติการฉีกขาดของวัสดุพสมะห่วงยางธรรมชาติและ
ถ้าloyที่ปริมาณ 30 phr



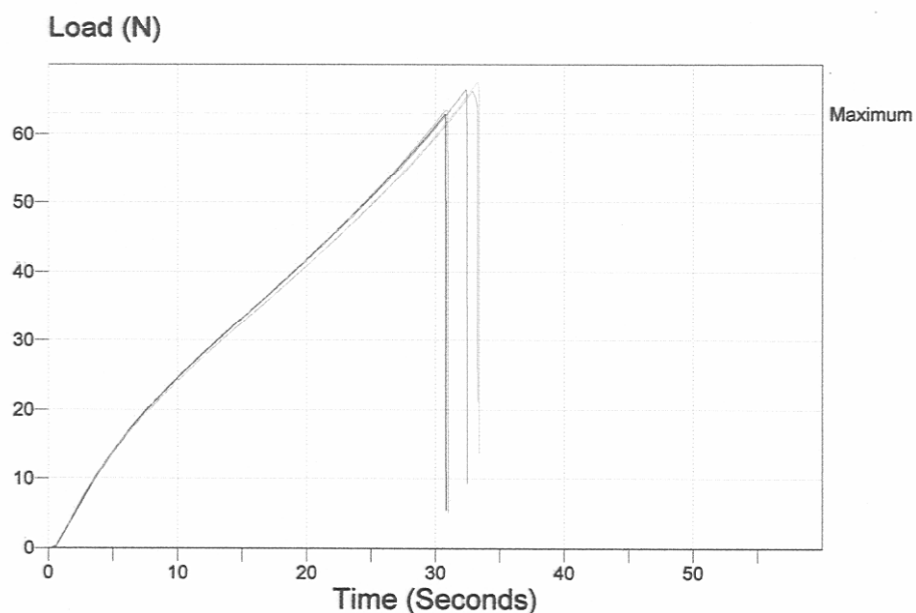
รูปที่ ก48 กราฟการทดสอบสมบัติการฉีกขาดของวัสดุพาราฟลางธรรมชาติและ
ถ้าloyที่ปริมาณ 40 phr



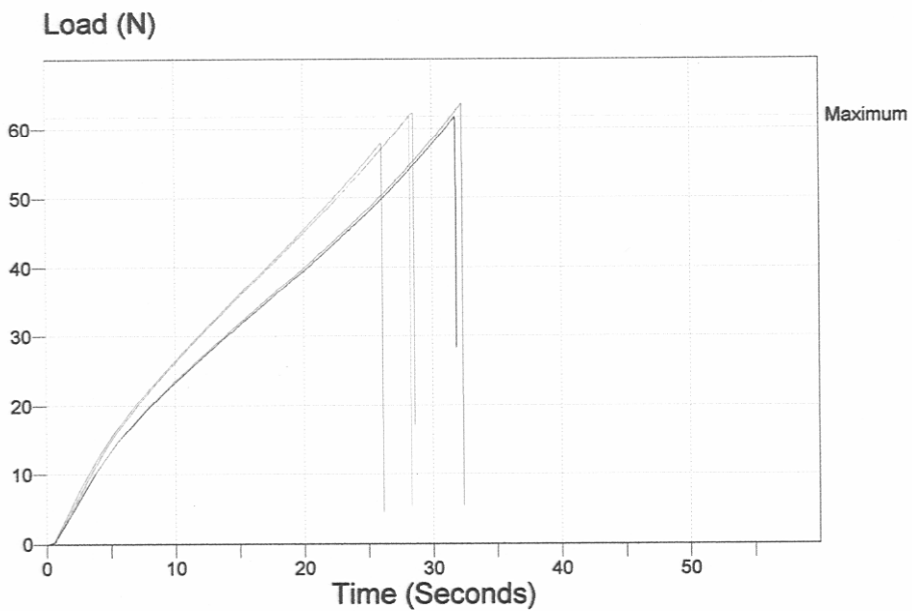
รูปที่ ก49 กราฟการทดสอบสมบัติการฉีกขาดของวัสดุพาราฟลางธรรมชาติและ
ถ้าloyที่ปริมาณ 10 phr ที่มีการเติมออร์เกโนนตอนต้มอวิล ได้ในครั้งที่ปริมาณ 1 phr



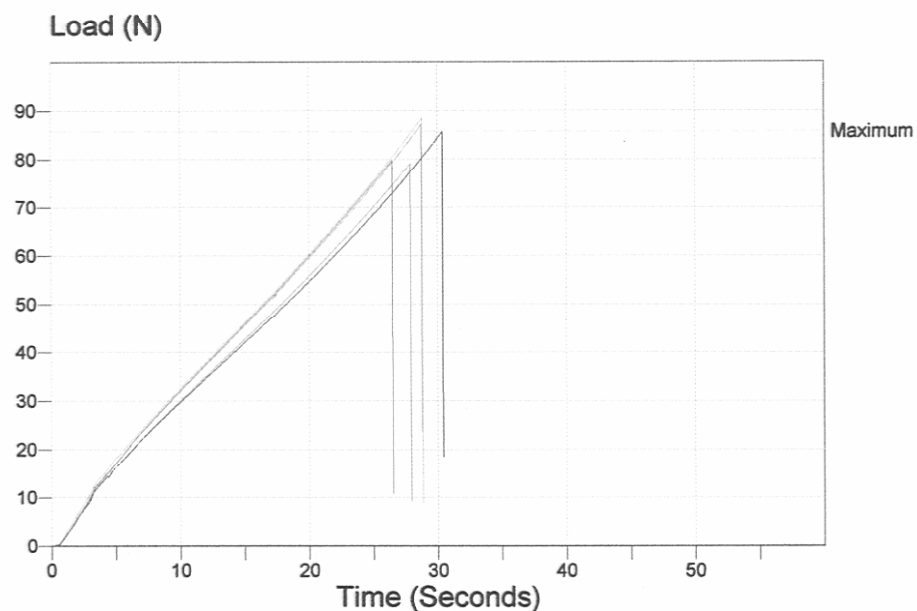
รูปที่ ก50 กราฟการทดสอบสมบัติการฉีกขาดของวัสดุสมรรถห่วงยางธรรมชาติและ เถ้าอยที่ปริมาณ 20 phr ที่มีการเติมออร์เกโนนตอนต์มอริลโลไนต์ที่ปริมาณ 1 phr



รูปที่ ก51 กราฟการทดสอบสมบัติการฉีกขาดของวัสดุสมรรถห่วงยางธรรมชาติและ เถ้าอยที่ปริมาณ 30 phr ที่มีการเติมออร์เกโนนตอนต์มอริลโลไนต์ที่ปริมาณ 1 phr

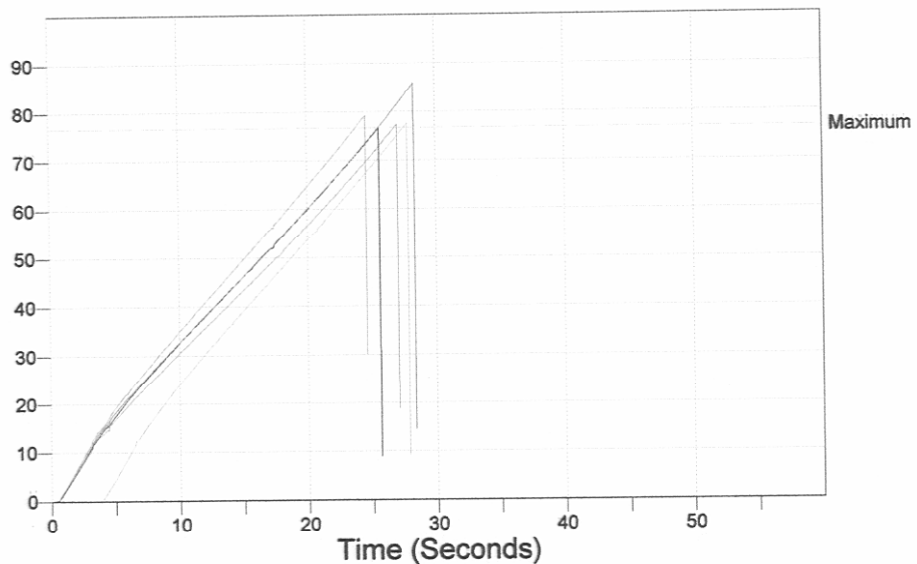


รูปที่ ก52 กราฟการทดสอบสมบัติการฉีกขาดของวัสดุสมรรถนะว่างยางธรรมชาติและ เถ้าโลยที่ปริมาณ 40 phr ที่มีการเติมออร์เกโนนอยอนค์มอริล โลไนต์ที่ปริมาณ 1 phr



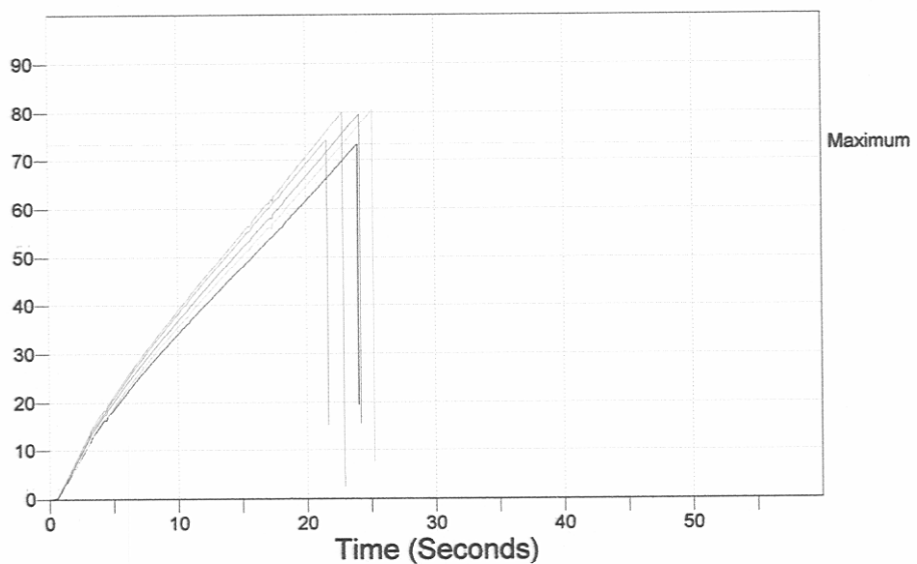
รูปที่ ก53 กราฟการทดสอบสมบัติการฉีกขาดของวัสดุสมรรถนะว่างยางธรรมชาติและ เถ้าโลยที่ปริมาณ 10 phr ที่มีการเติมออร์เกโนนอยอนค์มอริล โลไนต์ที่ปริมาณ 10 phr

Load (N)

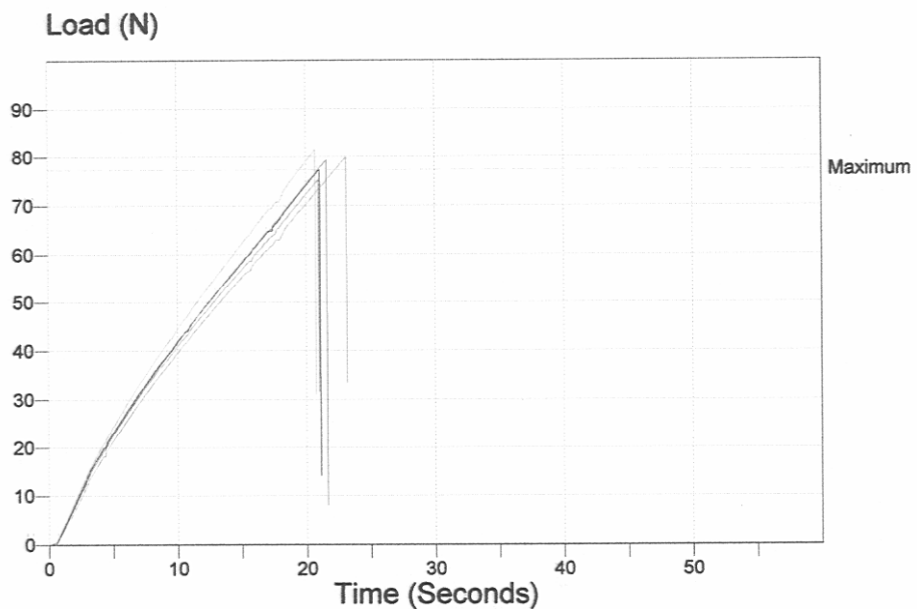


รูปที่ ก54 グラフการทดสอบสมบัติการฉีกขาดของวัสดุสมรรถนะว่างยางธรรมชาติและ
เส้าลอยที่ปริมาณ 20 phr ที่มีการเติมออร์แกโนนอลต์มอริลโลインที่ปริมาณ 10 phr

Load (N)



รูปที่ ก55 グラฟการทดสอบสมบัติการฉีกขาดของวัสดุสมรรถนะว่างยางธรรมชาติและ
เส้าลอยที่ปริมาณ 30 phr ที่มีการเติมออร์แกโนนอลต์มอริลโลインที่ปริมาณ 10 phr



รูปที่ ก56 กราฟการทดสอบสมบัติการนឹកขาดของวัสดุสมาระห่วงยางธรรมชาติและถ้าลอยที่ปริมาณ 40 phr ที่มีการเติมออร์แกโนนอนต์มอริล โลในต่ำปริมาณ 10 phr

6. ข้อมูลการทดสอบคุณลักษณะการคงรูป

ตารางที่ ก1 แสดงข้อมูลการทดสอบคุณลักษณะการคงรูป

Material	MH dN-m	ML dN-m	DT(MH-ML) dN-m	ts2 min	tc90 min
NR	28.214	2.108	26.105	0.78	2.58
NR	28.567	2.412	26.154	0.80	2.32
NR	27.321	1.814	25.507	0.83	2.68
NR	31.381	1.687	29.694	0.93	2.75
NR	30.459	1.667	28.792	0.95	2.72
NR	30.351	1.667	28.684	0.95	2.65
avg	29.38217	1.8925	27.48933333	0.88	2.62
sd	1.572963	0.305422	1.767136856	0.08	0.16
NR/MMT 1 phr	28.214	1.02	27.194	0.90	2.57
NR/MMT 1 phr	28.145	1.039	27.105	0.95	2.73
NR/MMT 1 phr	28.341	1.079	27.262	0.95	2.77
NR/MMT 1 phr	30.616	1.598	29.018	0.97	2.68
NR/MMT 1 phr	29.959	1.549	28.41	0.98	2.72
NR/MMT 1 phr	30.047	1.54	28.508	0.95	2.68
avg	29.22033	1.304167	27.91616667	0.95	2.69
sd	1.10627	0.284135	0.826513743	0.03	0.07

Material	MH dN-m	ML dN-m	DT(MH-ML) dN-m	ts2 min	tc90 min
NR/MMT 3 phr	28.057	1.589	26.468	0.97	2.73
NR/MMT 3 phr	28.184	1.618	26.566	1.00	2.78
NR/MMT 3 phr	28.321	1.53	26.792	0.98	2.80
NR/MMT 3 phr	29.047	1.51	27.537	0.98	2.60
NR/MMT 3 phr	28.812	1.569	27.243	1.02	2.67
NR/MMT 3 phr	28.194	1.471	26.723	0.98	2.63
avg	28.43583	1.547833	26.88816667	0.99	2.70
sd	0.398405	0.054256	0.415632249	0.02	0.08
NR/MMT 5 phr	26.841	1.579	25.262	1.05	2.95
NR/MMT 5 phr	26.468	1.648	24.821	1.08	2.97
NR/MMT 5 phr	25.458	1.598	23.859	1.12	3.07
NR/MMT 5 phr	28.086	1.461	26.625	1.00	2.68
NR/MMT 5 phr	28.008	1.52	26.488	1.02	2.67
NR/MMT 5 phr	27.655	1.373	26.282	1.00	2.63
avg	27.086	1.529833	25.55616667	1.04	2.83
sd	1.026273	0.100458	1.09953907	0.05	0.19
NR/MMT 7 phr	26.115	1.569	24.546	1.02	2.85
NR/MMT 7 phr	26.203	1.569	24.634	1.05	2.95
NR/MMT 7 phr	25.85	1.657	24.193	1.07	2.95
NR/MMT 7 phr	25.556	1.422	24.134	1.12	2.97
NR/MMT 7 phr	25.497	1.461	24.036	1.12	2.97
NR/MMT 7 phr	25.272	1.393	23.879	1.10	2.93
avg	25.74883	1.511833	24.237	1.08	2.94
sd	0.36839	0.102357	0.294686274	0.04	0.04
NR/MMT 10 phr	24.379	1.569	22.81	1.10	3.17
NR/MMT 10 phr	24.703	1.677	23.026	1.12	3.30
NR/MMT 10 phr	24.33	1.569	22.761	1.13	3.18
NR/MMT 10 phr	24.683	1.579	23.104	1.12	3.12
NR/MMT 10 phr	24.526	1.687	22.84	1.15	3.27
NR/MMT 10 phr	24.016	1.549	22.467	1.12	3.10
avg	24.4395	1.605	22.83466667	1.12	3.19
sd	0.257375	0.060518	0.223781739	0.02	0.08

Material	MH dN-m	ML dN-m	DT(MH-ML) dN-m	ts2 min	tc90 min
NR/OMMT 1 phr	31.528	1.814	29.714	0.77	2.57
NR/OMMT 1 phr	30.793	1.795	28.998	0.70	2.63
NR/OMMT 1 phr	31.979	1.853	30.126	0.78	2.60
NR/OMMT 1 phr	30.901	1.481	29.42	0.83	2.57
NR/OMMT 1 phr	30.469	1.549	28.92	0.87	2.60
NR/OMMT 1 phr	31.156	2.658	28.498	0.85	2.58
avg	31.13767	1.858333	29.27933333	0.80	2.59
sd	0.544511	0.420366	0.590646651	0.06	0.03
NR/OMMT 3 phr	31.656	1.912	29.743	0.68	2.48
NR/OMMT 3 phr	31.97	1.834	30.136	0.65	2.55
NR/OMMT 3 phr	31.842	1.824	30.018	0.67	2.57
NR/OMMT 3 phr	32.068	1.373	30.695	0.75	2.82
NR/OMMT 3 phr	29.861	1.314	28.547	0.68	2.70
NR/OMMT 3 phr	31.724	1.344	30.381	0.75	2.72
avg	31.52017	1.600167	29.92	0.70	2.64
sd	0.826908	0.283244	0.746440085	0.04	0.13
NR/OMMT 5 phr	29.93	2.128	27.802	0.60	2.48
NR/OMMT 5 phr	30.283	2.01	28.272	0.65	2.47
NR/OMMT 5 phr	30.704	2.04	28.665	0.67	2.48
NR/OMMT 5 phr	30.489	1.52	28.969	0.73	2.65
NR/OMMT 5 phr	30.548	1.363	29.184	0.73	2.63
NR/OMMT 5 phr	28.831	1.373	27.458	0.73	2.63
avg	30.13083	1.739	28.39166667	0.69	2.56
sd	0.690491	0.357395	0.673732489	0.06	0.09
NR/OMMT 7 phr	29.685	1.598	28.086	0.72	2.77
NR/OMMT 7 phr	29.841	1.579	28.263	0.73	2.82
NR/OMMT 7 phr	29.4	1.471	27.929	0.73	2.88
NR/OMMT 7 phr	29.037	1.922	27.115	0.75	2.83
NR/OMMT 7 phr	29.184	1.873	27.311	0.77	2.88
NR/OMMT 7 phr	29.43	1.932	27.498	0.77	2.88
avg	29.4295	1.729167	27.70033333	0.74	2.84
sd	0.299936	0.202691	0.458858439	0.02	0.05
NR/OMMT 10 phr	30.793	2.001	28.792	0.60	2.63
NR/OMMT 10 phr	31.165	2.148	29.018	0.63	2.83
NR/OMMT 10 phr	30.744	1.863	28.88	0.58	2.63
avg	30.90067	2.004	28.89666667	0.61	2.70
sd	0.230227	0.142524	0.113918099	0.03	0.12

Material	MH dN-m	ML dN-m	DT(MH-ML) dN-m	ts2 min	tc90 min
NR/FA 10	32.332	1.5	30.832	0.87	2.65
NR/FA 10	32.666	1.481	31.185	0.88	2.58
avg	32.499	1.4905	31.0085	0.88	2.62
sd	0.236174	0.013435	0.249608694	0.01	0.05
NR/FA 20	32.479	1.657	30.822	0.98	2.88
NR/FA 20	32.891	1.638	31.254	1.00	2.92
NR/FA 20	31.263	1.824	29.439	1.02	2.88
avg	32.211	1.706333	30.505	1.00	2.89
sd	0.846442	0.102344	0.948115499	0.02	0.02
NR/FA 30	32.038	1.334	30.704	0.98	2.85
NR/FA 30	32.028	1.383	30.646	0.98	2.85
NR/FA 30	31.92	1.393	30.528	1.00	2.88
avg	31.99533	1.37	30.626	0.99	2.86
sd	0.065432	0.031575	0.089688349	0.01	0.02
NR/FA 40	33.411	1.795	31.616	1.03	3.05
NR/FA 40	32.832	1.481	31.352	1.02	2.97
NR/FA 40	33.186	1.598	31.587	1.02	2.98
avg	33.143	1.624667	31.51833333	1.02	3.00
sd	0.291885	0.158689	0.14477684	0.01	0.04
NR/OMMT 1 /FA10	34.804	1.373	33.431	0.72	2.48
NR/OMMT 1 /FA10	35.166	1.226	33.941	0.72	2.50
NR/OMMT 1 /FA10	34.823	1.383	33.441	0.75	2.52
avg	34.931	1.327333	33.60433333	0.73	2.50
sd	0.203738	0.0879	0.291604755	0.02	0.02
NR/OMMT 1 /FA20	35.716	1.491	34.225	0.73	2.65
NR/OMMT 1 /FA20	35.127	1.461	33.666	0.78	2.70
NR/OMMT 1 /FA20	35.166	1.402	33.764	0.77	2.70
avg	35.33633	1.451333	33.885	0.76	2.68
sd	0.329379	0.045281	0.298497906	0.03	0.03
NR/OMMT 1 /FA30	38.265	1.657	36.608	0.72	2.58
NR/OMMT 1 /FA30	38.452	1.765	36.686	0.73	2.62
NR/OMMT 1 /FA30	38.697	1.608	37.089	0.73	2.63
avg	38.47133	1.676667	36.79433333	0.73	2.61
sd	0.216648	0.080326	0.258151764	0.01	0.03
NR/OMMT 1 /FA40	38.991	1.344	37.648	0.73	2.65
NR/OMMT 1 /FA40	38.697	1.432	37.265	0.77	2.70
NR/OMMT 1 /FA40	38.344	1.334	37.01	0.73	2.65
avg	38.67733	1.37	37.30766667	0.74	2.67
sd	0.323948	0.053926	0.32113289	0.02	0.03

Material	MH dN-m	ML dN-m	DT(MH-ML) dN-m	ts2 min	tc90 min
NR/OMMT10FA10	34.764	3.56	31.205	0.47	2.80
NR/OMMT10FA10	35.078	3.315	31.764	0.52	2.77
NR/OMMT10FA10	34.362	3.452	30.91	0.53	2.75
avg	34.73467	3.442333	31.293	0.51	2.77
sd	0.3589	0.122786	0.433747622	0.03	0.03
NR/OMMT10FA20	34.686	3.06	31.626	0.57	2.78
NR/OMMT10FA20	35.323	2.952	32.372	0.57	2.87
NR/OMMT10FA20	35.019	2.962	32.058	0.57	2.87
avg	35.00933	2.991333	32.01866667	0.57	2.84
sd	0.31861	0.059677	0.374552177	0.00	0.05
NR/OMMT10/FA30	36.765	3.256	33.509	0.53	2.87
NR/OMMT10/FA30	36.392	3.187	33.205	0.57	3.00
NR/OMMT10/FA30	36.941	3.138	33.803	0.58	3.10
avg	36.69933	3.193667	33.50566667	0.56	2.99
sd	0.280329	0.059282	0.299013935	0.03	0.12
NR/OMMT10/FA40	39.442	3.138	36.304	0.57	3.17
NR/OMMT10/FA40	39.315	3.246	36.069	0.60	3.18
NR/OMMT10/FA40	38.677	3.148	35.529	0.57	3.12
avg	39.14467	3.177333	35.96733333	0.58	3.16
sd	0.409959	0.059677	0.397376815	0.02	0.03

7. ข้อมูลการทดสอบการบวมตัว

ตารางที่ ก2 แสดงข้อมูลการทดสอบการบวมตัว

NR			NR/MMT 1phr			NR/MMT 3phr		
Weight (Wb)	W after	swell ratio	weight(Wb)	W after	swell ratio	weight(Wb)	W after	swell ratio
g	g		g	g		g	g	
0.6645	2.3813	3.5836	0.4690	2.3060	4.9168	0.4673	2.6375	5.6441
0.6650	2.4107	3.6251	0.4714	2.3312	4.9453	0.4724	2.6371	5.5823
0.6518	2.4771	3.8004	0.4546	2.2238	4.8918	0.4754	2.5053	5.2699
0.6446	2.4144	3.7456	0.4682	2.2829	4.8759	0.4687	2.4908	5.3143
0.6575	2.3742	3.6110	0.4634	2.2679	4.8940	0.4794	2.5539	5.3273
avg	3.6731		avg	4.9048		avg	5.4276	
sd	0.0944		sd	0.0269		sd	0.1722	

NR/MMT 5phr			NR/MMT 7phr			NR/MMT 10phr		
Weight (Wb)	W after	swell ratio	weight(Wb)	W after	swell ratio	weight(Wb)	W after	swell ratio
g	g		g	g		g	g	
0.4707	2.7016	5.7395	0.4625	2.6967	5.8307	0.4669	2.7565	5.9038
0.4639	2.6545	5.7221	0.4572	2.6187	5.7277	0.475	2.9628	6.2375
0.4603	2.6290	5.7115	0.4721	2.6952	5.7090	0.4664	2.9168	6.2539
0.4716	2.6861	5.6957	0.4621	2.5795	5.5821	0.4868	2.9654	6.0916
0.4574	2.5921	5.6670	0.4709	2.7830	5.9100	0.4811	2.9521	6.1361
avg	5.7072		avg	5.7519		avg	6.1246	
sd	0.0275		sd	0.1249		sd	0.1409	

NR/OMMT 1phr			NR/OMMT 3phr		
Weight (Wb) g	W after g	swell ratio	Weight (Wb) g	W after g	swell ratio
0.4674	2.3937	5.1213	0.4602	2.9388	6.3859
0.4449	2.4189	5.4370	0.4648	2.7369	5.8883
0.4608	2.4792	5.3802	0.4544	2.8970	6.3754
0.4525	2.4037	5.3120	0.4455	2.8202	6.3304
0.4742	2.5028	5.2779	0.4688	2.7388	5.8422
avg	5.3057		avg	6.1645	
SD	0.1200		SD	0.2744	

NR/OMMT 5phr			NR/OMMT 7phr			NR/OMMT 10phr		
Weight (Wb) g	W after g	swell ratio	Weight (Wb) g	W after g	swell ratio	Weight (Wb) g	W after g	swell ratio
0.4808	3.1273	6.5044	0.4751	3.4850	7.3353	0.4767	3.1490	6.6058
0.4596	2.8001	6.0925	0.4733	3.3543	7.0870	0.4754	3.3265	6.9973
0.4880	3.2780	6.7172	0.4712	3.4178	7.2534	0.4872	3.2508	6.6724
0.4482	2.6892	6.0000	0.4758	3.4376	7.2249	0.4742	3.1661	6.6767
0.4667	3.0290	6.4903	0.4657	3.4095	7.3212	0.4934	3.2151	6.5162
avg	6.3609		avg	7.2444		avg	6.6937	
SD	0.3027		SD	0.0992		SD	0.1817	

NR/FA10			NR/FA20		
Weight (Wb) g	W after g	swell ratio	Weight (Wb) g	W after g	swell ratio
0.6321	2.3205	3.6711	0.6585	2.3448	3.5608
0.6737	2.2473	3.3358	0.6781	2.2092	3.2579
0.6362	2.1901	3.4425	0.6651	2.4627	3.7028
0.6378	2.2174	3.4766	0.6710	2.4599	3.6660
0.6288	2.4179	3.8453	0.6843	2.2855	3.3399
avg	3.5542		avg	3.5055	
SD	0.2029		SD	0.1978	

NR/FA30			NR/FA40		
Weight (Wb) g	W after g	swell ratio	Weight (Wb) g	W after g	swell ratio
0.6678	2.1861	3.2736	0.6696	2.3311	3.4813
0.6726	2.2336	3.3208	0.6789	2.2420	3.3024
0.6496	2.2760	3.5037	0.6661	2.2490	3.3764
0.6469	2.2813	3.5265	0.6576	2.2327	3.3952
0.6600	2.2534	3.4142	0.6761	2.3139	3.4224
avg	3.4078		avg	3.3956	
SD	0.1106		SD	0.0654	

NR/OMMT 1phr/FA10			NR/OMMT 1phr/FA20		
Weight (Wb) g	W after g	swell ratio	Weight (Wb) g	W after g	swell ratio
0.6469	2.4973	3.8604	0.6673	2.3679	3.5485
0.6357	2.4385	3.8359	0.6597	2.5125	3.8085
0.6155	2.5685	4.1730	0.6636	2.4834	3.7423
0.6201	2.6263	4.2353	0.6635	2.3849	3.5944
0.6230	2.4942	4.0035	0.6752	2.4435	3.6189
avg	4.0216		avg	3.6625	
SD	0.1798		SD	0.1087	

NR/OMMT 1phr/FA30			NR/OMMT 1phr/FA40		
Weight (Wb) g	W after g	swell ratio	Weight (Wb) g	W after g	swell ratio
0.7116	2.3910	3.3600	0.6708	2.4662	3.6765
0.7127	2.3169	3.2509	0.6721	2.4372	3.6262
0.7178	2.3926	3.3332	0.6707	2.7265	4.0652
0.6877	2.3388	3.4009	0.6549	2.3964	3.6592
0.7191	2.3992	3.3364	0.6733	2.6993	4.0091
avg	3.3363		avg	3.8072	
SD	0.0549		SD	0.2116	

NR/OMMT 10phr/FA10			NR/OMMT 10phr/FA20		
Weight (Wb) g	W after g	swell ratio	Weight (Wb) g	W after g	swell ratio
0.5153	2.3643	4.5882	0.5346	2.4281	4.5419
0.5163	2.4545	4.7540	0.5491	2.3766	4.3282
0.5203	2.4526	4.7138	0.5391	2.6327	4.8835
0.5243	2.5797	4.9203	0.5834	2.6693	4.5754
0.5205	2.5488	4.8968	0.5337	2.4486	4.5880
avg	4.7746		avg	4.5834	
SD	0.1370		SD	0.1981	

NR/OMMT 10phr/FA30			NR/OMMT 10phr/FA40		
Weight (Wb) g	W after g	swell ratio	Weight (Wb) g	W after g	swell ratio
0.5605	2.1943	3.9149	0.6428	2.3528	3.6602
0.6032	2.4989	4.1427	0.6391	2.4099	3.7708
0.6099	2.5015	4.1015	0.6549	2.4846	3.7939
0.5706	2.3023	4.0349	0.6331	2.4622	3.8891
0.5489	2.2217	4.0475	0.5924	2.1945	3.7044
avg	4.0483		avg	3.7637	
SD	0.0862		SD	0.0879	

8. ข้อมูลการทดสอบความแข็งที่ผิวของยางพารา
ตารางที่ ก3 แสดงข้อมูลการทดสอบความแข็งที่ผิวของยางพารา

NR			NR-MMT 1 phr			NR-MMT 3 phr		
Hardness			Hardness			Hardness		
38	36	34.5	37.5	36	35	34	33	35
36	36	34	37	36	35	33	34	35
36	36.5	35	36	35	35	33	34	34
33	36	34.5	36	36	35	34	33	33
34	35	33.5	35	35	34	34	33	34
34	36	34	36	36	34	34	34	34.5
34	35	36	35	36	34	33.5	32	35
35	35	34.5	35	36	35	33.5	32	33.5
34.5	36	35	36	35	35	35	32	34
35	36	36	36	35	34	33	32	34
Avg.	35.133		Avg.	35.383		Avg.	33.6	
Sd.	1.0662		Sd.	0.8477		Sd.	0.894427	

NR-MMT 5 phr			NR-MMT 7 phr			NR-MMT 10 phr		
Hardness			Hardness			Hardness		
33.5	33	33	34	32	33	33	33	33
33	34	33	34	32	33	34	34	34
32.5	32	33	35	31.5	34	34	33	34
33	32.5	33	32.5	35	34	34	33	33
33	32	33	34	34	33	33	33	34
33.5	32	32	34	33	35	34	32	34
32	32	32	33	34	33	34	32	34
33	32.5	32	33.5	35	33	34	32	34
32	32.5	33	34	35	33	33	31.5	35
32	32.5	32	35	35	33	33	31.5	35
Avg.	32.61667		Avg.	33.65		Avg.	33.36667	
Sd.	0.567562		Sd.	1.001292		Sd.	0.91852	

NR-OMMT1 phr			NR-OMMT 3 phr			NR-OMMT 5phr		
Hardness			Hardness			Hardness		
35	35	37	37	38	37	36	37	37
35	36.5	37	36	37	35	37	38	37
37	34	38	36.5	36	35	36	38	37
34.5	34	36	36	37	34	36	38	37.5
36.5	35	36	36.5	37	35	37	37	37
36	35	36.5	35	37	34	37	37	36
34	36	38	35	38	35	37	37	36.5
34	36	37	36	36	35	37	37	36
35	34	37	37	37.5	35	36.5	36	36.5
36	33	36	35	37	34	36	37	36.5
Avg.	35.667		Avg.	35.98333		Avg.	36.81667	
Sd.	1.2821		Sd.	1.170642		Sd.	0.594273	

NR-OMMT 7 phr			NR-OMMT 10 phr		
Hardness			Hardness		
35	38	38	40	38.5	39.5
36	36.5	37.5	39	39	39
37	37.5	37	39	40	38
37	37	37.5	39	40	38
37	36	37.5	39	40	39
37.5	37	37.5	38.5	39	39
35	37.5	37	38.5	40	38.5
37	38	37.5	39	39	37.5
36.5	37	37.5	39.5	39	38
36	37	37.5	38.5	40	38.5
Avg.	37		Avg.	38.98333	
Sd.	0.765641		Sd.	0.675729	

NR-FA 10			NR-FA 20		
Hardness			Hardness		
39	39	38.5	39	40	39
39	38	38	38.5	39	38.5
38	39	37.5	39	39	38.5
38	38.5	37.5	39.5	38	39
38	39	38.5	39.5	39	38.5
36.5	38.5	38.5	39.5	38.5	38
37	39	38.5	39	38.5	37
37	37.5	38.5	39	38.5	37.5
39	39	37	38.5	39	37.5
38.5	39	38.5	37.5	39.5	37.5
Avg.	38.25		Avg.	38.633	
Sd.	0.7281		Sd.	0.7184	

NR-FA 30			NR-FA 40		
1	2	3	1	2	3
40	41	41	40	43	44
40	42.5	42	41	44.5	45
40	41.5	40	41	44.5	45
40	42	41.5	41.5	44	45
41	42	42	41.5	43	45
41.5	41.5	42	42	43	46
42	41.5	41.5	41.5	43	45
42	42	42	42	43.5	45
42.5	42	42	42	44.5	45.5
40	42	42	42	45	45.5
Avg.	41.43333		Avg.	43.45	
Sd.	0.8172		Sd.	1.662725	

NR-OMMT1-FA 10			NR-OMMT1-FA 20		
Hardness			Hardness		
38	38	40	41	40.5	41.5
37.5	38.5	40.5	42	42	41.5
36	39.5	40	41	42	41.5
38	38.5	40.5	42	42	39
39	38	40.5	41	42	39
38.5	39	39.5	40	42	40
39	39	39.5	40.5	40.5	39
39.5	38.5	40	42	41.5	39
38.5	39	40.5	41.5	40.5	40
37.5	40	40	42	41.5	40
38	39.5	40	42	40.5	40
Avg.	39.03		Avg.	40.924	
Sd.	1.0602		Sd.	1.0241	

NR-OMMT1-FA 30			NR-OMMT1-FA 40		
Hardness			Hardness		
43	43	45	45	45	45
44	44.5	45	44	45.5	45
43.5	43.5	45	45	44	44
44.5	44.5	45	45.5	45	44
44	44.5	44	45.5	44	43
44.5	45	43	45	44.5	42
44.5	45	43	45.5	45	42
44	45	43	45	45	43
44.5	45	44	44	46	44
44	44.5	43	44	45	44
44	45	44	44	45	45
Avg.	44.18182		Avg.	44.4697	
Sd.	0.716089		Sd.	0.951474	

NR-OMMT10-FA 10			NR-OMMT10-FA 20		
Hardness			Hardness		
48	48	48	45	49	49
47	48	48	47	50	49
48	48	48	47	49	49
48	47	48	48	48	48
48	45	48	49	49	48
46	47	46	50	48	50
47	48	47	51	49	49
48	47	47	51	50	49
47	46	47	51	51	49
48	47	48	49	50	49
Avg.	47.367		Avg.	49	
Sd.	0.8087		Sd.	1.3131	

NR-OMMT10-FA 30			NR-OMMT10-FA 40		
Hardness			Hardness		
51	51	50	52	52	53
51	50	50	51	51	52
52	51	50	51	51	53
53	51	51	53	52	53
52	52	51	51	53	53
50	50	49	53	54	53
50	49	50	54	54	52
49	50	51	54	54	51
49	51	52	54	53	53
49	51	52	54	53	53
Avg.	50.6		Avg.	52.66667	
Sd.	1.069966		Sd.	1.061337	

ภาคผนวก ข
การนำเสนอและตีพิมพ์งานวิจัยบางส่วนในงานประชุมวิชาการ

ผลงานการนำเสนอ Oral Presentation ที่ได้รับการตีพิมพ์ในวารสาร Advanced Materials Research จากการเข้าร่วมประชุมวิชาการในงาน International Conference on Smart Materials-Smart/Intelligent Materials and Nano Technology & 2nd International Workshop on Functional Materials and Nanomaterials (SmartMat-'08 & IWOFM-2) ที่โรงแรม The Imperial Mae Ping จังหวัดเชียงใหม่ ระหว่างวันที่ 22-25 เมษายน 2551

Advanced Materials Research Vols. 55-57 (2008) pp 341-344
 online at <http://www.scientific.net>
 © (2008) Trans Tech Publications, Switzerland
 Online available since 2008/Aug/22

click for feedback
 consult - comment - contact
  

The Effect of Organic Modification Method onto Montmorillonite on Mechanical Properties of Natural Rubber

C. Thongpin^{1,a}, N. Tangchantra^{1,b}, P. Kaewpetch, J. Dejkun and A. Chartsiriwattana

¹Materials Science and Engineering Department, Faculty of Engineering and Industrial Technology,
 Silpakorn University, Sanamchandra Palace Campus, Nakornpathom, 73000, Thailand

^achanchai@su.ac.th, ^bcmaterials@hotmail.com, ^bnantavatt@gmail.com

Keywords: Mechanical Properties, Thermal properties, NR/clay composites, Montmorillonite, Organophilic montmorillonite.

Abstract. Montmorillonite is a type of clays that has been used to reinforce polymer including rubber. Therefore this research is aimed to modify mechanical properties of natural rubber (NR) using montmorillonite (MMT) comparing with the organic modified montmorillonite (CTAB-MMT) and organic molecule grafted MMT. The effect of MMT, CTAB-MMT and HTMS-g-CTABMMT on cure characteristics of NR were studied. It was found from the research that the increase of MMT content could prolong the scorch time whereas CTAB-MMT and HTMS-g-CTABMMT could shorten the scorch time. The cure times of the compounds in all cases were not much different. In term of mechanical properties, modulus, tensile strength and tear strength of NR/HTMS-g-CTABMMT vulcanizate were higher than those of NR/MMT and NR/CTAB-MMT vulcanizates. Meanwhile, elongation at break of the NR/ HTMS-g-CTABMMT vulcanizate decreased more than the latter cases.

Introduction

Nanoclay, having been used as filler for rubber and plastic, often encounters the particles agglomeration during processing leading to poor reinforcing effect. [1]. Internal and external cations can be exchanged by other inorganic or by organic ion, such as quaternary alkyl ammonium ions [2], for its compatibility with the polymers. Organoclay (OMMT) has been mainly used with engineering plastic [3], but, up to now there are only few studies on rubber-clay nanocomposite. M. Arroyo et al. [4] showed, for natural rubber, that only 10 phr organoclay were necessary to achieve tensile strength comparable to compounds load with 40 phr carbon black. Siby Varghese and J. Karger Kocsis [5] produced composites based on natural rubber (NR) which contains 10 phr organic modified and pristine layered silicates of natural and synthetic origin by melt compounding and sulphur curing. The property improvements caused by the fillers were ranked as follows: organic modified clays > pristine synthetic layersilicate (Sodium fluorohectorite) > pristine clay (purified sodium bentonite) > precipitated nonlayer silica. Organic alkylammonium salts greatly increases the compatibility between rubber and inorganic clay dispersion, nonetheless the interfacial interaction between two phases is still weak due to the nature of vander walls force [6]. This research is aimed to promote the adhesion between clay and rubber by using silane coupling agent as it can form strong, primary interfacial bond with both polymer and inorganic substrate [7]. This work is therefore to modify MMT by cation exchanging with Hexadecyltrimethyl ammonium (CTAB) giving rise to CTAB-MMT. CTAB-MMT was following grafted with Hexadecyl trimethoxysilane obtaining HTMS-g-CTAB-MMT. The mechanical properties of NR/modified MMT composite were studied.

Experimental

Materials: The materials used are as follow: Natural rubber (NR, STR 20) was supplied by Sintong Thai (Thailand). Kunipia F supplied by Kunimine Ind. Co., is a Na⁺ type montmorillonite (MMT), with a cation exchange capacity of 115 meq/100 g. Hexadecyltrimethyl ammonium (CTAB) and Hexadecyltrimethoxysilane (HTMS) were provided from Fluka.

Preparation of OMMT: The CTAB-MMT was prepared by dispersion Na⁺MMT (10 g) was dispersed in 350 ml 80 °C water and stirred continuously. Meanwhile, CTAB (100% CEC) and 1M HCl 10 ml



were dissolved together in 250 ml 80 °C water. This latter solution was poured into the hot clay slurry under vigorous stirring and leave to stir for 2.5 hrs. to flocculate the clay. The precipitate was then filtered and washed with hot water of 80 °C to remove chloride anion. The CTAB-MMT was then grafted with HTMS in a mixed solvent of ethanol/water with the ratio of 75/25. 10 g of CTAB-MMT was firstly dispersed in 1000 ml mixed solvent, and then 3 g of HTMS was introduced into the mixture, stirred for 8 h at 80 °C. The obtained precipitate was washed using the mixture of ethanol/water in order to remove the residual silane and dried at 60 °C in a vacuum oven.

Table 1. Materials formulation of NR compounds

Materials	Content [phr]
Natural Rubber Grade STR 20	100
Zinc oxide	5
Stearic acid	2
Mercaptobenzothiazole (MBT)	0.5
Diphenyl guanidine (DPG)	0.2
Sulphur	3
Filler (MMT or OMMT)	Varying from 0-10

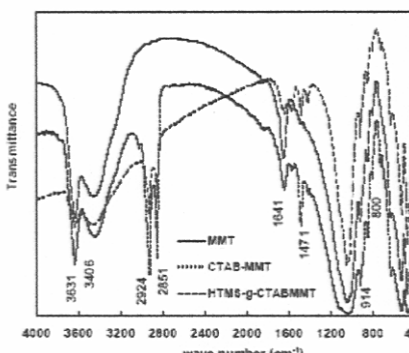


Figure 1. FTIR spectra of MMT and OMMT.

Results and Discussion

Fig. 1 displays the FT-IR broad peak over the range of 1200 to 1000 cm⁻¹ with the peak maximum at 1045 cm⁻¹ due to the Si-O stretching of silicates present in the clay. The new peaks at 2924 and 2851 cm⁻¹ of the -CH asymmetric and symmetric stretching of -CH₂ groups confirm the presence of the CTAB and HTMS on the surface. Also, new peaks at 1471 that correspond to the -CH₂ bending vibrations further support this conclusion. The peak intensity of -OH group in HTMS-g-CTAB-MMT at 3631 cm⁻¹ are slightly decreased which may be attributed to the hydrogen-bonding interaction between the hydrolyzed silane and the -OH group on the surface of MMT.

Mixing Vulcanization and Testing: The rubber formulation is stated in Table 1. NR was masticated on a laboratory two-roll mill (Hong Thai Yow Co., Ltd., Thailand) for 5 min and was then mixed with a specified content of OMMT for another 15 min. The fillers stated in Table 1 were compounded simultaneously on the two-roll mill for another 10 min. The rubber compound obtained was characterized at 160 °C for their cure characteristic in a Moving Die Rheometer (Model MDR GT-M2000), GOTECH Testing Machine, Inc., Taiwan. The rubber compounds were then compressed with hydraulic pressure of 25000 pound/sqinch. The rubber vulcanizate slabs were cut for tensile and tear testing according to ASTM D 412 with dumbbell-shaped samples and ASTM D 624 with angle-shaped samples, respectively. Both the tensile and tear properties were tested at a speed of 500 mm/min. Hardness durometer (Shore A, model 473, PTC Instruments, Boylston, MA) was used for the hardness testing with the test conditions in accordance with ASTM D 2240. Swelling of the vulcanizate was carried out in Toluene, at ambient temperature, and calculated using equation 1. Where w₁ and w₂ is sample weight before and after immersion into Toluene.

$$\text{swell ratio} = \frac{w_2 - w_1}{w_1} \quad (1)$$

Characterization: XRD analyses of various samples were carried out on a Rigaku X-ray diffractometer with Cu-K α radiation under scattering angle range of 3–10°. Infrared spectra of pristine and modified clay were recorded from Vertex70 FTIR spectrometer (Bruker Optic, Germany) using using pressed clay mixed with KBr.

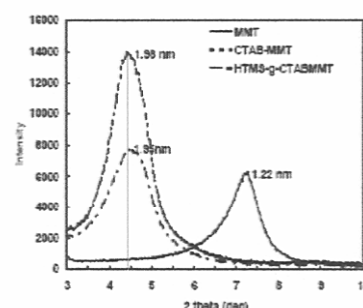


Figure 2. X-ray diffraction patterns of MMT and OMMT

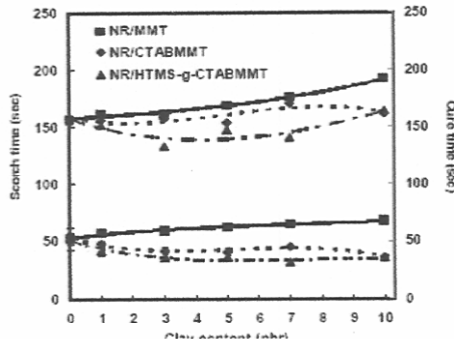


Figure 3. The Sorch time and cure time of NR/clay compound.

cure times. The cure time appeared to increase with unmodified clay content, while scorch time hardly varies, probably due to a poor compatibility between the unmodified clay and hydrophobic polymer. However, the cure time and scorch time was slightly reduced in presence of the organoclay. Thus, the organoclay behaves as an effective accelerant agent for NR vulcanisation. This effect is attributed to the ammonium groups of the organic cations. The difference torque values (ΔS), measured as the difference between the maximum and minimum torques, as shown in Fig. 4. ΔS slightly decreased with the amount of the unmodified clay, probably due to a poor interaction at the filler–matrix interphase. Whereas the torque for organoclay filled rubber was nearly unchanged. This probably would lead to misunderstanding that the present of OMMT has no effect on the compound. However, the swell ratio of the vulcanizates shown in Figure 5 evident that the present of organoclay result in the decreasing the crosslink density of NR. Meanwhile the great interaction between organoclay and rubber could also be performed as shown by SEM micrographs of NR/OMMT composites in Figure 10.

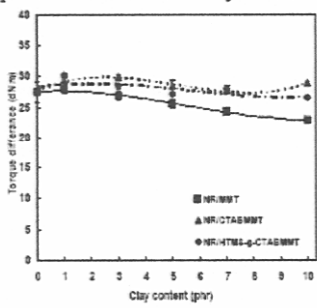


Figure 4. The torque difference (ΔS) of NR/clay compound.

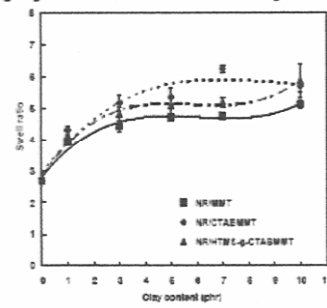


Figure 5. The swell ratio of NR/clay composites.

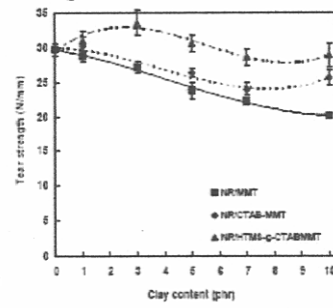


Figure 6. The tear strength of NR/clay composites.

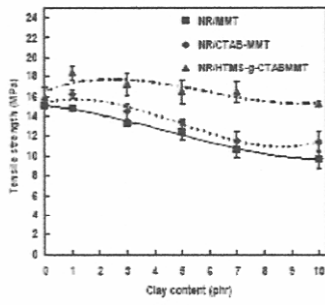


Figure 7. The tensile strength of NR/clay composites.

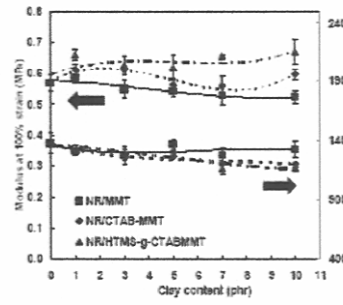


Figure 8. The modulus at 100% strain and elongation at break of NR/clay composites.

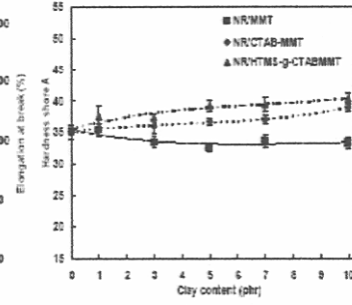


Figure 9. The hardness of NR/clay composites.

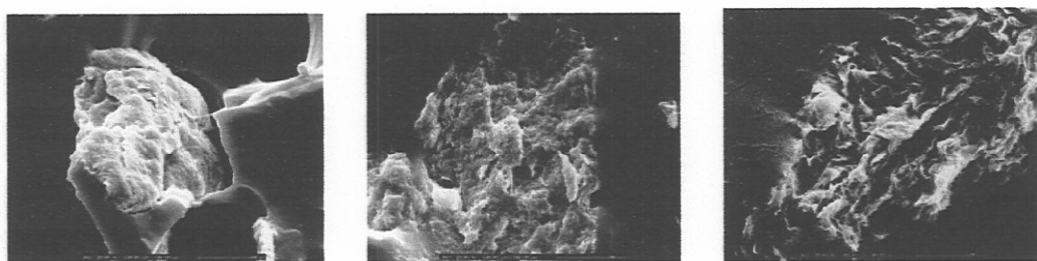


Figure 10. SEM micrograph of NR/clay composites ($\times 500$)

Tear strength, modulus at 100% strain and tensile strength of the rubber vulcanizates shown in Figure 6 and 7 indicated that addition of HTAB-g-CTAB-MMT into the rubber would improve rubber properties better than addition of MMT and CTAB-MMT. It can also be noticed that both tensile and tear strength of NR/clay composites decrease with increasing clay content. This is due to the effect of crosslink density which was lowered by the presence of clay and the aggregation of clay, as mentioned previously. However, the tensile and tear strength of both the NR/CTAB-MMT and NR/HTMS-g-CTABMMT composites higher than the NR/MMT composites since a better compatibility between organic modified clay and the rubber phase lead to good adhesion between each other phase confirmed by SEM micrograph in Fig. 10. The evidence also showed that the addition HTMS-g-CTAB-MMT into rubber could increase mechanical properties as silane coupling agents promote strong adhesion between rubber and layered silicate.

The incorporation of rigid inorganic fillers could bring up the hardness of rubber as shown in Figure 9. However, for the NR/MMT composites case, the presence of unmodified clay did not harden the rubber which due to the poor compatibility between unmodified clay and the aggregation of the particles in natural rubber matrix as confirmed by SEM micrograph in Fig. 10 showing void in NR/MMT composites.

Summary

FT-IR and XRD results indicated the presence of the CTAB and HTMS on the surface of modified clay and the widening of the layers in the MMT. The addition of clay had small effect on the scorch and cure times. The cure time appeared to slightly increase with unmodified clay content, while scorch time hardly varies, probably due to a poor compatibility between the unmodified clay and hydrophobic polymer. However, the cure time and scorch time was slightly reduced in presence of the organoclay. In term of mechanical properties, modulus, tensile strength and tear strength of NR/HTMS-g-CTABMMT composite were higher than those of NR/MMT and NR /CTAB-OMMT composite. Meanwhile, elongation at break of the NR /HTMS-g-CTABMMT composite decreased more than the latter cases. SEM micrograph confirmed better compatibility between organic modified clay and the rubber phase.

References

- [1] M. A. Lopez-Manchado, M. Arroyo, B. Herrero and J. Biagiotti: *J. App. Polym. Sci. Forum* Vol. 89 (2003), p. 1.
- [2] Rajkiran R Tiwari, Kartic C Khilar and Upendra Natarajan: *App. Clay Sci.*, (2007).
- [3] La'szlo' Sza'zdi, Andra's Pozsgay and Be'l'a Puka'nuszky: *Eur. Polym. J. Forum* Vol. 43 (2007), p. 345.
- [4] M. Arroyo, M. A. Lo'pez-Manchado and B. Herrero: *Polymer Forum* Vol. 44 (2003), p. 2447.
- [5] Siby Varghese and J. Karger-Kocsis: *J. App. Polym. Sci. Forum* Vol. 91 (2004), p. 813.
- [6] Qing-Xiu Jia, You-Ping Wu, Yi-Qing Wang, Ming Lu and Li-Qun Zhang: *Comp. Sci. Tech.* (2007), in press.
- [7] Jing Cao Dai and Ji Tai Huang: *App. Clay Sci. Forum* Vol. 15 (1999), p. 51.

ประวัติผู้จัด

ชื่อ-สกุล

ที่อยู่

นายนันทวัฒน์ แตงจันทร์

144 ซอยประชาธิรักษ์บ้านเพ็ญ 14

ถนนประชาธิรักษ์บ้านเพ็ญ เขตห้วยขวาง

กทม. 10310

E-mail: nantavat@gmail.com

ประวัติการศึกษา

พ.ศ. 2549

สำเร็จการศึกษาปริญญาวิศวกรรมศาสตรบัณฑิต สาขาวิศวเคมีและวัสดุ พอลิเมอร์ จากมหาวิทยาลัยศิลปากร

พ.ศ. 2551

สำเร็จการศึกษาปริญญาวิศวกรรมศาสตรบัณฑิต สาขาวิชาการและวิศวกรรมพอลิเมอร์ บัณฑิตวิทยาลัย มหาวิทยาลัยศิลปากร

ประวัติการทำงาน

พ.ศ. 2548

ฝึกการปฏิบัติงานฝ่ายวิจัยและพัฒนา องค์การสวนยาง กระทรวงเกษตรและสหกรณ์

พ.ศ. 2549-2550

ผู้ช่วยอาจารย์ ภาควิชาการและวิศวกรรมวัสดุ คณะวิศวกรรมศาสตร์ และเทคโนโลยีอุตสาหกรรม มหาวิทยาลัยศิลปากร